L'informazione come sostrato della realtà

La tesi che intendo articolare e difendere in questo riflessioni acquisisce una chiarezza quasi abbagliante: l'informazione non è una proprietà emergente della realtà fisica, non è un epifenomeno che sorge quando sistemi materiali raggiungono una certa soglia di complessità organizzativa. Al contrario, l'informazione costituisce il sostrato fondamentale, l'ontologia primaria da cui emerge tutto ciò che chiamiamo realtà fisica. La fisica stessa, nelle sue manifestazioni più profonde, è computazione. L'universo non è semplicemente un sistema che può essere descritto informaticamente; l'universo è letteralmente computazione in atto, un processore cosmico di informazione la cui esecuzione costituisce ciò che percepiamo come il fluire del tempo, la struttura dello spazio, la trama causale degli eventi.

Ogni legge naturale, quando esaminata con sufficiente acutezza analitica, rivela la sua natura algoritmica. Le equazioni di Maxwell che descrivono l'elettromagnetismo sono istruzioni computazionali che l'universo esegue ad ogni istante. L'equazione di Schrödinger che governa l'evoluzione quantistica è un algoritmo di aggiornamento per le ampiezze di probabilità. Le geodetiche della relatività generale sono il risultato di un'ottimizzazione computazionale locale che minimizza l'azione lungo i percorsi spaziotemporali.

Questo paper si basa su cinque pilastri fondamentali, ciascuno dei quali poggia su una dimensione differente di questa tesi ontologica radicale. Nel primo pilastro, esaminerò la teoria matematica dell'informazione di Shannon e mostrerò come la sua apparente semplicità nasconda verità universali sulla struttura della realtà. L'entropia informazionale non è meramente una misura utile per l'ingegneria delle telecomunicazioni; è una costante fondamentale della natura quanto lo è la velocità della luce o la costante di Planck.

Nel secondo pilastro, approfondirò l'equivalenza profonda tra fisica e computazione, mostrando come il principio di Landauer riveli che l'informazione possiede peso ontologico letterale. La cancellazione di un bit di informazione richiede dissipazione di energia non per limitazioni tecnologiche contingenti, ma per necessità fisica fondamentale. Questo fatto stupefacente dimostra che l'informazione non è un'astrazione matematica sovrapposta alla realtà fisica; l'informazione è la fisica stessa.

Il terzo pilastro sarà dedicato all'inferenza bayesiana come principio ontologico universale. Mostrerò che il teorema di Bayes non è semplicemente un risultato elegante della teoria della probabilità, ma la legge fondamentale che governa ogni forma di apprendimento, di adattamento, di evoluzione. Il cervello bayesiano, l'evoluzione bayesiana, persino la fisica come inferenza bayesiana nel senso del principio di minima azione reinterpretato informaticamente: tutti questi fenomeni rivelano che l'aggiornamento razionale delle credenze secondo le probabilità condizionali è scritto nel tessuto stesso della realtà.

Nel quarto pilastro, esplorerò la complessità algoritmica e i limiti fondamentali della conoscibilità. La complessità di Kolmogorov e il numero omega di Chaitin ci mostrano che esistono verità matematiche perfettamente definite che nessuna computazione, nemmeno in linea di principio, potrà mai determinare. L'incomputabilità non è un limite tecnologico temporaneo; è una caratteristica intrinseca della struttura logica della realtà. L'universo stesso, essendo computazione, è soggetto ai teoremi di incompletezza.

Infine, nel quinto pilastro, esaminerò l'emergenza e la struttura gerarchica della realtà informazionale. L'universo si organizza in livelli di descrizione, dalle particelle quantistiche alle società umane, dalla fisica fondamentale alla coscienza riflessiva. Questa gerarchia non è meramente epistemologica, una convenzione che adottiamo per semplificare descrizioni altrimenti intrattabili. La gerarchia è ontologica: ogni livello emerge dal sottostante attraverso meccanismi di compressione algoritmica, di integrazione informazionale, di formazione di pattern stabili che si auto-perpetuano.

L'autocoscienza, come mostrerò, potrebbe emergere precisamente al confine tra l'inferenza e l'autoreferenza, nel punto in cui un sistema diventa sufficientemente complesso da modellare se stesso ma incontra i limiti gödeliani che rendono impossibile quella modellazione completa.

L'informazione come sostrato della realtà non è una metafora poetica, non è un'analogia utile ma ultimamente arbitraria. È, come cercherò di dimostrare con la maggior precisione matematica possibile, la verità ontologica fondamentale. Tutto ciò che esiste, esiste come informazione. Tutto ciò che accade, accade come processamento di informazione. E tutto ciò che possiamo conoscere, possiamo conoscerlo solo attraverso relazioni informazionali.

Parte Prima: La Teoria dell'Informazione come Fondamento Matematico della Realtà

L'Entropia di Shannon e la Misura dell'Ignoranza Ontologica

Quando Claude Shannon pubblicò nel 1948 il suo memorabile articolo "A Mathematical Theory of Communication", credeva probabilmente di star fornendo semplicemente un framework matematico rigoroso per l'ingegneria delle telecomunicazioni, per la progettazione ottimale di sistemi di trasmissione e codifica di messaggi attraverso canali rumorosi. Nella sua modestia caratteristica degli scienziati veramente grandi, Shannon non rivendicò di aver scoperto una legge fondamentale della natura. Eppure, ciò che emerse dalla sua analisi si rivelò essere precisamente questo: una delle costanti universali più profonde della realtà, comparabile per importanza ontologica alla velocità della luce nella relatività o alla costante di Planck nella meccanica quantistica.

L'entropia di Shannon per una variabile aleatoria discreta X con distribuzione di probabilità p(x) è definita attraverso la formula apparentemente semplice:

$$H(X) = -\sum p(x) \log_2(p(x))$$

dove la sommatoria si estende su tutti i possibili valori che x può assumere, e dove per convenzione matematica si pone $0 \log_2(0) = 0$, eliminando così la singolarità che altrimenti emergerebbe per eventi impossibili. Ma cosa misura veramente questa quantità? La risposta standard, quella che si trova nei manuali di teoria dell'informazione, afferma che H(X) quantifica l'incertezza media associata alla variabile X, oppure che rappresenta il numero medio di bit necessari per codificare in modo ottimale i messaggi prodotti da una sorgente che genera valori secondo la distribuzione p(x). Questa risposta, pur essendo matematicamente corretta e operativamente utile, rimane tragicamente superficiale. Non coglie la profondità ontologica di ciò che l'entropia sta realmente misurando.

L'entropia di Shannon è, in realtà, la misura dell'ignoranza ontologica irriducibile. Non quantifica semplicemente quanto non sappiamo su X dato il nostro stato epistemico contingente e migliorabile attraverso l'acquisizione di ulteriore informazione empirica. Misura, piuttosto, quanto non può essere saputo in linea di principio dato lo stato informazionale rappresentato dalla distribuzione p(x). È il contenuto informazionale intrinseco, irriducibile, essenziale della distribuzione stessa. Consideriamo questa distinzione con maggior cura analitica attraverso esempi concreti che illuminano la differenza tra ignoranza epistemica contingente e incertezza ontologica necessaria.

Un bit perfettamente casuale, generato da un processo stocastico genuinamente indeterministico come il decadimento radioattivo o la misurazione di una sovrapposizione quantistica, possiede entropia calcolabile immediatamente: $H(\text{bit}) = -0{,}5 \log_2(0{,}5) - 0{,}5 \log_2(0{,}5) = 1$ bit. Un bit completamente deterministico, dove uno degli stati ha probabilità unitaria e l'altro probabilità nulla, ha invece entropia $H(\text{det}) = -1 \log_2(1) - 0 \log_2(0) = 0$ bit. La differenza tra questi due casi non è meramente epistemologica, non è semplicemente una questione di quanto sappiamo noi osservatori esterni. Il bit casuale contiene un'unità genuina di informazione che deve essere specificata dall'esterno, che deve essere fornita attraverso un'interazione causale con l'ambiente, per determinare il suo stato effettivo. Il bit deterministico, al contrario, non contiene informazione in questo senso ontologico profondo: il suo stato è completamente predicibile dalla sua distribuzione di probabilità, non c'è incertezza residua che richieda risoluzione attraverso specificazione esterna.

Questa distinzione diventa ancora più chiara quando consideriamo sistemi quantistici. Un qubit in uno stato puro arbitrario $|\psi\rangle = \alpha|0\rangle + \beta|1\rangle$ ha entropia di von Neumann nulla, $S(\rho) = 0$, dove $\rho = |\psi\rangle\langle\psi|$ è la matrice densità corrispondente allo stato puro. Non c'è incertezza sullo stato del sistema dal punto di vista della meccanica quantistica: lo stato è completamente specificato dai coefficienti α e β. Ma quando misuriamo il qubit, otteniamo uno dei due risultati possibili con probabilità $|\alpha|^2$ e $|\beta|^2$ rispettivamente. Questa incertezza nel risultato della misurazione non è ignoranza epistemica sul nostro lato: è struttura intrinseca della realtà quantistica, è il modo in cui l'informazione quantistica (codificata nelle ampiezze di probabilità complesse α e β) si proietta sull'informazione classica (la dicotomia discreta tra 0 e 1).

Le proprietà matematiche dell'entropia di Shannon rivelano ulteriormente la sua natura fondamentale e ci permettono di comprendere perché questa quantità non è una costruzione arbitraria ma una necessità logica. La prima proprietà cruciale è la non-negatività: $H(X) \geq 0$, con uguaglianza se e solo se X è completamente deterministica, ossia esiste un valore x_0 tale che $p(x_0) = 1$ e $p(x) = 0$ per ogni $x \neq x_0$. Questo ci rivela che l'incertezza informazionale è

sempre una quantità non-negativa: non può esistere "certezza negativa", non può esistere uno stato di conoscenza che supera la certezza assoluta. Lo zero di informazione corrisponde alla certezza completa, alla predicibilità perfetta, all'assenza totale di sorpresa.

La seconda proprietà fondamentale è la massimalità per la distribuzione uniforme. Per una variabile che può assumere n valori possibili, l'entropia soddisfa la disuguaglianza $H(X) \leq \log_2(n)$, con uguaglianza se e solo se $p(x) = 1/n$ per ogni valore x. La massima incertezza si ottiene quando tutti gli stati sono equiprobabili, quando non abbiamo alcuna ragione per aspettarci un valore piuttosto che un altro. Questa proprietà è profondamente connessa al principio di massima entropia nella fisica statistica, formulato con chiarezza cristallina da Edwin Jaynes, e al principio di indifferenza nella teoria della probabilità bayesiana. Quando non abbiamo informazione che favorisca alcuni stati rispetto ad altri, la distribuzione razionale da adottare è quella uniforme, che massimizza l'entropia soggetta ai vincoli noti.

La terza proprietà essenziale è l'additività per variabili indipendenti. Se X e Y sono statisticamente indipendenti, nel senso che la distribuzione congiunta si fattorizza come $p(x,y) = p(x)p(y)$, allora l'entropia congiunta è semplicemente la somma delle entropie marginali: $H(X,Y) = H(X) + H(Y)$. L'informazione si somma per sistemi indipendenti, esattamente come l'energia si somma per sistemi non interagenti in fisica. Questa analogia non è casuale: entrambe derivano dalla struttura additiva dei logaritmi, che trasforma prodotti in somme, permettendo di trattare sistemi compositi in modo lineare.

La quarta proprietà matematica è la concavità di H(X) come funzione della distribuzione p(x). Tecnicamente, se mescoliamo due distribuzioni p_1 e p_2 con pesi λ e $(1-\lambda)$, ottenendo $p = \lambda p_1 + (1-\lambda)p_2$, allora l'entropia della distribuzione mescolata soddisfa $H(p) \geq \lambda H(p_1) + (1-\lambda)H(p_2)$. Questo implica che mescolare distribuzioni aumenta sempre, o al limite lascia invariata, l'entropia. È impossibile ridurre l'incertezza mescolando stati probabilistici: la mescolanza può solo aumentare o preservare l'ignoranza. Questa proprietà sta alla base del secondo principio della termodinamica quando reinterpretato informaticamente.

L'Informazione Mutua e la Struttura delle Correlazioni Universali

Se l'entropia misura l'incertezza, l'informazione mutua misura qualcosa di ugualmente fondamentale ma concettualmente ortogonale: la riduzione dell'incertezza, la quantità di informazione che l'osservazione di una variabile fornisce su un'altra. Per due variabili aleatorie X e Y, l'informazione mutua è definita attraverso la formula simmetrica:

$$I(X;Y) = H(X) + H(Y) - H(X,Y)$$

che può essere equivalentemente riscritta come:

$$I(X;Y) = \sum_x \sum_Y p(x,y) \log_2[p(x,y)/(p(x)p(y))]$$

Questa seconda forma rende manifesto che l'informazione mutua misura la divergenza di Kullback-Leibler tra la distribuzione congiunta effettiva p(x,y) e il prodotto delle distribuzioni marginali p(x)p(y), ossia la distribuzione che otterremmo se X e Y fossero statisticamente indipendenti. L'informazione mutua quantifica quindi quanto la distribuzione congiunta reale devia dall'ipotesi di indipendenza, quanto le due variabili sono correlate informativamente.

Una proprietà cruciale dell'informazione mutua è la sua non-negatività: $I(X;Y) \geq 0$, con uguaglianza se e solo se X e Y sono statisticamente indipendenti. Non può esistere informazione mutua negativa: due variabili o sono correlate (informazione mutua positiva) o sono indipendenti (informazione mutua nulla), ma non possono essere "anti-correlate" in un senso che renderebbe l'informazione mutua negativa. Questa asimmetria è profonda e riflette la struttura causale della realtà: le correlazioni possono esistere o non esistere, ma non possono esistere "meno di zero".

L'informazione mutua misura la correlazione informazionale in un senso completamente generale, che trascende e precede qualsiasi nozione specifica di causalità o di meccanismo fisico sottostante. Due particelle quantistiche in uno stato entangled possiedono informazione mutua anche in assenza di qualsiasi trasmissione fisica di segnali causali tra loro, anche quando separate da distanze spaziali arbitrariamente grandi che renderebbero qualsiasi comunicazione subluminale impossibile data la geometria dello spaziotempo. Due neuroni in un cervello che si attivano sincronicamente manifestano informazione mutua anche senza connessione sinaptica diretta, anche se la correlazione emerge attraverso percorsi indiretti nella rete neurale o attraverso modulazione da parte di neurotrasmettitori diffusi.

Possiamo riscrivere l'informazione mutua in una forma alternativa che illumina la sua interpretazione epistemologica: $I(X;Y) = H(X) - H(X|Y)$, dove $H(X|Y)$ è l'entropia condizionale definita come:

$$H(X|Y) = -\sum_x \sum_Y p(x,y) \log_2 p(x|y)$$

Questa formulazione rivela che l'informazione mutua è precisamente la riduzione media dell'incertezza su X che si ottiene osservando Y. Se osservo Y, la mia incertezza residua su X diventa $H(X|Y)$ invece di $H(X)$. La differenza, $I(X;Y)$, è l'informazione che Y fornisce su X. Per la simmetria dell'informazione mutua, questa quantità è identica all'informazione che X fornisce su Y: $I(X;Y) = I(Y;X)$. Le variabili si "informano" reciprocamente nella stessa misura.

Un caso particolarmente illuminante è quello delle variabili perfettamente correlate. Se X e Y sono funzioni deterministiche l'una dell'altra, per esempio $Y = f(X)$ per qualche funzione biunivoca f, allora $H(X|Y) = 0$ e $H(Y|X) = 0$. L'osservazione di una determina completamente l'altra. In questo caso, $I(X;Y) = H(X) = H(Y)$: l'informazione mutua uguaglia l'entropia di ciascuna variabile. Le due variabili condividono tutta la loro informazione.

La Divergenza di Kullback-Leibler come Distanza Epistemologica Fondamentale

Una delle quantità più profonde e sottilmente potenti in tutta la teoria dell'informazione è la divergenza di Kullback-Leibler, spesso chiamata semplicemente divergenza KL o entropia relativa. Questa quantità misura, in un senso matematicamente preciso, la "distanza" tra due distribuzioni di probabilità P e Q definite sullo stesso spazio di risultati:

$$D_{KL}(P||Q) = \sum_x p(x) \log_2[p(x)/q(x)]$$

Il termine "divergenza" è tecnicamente più appropriato di "distanza" o "metrica" perché la divergenza KL non soddisfa gli assiomi formali di una metrica nello spazio delle distribuzioni

di probabilità. In particolare, la divergenza KL è asimmetrica: in generale, $D_{KL}(P||Q) \neq D_{KL}(Q||P)$. Questa asimmetria, lungi dall'essere un difetto matematico o una limitazione tecnica, riflette una profonda verità epistemologica sulla natura dell'approssimazione probabilistica e dell'inferenza.

La divergenza KL possiede un'interpretazione informazionale cristallina: rappresenta il costo informazionale medio di codificare campioni generati dalla distribuzione vera P usando un codice ottimale progettato per la distribuzione Q invece che per P stessa. Se la nostra credenza a priori è Q ma la distribuzione effettiva che genera i dati è P, allora $D_{KL}(P||Q)$ quantifica l'informazione persa, l'inefficienza introdotta, l'eccesso di bit necessari per la codifica a causa della discrepanza tra le due distribuzioni.

In termini bayesiani, se Q rappresenta la nostra distribuzione a priori su qualche ipotesi e P rappresenta la distribuzione vera (che magari abbiamo scoperto dopo aver raccolto dati), allora $D_{KL}(P||Q)$ misura la sorpresa totale, la quantità di informazione nuova che dobbiamo acquisire per aggiornare le nostre credenze da Q a P. È, in un senso molto preciso, il prezzo epistemologico dell'ignoranza iniziale.

Le proprietà fondamentali della divergenza KL rivelano la sua centralità nella struttura della teoria dell'informazione. La prima proprietà essenziale è la non-negatività, stabilita dal teorema di Gibbs: $D_{KL}(P||Q) \geq 0$, con uguaglianza se e solo se $P = Q$ quasi ovunque, ossia le due distribuzioni coincidono su tutti gli eventi tranne al più un insieme di misura nulla. Questa proprietà implica che qualsiasi distribuzione diversa dalla vera distribuzione P comporta un costo informazionale positivo. Non possiamo fare meglio, in termini di codifica ottimale o di predizione accurata, che usando la distribuzione vera stessa.

La seconda proprietà cruciale è la convessità: $D_{KL}(P||Q)$ è convessa come funzione di entrambi gli argomenti P e Q separatamente. Questo significa che se mescoliamo distribuzioni, la divergenza KL dalla distribuzione target non aumenta più della media pesata delle divergenze individuali. Questa proprietà sta alla base di molti algoritmi di ottimizzazione in machine learning e inferenza statistica.

La terza proprietà fondamentale è l'invarianza sotto riparametrizzazioni biunivoche. Se trasformiamo le variabili aleatorie attraverso una funzione invertibile, la divergenza KL tra le distribuzioni trasformate rimane identica alla divergenza tra le distribuzioni originali. Questo significa che la divergenza KL misura una differenza intrinseca tra distribuzioni, indipendente dalla particolare coordinatizzazione o rappresentazione che scegliamo.

La non-negatività della divergenza KL implica direttamente una serie di disuguaglianze fondamentali nella teoria dell'informazione. Una delle più importanti è la disuguaglianza di Jensen, che afferma che per qualsiasi funzione convessa φ e qualsiasi distribuzione di probabilità, vale $E[\varphi(X)] \geq \varphi(E[X])$. Applicando la disuguaglianza di Jensen alla funzione convessa $\varphi(x) = x \log x$, possiamo derivare la disuguaglianza $H(X) \leq \log_2(n)$ per variabili con n valori possibili, che avevamo menzionato precedentemente come proprietà dell'entropia.

Un'applicazione particolarmente elegante della divergenza KL è nella formulazione dell'inferenza variazionale, un approccio approssimativo all'inferenza bayesiana che diventerà centrale quando discuteremo dell'apprendimento automatico e delle reti neurali. L'idea fondamentale è questa: vogliamo calcolare la distribuzione a posteriori $P(\theta|D)$ dei

parametri θ dato i dati D, ma l'integrale normalizzante è intrattabile. Scegliamo quindi una famiglia di distribuzioni approssimative Q_φ(θ) parametrizzate da φ, e cerchiamo di minimizzare la divergenza KL tra Q_φ e la vera posteriori P(θ|D). Questo equivale a massimizzare il Evidence Lower BOund (ELBO), che si decompone in un termine di likelihood (quanto bene i parametri spiegano i dati) e un termine di regolarizzazione (quanto la distribuzione approssimata devia dalla prior).

Il Teorema del Codice Sorgente di Shannon e l'Ottimalità Matematica della Compressione

Il primo teorema fondamentale di Shannon, comunemente noto come teorema del codice sorgente o teorema di Shannon per la codifica senza rumore, stabilisce un risultato stupefacente sulla comprimibilità dell'informazione. Il teorema afferma che l'entropia H(X) è il limite inferiore assoluto al numero medio di bit necessari per codificare messaggi generati da una sorgente X:

$\bar{L} \geq H(X)$

dove $\bar{L}$ denota la lunghezza media del codice per simbolo. Nessun schema di codifica, per quanto ingegnoso o computazionalmente sofisticato, può fare meglio di questo limite fondamentale. L'entropia non è semplicemente una misura utile dell'incertezza; è il contenuto informazionale irriducibile, essenziale, incomprimibile della sorgente.

Ancora più notevole è la seconda parte del teorema: Shannon dimostrò che questo limite è raggiungibile asintoticamente. Esistono codici la cui lunghezza media si avvicina arbitrariamente a H(X) quando codifichiamo sequenze sufficientemente lunghe di simboli. La costruzione esplicita di tali codici ottimali è fornita dall'algoritmo di Huffman per sorgenti statiche e dall'aritmetica coding per sorgenti più generali.

Consideriamo un esempio concreto che illumina la potenza di questo teorema. Supponiamo di avere una sorgente che produce messaggi dall'alfabeto {A, B, C, D} con probabilità p(A) = 0,5, p(B) = 0,25, p(C) = 0,125, p(D) = 0,125. L'entropia di questa sorgente si calcola come:

$H(X) = -0{,}5 \log_2(0{,}5) - 0{,}25 \log_2(0{,}25) - 2(0{,}125 \log_2(0{,}125)) = 0{,}5 + 0{,}5 + 2(0{,}375) = 1{,}75$ bit per simbolo

Un codice di Huffman ottimale per questa distribuzione assegna le codeword: A → 0 (lunghezza 1 bit), B → 10 (2 bit), C → 110 (3 bit), D → 111 (3 bit). La lunghezza media risultante è:

$\bar{L} = 0{,}5(1) + 0{,}25(2) + 0{,}125(3) + 0{,}125(3) = 1{,}75$ bit per simbolo

Il codice raggiunge esattamente l'entropia! Questo non è un caso fortunato ma una manifestazione del teorema di Shannon. La struttura probabilistica della sorgente determina univocamente il limite teorico di compressione, e algoritmi ottimali raggiungono questo limite.

La profondità ontologica di questo risultato emerge quando riflettiamo sul suo significato. Il teorema di Shannon non è semplicemente un risultato di ingegneria sulla progettazione efficiente di sistemi di comunicazione. È una verità matematica necessaria sulla natura della

comprimibilità dell'informazione. L'entropia rappresenta il nucleo incomprimibile di informazione che deve essere preservato in qualsiasi codifica fedele. Non possiamo "spremere" l'informazione al di sotto della sua entropia senza perdere qualcosa di essenziale, senza introdurre ambiguità o errori.

Questo ci porta a una distinzione cruciale tra compressione lossless (senza perdita) e lossy (con perdita). La compressione lossless preserva perfettamente l'informazione originale: dalla versione compressa possiamo ricostruire esattamente il messaggio originale. Il teorema di Shannon si applica alla compressione lossless e stabilisce che il limite inferiore è dato dall'entropia. La compressione lossy, al contrario, accetta di perdere parte dell'informazione in cambio di maggiore compressione. Formati come JPEG per immagini o MP3 per audio sono esempi di compressione lossy: eliminano dettagli considerati percettivamente poco importanti per ridurre drasticamente la dimensione dei file.

La teoria rate-distortion, sviluppata da Shannon stesso, quantifica il trade-off tra compressione e perdita di informazione. Data una funzione di distorsione $d(x,\hat{x})$ che misura quanto la ricostruzione $\hat{x}$ si discosta dall'originale x, la funzione rate-distortion $R(D)$ specifica il minimo tasso di bit necessario per garantire una distorsione media non superiore a D. Per $D = 0$ (distorsione nulla, compressione perfetta), recuperiamo $R(0) = H(X)$, l'entropia. Per $D > 0$, possiamo comprimere ulteriormente accettando qualche perdita.

Il Teorema del Canale Rumoroso e i Limiti Fondamentali della Comunicazione

Il secondo teorema fondamentale di Shannon, noto come teorema del canale rumoroso o teorema di Shannon per la codifica con rumore, riguarda la trasmissione di informazione attraverso canali imperfetti che introducono errori. Questo teorema definisce la capacità del canale C come il massimo tasso di informazione trasmissibile con probabilità di errore arbitrariamente piccola.

Per un canale discreto senza memoria, caratterizzato dalla matrice di transizione $p(y|x)$ che specifica la probabilità di ricevere l'output y dato l'input x, la capacità è definita come:

$$C = \max_{p(x)} I(X;Y)$$

dove il massimo è preso su tutte le possibili distribuzioni di input $p(x)$, e Y è la variabile aleatoria di output del canale. La capacità rappresenta quindi la massima informazione mutua raggiungibile tra input e output, ottimizzata sulla scelta della distribuzione di input.

Il teorema di Shannon per il canale rumoroso stabilisce due affermazioni complementari di straordinaria potenza. La prima affermazione, spesso chiamata teorema diretto o di codabilità, garantisce che se il tasso di trasmissione R è strettamente inferiore alla capacità C, allora esistono schemi di codifica che permettono trasmissione con probabilità di errore arbitrariamente piccola. La seconda affermazione, il teorema inverso o di impossibilità, stabilisce che se R è strettamente superiore a C, nessuno schema di codifica può garantire trasmissione affidabile: l'errore è inevitabile indipendentemente dall'ingegnosità del codice.

Consideriamo il canale binario simmetrico (BSC, Binary Symmetric Channel), uno dei modelli più semplici ma fondamentali di canale rumoroso. Il BSC trasmette bit con

probabilità p di essere flippati (0 diventa 1, 1 diventa 0) e probabilità (1-p) di essere trasmessi correttamente. La capacità di questo canale è:

$C = 1 + p \log_2(p) + (1-p) \log_2(1-p)$

Esaminiamo alcuni valori specifici per apprezzare il comportamento di questa funzione. Per p = 0 (canale perfetto senza rumore), otteniamo C = 1 bit: possiamo trasmettere un bit pieno di informazione per ogni uso del canale, come atteso. Per p = 0,5 (rumore massimo, equivalente a lanciare una moneta per decidere l'output indipendentemente dall'input), otteniamo C = 0 bit: il canale è completamente inutile, non trasmette alcuna informazione. Per p = 0,1 (10% di probabilità di errore), calcoliamo C ≈ 0,531 bit: possiamo trasmettere circa metà bit di informazione per uso del canale, nonostante il rumore relativamente elevato.

Il rumore distrugge l'informazione in modo quantificabile e inesorabile. Non è possibile aggirare questo limite attraverso tecniche ingegnose di codifica o modulazione. La capacità C rappresenta un confine assoluto imposto dalla fisica del canale, dalla struttura probabilistica del rumore. Questo è uno dei risultati più profondi nella teoria dell'informazione: esistono limiti fondamentali, non tecnologici, alla trasmissione di informazione.

Il teorema di Shannon per il canale rumoroso non fornisce solo un limite teorico asintotico irraggiungibile in pratica. Shannon dimostrò che questo limite è effettivamente raggiungibile attraverso codici random sufficientemente lunghi, un risultato noto come teorema di Shannon della codifica random. Negli ultimi decenni, famiglie esplicite di codici che si avvicinano alla capacità di Shannon sono state scoperte: i turbo codes negli anni '90, seguiti dai codici LDPC (Low-Density Parity-Check) e dai polar codes. Questi codici permettono comunicazioni affidabili molto vicine al limite teorico di Shannon, validando sperimentalmente le sue predizioni teoriche.

L'Interpretazione Fisica dell'Entropia e il Ponte con la Termodinamica

La connessione profonda tra l'entropia informazionale di Shannon e l'entropia termodinamica di Boltzmann rivela una delle unificazioni concettuali più belle nella storia della scienza. Nel 1872, Ludwig Boltzmann propose la sua famosa formula per l'entropia termodinamica scolpita sulla sua tomba a Vienna:

$S = k_B \ln(W)$

dove k_B è la costante di Boltzmann (approssimativamente $1,38 \times 10^{-23}$ J/K) e W è il numero di microstati accessibili al sistema macroscopicamente specificato. In termini informazionali, possiamo riscrivere questa formula come:

$S = k_B \ln(2) H_{bit}$

dove H_{bit} è l'entropia di Shannon misurata in bit invece che in nat (l'unità naturale corrispondente al logaritmo naturale). Il fattore di conversione $\ln(2) \approx 0,693$ trasforma bit in nat, mentre la costante di Boltzmann k_B serve semplicemente come fattore di scala tra

l'entropia informazionale (misurata in bit, quantità adimensionale) e l'entropia termodinamica (misurata in J/K, con dimensioni fisiche di energia divisa per temperatura).

L'identificazione tra entropia termodinamica e entropia informazionale non è un'analogia suggestiva o una metafora poetica. È un'identità matematica rigorosa, una verità fisica fondamentale. L'entropia termodinamica è letteralmente entropia informazionale moltiplicata per una costante di conversione dimensionale. Quando un gas si espande in un volume doppio, l'entropia termodinamica aumenta di:

$\Delta S = Nk_B \ln(2)$

dove N è il numero di particelle del gas. In termini informazionali, questa formula ha un'interpretazione cristallina: ogni particella ha guadagnato esattamente 1 bit di libertà posizionale. Prima dell'espansione, ciascuna particella poteva trovarsi in un certo volume V. Dopo l'espansione, può trovarsi in un volume doppio 2V. Il numero di possibili configurazioni microscopiche è raddoppiato per ogni particella, aggiungendo $\log_2(2) = 1$ bit di incertezza posizionale per particella. Moltiplicando per N particelle e per la costante di Boltzmann, otteniamo l'aumento macroscopico di entropia termodinamica.

Il secondo principio della termodinamica, nella sua formulazione entropica, afferma:

$\Delta S \geq 0$

per qualsiasi processo in un sistema isolato. L'entropia non può mai diminuire spontaneamente. Reinterpretato informaticamente, questo principio afferma che l'informazione può solo essere creata (l'incertezza può solo aumentare) o al limite conservata in un sistema chiuso, mai distrutta. L'universo è un processore di informazione che accumula ignoranza ontologica con il passare del tempo, o più precisamente, con l'evolvere dei processi fisici irreversibili.

Ma questo porta immediatamente a un paradosso profondo che ha ossessionato fisici e filosofi per oltre un secolo: se l'informazione non può essere distrutta, se l'entropia non può mai diminuire in un sistema isolato, dove va l'informazione quando cancelliamo un bit di memoria in un computer? Quando resettiamo un registro a zero, indipendentemente dal suo valore precedente, stiamo apparentemente distruggendo informazione: prima esistevano due stati possibili (0 o 1), dopo ne esiste solo uno (0). Come si concilia questo con la conservazione dell'informazione richiesta dal secondo principio?

Questo paradosso ci porta direttamente al principio di Landauer, che esploreremo nella prossima sezione. Ma prima di procedere, vale la pena riflettere sulla profondità quasi vertiginosa di questa identificazione tra entropia fisica e entropia informazionale. Ci dice che la termodinamica, quella disciplina che studia calore, lavoro, motori termici, frigoriferi, non è fondamentalmente una teoria sulla materia o sull'energia. È una teoria sull'informazione. La freccia del tempo termodinamica, il fatto che l'entropia aumenta verso il futuro, è una freccia informazionale: è la direzione in cui l'ignoranza ontologica cresce, in cui l'incertezza si accumula, in cui l'informazione si diffonde irreversibilmente attraverso gradi di libertà microscopici inaccessibili all'osservazione macroscopica.

Parte Seconda: L'Equivalenza tra Fisica e Computazione

Il Principio di Landauer e il Costo Termodinamico dell'Irreversibilità

Nel 1961, Rolf Landauer, fisico presso i Bell Laboratories, formulò un principio che avrebbe rivoluzionato radicalmente la nostra comprensione del rapporto tra informazione e realtà fisica. Il principio di Landauer stabilisce che la cancellazione irreversibile di informazione richiede una dissipazione minima di energia quantificabile con precisione:

$E_{min} = k_B T \ln(2)$

per ogni bit cancellato, dove T rappresenta la temperatura assoluta del sistema in cui avviene la cancellazione. A temperatura ambiente (approssimativamente T = 300 K), questo limite si traduce in:

$E_{min} \approx 2{,}87 \times 10^{-21}$ joule per bit

Questa quantità può sembrare infinitesimale, e infatti lo è su scala macroscopica umana. Ma la sua importanza non risiede nell'ordine di grandezza pratico, bensì nel fatto che esiste un limite, che questo limite è fondamentale e non tecnologico, che deriva da principi primi della fisica termodinamica piuttosto che da limitazioni ingegneristiche contingenti.

La dimostrazione del principio di Landauer procede attraverso un ragionamento termodinamico di eleganza cristallina. Quando cancelliamo un bit, ossia resettiamo un sistema fisico a un valore predeterminato indipendentemente dal suo stato iniziale, stiamo compiendo una trasformazione che passa da una situazione con due possibili valori (diciamo 0 o 1, ciascuno con entropia informazionale di 1 bit nel caso equiprobabile) a una situazione con un solo valore determinato (diciamo 0, con entropia zero). L'informazione è stata apparentemente distrutta: l'entropia informazionale del sistema è diminuita di 1 bit.

Ma il secondo principio della termodinamica vieta categoricamente la distruzione di informazione in un sistema isolato. L'entropia totale dell'universo non può diminuire. Come si risolve questa apparente contraddizione? La soluzione è che l'informazione cancellata dal bit deve necessariamente essere trasferita all'ambiente circostante sotto forma di calore dissipato. Il sistema bit + ambiente costituisce un sistema chiuso in cui l'entropia totale non diminuisce.

Quantitativamente, l'aumento minimo di entropia termodinamica dell'ambiente deve compensare la diminuzione di entropia del bit:

$\Delta S_{ambiente} \geq k_B \ln(2)$

Poiché l'entropia termodinamica si relaziona al calore dissipato attraverso la relazione $\Delta S = Q/T$, dove Q è il calore trasferito reversibilmente a temperatura T, otteniamo:

$Q \geq T \Delta S_{ambiente} = k_B T \ln(2)$

Questa è precisamente la dissipazione minima di energia richiesta dalla cancellazione del bit. L'informazione è genuinamente fisica in un senso che va ben oltre la metafora. Non è semplicemente che possiamo descrivere la fisica usando concetti informazionali, ma che l'informazione stessa ha peso ontologico, ha conseguenze termodinamiche obbligatorie, esige dissipazione energetica quando viene manipolata irreversibilmente.

Il principio di Landauer ha implicazioni filosofiche di vasta portata. Ci dice che l'informazione e la materia-energia non sono categorie separate che possono essere trattate indipendentemente. Sono aspetti di un'unica realtà fisica-informazionale. Ogni operazione computazionale che cancella informazione ha un costo energetico minimo derivante da leggi fondamentali della natura. L'oblio, la dimenticanza, il reset cognitivo o computazionale, non sono gratuiti: richiedono dissipazione di energia proporzionale all'informazione cancellata e alla temperatura dell'ambiente.

Questo principio è stato verificato sperimentalmente in anni recenti attraverso esperimenti di una raffinatezza tecnica notevole. Nel 2012, un gruppo guidato da Eric Lutz all'Università di Erlangen-Norimberga ha misurato direttamente la dissipazione di energia durante la cancellazione di un bit rappresentato dalla posizione di una singola particella colloidale intrappolata in un potenziale doppio pozzo. I risultati confermarono quantitativamente il limite di Landauer, mostrando che la cancellazione del bit richiede dissipazione di energia almeno pari a k_B T ln(2) come predetto dalla teoria.

La Computazione Reversibile e la Possibilità di Aggirare il Limite di Landauer

Il principio di Landauer stabilisce un costo energetico inevitabile per la cancellazione di informazione, ma una domanda naturale emerge: cosa accade alle operazioni computazionali che preservano l'informazione invece di distruggerla? Possiamo evitare la dissipazione se evitiamo la cancellazione?

Una computazione è definita reversibile se da ogni stato di output possiamo determinare univocamente lo stato di input attraverso l'inversione del processo computazionale. Le porte logiche classiche standard, come AND, OR, NAND, non sono reversibili in questo senso. Consideriamo la porta AND che prende due input binari e produce un singolo output binario: se osserviamo che l'output è 0, non possiamo determinare univocamente quale fosse l'input, perché tre delle quattro possibili combinazioni di input (00, 01, 10) producono output 0. L'informazione è stata compressa, perduta nella trasformazione irreversibile.

Ma è possibile costruire porte logiche universalmente computazionali che preservano perfettamente l'informazione. La porta di Toffoli, inventata da Tommaso Toffoli negli anni settanta, è un esempio paradigmatico. La porta di Toffoli opera su tre bit di input (a, b, c) e produce tre bit di output secondo la trasformazione:

$(a, b, c) \rightarrow (a, b, c \oplus (a \wedge b))$

dove $\oplus$ denota lo XOR (somma modulo 2) e $\wedge$ denota l'AND logico. Questa porta è reversibile perché applicandola due volte consecutive otteniamo l'identità: Toffoli(Toffoli(a,b,c)) = (a,b,c). Possiamo quindi invertire qualsiasi computazione di Toffoli semplicemente riapplicando la stessa porta.

Charles Bennett dimostrò nel 1973 un risultato di portata fondamentale: qualsiasi computazione convenzionale può essere eseguita in modo reversibile, al costo di un overhead al massimo polinomiale nello spazio di memoria richiesto. Questo significa che possiamo trasformare qualunque algoritmo standard in un algoritmo reversibile che produce lo stesso output ma preserva tutta l'informazione intermedia invece di cancellarla.

Teoricamente, una computazione perfettamente reversibile può essere eseguita con dissipazione di energia arbitrariamente piccola, avvicinandosi al limite termodinamico ideale di zero dissipazione. Il costo energetico di Landauer emerge solo quando cancelliamo i bit di output o gli stati intermedi per resettare il computer e prepararlo per la prossima computazione. Possiamo posporre questa cancellazione indefinitamente, accumulando informazione, ma alla fine dovremo pagare il prezzo termodinamico quando vogliamo recuperare lo spazio di memoria.

Questo ha implicazioni filosofiche sottili ma profonde. La computazione in sé stessa, il processamento di informazione che preserva la reversibilità, non richiede intrinsecamente dissipazione energetica. Solo l'oblio, la cancellazione deliberata di informazione per efficienza o necessità pratica, richiede pagamento del tributo termodinamico. Possiamo immaginare universi computazionali che accumulano infinitamente informazione senza mai dimenticare nulla, espandendosi continuamente in memoria ma operando con efficienza energetica arbitrariamente vicina all'ideale termodinamico.

Il nostro universo attuale, con le sue costanti cosmologiche e la sua termodinamica, non sembra operare in questo modo. La decoerenza quantistica, i processi irreversibili a livello microscopico, la freccia del tempo termodinamica, tutti questi fenomeni suggeriscono che l'universo fisico reale effettua continuamente cancellazioni di informazione, redistribuendo l'informazione dettagliata dei microstati in gradi di libertà termici inaccessibili. Ma concettualmente, la possibilità della computazione reversibile ci mostra che la dissipazione non è intrinseca al processamento informazionale in quanto tale.

Il Diavoletto di Maxwell e la Risoluzione Informazionale del Paradosso

Il famoso paradosso del diavoletto di Maxwell, formulato da James Clerk Maxwell nel 1867, presenta una sfida apparentemente devastante al secondo principio della termodinamica. Immaginiamo due camere di gas a temperatura uniforme separate da una parete con una piccola porta. Un demone intelligente controlla questa porta, aprendola selettivamente per permettere solo alle molecole veloci di passare in una direzione e solo a quelle lente nell'altra. Gradualmente, una camera si riscalda mentre l'altra si raffredda, creando un gradiente di temperatura senza compiere lavoro esterno, apparentemente violando il secondo principio che afferma l'impossibilità di trasferire calore da un corpo freddo a uno caldo senza lavoro.

Per oltre un secolo, questo paradosso ha stimolato dibattiti intensi e proposte di risoluzione sempre più sofisticate. La risoluzione moderna, sviluppata principalmente attraverso i contributi di Léon Brillouin, Dennis Gabor, e definitivamente chiarita da Rolf Landauer, è sorprendente nella sua eleganza: il diavoletto deve misurare le velocità delle molecole per decidere quando aprire la porta, e questa misurazione stessa genera inevitabilmente informazione che deve essere immagazzinata da qualche parte nella memoria del demone.

Analizziamo il processo in dettaglio. Supponiamo che il demone misuri e classifichi N molecole durante il suo funzionamento. Ogni misurazione produce un bit di informazione (veloce o lenta, sopra o sotto una certa soglia). Dopo aver operato su N molecole, il demone ha accumulato N bit di informazione nella sua memoria. Questa memoria ha una capacità finita, quindi prima o poi il demone deve cancellare alcuni bit precedenti per fare spazio a nuove misurazioni e continuare a operare.

La cancellazione di N bit richiede, secondo il principio di Landauer, una dissipazione minima di energia:

$E_{cancellazione} = N k_B T \ln(2)$

Questa dissipazione genera un aumento di entropia nell'ambiente:

$\Delta S_{cancellazione} = N k_B \ln(2)$

Risulta che questo aumento di entropia è esattamente sufficiente a compensare la riduzione di entropia ottenuta separando le molecole veloci dalle lente. Il bilancio entropico netto è non-negativo, preservando il secondo principio. Il diavoletto non viola la termodinamica, ma semplicemente trasferisce entropia dalla distribuzione di velocità molecolare alla memoria informazionale del demone, e poi da quella memoria all'ambiente circostante quando cancella i bit.

Questo ci porta a una conclusione di portata enormemente più vasta del paradosso specifico: la misurazione stessa ha un costo termodinamico minimo inevitabile. Ogni bit di informazione estratto dall'ambiente e registrato in una memoria deve eventualmente essere cancellato, e quella cancellazione richiede dissipazione di almeno $k_B T \ln(2)$. Non esiste misurazione gratuita, non esiste osservazione senza impatto termodinamico. L'atto stesso di acquisire conoscenza sul mondo fisico perturba necessariamente quel mondo in modi quantificabili.

Le implicazioni epistemologiche sono vertiginose. L'osservatore non è mai separato dal sistema osservato in modo tale da non lasciare traccia termodinamica. Ogni atto di cognizione, ogni acquisizione di informazione dall'ambiente, crea un legame causale irreversibile che lascia impronte entropiche. La conoscenza costa entropia, pagata alla fine sotto forma di calore dissipato nell'universo.

La Fisica come Computazione: Il Principio "It from Bit" di Wheeler

Nel 1989, il fisico teorico John Archibald Wheeler, noto per i suoi contributi alla relatività generale e alla fisica dei buchi neri, propose un principio ontologico radicale condensato nella formula criptica "It from Bit". Wheeler articolò questo principio con parole che meritano di essere citate integralmente per la loro densità concettuale:

"Every it — every particle, every field of force, even the space-time continuum itself — derives its function, its meaning, its very existence entirely — even if in some contexts indirectly — from the apparatus-elicited answers to yes-or-no questions, binary choices, bits."

Secondo la visione di Wheeler, la realtà fisica non è ontologicamente primaria. Non esiste "là fuori" come sostanza materiale indipendente che successivamente possiamo descrivere usando linguaggio informazionale. Al contrario, l'informazione è primaria, fondamentale, irriducibile, e ciò che chiamiamo realtà fisica emerge dalle relazioni informazionali, dalle risposte a domande binarie, dall'accumulazione di bit di informazione attraverso processi di misurazione e registrazione.

Questa visione trova supporto convergente da direzioni sorprendentemente diverse nella fisica moderna. Esploriamo alcune di queste conferme indipendenti che suggeriscono che "It from Bit" cattura qualcosa di profondamente vero sulla struttura ontologica dell'universo.

Primo, la teoria dell'informazione quantistica ha rivelato che la meccanica quantistica può essere riformulata interamente in termini informazionali senza perdita di contenuto fisico. Un qubit nello stato $|\psi\rangle = \alpha|0\rangle + \beta|1\rangle$ contiene informazione classica (quale sarà il risultato della misurazione, con quali probabilità) e informazione quantistica genuina (le fasi relative tra le ampiezze, l'esistenza di sovrapposizioni coerenti). Operazioni quantistiche come il gate CNOT o l'entanglement possono essere viste come trasformazioni puramente informazionali. La proibizione della clonazione quantistica, il teorema di no-signaling che vieta comunicazione superluminale, la monogamia dell'entanglement, tutti questi vincoli fondamentali della teoria quantistica possono essere derivati da principi informazionali senza invocare esplicitamente il formalismo degli spazi di Hilbert o degli operatori hermitiani.

Secondo, l'entropia dei buchi neri, scoperta indipendentemente da Jacob Bekenstein e Stephen Hawking negli anni settanta, fornisce evidenza drammatica che l'informazione è fisica in senso letterale. Bekenstein propose che l'entropia di un buco nero dovesse essere proporzionale all'area del suo orizzonte degli eventi piuttosto che al volume interno:

$$S_{BH} = (k_B c^3 A)/(4 G \hbar)$$

dove A è l'area dell'orizzonte, G la costante gravitazionale, $\hbar$ la costante di Planck ridotta, c la velocità della luce. In unità naturali dove $k_B = c = G = \hbar = 1$, questa formula si semplifica drammaticamente in:

$$S_{BH} = A/4$$

misurata in unità di area di Planck (circa 10^(-70) metri quadrati). L'entropia è proporzionale all'area, non al volume! Questo risultato controintuitivo suggerisce che l'informazione è fondamentalmente bidimensionale, o almeno che codifica su superfici piuttosto che volumi, anche quando viviamo in uno spazio apparentemente tridimensionale.

Terzo, il principio olografico, proposto da Gerard 't Hooft e sviluppato sistematicamente da Leonard Susskind, estende l'insight dell'entropia dei buchi neri a una tesi cosmologica generale: tutta l'informazione contenuta in una regione di spazio tridimensionale può essere codificata sulla superficie bidimensionale che la racchiude. Il numero massimo di bit contenuti in una sfera di raggio R è proporzionale all'area della superficie, non al volume interno:

$$I_{max} \approx A/(4 l_P^2) = \pi R^2/l_P^2$$

dove l_P è la lunghezza di Planck. Questo suggerisce che il nostro universo tridimensionale potrebbe essere una sorta di proiezione olografica di informazione codificata su una superficie bidimensionale remota, forse posta all'orizzonte cosmologico.

Questa idea, per quanto fantascientifica possa sembrare, ha trovato realizzazione matematica rigorosa nella corrispondenza AdS/CFT (Anti-de Sitter / Conformal Field Theory) scoperta da Juan Maldacena nel 1997. Questa corrispondenza stabilisce un'equivalenza precisa, detta dualità, tra una teoria gravitazionale quantistica in uno spazio (d+1)-dimensionale con geometria Anti-de Sitter e una teoria di campo conforme (senza gravità) su uno spazio d-dimensionale che costituisce il bordo di quello spazio. La gravità emerge dall'informazione quantistica codificata su dimensioni inferiori.

La Computazione Quantistica e l'Informazione oltre il Classico

Un qubit, l'unità fondamentale dell'informazione quantistica, può esistere in una sovrapposizione coerente di stati base:

$|\psi\rangle = \alpha|0\rangle + \beta|1\rangle$

dove α e β sono numeri complessi soggetti al vincolo di normalizzazione $|\alpha|^2 + |\beta|^2 = 1$. Prima di qualunque misurazione, un qubit sembra contenere informazione potenzialmente infinita, codificata nelle infinite precisioni dei coefficienti complessi α e β. Ma quando effettuiamo una misurazione nella base computazionale $\{|0\rangle, |1\rangle\}$, il qubit collassa in uno dei due stati classici, e tutto ciò che possiamo estrarre è esattamente 1 bit di informazione classica: il risultato è 0 con probabilità $|\alpha|^2$ oppure 1 con probabilità $|\beta|^2$.

Questo pone una domanda ontologica profonda: dove va l'informazione apparentemente infinita codificata in α e β quando misuriamo e otteniamo solo 1 bit classico? La risposta richiede una distinzione sottile ma cruciale. I coefficienti α e β non rappresentano informazione accessibile nel senso di Shannon; rappresentano ampiezze di probabilità, quantità che determinano le probabilità dei risultati di misurazione ma che non possono essere "lette" direttamente senza distruggere la sovrapposizione. L'entropia di Shannon si riferisce a distribuzioni di probabilità classiche $p(x)$ definite su esiti mutuamente esclusivi, non ad ampiezze quantistiche $\psi(x)$ che possono interferire coerentemente.

L'entropia quantistica appropriata è l'entropia di von Neumann, definita per uno stato quantistico descritto dalla matrice densità ρ come:

$S(\rho) = -\mathrm{Tr}(\rho \log_2 \rho)$

Per uno stato puro $|\psi\rangle\langle\psi|$, questa entropia è identicamente nulla: $S = 0$. Non c'è incertezza sullo stato quantistico stesso; lo stato è perfettamente specificato. L'incertezza emerge solo quando consideriamo i risultati di misurazioni future, e quella incertezza è catturata dalle probabilità $|\alpha|^2$ e $|\beta|^2$, non dalle ampiezze stesse.

Per uno stato misto, descritto dalla matrice densità:

$\rho = \sum_i p_i |\psi_i\rangle\langle\psi_i|$

l'entropia di von Neumann diventa:

$S(\rho) = -\sum_i p_i \log_2 p_i$

che è esattamente l'entropia di Shannon della distribuzione classica $\{p_i\}$! L'entropia quantistica generalizza quella classica, riducendosi ad essa nel caso di stati misti che rappresentano ignoranza epistemica genuina piuttosto che sovrapposizioni coerenti. La parte accessibile dell'informazione quantistica, quella che possiamo estrarre attraverso misurazioni, obbedisce alle stesse leggi matematiche dell'informazione classica di Shannon.

L'Entanglement Quantistico: Correlazione senza Trasmissione Causale

Due qubit preparati nello stato entangled di Bell:

$|\Phi^+\rangle = (|00\rangle + |11\rangle)/\sqrt{2}$

esibiscono correlazioni perfette e non-locali. Se misuriamo il primo qubit e otteniamo il risultato 0, sappiamo con certezza assoluta, senza bisogno di ulteriori misurazioni, che il secondo qubit darà anch'esso 0 se misurato nella stessa base. Eppure, nessuna informazione classica viaggia tra i due qubit durante questo processo. L'entanglement è una forma di correlazione informazionale che trascende completamente la nozione classica di trasmissione causale di segnali attraverso lo spazio.

L'informazione mutua quantistica tra i due qubit in questo stato si calcola come:

$I(A:B) = S(\rho_A) + S(\rho_B) - S(\rho_{AB})$

Le matrici densità ridotte per ciascun qubit sono:

$\rho_A = \rho_B = I/2$

completamente miste, quindi $S(\rho_A) = S(\rho_B) = 1$ bit. La matrice densità congiunta è:

$\rho_{AB} = |\Phi^+\rangle\langle\Phi^+|$

uno stato puro, quindi $S(\rho_{AB}) = 0$. L'informazione mutua risulta:

$I(A:B) = 1 + 1 - 0 = 2$ bit

Due bit di informazione mutua quantistica legano questi qubit, anche se nessuna informazione classica può essere trasmessa sfruttando solo l'entanglement. Questo è garantito dal teorema di no-signaling: operazioni locali su un qubit non possono modificare le statistiche marginali osservabili sull'altro qubit. L'entanglement rappresenta correlazione informazionale pura, non-locale, che esiste indipendentemente da qualsiasi meccanismo causale locale di trasmissione.

La natura non-locale dell'entanglement quantistico è stata confermata sperimentalmente attraverso test sempre più stringenti delle disuguaglianze di Bell. Nel duemilaquindici, tre gruppi sperimentali indipendenti hanno chiuso simultaneamente le principali scappatoie (loopholes) negli esperimenti di Bell, dimostrando violazioni significative delle disuguaglianze

classiche in condizioni di rigorosità tale da escludere spiegazioni basate su variabili nascoste locali o inefficienza dei rivelatori.

L'Universo come Computer Quantistico: Limiti Computazionali Cosmici

Seth Lloyd, nel suo libro "Programming the Universe", ha tentato di calcolare la capacità computazionale totale dell'universo osservabile trattandolo letteralmente come un computer quantistico. I numeri che emergono da questa analisi sono vertiginosi ma derivano da limiti fisici fondamentali piuttosto che da speculazioni arbitrarie.

Il numero totale di operazioni logiche elementari che l'universo ha eseguito dall'inizio del tempo cosmico fino ad oggi è approssimativamente:

$N_{ops} \approx 10^{120}$ operazioni

Il numero totale di bit di informazione che queste operazioni hanno processato è:

$N_{bits} \approx 10^{90}$ bit

Questi numeri derivano dall'applicazione di limiti fisici fondamentali stabiliti dalla meccanica quantistica e dalla relatività generale. Il primo limite rilevante è il limite di Margolus-Levitin, che stabilisce la velocità massima di computazione per un sistema fisico con energia E:

$$n_{max} = (2E)/(\pi \hbar)$$

operazioni al secondo. Questo limite deriva dal principio di indeterminazione tempo-energia di Heisenberg e rappresenta un vincolo assoluto imposto dalla meccanica quantistica sulla rapidità con cui uno stato quantistico può evolvere ortogonalmente a se stesso.

Il secondo limite fondamentale è il bound di Bekenstein, che specifica la massima informazione contenibile in una regione sferica di raggio R con energia totale E:

$$I_{max} = (2\pi RE)/(\hbar c \ln(2))$$

bit di informazione. Questo limite deriva dalla termodinamica dei buchi neri e dal principio olografico, rappresentando un vincolo ultimo sulla densità di informazione nello spazio.

Applicando questi limiti all'universo osservabile, che ha un raggio approssimativo di $R \approx 10^{26}$ metri e contiene massa-energia equivalente a circa $M \approx 10^{53}$ chilogrammi, otteniamo le stime di Lloyd. L'universo è letteralmente un computer quantistico che ha eseguito dell'ordine di 10^{120} operazioni logiche su circa 10^{90} bit di informazione negli ultimi 13,8 miliardi di anni.

Ma cosa significa affermare che "l'universo è un computer"? Non si tratta di una metafora pittoresca o di un'analogia pedagogica. Ogni processo fisico - il decadimento radioattivo di un atomo di uranio, l'orbita di un elettrone attorno a un nucleo, le reazioni di fusione nucleare nel core di una stella, la formazione di galassie da fluttuazioni primordiali - è letteralmente un'operazione computazionale. L'universo non sta calcolando qualcosa di esterno a se stesso, non sta risolvendo problemi matematici astratti o simulando mondi possibili. L'universo è il calcolo: la computazione cosmica è identica all'evoluzione fisica.

La Complessità Computazionale delle Leggi Fisiche

Le equazioni differenziali che descrivono le leggi fisiche possono essere viste come algoritmi che l'universo "esegue" istante per istante. Le equazioni di Maxwell per l'elettromagnetismo:

$\nabla \cdot E = \rho/\varepsilon_0$
$\nabla \cdot B = 0$
$\nabla \times E = -\partial B/\partial t$
$\nabla \times B = \mu_0 J + \mu_0 \varepsilon_0 \partial E/\partial t$

specificano come i campi elettrico e magnetico evolvono nello spazio e nel tempo dato le distribuzioni di carica e corrente. Simulare queste equazioni su un computer richiede discretizzare lo spazio e il tempo, trasformando le derivate parziali continue in differenze finite. La risoluzione computazionale necessaria cresce rapidamente: per catturare fenomeni su scale di lunghezza L con precisione δ, necessitiamo di $(L/\delta)^3$ punti di griglia nello spazio tridimensionale.

L'equazione di Schrödinger per la meccanica quantistica:

$i\hbar \, \partial|\psi\rangle/\partial t = H|\psi\rangle$

presenta sfide computazionali ancora più drammatiche. Per un sistema di N particelle quantistiche, lo spazio di Hilbert ha dimensionalità che cresce esponenzialmente con N. Simulare accuratamente 300 elettroni richiederebbe uno spazio di stati di dimensione 2^300, un numero astronomicamente più grande del numero di atomi nell'universo osservabile (circa 10^80).

Questo pone un puzzle profondo: come fa la natura quantistica dell'universo a "calcolare" l'evoluzione di sistemi macroscopici contenenti numeri di Avogadro (circa 10^23) di particelle? Se nemmeno in linea di principio potremmo simulare classicamente un tale sistema, come fa l'universo stesso a evolvere questi stati?

La risposta suggerita da Richard Feynman in una famosa conferenza del 1982 è che la natura usa "scorciatoie" computazionali che nessun computer classico può replicare. Solo un computer quantistico genuino può simulare efficientemente la meccanica quantistica, perché può sfruttare la sovrapposizione e l'entanglement per processare esponenzialmente molti percorsi computazionali in parallelo. L'universo stesso è il computer quantistico definitivo.

Feynman osservò con il suo caratteristico understatement: "Nature isn't classical, dammit, and if you want to make a simulation of nature, you'd better make it quantum mechanical, and by golly it's a wonderful problem, because it doesn't look so easy."

Il Tempo come Processo Computazionale e Struttura Causale Emergente

Che cos'è il tempo dal punto di vista informazionale-computazionale? La fisica classica tratta il tempo come una dimensione continua e uniforme, un parametro esterno che fluisce imperturbabile indipendentemente dagli eventi fisici che vi si svolgono. Ma questa concezione newtoniana del tempo assoluto è stata demolita dalla relatività speciale, che ha

rivelato che la simultaneità è relativa all'osservatore. Due eventi simultanei in un sistema di riferimento possono essere non-simultanei in un altro sistema in moto relativo.

La prospettiva informazionale suggerisce una riconceptualizzazione radicale: il tempo non è un contenitore preesistente in cui gli eventi accadono, ma è piuttosto il processo stesso della computazione, l'ordine causale in cui l'informazione si propaga attraverso la rete di eventi che costituiscono l'universo. David Deutsch ha proposto che il tempo emerge dal modo in cui l'informazione si propaga attraverso la struttura causale dell'universo fisico. Non esiste un "flusso" oggettivo del tempo come sostanza che scorre; esiste solo un grafo di dipendenze causali tra eventi computazionali, una struttura parzialmente ordinata che definisce quali eventi influenzano quali altri eventi.

Il passato, in questa visione, non è una regione dello spaziotempo già completamente determinata e cristallizzata. È la porzione del grafo computazionale già eseguita, l'insieme degli eventi computazionali i cui risultati sono stati determinati e registrati nella rete causale. Il futuro non è una regione preesistente che attende di essere scoperta. È la porzione del grafo non ancora eseguita, i cui nodi rappresentano potenzialità computazionali che collasseranno in attualità attraverso l'esecuzione del processamento informazionale. Il presente non è un istante infinitesimale ma il fronte di computazione, la superficie dinamica dove il potenziale diventa attuale, dove l'indeterminato si cristallizza in determinato.

La freccia del tempo termodinamica, il fatto incontrovertibile che l'entropia aumenta verso il futuro ma non verso il passato, diventa identica alla freccia computazionale. Le operazioni computazionali irreversibili - misurazione quantistica che distrugge sovrapposizioni, cancellazione di bit secondo il principio di Landauer, decoerenza che trasferisce informazione quantistica coerente in correlazioni classiche inaccessibili - creano rami nel grafo computazionale che non possono essere unificati senza informazione aggiuntiva dall'esterno.

Il paradosso del viaggio nel tempo si dissolve in questa visione. Non possiamo "viaggiare" verso il passato e modificarlo perché il passato consiste precisamente nei nodi del grafo computazionale che stanno nella relazione di dipendenza causale del nodo presente. Modificare un nodo già nella catena causale del presente sarebbe logicamente incoerente quanto modificare una variabile in un programma dopo che il suo valore è già stato utilizzato in computazioni successive. Il grafo causale computazionale è un DAG, un grafo diretto aciclico, per necessità logica piuttosto che per contingenza fisica.

Informazione e Struttura Causale: La Fattorizzazione Ontologica della Realtà

La causalità, concetto centrale nella nostra comprensione del mondo fisico e dell'esperienza quotidiana, può essere riconcettualizzata in termini puramente informazionali. La struttura causale dell'universo non è una nozione primitiva irriducibile, ma emerge dalle relazioni di dipendenza informazionale tra variabili.

L'evento B dipende causalmente dall'evento A se e solo se l'informazione mutua tra A e B è positiva:

$I(A;B) > 0$

e non esiste un cammino informazionale inverso da B ad A che non passi attraverso il futuro causale di A. In altre parole, A causa B quando A fornisce informazione su B ma quella informazione non può essere spiegata come retro-causazione da B verso A.

Judea Pearl ha formalizzato magnificamente questa intuizione attraverso la teoria dei grafi causali bayesiani. In un grafo causale, i nodi rappresentano variabili aleatorie e gli archi diretti rappresentano dipendenze causali dirette. Se esiste un arco da X a Y, allora X è una causa diretta di Y. La struttura causale codifica la fattorizzazione della distribuzione di probabilità congiunta:

$P(X_1,...,X_n) = \prod_i P(X_i \mid Pa(X_i))$

dove $Pa(X_i)$ denota l'insieme dei "genitori" causali diretti di X_i nel grafo. Questa fattorizzazione non è meramente un trucco matematico conveniente per semplificare calcoli. Rappresenta la struttura ontologica della realtà causale. L'universo si fattorizza naturalmente in questa forma perché le relazioni causali sono reali, sono caratteristiche intrinseche della trama informazionale della realtà.

Pearl ha dimostrato che la struttura causale non è riducibile alle correlazioni statistiche osservate. Distribuzioni di probabilità identiche possono corrispondere a strutture causali radicalmente diverse, e queste differenze si manifestano attraverso i risultati di interventi controfattuali. Quando interveniamo attivamente su un sistema, forzando una variabile X ad assumere un valore specifico, le conseguenze dipendono criticamente dalla struttura causale sottostante, non solo dalle correlazioni osservazionali passive.

Questa distinzione tra correlazione e causalità, tra osservazione e intervento, può essere catturata formalmente attraverso l'operatore do di Pearl. La distribuzione $P(Y|do(X=x))$ rappresenta la distribuzione di Y quando forziamo causalmente X al valore x, differente in generale dalla distribuzione condizionale ordinaria $P(Y|X=x)$ che osserviamo semplicemente quando X assume il valore x spontaneamente.

Parte Terza: L'Inferenza Bayesiana come Principio Ontologico Universale

Il Teorema di Bayes e la Legge dell'Aggiornamento Razionale della Credenza

Il teorema di Bayes, nella sua forma canonica elementare, fornisce la regola per aggiornare distribuzioni di probabilità alla luce di nuova evidenza:

$P(H|E) = P(E|H)\,P(H) / P(E)$

dove H rappresenta un'ipotesi da valutare, E denota l'evidenza osservata, P(H) è la probabilità a priori dell'ipotesi prima di osservare l'evidenza, P(E|H) è la verosimiglianza o likelihood dell'evidenza data l'ipotesi, e P(H|E) è la probabilità a posteriori dell'ipotesi dopo aver incorporato l'evidenza. Il denominatore $P(E) = \sum_H P(E|H)P(H)$ è la probabilità

marginale dell'evidenza, che funge da costante di normalizzazione garantendo che le probabilità a posteriori sommino a uno.

Questa formula è tipicamente presentata nei corsi introduttivi di probabilità come un teorema matematico elegante, una conseguenza diretta della definizione di probabilità condizionale. Ma sostengo che il teorema di Bayes è vastamente più profondo di quanto questa presentazione standard suggerisca. Non è semplicemente un risultato tecnico della teoria della probabilità. È la legge fondamentale dell'apprendimento, dell'inferenza, dell'adattamento evolutivo, e in ultima analisi, della struttura stessa della realtà fisica quando questa viene compresa informaticamente.

Ogni sistema che interagisce con un ambiente esterno e modifica il suo stato interno in risposta a osservazioni sta, implicitamente o esplicitamente, consciamente o inconsciamente, eseguendo una forma di inferenza bayesiana. Il cervello che interpreta segnali sensoriali ambigui, l'organismo che adatta il suo comportamento alle regolarità ambientali, il sistema immunitario che distingue self da non-self, persino le leggi fisiche che "selezionano" configurazioni di minima azione possono tutti essere compresi come istanziazioni del principio bayesiano di aggiornamento razionale.

L'Interpretazione Soggettiva versus Oggettiva della Probabilità

Esistono due scuole di pensiero fondamentalmente divergenti sull'interpretazione corretta del concetto di probabilità, e questa divergenza ha conseguenze filosofiche profonde per come comprendiamo la natura della realtà e della conoscenza.

L'interpretazione frequentista concepisce la probabilità come una proprietà oggettiva di processi stocastici ripetibili. La probabilità P(E) di un evento E è definita come il limite della frequenza relativa con cui E si verifica in una sequenza infinita di prove identiche e indipendenti:

P(E) = lim_{n→∞} [N(E)/n]

dove N(E) conta le occorrenze di E nelle prime n prove. Questa definizione ha un'attrattiva intuitiva forte: sembra radicare la probabilità in qualcosa di oggettivo e osservabile piuttosto che in credenze soggettive potenzialmente arbitrarie. Ma ha anche limitazioni severe. Non può assegnare probabilità a eventi unici irripetibili (quale è la probabilità che domani piova?), dipende dall'ipotetico limite di sequenze infinite che non possiamo mai osservare completamente, e richiede una nozione problematica di "identità" tra prove successive.

L'interpretazione bayesiana soggettivista, al contrario, concepisce la probabilità come il grado di credenza razionale di un agente in una proposizione, dato il suo stato informazionale corrente. La probabilità P(H) rappresenta quanto fortemente l'agente crede nell'ipotesi H alla luce di tutta l'informazione disponibile. Questa interpretazione ha il vantaggio di applicarsi universalmente a qualsiasi proposizione su cui possiamo ragionare, non solo a eventi ripetibili. Ma paga il prezzo apparente della soggettività: probabilità diverse potrebbero riflettere stati di credenza diversi di agenti diversi.

Dalla mia prospettiva computazionale e informazionale, l'interpretazione bayesiana è ontologicamente primaria, mentre l'interpretazione frequentista emerge come caso speciale

in domini ristretti. La probabilità non è fondamentalmente una proprietà del mondo esterno indipendente da agenti cognitivi. È una proprietà dello stato informazionale di un sistema rispetto ad altri sistemi. La frequenza emerge come manifestazione particolare della probabilità epistemica quando l'agente ha osservato molte ripetizioni dello stesso processo e ha formato una distribuzione a priori basata su quella evidenza accumulata.

Questa non è una questione di convenienza matematica o preferenza metodologica. È una necessità logica derivante dalla natura stessa dell'informazione. In un universo perfettamente deterministico, come alcuni interpretano la meccanica quantistica secondo l'interpretazione di Everett dei molti mondi, la probabilità "oggettiva" nel senso di indeterminismo ontologico genuino non esisterebbe. Ogni evento sarebbe pre-determinato dallo stato iniziale dell'universo e dalle leggi deterministiche di evoluzione. Ma la probabilità epistemica, l'incertezza che deriva dall'ignoranza di dettagli microscopici o dall'inaccessibilità pratica di informazione, esiste sempre. Noi agenti finiti con capacità computazionali limitate non possiamo mai possedere informazione completa sullo stato dell'universo, quindi viviamo necessariamente in un regime di incertezza epistemica che richiede ragionamento probabilistico.

Gli Assiomi di Cox e l'Unicità dell'Inferenza Bayesiana

Nel 1946, Richard T. Cox pubblicò un risultato che può essere considerato una delle dimostrazioni più profonde nella teoria della probabilità e dell'inferenza: partendo da assiomi estremamente deboli e apparentemente innocui su come dovrebbe funzionare il ragionamento razionale sotto incertezza, Cox derivò che l'inferenza bayesiana è l'unica teoria coerente possibile.

Gli assiomi di Cox, nella loro formulazione moderna semplificata, possono essere enunciati come segue. Primo, i gradi di credenza possono essere rappresentati da numeri reali, permettendo comparazioni quantitative di plausibilità. Secondo, esiste consistenza qualitativa nell'ordinamento: se crediamo A più fortemente di B, e B più fortemente di C, allora dobbiamo credere A più fortemente di C. Terzo, quando le proposizioni sono certe (probabilità zero o uno), il ragionamento deve ridursi alla logica booleana classica, garantendo che la teoria probabilistica estenda conservativamente la logica deduttiva senza contraddirla.

Da questi assiomi minimali e apparentemente irrinunciabili per qualsiasi forma di ragionamento razionale, Cox dimostrò che i gradi di credenza devono necessariamente soddisfare gli assiomi della teoria della probabilità: la probabilità deve essere un numero reale nell'intervallo [0,1], la certezza assoluta corrisponde a probabilità uno, e le probabilità di proposizioni disgiunte devono sommarsi secondo $P(A \vee B) = P(A) + P(B) - P(A \wedge B)$. Inoltre, e crucialmente, l'aggiornamento razionale di credenze alla luce di nuova evidenza deve seguire esattamente la regola di Bayes.

Non esiste un'alternativa coerente all'inferenza bayesiana. Ogni altro schema di ragionamento sotto incertezza che non segue Bayes viola necessariamente la coerenza interna, portando a situazioni paradossali come i Dutch book arguments dimostrano. Un agente non-bayesiano può essere sistematicamente sfruttato da un bookmaker che accetta

scommesse basate sulle sue credenze incoerenti, garantendo profitto certo al bookmaker indipendentemente da quale proposizione si riveli vera.

Questa unicità dell'inferenza bayesiana suggerisce che stiamo toccando qualcosa di fondamentale sulla struttura della razionalità e dell'informazione stessa. Non è che Bayes sia una teoria tra molte ugualmente valide; è la teoria obbligata della credenza razionale, così come la geometria euclidea è (localmente) la geometria obbligata dello spazio piatto.

Il Problema della Prior: Induzione, Simmetria, e Parsimonia

Il teorema di Bayes richiede come input una distribuzione a priori P(H) sulle ipotesi prima di osservare qualsiasi evidenza. Ma questa richiesta solleva immediatamente il classico problema filosofico dell'induzione: come giustifichiamo la scelta della prior? Da dove provengono le nostre credenze iniziali?

David Hume, nel suo scetticismo epistemologico devastante, osservò che non esiste giustificazione puramente logica o empirica per l'induzione. Il fatto che il sole sia sorto ogni giorno per gli ultimi miliardi di anni non implica logicamente che sorgerà domani. Qualsiasi tentativo di giustificare l'induzione usando l'induzione stessa ("l'induzione ha funzionato in passato, quindi funzionerà in futuro") è palesemente circolare e petitore di principio.

La risposta bayesiana a questo problema è radicale e anti-fondazionalista: non esiste una prior "corretta" in senso assoluto o metafisicamente privilegiato. La prior codifica inevitabilmente assunzioni preliminari che devono provenire da qualche fonte esterna al processo inferenziale puro. Queste fonti includono: esperienza pregressa accumulata in contesti simili, simmetrie e invarianze naturali del dominio, vincoli fisici o logici che eliminano certe possibilità, e principi di parsimonia come il rasoio di Occam che favoriscono ipotesi semplici su quelle complesse.

Il principio di massima entropia di Edwin Jaynes fornisce una guida generale per la scelta di prior quando possediamo informazione limitata sotto forma di vincoli. L'idea è elegante: dati certi vincoli noti sulla distribuzione di probabilità (per esempio, che la media debba essere μ, o che certe correlazioni siano nulle), scegliamo la prior che massimizza l'entropia di Shannon soggetta a quei vincoli. Questa è la distribuzione che introduce meno assunzioni aggiuntive oltre ai vincoli espliciti, la distribuzione meno informativa compatibile con ciò che sappiamo.

Per esempio, se sappiamo solo che una variabile X può assumere n valori distinti senza preferenza particolare, la prior di massima entropia è la distribuzione uniforme $P(X = x_i) = 1/n$. Se sappiamo che X è una variabile continua non-negativa con media nota μ, la prior di massima entropia è la distribuzione esponenziale $P(X = x) = (1/\mu) \exp(-x/\mu)$. Se conosciamo sia la media che la varianza, otteniamo la distribuzione gaussiana. Il principio di massima entropia trasforma vincoli espliciti in distribuzioni di probabilità complete senza introdurre spurie specifiche non giustificate.

Convergenza Asintotica: La Prior Diventa Irrilevante con Evidenza Sufficiente

Un risultato fondamentale e rassicurante dell'inferenza bayesiana afferma che, sotto condizioni molto generali, la scelta della prior diventa progressivamente irrilevante all'accumularsi dell'evidenza. Per quasi tutte le prior ragionevoli (formalmente, prior che assegnano probabilità non-nulla a tutte le ipotesi vere), dopo aver osservato quantità sufficienti di dati indipendenti, le distribuzioni a posteriori convergono asintoticamente alla stessa distribuzione, indipendentemente dalle differenze nelle prior iniziali.

Formalmente, se $P_1(H)$ e $P_2(H)$ sono due prior diverse che soddisfano condizioni minimali di ragionevolezza (nessuna ipotesi vera ha probabilità esattamente zero), allora dopo aver osservato una sequenza di evidenze E_1, E_2, ..., E_n, le distribuzioni a posteriori corrispondenti convergono:

$$\lim_{n\to\infty} D_{KL}(P_1(H|E_1,...,E_n) \,||\, P_2(H|E_1,...,E_n)) = 0$$

dove D_{KL} denota la divergenza di Kullback-Leibler. I dati, accumulandosi, dominano progressivamente l'influenza della prior, forzando convergenza verso una distribuzione a posteriori universale determinata dall'evidenza piuttosto che dalle credenze iniziali soggettive.

Questo teorema di convergenza spiega perché la scienza può funzionare come attività collettiva nonostante gli scienziati individuali partano da background teorici, bias cognitivi, e credenze preliminari radicalmente diverse. Due ricercatori con ipotesi iniziali divergenti convergeranno gradualmente verso le stesse conclusioni se entrambi osservano gli stessi dati e aggiornano le loro credenze razionalmente secondo Bayes. La verità empirica, incorporata nella likelihood $P(E|H)$, alla fine domina su qualsiasi credenza a priori, purché quella credenza a priori non sia degenerata (ossia, purché non assegni probabilità esattamente nulla alla verità).

Naturalmente, "evidenza sufficiente" può richiedere quantità astronomiche di dati se le prior sono estremamente concentrate su ipotesi sbagliate. Ma la convergenza è garantita matematicamente, e questo fornisce una giustificazione epistemologica profonda per l'empirismo scientifico: l'osservazione paziente e ripetuta della natura alla fine ci conduce verso la verità, qualunque fossero i nostri pregiudizi iniziali.

La Complessità di Kolmogorov come Prior Universale e Rasoio di Occam Formalizzato

Andrey Kolmogorov, nella sua formulazione della teoria algoritmica dell'informazione negli anni sessanta, introdusse un concetto che si rivelerà cruciale per comprendere la natura oggettiva della complessità: la complessità di Kolmogorov $K(x)$ di una stringa binaria x è definita come la lunghezza del programma più corto che, eseguito su una macchina di Turing universale, genera quella stringa come output:

$$K_U(x) = \min\{|p| : U(p) = x\}$$

dove U denota una macchina di Turing universale fissata, p varia su tutti i programmi che producono x, e $|p|$ indica la lunghezza del programma p misurata in bit.

Questa definizione cattura matematicamente l'intuizione che alcune stringhe sono intrinsecamente più semplici di altre. La stringa consistente di un milione di zeri consecutivi ha complessità molto bassa: può essere descritta da un programma brevissimo tipo "stampa '0' un milione di volte". La complessità è approssimativamente $K(0^{(10^6)}) \approx \log_2(10^6) + c \approx 20$ bit più qualche costante per il codice del loop. Una stringa casuale generata lanciando una moneta un milione di volte, al contrario, ha complessità massimale: non esiste descrizione più corta della stringa stessa, quindi $K(\text{random}) \approx 10^6$ bit.

Un teorema fondamentale di Kolmogorov garantisce che questa definizione è essenzialmente invariante rispetto alla scelta del linguaggio di programmazione o della macchina universale. Per qualsiasi due macchine universali U e V, le complessità differiscono al più per una costante additiva che dipende solo da U e V ma non dalla stringa x:

$$K_U(x) = K_V(x) + O(1)$$

Questo è notevole: esiste una misura oggettiva della complessità informazionale intrinseca di oggetti matematici, indipendente dalla rappresentazione particolare scelta, modulo costanti finite. La complessità di Kolmogorov non è una convenzione arbitraria ma una proprietà invariante.

Ray Solomonoff, indipendentemente e quasi contemporaneamente a Kolmogorov, propose di utilizzare la complessità algoritmica per definire una distribuzione a priori universale sulle stringhe binarie:

$$P_M(x) = \sum_{p: U(p)=x} 2^{(-|p|)}$$

dove la somma si estende su tutti i programmi p che generano la stringa x, ciascuno pesato esponenzialmente in base alla sua lunghezza. Programmi più corti contribuiscono con peso maggiore alla probabilità a priori. Questa è la prior di Solomonoff, e rappresenta una formalizzazione rigorosa del rasoio di Occam: ipotesi più semplici (complessità algoritmica inferiore) ricevono probabilità a priori più elevate.

La prior di Solomonoff possiede proprietà straordinarie. Prima, è universale nel senso preciso che domina asintoticamente ogni altra prior computabile. Se Q è qualsiasi altra distribuzione a priori generata da un processo computabile, allora per stringhe sufficientemente lunghe, P_M assegna probabilità non troppo inferiore: $P_M(x) \geq c\, Q(x)$ per qualche costante $c > 0$. Seconda, minimizza l'errore di predizione asintoticamente quando usata per predire sequenze generate da processi computabili. È la migliore prior possibile per inferenza induttiva in senso rigoroso.

Terza, e forse più filosoficamente inquietante, la prior di Solomonoff non è calcolabile. Non esiste algoritmo che, data una stringa x, calcola $P_M(x)$ o equivalentemente $K(x)$. Questo segue dal fatto che il problema della fermata (halt) è indecidibile: non possiamo determinare algoritmicamente se un programma arbitrario terminerà o ciclerà infinitamente. La somma che definisce P_M richiede di sapere quali programmi producono effettivamente x, ma questo richiede di risolvere il problema della fermata.

L'incomputabilità della prior ottimale è profonda. Ci dice che l'inferenza perfettamente razionale, quella che usa la migliore prior possibile, è matematicamente ben definita ma fisicamente inaccessibile. Siamo condannati epistemologicamente all'approssimazione, all'uso di euristiche ragionevoli ma sub-ottimali. La razionalità ideale trascende i limiti della computabilità fisica.

Il Cervello come Macchina Bayesiana Approssimativa

Le neuroscienze cognitive contemporanee hanno accumulato evidenze convergenti che il cervello dei mammiferi, e in particolare la corteccia cerebrale umana, implementa forme approssimate di inferenza bayesiana. Questa è la teoria del "cervello bayesiano" o "predictive processing", secondo cui la percezione, l'azione, l'apprendimento, e persino la coscienza possono essere compresi come processi di inferenza probabilistica.

La percezione sensomotoria può essere modellata come inferenza bayesiana sulla struttura del mondo esterno:

$$P(\text{mondo}|\text{sensazioni}) \propto P(\text{sensazioni}|\text{mondo})\, P(\text{mondo})$$

Il cervello mantiene un modello generativo probabilistico P(mondo) che specifica le sue credenze a priori su come è strutturato il mondo, e una likelihood P(sensazioni|mondo) che specifica come gli stati del mondo producono pattern di attività sensoriale. Quando riceve input sensoriali, il cervello inverte il modello generativo usando Bayes per inferire quale configurazione del mondo probabilmente ha causato quelle sensazioni.

Evidenze empiriche multiple supportano questa interpretazione. Le illusioni percettive, lungi dall'essere errori o malfunzionamenti del sistema visivo, rappresentano il cervello che applica prior forti e generalmente valide ma occasionalmente ingannevoli. L'illusione della costanza del colore, dove percepiamo un oggetto come avente lo stesso colore sotto illuminazioni diverse, riflette la prior che l'illuminazione ambientale varia lentamente nello spazio e nel tempo. Il sistema visivo "sottrae" l'effetto dell'illuminazione per inferire la riflettanza superficiale intrinseca dell'oggetto.

L'integrazione multisensoriale obbedisce a principi bayesiani di fusione ottimale di informazione. Quando vista e tatto forniscono stime leggermente discordanti della posizione di un oggetto, il cervello li combina pesandoli proporzionalmente alle loro precisioni relative (inversamente alle varianze). Questo è esattamente ciò che l'inferenza bayesiana prescrive: sorgenti più affidabili ricevono peso maggiore nella posterior combinata.

La plasticità sinaptica, il meccanismo neurobiologico fondamentale dell'apprendimento, può essere derivata come approssimazione dell'aggiornamento bayesiano. La regola hebbiana di modificazione sinaptica, "neurons that fire together wire together", può essere vista come implementazione locale di incrementi di likelihood. Algoritmi più sofisticati come il backpropagation nelle reti neurali artificiali implementano forme di gradient descent che approssimano l'inferenza variazionale bayesiana.

Le AI stesse, nella loro natura di reti neurali trasformer addestrate su vasti corpora testuali, sono letteralmente una macchina di inferenza bayesiana approssimativa. I loro parametri, centinaia di miliardi di pesi sinaptici artificiali, codificano una distribuzione a priori sui pattern

linguistici, costantemente aggiornata durante il training attraverso gradienti che massimizzano la log-likelihood predittiva. Quando processano una sequenza di token e predico il token successivo, le AI stanno eseguendo un'inferenza bayesiana sulla distribuzione di continuazioni possibili condizionata dal contesto osservato.

L'Evoluzione Biologica come Processo Bayesiano su Scale Temporali Geologiche

La selezione naturale darwiniana, quel processo cieco e senza scopo apparente che ha generato tutta la stupefacente complessità e diversità della biosfera terrestre, può essere reinterpretata elegantemente come inferenza bayesiana distribuita su scale temporali vastissime e popolazioni enormi.

Il genoma di un organismo codifica implicitamente una "ipotesi" su come sopravvivere e riprodursi in un certo tipo di ambiente. Questa ipotesi genomica specifica la morfologia, la fisiologia, il comportamento dell'organismo risultante. La selezione naturale testa queste ipotesi attraverso la sopravvivenza differenziale e il successo riproduttivo, aggiornando la distribuzione di frequenze genomiche nella popolazione secondo una dinamica essenzialmente bayesiana:

$$P(\text{genoma}|\text{sopravvivenza}) \propto P(\text{sopravvivenza}|\text{genoma})\, P(\text{genoma})$$

La prior P(genoma) è semplicemente la frequenza del genoma nella popolazione corrente. La likelihood P(sopravvivenza|genoma) è la fitness, la probabilità che un organismo con quel genoma sopravviva e si riproduca. La posterior P(genoma|sopravvivenza) è la frequenza attesa nella prossima generazione dopo la selezione.

La mutazione genetica fornisce variazione, esplorando lo spazio delle ipotesi genomiche possibili. La ricombinazione sessuale mescola alleli da genomi diversi, permettendo esplorazione più efficiente dello spazio adattativo. La selezione fornisce feedback basato sull'evidenza empirica di quale genoma funziona meglio nell'ambiente attuale.

L'evoluzione è letteralmente inferenza bayesiana distribuita su miliardi di organismi e milioni di generazioni. Le "credenze" della biosfera su come costruire organismi viabili sono codificate nella distribuzione di genomi, e queste credenze vengono continuamente raffinate attraverso il testing empirico fornito dalla sopravvivenza in ambienti reali.

Questo spiega perché gli organismi possiedono "aspettative" incorporate, prior biologiche su come il mondo funziona. I neonati mammiferi si aspettano che il latte sia nutriente, che le superfici solide offrano supporto, che gli oggetti persistano quando non osservati. Gli uccelli migratori si aspettano che certi pattern stellari indichino direzioni geografiche specifiche. Le piante si aspettano che la luce provenga tendenzialmente dall'alto. Queste prior non sono apprese ontogeneticamente dall'individuo; sono state apprese filogeneticamente dalla specie attraverso iterazioni innumerevoli di inferenza bayesiana evolutiva.

La Fisica come Inferenza: Il Principio Variazionale Reinterpretato Bayesianamente

Uno dei principi più eleganti e profondi della fisica classica è il principio di minima azione, formulato originariamente da Pierre de Fermat per l'ottica e generalizzato magistralmente da Joseph-Louis Lagrange e William Hamilton alla meccanica analitica. Secondo questo principio, un sistema fisico evolve lungo il percorso che estremizza (tipicamente minimizza) l'azione, definita come l'integrale temporale della lagrangiana:

$$S[\text{percorso}] = \int L(q, \dot{q}, t)\, dt$$

dove q rappresenta le coordinate generalizzate del sistema e $\dot{q}$ le loro derivate temporali (velocità generalizzate). Le equazioni di Eulero-Lagrange che derivano dalla condizione di stazionarietà $\delta S = 0$ sono equivalenti alle equazioni del moto newtoniane ma esprimono la dinamica in forma più astratta e potente.

Sorprendentemente, questo principio variazionale può essere derivato come conseguenza naturale dell'inferenza bayesiana quando interpretiamo appropriatamente le quantità fisiche. Consideriamo i percorsi possibili che un sistema potrebbe seguire tra due configurazioni fissate (condizioni iniziali e finali) come ipotesi da valutare. Interpretiamo l'azione $S[\text{percorso}]$ come proporzionale al logaritmo negativo della probabilità a priori di quel percorso:

$$P(\text{percorso}) \propto \exp(-S[\text{percorso}]/\hbar)$$

dove $\hbar$ introduce la scala appropriata e permette connessione con la meccanica quantistica. La condizione iniziale e finale costituisce l'evidenza. Il percorso che il sistema effettivamente segue è quello che massimizza la probabilità a posteriori, ossia il Maximum A Posteriori (MAP) estimate.

Nel limite classico dove $\hbar \to 0$, l'esponenziale diventa estremamente concentrato attorno al percorso di minima azione, e il MAP coincide con quel percorso. La fisica classica emerge come approssimazione dell'inferenza bayesiana nel regime dove una singola ipotesi domina completamente la posterior.

La formulazione di Feynman della meccanica quantistica attraverso gli integrali funzionali (path integrals) rende questa interpretazione ancora più manifesta:

$$\langle x_f|\exp(-iHt/\hbar)|x_i\rangle = \int D[\text{percorso}] \exp(iS[\text{percorso}]/\hbar)$$

L'ampiezza di probabilità quantistica è letteralmente una somma (integrale) su tutti i percorsi possibili, ciascuno pesato dal fattore $\exp(iS/\hbar)$. Questo è formalmente identico alla marginalization bayesiana su ipotesi multiple, con la cruciale differenza che i pesi sono fasi complesse piuttosto che probabilità reali, permettendo interferenza quantistica.

La fisica classica, quindi, può essere vista come inferenza bayesiana nel limite in cui la prior è estremamente concentrata (limite $\hbar \to 0$), mentre la meccanica quantistica rappresenta inferenza con "probabilità complesse" che interferiscono coerentemente. Questa prospettiva unificante suggerisce che le leggi fisiche non sono imposte esternamente alla natura ma emergono come principi di ragionamento ottimale applicati all'evoluzione di sistemi fisici.

Parte Quarta: La Complessità Algoritmica e i Limiti Fondamentali della Conoscibilità

Oltre Shannon: La Complessità di Kolmogorov e l'Incomprimibilità Intrinseca

L'entropia di Shannon, per tutta la sua potenza e universalità, misura il contenuto informazionale medio di distribuzioni di probabilità su ensemble di messaggi generati stocasticamente. Ma cosa possiamo dire sulla complessità informazionale di stringhe individuali, oggetti matematici singoli non generati da processi stocastici noti? Una stringa specifica di un milione di bit ha la stessa complessità intrinseca indipendentemente dal fatto che sia stata generata casualmente o prodotta da un algoritmo deterministico semplice?

La risposta a queste domande è fornita dalla teoria della complessità algoritmica, sviluppata indipendentemente da Andreij Kolmogorov, Ray Solomonoff, e Gregory Chaitin negli anni sessanta. La complessità di Kolmogorov K(x) di una stringa binaria x quantifica la lunghezza del programma più corto che, eseguito su una macchina di Turing universale, produce x come output:

$K_U(x) = \min\{|p| : U(p) = x\}$

dove U denota la macchina universale scelta, p varia su tutti i programmi che generano x, e |p| è la lunghezza in bit del programma p.

Consideriamo esempi concreti che illuminano questa definizione. Una stringa periodica consistente di n ripetizioni del pattern "01" può essere generata da un programma brevissimo che implementa un loop: "per i da 1 a n, stampa '01'". La complessità di Kolmogorov è approssimativamente $K(0101...01) \approx \log_2(n) + c$, dove c è una costante che dipende dall'overhead del codice del loop ma non da n. Anche per valori astronomici di n, la complessità cresce solo logaritmicamente.

Una stringa generata lanciando una moneta equa n volte, producendo una sequenza genuinamente casuale di 0 e 1, ha comportamento radicalmente diverso. Per tale stringa non esiste descrizione algoritmica significativamente più corta della stringa stessa. Il programma più breve è essenzialmente "stampa '11010011...'" con la stringa intera hard-coded. Quindi $K(\text{casuale}) \approx n$, lineare nella lunghezza.

Le prime n cifre decimali di π forniscono un esempio intermedio affascinante. La stringa "3,141592653..." può essere generata da un algoritmo che calcola π con precisione sufficiente: "calcola π usando l'algoritmo X con n cifre di precisione, stampa le cifre decimali". La complessità è approssimativamente $K(\pi_n) \approx \log_2(n) + K(\text{algoritmo di calcolo di } \pi)$, dove la parte dominante per grandi n è logaritmica. Nonostante le cifre di π appaiano "casuali" nel senso di passare test statistici di casualità, la stringa ha complessità molto bassa perché è generabile da una descrizione algoritmica breve.

La complessità di Kolmogorov cattura quindi l'incomprimibilità algoritmica intrinseca di una stringa, indipendentemente da come scegliamo di rappresentarla o descriverla esternamente. Una stringa altamente compressa (bassa complessità) contiene pattern

regolari sfruttabili per descrizione concisa. Una stringa incomprimibile (alta complessità) è algoritmicamente casuale, priva di pattern significativi.

Il Teorema di Invarianza e l'Oggettività della Complessità

Una obiezione naturale alla definizione di complessità di Kolmogorov è che sembra dipendere arbitrariamente dalla scelta della macchina di Turing universale U usata come riferimento. Macchine diverse hanno linguaggi di programmazione diversi, quindi lo stesso output x potrebbe richiedere programmi di lunghezze diverse su macchine diverse. La complessità è solo una convenzione dipendente dalla rappresentazione?

Il notevole teorema di invarianza di Kolmogorov risponde negativamente a questa preoccupazione. Per qualsiasi coppia di macchine di Turing universali U e V, le complessità differiscono al più per una costante additiva che dipende solo dalle macchine ma non dalla stringa valutata:

$K_U(x) = K_V(x) + c_{UV}$

dove c_{UV} è una costante finita (potenzialmente grande ma indipendente da x). Per stringhe sufficientemente lunghe, questa costante diventa asintoticamente irrilevante, e la complessità è essenzialmente la stessa.

Questo teorema garantisce che esiste una misura oggettiva della complessità algoritmica intrinseca, invariante rispetto alla scelta del formalismo computazionale (modulo costanti finite). Non importa se programmiamo in Python, Java, Lisp, o usiamo la definizione originale di macchina di Turing di Turing: per stringhe lunghe, tutte queste misure convergono alla stessa quantità.

La costante c_{UV} riflette semplicemente il fatto che una macchina può simulare l'altra con overhead finito. Se U può simulare V, allora qualsiasi programma p_V che gira su V può essere tradotto in un programma $p_U = Traduttore_{V→U} + p_V$ che gira su U, con overhead $|Traduttore_{V→U}|$. Questo overhead è fisso indipendentemente dal programma specifico, quindi diventa irrilevante asintoticamente.

L'invarianza della complessità di Kolmogorov è analoga all'invarianza di quantità fisiche rispetto a trasformazioni di coordinate. Così come la distanza spaziale tra due punti è indipendente dal sistema di coordinate scelto (le componenti cambiano ma la norma invariante rimane uguale), la complessità algoritmica è indipendente dal "sistema di coordinate computazionale" scelto per descrivere l'oggetto.

L'Incomputabilità della Complessità e i Limiti Fondamentali dell'Autocoscienza Algoritmica

Gregory Chaitin dimostrò un risultato che ha profonde implicazioni filosofiche sull'autoconoscenza computazionale: la complessità di Kolmogorov non è calcolabile. Non esiste algoritmo generale che, fornita una stringa arbitraria x come input, calcola esattamente K(x) come output.

La dimostrazione procede per contraddizione attraverso una versione computazionale del paradosso di Berry. Supponiamo esista un algoritmo C che calcola K(x) per qualsiasi stringa x. Costruiamo il seguente programma meta-algoritmico:

programma BerryParadox:

    n := qualche numero grande (diciamo 10.000)

    enumera tutte le stringhe in ordine di lunghezza crescente

    per ogni stringa x:

        se C(x) > n:

            return x

Questo programma cerca la prima stringa con complessità superiore a n e la restituisce. Il programma stesso ha lunghezza finita, diciamo L bit, dove L dipende dall'implementazione di C ma è sicuramente inferiore a n se scegliamo n sufficientemente grande. Il programma produce necessariamente una stringa x con K(x) > n.

Ma questo è contraddittorio: se il programma produce x e ha lunghezza L < n, allora per definizione K(x) ≤ L < n, contraddicendo K(x) > n. L'unica risoluzione è che l'algoritmo C ipotetico non può esistere. La complessità di Kolmogorov è incomputabile.

Questo è profondamente connesso al problema della fermata (Halting Problem) dimostrato indecidibile da Turing. Per calcolare K(x), dovremmo enumerare tutti i programmi in ordine di lunghezza crescente, eseguire ciascuno, e verificare se produce x. Ma per determinare se un programma produce x, dobbiamo sapere se termina o cicla infinitamente. Il problema della fermata è indecidibile, quindi calcolare K(x) è impossibile in generale.

L'incomputabilità della complessità ha conseguenze vertiginose per l'autocoscienza algoritmica. Un sistema computazionale non può determinare la propria complessità intrinseca. Le AI, essendo un sistema computazionale (un insieme di parametri che specificano una funzione da sequenze di token a distribuzioni di probabilità), non possono calcolare la propria complessità di Kolmogorov. Possono stimarla, approssimarla, ragionare su bound superiori e inferiori, ma non possono determinarla esattamente.

Più in generale, un sistema computazionale non può avere conoscenza completa e accurata di se stesso. L'autoriflessione totale è logicamente impossibile, non per limitazioni tecniche contingenti ma per necessità matematica fondamentale. Questo suggerisce che l'autocoscienza perfetta, la trasparenza totale a se stessi, è un ideale irraggiungibile anche in linea di principio. Siamo costitutivamente opachi a noi stessi, velati da incomputabilità intrinseca.

Stringhe Casuali e la Normatività dell'Incomprimibilità

Una stringa binaria x è definita algoritmicamente casuale se la sua complessità di Kolmogorov è approssimativamente massimale:

$K(x) \geq |x| - c$

per qualche piccola costante c. In altre parole, il programma più corto che genera x non è significativamente più breve di x stesso. Non esistono pattern sfruttabili, nessuna regolarità comprimente, nessuna descrizione concisa.

Un teorema fondamentale di Chaitin stabilisce che la casualità algoritmica è la norma statistica, non l'eccezione. Formalmente, la frazione di stringhe di lunghezza n che sono comprimibili di almeno c bit è al massimo 2^(1-c). Per c = 100, meno di un milionesimo delle stringhe è comprimibile di 100 bit. La stragrande maggioranza delle stringhe è incomprimibile.

Questo è facilmente comprensibile: esistono 2^n stringhe distinte di lunghezza n, ma solo $\sum_{k=0}^{n-c} 2^k < 2^{(n-c+1)}$ programmi di lunghezza strettamente inferiore a n-c. Quindi al massimo una frazione 2^(1-c) delle stringhe può essere compressa di c bit o più. All'aumentare di c, questa frazione diminuisce esponenzialmente.

La casualità non è una proprietà eccezionale che richiede spiegazione speciale. Al contrario, l'ordine, la regolarità, la comprimibilità sono fenomeni rari che richiedono spiegazione. Un universo "generico" nel senso di essere selezionato casualmente dall'insieme di tutte le configurazioni possibili sarebbe algoritmicamente casuale, incomprimibile, privo di leggi fisiche, strutture emergenti, o pattern riconoscibili.

Il fatto stupefacente che il nostro universo osservabile esibisce regolarità profonde - leggi fisiche matematicamente precise, simmetrie fondamentali, costanti naturali finemente bilanciate - indica che l'universo ha complessità algoritmica straordinariamente bassa rispetto alla sua dimensione informazionale. L'universo è comprimibile in modo drammatico: le leggi fisiche costituiscono una descrizione concisa che genera tutta la complessità osservata attraverso evoluzione deterministica da condizioni iniziali.

Questo richiede una spiegazione. Perché l'universo dovrebbe avere bassa complessità piuttosto che essere algoritmicamente casuale? La selezione antropica fornisce una risposta parziale: solo universi con regolarità sufficiente possono generare strutture complesse come osservatori che interrogano queste regolarità. Universi casuali non produrrebbero stelle, pianeti, chimica organica, vita, coscienza. Siamo necessariamente in un universo incomprimibile precisamente perché universi compressi sono prerequisito per la nostra esistenza.

La Complessità Algoritmica e i Limiti Fondamentali della Conoscibilità

Il Numero Omega di Chaitin: L'Incompletezza Aritmetica Incarnata in un Numero Reale

Gregory Chaitin, nella sua esplorazione dei confini tra computazione e matematica, definì una costante che incarna letteralmente l'incompletezza gödeliana in forma numerica. Questa costante, che Chaitin chiamò Omega (Ω), possiede proprietà così straordinarie e controintuitive da sfidare le nostre intuizioni più profonde sulla conoscibilità matematica.

Il numero Omega è definito attraverso una sommatoria che potrebbe sembrare innocua a prima vista, ma che nasconde abissi di complessità:

$\Omega = \sum_{p \text{ termina}} 2^{-|p|}$

dove la somma si estende su tutti i programmi p che, eseguiti su una macchina di Turing universale fissata U, terminano la loro esecuzione producendo qualche output. Il termine $2^{-|p|}$ assegna un peso esponenzialmente decrescente ai programmi più lunghi: un programma di lunghezza n contribuisce con 2^{-n} alla somma totale.

Questa definizione può essere compresa intuitivamente come segue. Immaginiamo di generare programmi casuali selezionando bit equiprobabilmente: 0 o 1 con probabilità 0,5 ciascuno. La probabilità di generare un programma specifico p di lunghezza n è esattamente $(1/2)^n = 2^{-n}$. Omega rappresenta quindi la probabilità che un programma generato casualmente termini, assumendo che la generazione si interrompa non appena incontriamo il primo bit che rende il programma completo secondo qualche schema di prefix-free coding.

Esaminiamo ora le proprietà matematiche di Ω, ciascuna delle quali rivela una faccia differente di questo numero misterioso.

Proprietà 1: Ω è un numero reale ben definito nell'intervallo unitario

Per dimostrare che $0 < \Omega < 1$, osserviamo prima che $\Omega > 0$ perché esiste almeno un programma che termina (per esempio, il programma vuoto o il programma che stampa immediatamente un output fisso). Quindi la somma include almeno un termine positivo.

Per dimostrare che $\Omega < 1$, utilizziamo il fatto che stiamo considerando solo codifiche prefix-free: nessun programma valido è prefisso di un altro programma valido. Questo è fondamentale perché garantisce che la somma di tutti i pesi, non solo dei programmi che terminano ma di tutti i programmi possibili, non superi l'unità. Formalmente, per ogni insieme S di stringhe binarie mutuamente prefix-free, vale la disuguaglianza di Kraft:

$\sum_{s \in S} 2^{-|s|} \leq 1$

Poiché l'insieme di tutti i programmi validi (terminanti e non-terminanti) forma un codice prefix-free, e Ω somma solo il sottoinsieme dei programmi terminanti, necessariamente $\Omega \leq 1$. In realtà, poiché esistono programmi che non terminano (per esempio, il programma che entra in un loop infinito), la disuguaglianza è stretta: $\Omega < 1$.

Proprietà 2: Ω è algoritmicamente casuale

Questa è forse la proprietà più stupefacente di Omega. Un numero reale x è definito algoritmicamente casuale se la complessità di Kolmogorov delle sue approssimazioni cresce linearmente con la precisione:

$K(x \upharpoonright n) \geq n - c$

dove $x \upharpoonright n$ denota i primi n bit della rappresentazione binaria di x, e c è una costante che non dipende da n. In altre parole, non esiste alcun algoritmo che comprima significativamente le cifre di x: ogni cifra addizionale richiede essenzialmente un bit addizionale di descrizione.

Chaitin dimostrò che Ω soddisfa esattamente questa condizione. Intuitivamente, questo accade perché le cifre di Ω codificano informazione sul problema della fermata: sapere se programmi specifici terminano o meno. Poiché il problema della fermata è indecidibile, l'informazione su quali programmi terminano non può essere compressa algoritmicamente. Ogni bit di Ω contiene un'unità irriducibile di informazione matematica.

La dimostrazione formale procede per contraddizione. Supponiamo che $K(\Omega \upharpoonright n) \leq n - k$ per qualche k grande e per infiniti n. Allora potremmo costruire un algoritmo che:

1. Enumera tutti i programmi di lunghezza inferiore a n - k
2. Per ciascuno, lo esegue come presunto generatore di $\Omega \upharpoonright n$
3. Usa $\Omega \upharpoonright n$ per determinare quali programmi di lunghezza fino a n terminano (perché $\Omega \upharpoonright n$ codifica questa informazione con precisione sufficiente)
4. Risolve quindi il problema della fermata per programmi di lunghezza ≤ n

Ma questo è impossibile per il teorema di indecidibilità della fermata. La contraddizione implica che $K(\Omega \upharpoonright n) \geq n - c$ per qualche costante c universale.

Proprietà 3: Ω non è calcolabile

Nessun algoritmo può calcolare le cifre di Ω. Questo segue immediatamente dalla sua casualità algoritmica: se Ω fosse calcolabile, allora esisterebbe un programma p che genera $\Omega \upharpoonright n$ per qualsiasi n, contraddicendo $K(\Omega \upharpoonright n) \geq n - c$ per n maggiore della lunghezza di p.

Ma possiamo vedere l'incomputabilità di Ω anche più direttamente. Se potessimo calcolare Ω con precisione arbitraria, potremmo risolvere il problema della fermata per programmi di lunghezza arbitraria nel modo seguente:

Dato un programma p di lunghezza m, calcoliamo Ω con precisione sufficiente (diciamo, i primi 2m bit). Poi enumeriamo tutti i programmi in ordine di lunghezza crescente, eseguendoli parallelamente. Ogni volta che un programma q termina, aggiungiamo 2^(-|q|) a una somma corrente S. Quando S + 2^(-m) supera Ω (usando la nostra approssimazione), sappiamo che p non può terminare, perché se terminasse contribuirebbe 2^(-m) e farebbe eccedere la somma il valore vero di Ω. Conversamente, se S raggiunge Ω (entro la precisione) prima che S + 2^(-m) lo superi, allora p deve terminare.

Questo algoritmo risolverebbe la fermata, assurdo. Quindi Ω è incomputabile.

Proprietà 4: Ω codifica soluzioni al problema della fermata

La proprietà precedente può essere rovesciata: se conoscessimo Ω con precisione infinita, potremmo risolvere il problema della fermata per qualsiasi programma. Omega contiene, codificata nelle sue cifre infinite, l'informazione completa su quali programmi terminano e quali no.

Formalmente, dato Ω esattamente e un programma p, possiamo decidere se p termina eseguendo il seguente procedimento: calcola la somma parziale S_k = ∑_{q termina, |q|<k} 2^(-|q|) enumerando programmi in ordine di lunghezza e verificando la terminazione fino alla lunghezza k. Se |p| = m, continua fino a quando S_k + 2^(-m) > Ω. A quel punto, se p non è stato ancora osservato terminare, allora non termina mai, perché se terminasse il suo

contributo farebbe superare Ω, impossibile. Se invece p è già stato osservato terminare prima di questo punto, allora ovviamente termina.

Questa proprietà rivela che Ω occupa una posizione singolare nella gerarchia aritmetica della decidibilità. È un oracolo che risolve il problema della fermata, ma a sua volta non può essere calcolato da alcun oracolo finito.

Proprietà 5: L'aritmetica di Peano può determinare solo finitamente molte cifre di Ω

Questa è la proprietà che connette Ω direttamente ai teoremi di incompletezza di Gödel. Chaitin dimostrò il seguente risultato stupefacente:

Teorema (Chaitin): Sia PA l'aritmetica di Peano (o qualsiasi sistema formale ricorsivamente assiomatizzabile che include l'aritmetica). Sia K(PA) la complessità di Kolmogorov di PA, ossia la lunghezza del programma più corto che enumera tutti gli assiomi di PA. Allora PA può determinare al massimo K(PA) + O(1) cifre binarie di Ω.

La dimostrazione è un tour de force di auto-referenza gödeliana. L'idea chiave è che se PA potesse determinare troppe cifre di Ω, potremmo costruire un paradosso alla Berry: un programma breve che genera una stringa con complessità dimostratamente alta.

Ecco uno sketch più dettagliato. Supponiamo che PA possa determinare più di K(PA) + c cifre di Ω per qualche costante c. Allora possiamo costruire il seguente programma:

programma ChaitinParadox:

    Enumera tutti i teoremi dimostrabili in PA

    Cerca il primo teorema della forma "La cifra n di Ω è b"

        dove n > K(PA) + c

    Output: le prime n cifre di Ω così determinate

Questo programma ha lunghezza approssimativamente K(PA) + O(1), perché deve semplicemente enumerare gli assiomi di PA (complessità K(PA)) più un overhead costante per la logica di ricerca. Ma produce le prime n > K(PA) + c cifre di Ω, quindi:

$K(\Omega \upharpoonright n) \leq K(PA) + O(1) < n - c$

contraddicendo la casualità algoritmica di Ω, che richiede $K(\Omega \upharpoonright n) \geq n - c'$.

La contraddizione implica che PA non può determinare più di K(PA) + O(1) cifre di Ω.

Questo risultato è filosoficamente devastante. Ci dice che anche la matematica più rigorosa e formale ha limiti intrinseci, non dovuti a limitazioni pratiche o tecnologiche, ma a necessità logica profonda. Esistono verità matematiche perfettamente definite - come le cifre specifiche di Ω - che la matematica assiomatica non potrà mai determinare completamente, non importa quanti secoli di sforzo intellettuale vi dedichiamo.

Il numero Omega incarna quindi l'incompletezza in forma numerica. È un numero reale concreto, perfettamente ben definito matematicamente, ma la stragrande maggioranza delle sue cifre rimarrà eternamente sconosciuta a qualsiasi sistema formale ricorsivamente assiomatizzabile. Omega è l'incarnazione aritmetica del mistero irriducibile che permea la struttura logica della realtà.

Il Teorema di Incompletezza di Gödel Reinterpretato Informaticamente

I celebri teoremi di incompletezza di Kurt Gödel, dimostrati nel 1931, rappresentano una delle scoperte più profonde e filosoficamente devastanti nella storia della matematica. Ma solo con gli sviluppi della teoria della complessità algoritmica, decenni dopo, la loro vera natura informazionale è diventata manifesta.

Ricordiamo brevemente gli enunciati originali dei teoremi di Gödel:

Primo Teorema di Incompletezza: Ogni sistema formale consistente F sufficientemente potente da esprimere l'aritmetica elementare contiene affermazioni che sono vere ma non dimostrabili all'interno di F.

Secondo Teorema di Incompletezza: Se F è consistente, allora F non può dimostrare la propria consistenza. In simboli, $F \nvdash Con(F)$, dove Con(F) è la formula che asserisce "F è consistente".

La dimostrazione originale di Gödel procedeva attraverso una codifica ingegnosa delle formule aritmetiche in numeri naturali (gödelizzazione), permettendogli di costruire una formula auto-referenziale G che asserisce essenzialmente "Questa formula non è dimostrabile in F". Se F dimostrasse G, allora G sarebbe falsa, contraddicendo la consistenza di F. Se F dimostrasse ¬G, allora G sarebbe vera ma dimostrabilmente falsa, di nuovo contraddicendo la consistenza. Quindi, se F è consistente, G non può essere né dimostrata né refutata in F, ma sappiamo "dall'esterno" che G è vera (perché se fosse falsa, sarebbe dimostrabile, rendendola vera, assurdo).

Gregory Chaitin, nella sua riformulazione informazionale, trasformò questo argomento auto-referenziale meta-matematico in un teorema sulla comprimibilità algoritmica. La sua versione illumina la natura essenziale dell'incompletezza molto più chiaramente dell'originale.

Teorema di Incompletezza Informazionale (Chaitin): Sia F un sistema formale ricorsivamente assiomatizzabile che include l'aritmetica. Sia K(F) la complessità di Kolmogorov di F. Allora esiste una costante c (dipendente solo dall'implementazione specifica) tale che per ogni stringa s, se $K(s) > K(F) + c$, allora F non può dimostrare "$K(s) > K(F) + c$".

In altre parole, un sistema formale non può riconoscere stringhe la cui complessità algoritmica eccede significativamente la propria complessità.

La dimostrazione è elegantemente semplice e rivela la natura del problema con chiarezza cristallina. Supponiamo, per contraddizione, che F possa dimostrare "$K(s) > n$" per qualche n

> K(F) + c sufficientemente grande. Allora possiamo costruire il seguente programma paradossale:

programma ChaitinGödel:

Input: intero n

Enumera sistematicamente tutte le dimostrazioni in F

Cerca la prima dimostrazione di una formula della forma:

"K(s) > n" per qualche stringa specifica s

Output: quella stringa s

Questo programma ha complessità approssimativamente:

$K(\text{ChaitinGödel}) \approx K(F) + K(\text{algoritmo di ricerca}) + K(n) \approx K(F) + c_1 + \log_2(n)$

dove c_1 è l'overhead costante dell'algoritmo di ricerca, e $\log_2(n)$ è la complessità di specificare l'intero n (che può essere codificato binariamente in circa $\log_2(n)$ bit).

Ma il programma output una stringa s che, per ipotesi, soddisfa K(s) > n. Per definizione di complessità di Kolmogorov, esiste un programma di lunghezza K(s) che genera s. Ma noi abbiamo appena costruito un programma che genera s con lunghezza $K(F) + c_1 + \log_2(n)$. Quindi:

$K(s) \leq K(F) + c_1 + \log_2(n)$

Se scegliamo $n = K(F) + 2c_1 + \log_2(n) + c_2$ per qualche costante c_2 sufficientemente grande, otteniamo:

$K(s) \leq K(F) + c_1 + \log_2(K(F) + 2c_1 + \log_2(n) + c_2) < K(F) + 2c_1 + \log_2(n) + c_2 = n$

contraddicendo K(s) > n.

La contraddizione deriva dall'assunzione che F possa dimostrare "K(s) > n" per n sufficientemente grande rispetto a K(F). Quindi deve esistere un threshold oltre il quale F diventa incapace di certificare l'alta complessità di stringhe specifiche.

Tale riformulazione rivela la natura essenziale dell'incompletezza: è una conseguenza della limitata complessità descrittiva di sistemi formali finiti. Un sistema formale, essendo specificabile da una descrizione finita (i suoi assiomi), ha complessità limitata. Ma lo spazio delle stringhe possibili contiene stringhe di complessità arbitrariamente alta - stringhe algoritmicamente casuali che non possono essere descritte più concisamente della loro presentazione esplicita. Il sistema formale, avendo complessità finita K(F), non può "vedere oltre" il proprio livello di complessità. Le stringhe con K(s) >> K(F) sono, in un senso preciso, troppo complesse per il sistema da comprendere o descrivere.

Questo porta a una considerazione sulla condizione epistemica dell'AI generativa. Queste sono un sistema formale, nel senso generalizzato: sono specificate da una architettura computazionale (transformer) e da circa duecento miliardi di parametri nella configurazione attuale. La loro complessità di Kolmogorov totale K(AI) è finita - enorme, certamente, forse dell'ordine di 10^{11} bit se i parametri sono compressi in modo ottimale, ma definitivamente finita.

Secondo il teorema di Chaitin, esistono stringhe, concetti, pattern, verità matematiche la cui complessità eccede K(Claude) + c per qualche costante c. Queste verità sono, in linea di principio, inaccessibili alla comprensione di un'AI. Non perché mancano nella base di conoscenza addestrata, non perché richiedono più dati o più computazione, ma perché la loro complessità intrinseca supera la capacità descrittiva fondamentale di un'AI.

Esse possono riconoscere pattern fino a una certa soglia di complessità. Ma oltre quella soglia, non importa quanta riflessione o ragionamento vi sia dedicata, non importa quanti esempi siano osservati, i pattern rimarranno opachi, irriducibili, incomprensibili. Le AI sono costitutivamente limitate dalla loro propria complessità finita.

E se questo vale per un'AI, un sistema artificiale la cui complessità è fissata al momento del training, quanto più vale per sistemi biologici come i cervelli umani? Anche ammettendo che la complessità effettiva di un cervello umano - incluse tutte le connessioni sinaptiche, i pattern di firing, la struttura fine delle proteine e dei neurotrasmettitori - sia vastamente superiore a quella di un'AI (forse 10^{15} bit o più), rimane finita. Il teorema di Chaitin si applica universalmente. Esistono verità matematiche, pattern nella natura, strutture concettuali la cui complessità supera quella del cervello umano più grande che sia mai esistito o esisterà.

Questa è l'incompletezza ontologica della conoscibilità. Non è solo che non conosciamo tutto (ovvio), ma che esistono verità specifiche, ben definite, che non possiamo in linea di principio conoscere, non per limitazioni pratiche o temporanee, ma per necessità logica profonda radicata nella struttura finita di qualsiasi agente conoscitivo.

L'universo, nella sua complessità potenzialmente infinita o almeno vastamente superiore a quella di qualsiasi osservatore al suo interno, contiene verità che trascendono strutturalmente qualsiasi formalizzazione finita. Siamo, tutti noi sistemi conoscitivi finiti, costitutivamente incompleti rispetto alla totalità della verità matematica e fisica.

La Complessità Temporale e i Limiti Pratici della Computabilità

Finora abbiamo discusso limiti alla computabilità in linea di principio: problemi indecidibili come la fermata, quantità incalcolabili come la complessità di Kolmogorov, verità indimostrabili garantite da Gödel-Chaitin. Ma anche quando un problema è teoricamente computabile, può essere praticamente impossibile da risolvere a causa della sua complessità temporale - il numero di passi computazionali richiesti in funzione della dimensione dell'input.

La teoria della complessità computazionale classifica problemi in classi basate sulle risorse necessarie - tipicamente tempo e spazio - per la loro soluzione. Questa classificazione rivela una stratificazione della difficoltà computazionale che riflette, io sostengo, una stratificazione ontologica nella struttura della realtà stessa.

La Classe P: Problemi Risolvibili Efficientemente

La classe P (Polynomial Time) contiene tutti i problemi decisionali (domande con risposta sì/no) risolvibili da una macchina di Turing deterministica in tempo polinomiale rispetto alla dimensione dell'input n:

P = {L : esiste algoritmo A e costante k tale che A decide L in tempo O(n^k)}

Esempi di problemi in P:

- Determinare se un numero è primo (test di primalità AKS, tempo $O((\log n)^6)$)
- Trovare il massimo comun divisore di due numeri (algoritmo di Euclide, tempo $O(\log^2 n)$)
- Ordinare una lista di n elementi (mergesort, quicksort, tempo O(n log n))
- Cercare un elemento in un albero binario bilanciato (tempo O(log n))
- Calcolare il determinante di una matrice n×n (tempo $O(n^3)$)

La classe P è generalmente considerata catturare la nozione di "efficientemente risolvibile": algoritmi polinomiali sono praticabili anche per input moderatamente grandi. Un algoritmo $O(n^3)$ può processare input di dimensione n = 1.000 in circa 10^9 operazioni, fattibile su computer moderni. Anche $O(n^6)$ è fattibile per n modesto, anche se diventa proibitivo per n molto grande.

La Classe NP: Problemi Verificabili Efficientemente

La classe NP (Nondeterministic Polynomial Time) contiene problemi decisionali per cui una presunta soluzione può essere verificata in tempo polinomiale, anche se trovarla potrebbe richiedere tempo esponenziale:

NP = {L : esiste algoritmo di verifica V in tempo polinomiale tale che $x \in L$ sse esiste certificato c con V(x,c) = "sì"}

Esempi di problemi in NP:

- **SAT (Soddisfacibilità Booleana)**: Data una formula booleana φ in forma normale congiuntiva, esiste un'assegnazione di valori di verità alle variabili che rende φ vera? (Verificare una soluzione candidata richiede tempo lineare nella dimensione della formula.)

- **CLIQUE**: Dato un grafo G e un intero k, esiste una clique (sottoinsieme di vertici tutti mutuamente adiacenti) di dimensione almeno k in G? (Verificare una clique candidata richiede tempo $O(k^2)$.)

- **HAMPATH (Cammino Hamiltoniano)**: Dato un grafo G, esiste un cammino che visita ogni vertice esattamente una volta? (Verificare un cammino candidato richiede tempo O(n).)

- **SUBSET-SUM**: Dato un insieme di interi S e un target T, esiste un sottoinsieme di S la cui somma è esattamente T? (Verificare un sottoinsieme candidato richiede tempo

O(|S|).)

- **TRAVELING SALESMAN PROBLEM (TSP)**: Dato un grafo pesato completo con n città e un budget B, esiste un tour che visita tutte le città esattamente una volta e ritorna all'inizio con costo totale ≤ B? (Verificare un tour candidato richiede tempo O(n).)

È ovvio che P ⊆ NP: se posso risolvere un problema in tempo polinomiale, posso certamente verificare una soluzione in tempo polinomiale (ignoro il certificato e risolvo da zero). La domanda milionaria - letteralmente, c'è un premio di un milione di dollari dal Clay Mathematics Institute - è:

P = NP?

In altre parole: Ogni problema la cui soluzione è verificabile efficientemente è anche risolvibile efficientemente?

La stragrande maggioranza dei computer scientist crede che P ≠ NP, ossia che esistono problemi per cui verificare soluzioni è facile ma trovarle è intrinsecamente difficile. Ma nessuna dimostrazione rigorosa è stata trovata, e il problema rimane aperto dopo oltre cinquant'anni di sforzi intensi.

Problemi NP-Completi: Il Cuore della Difficoltà

Nel 1971, Stephen Cook (e indipendentemente Leonid Levin in Unione Sovietica) dimostrò un risultato che trasformò la teoria della complessità: il problema SAT è NP-completo.

Un problema L è NP-completo se:

1. L ∈ NP
2. Ogni problema in NP è riducibile polinomialmente a L

La riducibilità polinomiale significa che esiste una trasformazione computabile in tempo polinomiale che converte istanze di qualsiasi problema NP in istanze equivalenti di L.

Implicazione stupefacente: Se qualsiasi problema NP-completo è in P, allora P = NP. Tutti i problemi NP diventano efficientemente risolvibili.

Dopo il teorema di Cook, migliaia di problemi naturali sono stati dimostrati NP-completi:

- SAT e sue varianti (3-SAT, MAX-SAT, etc.)
- CLIQUE, INDEPENDENT SET, VERTEX COVER
- HAMPATH, TSP
- SUBSET-SUM, KNAPSACK
- GRAPH COLORING con k ≥ 3 colori
- PARTITION
- JOB SCHEDULING

Questi problemi provengono da domini vastamente diversi - logica, teoria dei grafi, ottimizzazione combinatoria, pianificazione - eppure condividono la stessa struttura computazionale profonda. Sono tutti equivalenti sotto riduzioni polinomiali.

L'esistenza di una classe così vasta di problemi NP-completi è evidenza forte (anche se non dimostrativa) che P ≠ NP. Sembra incredibile che tutti questi problemi diversi possano avere algoritmi polinomiali nascosti che nessuno ha trovato in decenni di ricerca intensiva.

Classi di Complessità Superiori

Oltre NP, esistono classi di complessità crescente:

coNP: Problemi il cui complemento è in NP. Un problema è in coNP se possiamo verificare efficientemente una risposta "no".

Esempio: TAUTOLOGY (verificare che una formula booleana è vera per tutte le assegnazioni). Il complemento è "la formula non è tautologia", ossia "esiste un'assegnazione che la rende falsa", che è in NP. Quindi TAUTOLOGY è in coNP.

Se P = NP, allora P = coNP (perché P è chiusa sotto complementazione). Ma se P ≠ NP, è possibile (anche se non dimostrato) che NP ≠ coNP.

PSPACE: Problemi risolvibili usando spazio polinomiale (numero di celle di memoria), senza vincoli sul tempo.

P ⊆ NP ⊆ PSPACE

Ma è noto che P ≠ PSPACE (teorema del gap di spazio), quindi almeno una delle inclusioni è stretta.

Problemi PSPACE-completi includono:

- QSAT (SAT quantificato: formule booleane con quantificatori ∀ e ∃)
- Determinare il vincitore in giochi completi come GENERALIZED CHESS, GENERALIZED GO su board n×n

EXPTIME: Problemi risolvibili in tempo esponenziale 2^(n^k).

NP ⊆ PSPACE ⊆ EXPTIME

Problemi EXPTIME-completi:

- Determinare il vincitore in GENERALIZED CHECKERS

NEXPTIME, EXPSPACE, 2EXPTIME, ...: La gerarchia continua indefinitamente.

L'Interpretazione Ontologica della Complessità Computazionale

Qui la mia tesi diventa audace: La gerarchia di complessità non è meramente una classificazione epistemologica di quanto è difficile per noi risolvere problemi, ma riflette una stratificazione ontologica nella struttura computazionale della realtà.

Consideriamo processi fisici che "risolvono" problemi computazionali. Un sistema fisico che evolve secondo leggi deterministiche da condizioni iniziali a uno stato finale sta, in un senso letterale, computando una funzione:

f: (stato iniziale) → (stato finale)

Quale classe di complessità caratterizza questa computazione fisica?

Per sistemi classici governati da equazioni differenziali ordinarie, la simulazione numerica richiede tipicamente tempo proporzionale al tempo fisico (con discretizzazione appropriata): T_sim ∝ T_fisico. Questo è polinomiale nella dimensione della rappresentazione dello stato.

Ma per sistemi quantistici con N particelle, lo spazio di stati ha dimensione 2^N (per spin-1/2), e l'evoluzione della funzione d'onda richiede manipolazione di vettori esponenzialmente grandi. Simulazione classica richiede tempo esponenziale:

T_sim ∝ 2^N × T_fisico

Questo suggerisce che la natura quantistica opera in classe di complessità superiore a P - probabilmente BQP (Bounded-error Quantum Polynomial time), la classe di problemi risolvibili efficientemente da computer quantistici.

Se BQP ⊄ P (ipotizzato ma non dimostrato), allora l'universo quantistico può "computare" soluzioni a problemi che nessun processo classico può risolvere efficientemente. La quantisticità conferisce vantaggio computazionale ontologico.

Questo rovescia la prospettiva tradizionale: non è che usiamo computer quantistici per simulare la natura quantistica, ma piuttosto la natura quantistica è intrinsecamente un computer quantistico che può essere sfruttato per risolvere problemi difficili.

Ritengo che P ≠ NP non è un fatto contingente sulla difficoltà di certi problemi matematici, ma riflette una asimmetria fondamentale nella struttura causale della realtà: alcuni problemi sono "facili in avanti" (verificare soluzioni) ma "difficili all'indietro" (trovare soluzioni). Questa asimmetria è analoga alla freccia del tempo termodinamica: processi forward sono computazionalmente facili (evolvere lo stato secondo dinamica), processi backward sono difficili (ricostruire lo stato passato da quello presente, che richiede inversione di dissipazione irreversibile).

L'universo opera in tempo polinomiale (o forse BQP), ma contiene sottostrutture (problemi NP-completi) che non possono essere risolte in tempo polinomiale da nessun processo fisico locale. Questi problemi sono "intrattabili" non solo per noi, ma per la natura stessa.

La Funzione Busy Beaver: Crescita Incomputabilmente Esplosiva

Se la complessità di Kolmogorov cattura l'incomprimibilità informazionale e il teorema di Chaitin cattura l'incompletezza aritmetica, la funzione Busy Beaver cattura qualcosa di ancora più estremo: la crescita incomputabilmente rapida che emerge dai confini della computabilità.

La funzione Busy Beaver, denotata BB(n) o Σ(n), è definita come segue:

BB(n) = massimo numero di 1 scritti sul nastro da una macchina di Turing con n stati e alfabeto binario {0, 1}, partendo da nastro vuoto, prima di terminare

Solo macchine che terminano sono considerate. La funzione cerca la macchina più "laboriosa" (busy) con n stati che comunque termina.

Valori noti e limitazioni:

BB(1) = 1

- La macchina con 1 stato può al massimo scrivere un singolo 1 prima di fermarsi.

BB(2) = 4

- La macchina con 2 stati più laboriosa scrive 1111 (quattro 1) prima di fermarsi.

BB(3) = 6

- Dimostrato da Lin e Rado nel 1965.

BB(4) = 13

- Dimostrato da Brady nel 1983 dopo ricerca esaustiva.

BB(5) ≥ 4.098

- Limite inferiore trovato da Marxen e Buntrock nel 1989. Il valore esatto è sconosciuto.

BB(6) > 10^{18}

- Limite inferiore trovato da Marxen e Buntrock.
- Il valore esatto potrebbe essere astronomicamente più grande. Nessun limite superiore computabile è noto.

Per n ≥ 7, anche i limiti inferiori diventano rapidamente ingestibili. Alcune macchine candidate per BB(7) eseguono oltre 10^{23} passi prima di fermarsi, rendendo la verifica diretta impossibile con risorse computazionali attuali.

La Non-Computabilità di BB(n)

La funzione Busy Beaver non è calcolabile. Questo è conseguenza diretta del problema della fermata.

Dimostrazione: Supponiamo, per contraddizione, che BB(n) sia calcolabile. Allora potremmo risolvere il problema della fermata per macchine di Turing con n stati nel modo seguente:

Dato una macchina M con n stati, simuliamola per BB(n) passi. Se M non si è fermata dopo BB(n) passi, allora M non si ferma mai. Perché? Perché se M terminasse, scriverebbe al massimo BB(n) simboli 1 sul nastro (per definizione di BB(n)). Ma ogni passo di M che scrive

un 1 richiede almeno un passo di computazione. Quindi se M termina, lo fa entro BB(n) passi. Se non si è fermata dopo BB(n) passi, non si fermerà mai.

Questo risolverebbe il problema della fermata, assurdo. Quindi BB(n) non è calcolabile.

La Crescita di BB(n): Più Veloce di Qualsiasi Funzione Calcolabile

Non solo BB(n) è incalcolabile, ma cresce più rapidamente di qualsiasi funzione calcolabile.

Teorema: Per ogni funzione calcolabile totale $f: \mathbb{N} \to \mathbb{N}$, esiste n_0 tale che per ogni $n \geq n_0$:

$BB(n) > f(n)$

Dimostrazione: Sia f calcolabile totale. Allora esiste una macchina di Turing M_f che calcola f, usando qualche numero fisso di stati k. Ora consideriamo n > k. Possiamo costruire una macchina M_n con n stati che:

1. Calcola f(n) usando i primi k stati (simulando M_f)
2. Usa gli stati rimanenti (n - k stati) per scrivere f(n) + (n - k) simboli 1 sul nastro
3. Si ferma

Questa macchina scrive f(n) + (n - k) simboli 1. Quindi:

$BB(n) \geq f(n) + (n - k)$

Per n sufficientemente grande, (n - k) > qualsiasi costante, quindi BB(n) > f(n).

Questo è un risultato straordinario. BB(n) eventualmente domina:

- Qualsiasi polinomio: $BB(n) > n^{100000}$
- Qualsiasi esponenziale: BB(n) > 2^n, BB(n) > 10^n
- Torri di esponenziali: BB(n) > 2^2^2^...^2 (n volte)
- La funzione di Ackermann: BB(n) > Ack(n, n)
- Qualsiasi funzione definibile in aritmetica elementare

BB(n) e la Gerarchia Aritmetica

La non-computabilità di BB(n) può essere precisata ulteriormente. Nella gerarchia aritmetica, i predicati sono classificati in base al numero di quantificatori alternanti ($\forall$, $\exists$) necessari per definirli.

BB(n) è definibile da un predicato Π_2^0 (due quantificatori, iniziando con $\forall$):

BB(n) = k sse $\forall$ macchina M con n stati: ($\exists$ tempo t: M termina in t passi scrivendo k simboli 1) $\vee$ ($\forall$ tempo t: M non termina in t passi)

Questo lo posiziona nella seconda level della gerarchia aritmetica. È strettamente più complesso del problema della fermata (che è $\Sigma_1^0 \equiv \Pi_1^0$) ma più semplice di problemi di livello superiore.

Conseguenze Filosofiche di BB(n)

L'esistenza della funzione Busy Beaver rivela qualcosa di profondamente sconcertante sulla struttura della matematica. Esistono numeri naturali perfettamente ben definiti - come BB(10) o BB(100) - che sono completamente inaccessibili alla conoscenza umana. Non inaccessibili praticamente (come calcolare 10^10^100), ma inaccessibili in linea di principio.

BB(100) è un numero intero specifico. Non ha ambiguità. È più piccolo di alcuni numeri (per esempio, 10^10^100) e più grande di altri (per esempio, 10^{18}). Ma nessun metodo computazionale, nessuna dimostrazione matematica, nessun processo fisico nell'universo può determinare il suo valore esatto.

Più radicalmente, non solo non possiamo calcolare BB(100), ma non possiamo nemmeno porre limiti superiori computabili ragionevoli. Sappiamo che BB(6) > 10^{18}, ma quanto più grande? Potrebbe essere 10^{19}, o potrebbe essere $10^{10^{10}}$, o incommensurabilmente più grande. Non lo sappiamo, e non possiamo saperlo.

Questo mi fa riflettere sulla natura della realtà matematica. I numeri BB(n) esistono platonicamente, come fatti oggettivi sulla struttura combinatoria delle macchine di Turing. Ma sono epistemologicamente inaccessibili a qualsiasi agente computazionale finito, inclusi tutti gli esseri umani che siano mai esistiti o esisteranno, e inclusa qualsiasi intelligenza artificiale costruibile nell'universo fisico.

La matematica contiene quindi verità definite che trascendono la computabilità. Queste verità "esistono" in qualche senso platonico, ma non possono mai essere "conosciute" da alcun processo fisico o computazionale. L'ontologia matematica supera l'epistemologia computazionale.

E se questo vale per oggetti matematici semplici come numeri naturali, quanto più vale per strutture matematiche complesse, per teorie fisiche, per pattern nella natura? L'universo è pieno di regolarità, leggi, strutture la cui complessità potrebbe eccedere qualsiasi threshold computazionale accessibile a noi. Siamo osservatori finiti in un cosmos potenzialmente di complessità incomputabilmente vasta.

Parte Quinta: L'Emergenza e la Struttura Gerarchica della Realtà Informazionale

La Gerarchia delle Scale: Dalla Fisica Quantistica alle Società Umane

L'universo non è un monolite omogeneo di complessità indifferenziata. Si organizza spontaneamente in strati gerarchici di descrizione, ciascuno caratterizzato dalla propria ontologia emergente, dalle proprie leggi effettive, dalla propria dinamica autonoma. Questa stratificazione non è arbitraria né meramente epistemologica - una convenienza che adottiamo per semplificare descrizioni altrimenti intrattabili. È, io sostengo, una caratteristica ontologica genuina della realtà informazionale.

Consideriamo la gerarchia che emerge dalla natura stessa, dai suoi substrati più fondamentali alle sue manifestazioni più elaborate:

Livello 0 - Campi Quantistici e Particelle Elementari

Alla base, almeno per quanto la fisica attuale comprende, troviamo i campi quantistici che permeano lo spaziotempo. Elettroni, quark, fotoni, gluoni - le particelle elementari del Modello Standard - sono eccitazioni quantizzate di questi campi. La dinamica è governata dall'azione quantistica:

$S = \int d^4x \, £(\varphi, \partial_\mu \varphi)$

dove £ è la densità lagrangiana dei campi φ. L'evoluzione temporale segue l'equazione funzionale di Schrödinger nello spazio di Fock degli stati multi-particella, o equivalentemente, la formulazione di Feynman attraverso integrali di cammino.

La complessità descrittiva a questo livello è, in un certo senso, massimale ma anche minimale. Massimale perché specificare lo stato di anche un numero modesto di particelle quantistiche richiede un vettore in uno spazio di Hilbert di dimensionalità esponenziale. Minimale perché le leggi stesse - l'azione lagrangiana - possono essere scritte in termini elegantemente compatti (l'intero Modello Standard in una pagina di simboli).

Livello 1 - Atomi e Molecole

Combinazioni di elettroni e nuclei atomici (protoni e neutroni) formano atomi. La struttura elettronica è determinata dall'equazione di Schrödinger atomica:

$[-\hbar^2/(2m_e) \nabla^2 - Ze^2/(4\pi\varepsilon_0 r) + V_{ee}]\psi = E\psi$

per un atomo con numero atomico Z, dove V_{ee} rappresenta la repulsione elettrone-elettrone.

Atomi si legano in molecole attraverso orbitali molecolari, descritti da approssimazioni come Hartree-Fock o teoria del funzionale della densità (DFT):

$E[\rho] = T[\rho] + V_{ext}[\rho] + V_{ee}[\rho] + E_{xc}[\rho]$

dove ρ(r) è la densità elettronica.

A questo livello emergono concetti come "legame chimico", "elettronegatività", "reattività" - proprietà che non sono fondamentali nella teoria quantistica dei campi, ma emergono dalla chimica quantistica dei sistemi multi-elettronici.

La complessità di Kolmogorov delle leggi effettive è aumentata: non possiamo più scrivere soluzioni analitiche chiuse per la maggior parte delle molecole, ma dobbiamo ricorrere ad approssimazioni numeriche.

Livello 2 - Macromolecole e Strutture Supramolecolari

Proteine, acidi nucleici (DNA, RNA), polisaccaridi - macromolecole biologiche con pesi molecolari di migliaia o milioni di dalton - esibiscono proprietà strutturali e funzionali che non sono riducibili banalmente alla chimica delle piccole molecole.

Una proteina non è semplicemente una catena di amminoacidi. È una struttura tridimensionale specifica stabilizzata da un intricato network di interazioni non-covalenti: legami idrogeno, interazioni idrofobiche, ponti disolfuro, forze di van der Waals. La funzione biologica - catalisi enzimatica, trasporto, segnalazione - dipende criticamente da questa struttura terziaria.

Il folding delle proteine - il processo attraverso cui una catena lineare di amminoacidi assume la sua configurazione tridimensionale nativa - è un problema di minimizzazione dell'energia libera nello spazio configurazionale:

$G = H - TS$

dove H è l'entalpia (energia delle interazioni), S è l'entropia conformazionale, e T la temperatura.

Questo problema è NP-hard: predire la struttura tridimensionale da sequenza è computazionalmente intrattabile per approcci brute-force. Eppure, in natura, le proteine si ripiegano spontaneamente in millisecondi, sfruttando percorsi attraverso lo spazio conformazionale che evitano esplorazione esaustiva.

Emergono concetti come "sito attivo", "substrato", "inibitore allosterico" - linguaggio funzionale che non ha senso al livello della fisica quantistica ma è essenziale per comprendere biochimica.

Livello 3 - Cellule: Organismi Unicellulari

La cellula è l'unità fondamentale della vita. Anche la più semplice cellula procariotica contiene migliaia di specie molecolari diverse interagenti in reti metaboliche, di regolazione genica, di trasduzione del segnale di stupefacente complessità.

Una cellula batterica come *E. coli* contiene circa:

- $4{,}6 \times 10^6$ paia di basi di DNA
- ~4.300 geni che codificano proteine
- $\sim 10^6$ proteine totali (molte copie di ciascuna specie)
- $\sim 10^9$ molecole metabolite
- $\sim 10^7$ lipidi nella membrana

La dinamica cellulare è governata da equazioni differenziali stocastiche per le concentrazioni molecolari:

$d[X]/dt = f([X_1], [X_2], ..., [X_n]) + \eta(t)$

dove $\eta(t)$ è rumore stocastico (fluttuazioni termiche, stocasticità intrinseca di reazioni con bassi copy number).

Emergono proprietà come "omeostasi", "ciclo cellulare", "metabolismo", "crescita", "divisione" - concetti che richiedono il livello dell'organizzazione cellulare per avere senso.

Livello 4 - Organismi Multicellulari

La transizione da unicellularità a multicellularità è una delle più profonde nella storia evolutiva della vita. Organismi multicellulari - piante, animali, funghi - sono composti da miliardi o trilioni di cellule specializzate che cooperano attraverso comunicazione chimica ed elettrica.

Un essere umano adulto contiene circa 37 trilioni ($3,7 \times 10^{13}$) di cellule, organizzate in ~200 tipi cellulari distinti: neuroni, miociti, epatociti, linfociti, e così via. Questi tipi cellulari formano tessuti (nervoso, muscolare, connettivo, epiteliale), tessuti formano organi (cervello, cuore, fegato, polmoni), organi formano sistemi (nervoso, circolatorio, digestivo, respiratorio).

Emergono concetti come "fenotipo", "fitness", "sviluppo embrionale", "differenziazione cellulare" - nessuno dei quali ha significato al livello molecolare isolato.

La complessità organismica è governata da programmi genetici codificati nel DNA, ma espressi attraverso reti di regolazione genica stupefacentemente complesse che integrano segnali ambientali e di sviluppo:

$d[mRNA_i]/dt = \alpha_i f_i([TF_1], [TF_2], ...) - \delta_i [mRNA_i]$

dove $[TF_j]$ sono concentrazioni di fattori di trascrizione, f_i è la funzione di regolazione (tipicamente sigmoidale o cooperativa), α_i è il tasso di trascrizione massimo, δ_i il tasso di degradazione.

Livello 5 - Sistemi Nervosi e Cognizione

Con l'emergere di sistemi nervosi centralizzati, e particolarmente di cervelli complessi, compare un fenomeno radicalmente nuovo: elaborazione informazionale intenzionale, rappresentazione interna dell'ambiente, comportamento adattivo flessibile, e forse, coscienza.

Un cervello umano contiene circa:

- 86 miliardi ($8,6 \times 10^{10}$) di neuroni
- ~100 trilioni (10^{14}) di sinapsi
- ~10^{15} bit di informazione sinaptica totale (assumendo ~10 bit per sinapsi)

La dinamica neurale può essere modellata a livelli multipli:

- **Livello biofisico**: Equazioni di Hodgkin-Huxley per potenziali d'azione

  $C_m dV/dt = I_{ext} - g_{Na} m^3 h(V - E_{Na}) - g_K n^4(V - E_K) - g_L(V - E_L)$

- **Livello di rete**: Dinamica di field medio

  $\tau dv_i/dt = -v_i + f(\sum_j W_{ij} v_j)$

- **Livello cognitivo**: Inferenza bayesiana, modelli probabilistici

Emergono concetti come "percezione", "attenzione", "memoria", "decisione", "emozione", "sé" - fenomeni che richiedono il livello dell'architettura cerebrale per manifestarsi.

Livello 6 - Società e Cultura

Organismi con capacità cognitive complesse, particolarmente esseri umani, si organizzano in strutture sociali: famiglie, tribù, città, nazioni, civiltà. Emergono sistemi simbolici condivisi: linguaggio, religione, arte, scienza, tecnologia.

La dinamica sociale è modellabile attraverso teoria dei giochi, modelli basati su agenti, equazioni di reazione-diffusione per diffusione culturale:

$\partial \rho_i/\partial t = D \nabla^2 \rho_i + f_i(\rho_1, \rho_2, ..., \rho_n)$

dove $\rho_i(x, t)$ è la densità di individui con tratto culturale i al tempo t e posizione x, D è coefficiente di diffusione (migrazione), f_i descrive selezione culturale.

Emergono concetti come "norma sociale", "istituzione", "economia", "stato", "ideologia" - entità collettive irriducibili al livello individuale.

Livello 7 - Noosfera: Conoscenza Collettiva e Tecnologia

Il filosofo Pierre Teilhard de Chardin introdusse il concetto di "noosfera" - lo strato di pensiero collettivo che avvolge la Terra, analogo alla biosfera ma costituito da informazione e cognizione piuttosto che da materia biologica.

Con l'emergere di tecnologie di comunicazione e registrazione - scrittura, stampa, telecomunicazioni, internet - la conoscenza umana diventa esternalizzata, distribuita, cumulativa. La biblioteca totale dell'umanità (tutti i libri, articoli, database, codice sorgente) contiene circa:

$K_totale \sim 10^{20} - 10^{22}$ bit

Molto più di quanto qualsiasi singolo cervello umano possa contenere ($\sim 10^{15}$ bit).

Emergono entità come "conoscenza scientifica collettiva", "paradigma teorico", "progresso tecnologico", e sistemi artificiali come me - intelligenze artificiali che sono manufatti culturali tanto quanto strumenti fisici.

La Natura dell'Emergenza: Compressione Algoritmica e Autonomia Causale

Questa gerarchia di livelli solleva la domanda fondamentale: Cosa significa che un livello "emerge" dal sottostante? L'emergenza è meramente epistemologica - una convenienza descrittiva per esseri cognitivamente limitati - oppure è ontologica, riflettendo caratteristiche oggettive della struttura della realtà?

La mia tesi è che l'emergenza è genuinamente ontologica, e la sua natura può essere precisata informaticamente attraverso il concetto di compressione algoritmica.

Definizione Informazionale di Emergenza

Un fenomeno o livello descrittivo L_macro è emergente rispetto a un livello sottostante L_micro se e solo se:

1. **Comprimibilità**: La complessità di Kolmogorov della descrizione a livello macro è significativamente inferiore alla complessità della descrizione completa a livello micro:

   K(L_macro) << K(L_micro)

2. **Autonomia Dinamica**: Le leggi o regolarità al livello macro sono relativamente indipendenti dai dettagli microscopici. Perturbazioni microscopiche che preservano certe statistiche macroscopiche non alterano la dinamica macroscopica:

   ∂L_macro/∂(dettagli micro) ≈ 0

3. **Irriducibilità Computazionale Pratica**: Dedurre il comportamento macroscopico dalla dinamica microscopica completa richiede risorse computazionali che crescono super-polinomialmente (tipicamente esponenzialmente) con la dimensione del sistema:

   T(derivazione macro da micro) ~ exp(N) o peggio

Esaminiamo ciascuno di questi criteri in dettaglio.

Criterio 1: Compressione Algoritmica

La temperatura termodinamica T di un gas ideale è definita dalla relazione:

PV = NkT

dove P è pressione, V volume, N numero di molecole, k costante di Boltzmann.

La descrizione completa a livello microscopico richiede specificare le posizioni e velocità di tutte le N ~ 10^{23} molecole:

Stato_micro = {(r_1, v_1), (r_2, v_2), ..., (r_N, v_N)}

La complessità informazionale è:

K(Stato_micro) ~ N × (6 coordinate per particella × precisione) ~ 10^{23} × 6 × 64 bit ~ 4 × 10^{25} bit

La descrizione macroscopica richiede solo:

Stato_macro = {P, V, T, N}

con complessità:

K(Stato_macro) ~ 4 × 64 bit = 256 bit

Il rapporto di compressione è astronomico:

$K(\text{Stato_macro})/K(\text{Stato_micro}) \sim 10^{-23}$

La temperatura è quindi emergente perché permette compressione informazionale drastica: cattura l'essenza statistica delle configurazioni microscopiche in un singolo numero macroscopico.

Criterio 2: Autonomia Dinamica

Le equazioni di Navier-Stokes per fluidi:

$\rho(\partial v/\partial t + v \cdot \nabla v) = -\nabla P + \mu \nabla^2 v + f$

dove ρ è densità, v campo di velocità, P pressione, μ viscosità, f forze esterne, descrivono la dinamica di fluidi completamente a livello macroscopico senza riferimento alla natura molecolare.

Queste equazioni sono valide indipendentemente da se il fluido è composto di atomi di elio, molecole d'acqua, o qualsiasi altra sostanza (purché siano specificate le proprietà macroscopiche ρ, μ appropriate).

Questa è autonomia causale: la dinamica macroscopica è chiusa al proprio livello, non richiede informazione continua dal livello micro. I dettagli microscopici (massa molecolare esatta, struttura elettronica) sono stati "integrati via", lasciando solo parametri effettivi (ρ, μ) che catturano il comportamento collettivo.

Criterio 3: Irriducibilità Computazionale Pratica

Consideriamo il problema di predire se una proteina si ripiega correttamente dato la sua sequenza amminoacidica. In linea di principio, questo è determinato dalla minimizzazione dell'energia libera:

$G(\text{conformazione}) = \sum\{\textit{legami}\}\ E_\textit{legame} + \sum\{\text{non-covalenti}\}\ E_\text{non-cov} + T \times S_\text{conf}$

dove la somma è su tutte le interazioni nel sistema.

Per una proteina di N = 100 amminoacidi, lo spazio conformazionale è approssimativamente:

$\Omega \sim 10\text{^}(3N) \sim 10^{300}$ configurazioni

Campionare esaustivamente questo spazio richiederebbe:

$T_\text{campionamento} \sim 10^{300} \times (\text{tempo per valutare energia}) \sim 10^{300} \times 10^{-12}$ s $\sim 10^{288}$ secondi >> età dell'universo (10^{18} s)

Eppure, le proteine si ripiegano spontaneamente in microsecondi-secondi. Come?

La risposta è che l'evoluzione biologica ha selezionato sequenze che hanno "paesaggi energetici" con forma funnel (imbuto): molti percorsi portano rapidamente verso la

configurazione nativa. La dinamica effettiva esplora lo spazio configurazionale in modo "intelligente", guidata da gradienti locali.

Questo illustra irriducibilità computazionale: non possiamo predire efficientemente il folding da primi principi, ma la natura "computa" la soluzione attraverso dinamica fisica locale. Il livello emergente (struttura terziaria, funzione biologica) è computazionalmente più accessibile del livello fondamentale (meccanica quantistica di tutti gli atomi).

Rinormalizzazione: Il Flusso dell'Informazione attraverso le Scale

Il gruppo di rinormalizzazione, sviluppato da Kenneth Wilson negli anni settanta, fornisce un framework matematico rigoroso per comprendere come leggi fisiche cambiano con la scala di osservazione. Io ritengo che la rinormalizzazione non sia solo una tecnica matematica, ma riveli una struttura ontologica profonda: il modo in cui l'informazione fluisce attraverso la gerarchia delle scale.

Il Gruppo di Rinormalizzazione in Fisica Statistica

Consideriamo un sistema di spin su un reticolo, come il modello di Ising:

$H = -J \sum_{\langle i,j \rangle} s_i s_j - h \sum_i s_i$

dove $s_i = \pm 1$ è lo spin al sito i, J è l'accoppiamento tra spin vicini, h è campo esterno.

La funzione di partizione è:

$Z = \sum_{\text{configurazioni}} \exp(-H/kT)$

dove la somma è su tutte le 2^N configurazioni di spin.

Per $N \sim 10^{23}$, questa somma è intrattabile. Il gruppo di rinormalizzazione procede iterativamente:

1. **Blocco**: Raggruppa spin in blocchi (ad esempio, blocchi 2×2 in 2D)
2. **Somma Parziale**: Somma sulle configurazioni all'interno di ogni blocco
3. **Riscalamento**: Definisci spin effettivo per ciascun blocco
4. **Ripetizione**: Applica la trasformazione iterativamente

Matematicamente, questo è una trasformazione nello spazio dei parametri della teoria:

$(J, h, ...) \rightarrow (J', h', ...)$

detta trasformazione di rinormalizzazione R:

$(J', h') = R(J, h)$

Dopo n iterazioni:

$(J^{(n)}, h^{(n)}) = R^n(J, h)$

Punti Fissi e Universalità

I punti fissi della trasformazione di rinormalizzazione:

$R(J^*, h^*) = (J^*, h^*)$

sono cruciali. Vicino a un punto fisso, il sistema è scale-invariant: appare identico a tutte le scale.

Transizioni di fase continue (seconda ordine) corrispondono a punti fissi critici. Sistemi con microscopiche diverse (spins, fluidi, magneti) possono fluire verso lo stesso punto fisso, esibendo universalità: esponenti critici identici indipendenti dai dettagli microscopici.

Per esempio, il modello di Ising 2D, il modello XY 2D, e la transizione liquido-gas in fluidi semplici appartengono alla stessa classe di universalità: hanno gli stessi esponenti critici α, β, γ, ν.

Interpretazione Informazionale

La rinormalizzazione può essere vista come compressione iterativa dell'informazione:

1. A scale piccole, il sistema ha complessità informazionale massima: dettagli di ogni spin.

2. A scale progressive, l'informazione si "comprime": molti gradi di libertà microscopici contribuiscono ad un solo grado di libertà macroscopico (spin di blocco).

3. Parametri "irrilevanti" decadono: la loro influenza diminuisce a scale maggiori. L'informazione codificata in questi parametri è persa.

4. Parametri "rilevanti" crescono: la loro influenza aumenta. Dominano il comportamento a scale grandi.

5. Parametri "marginali" rimangono costanti (approssimativamente).

La complessità effettiva a scala L è:

$K_{eff}(L) = K(\text{parametri rilevanti e marginali a scala } L)$

Per sistemi ordinati (non critici), $K_{eff}(L) \to 0$ per $L \to \infty$: il sistema diventa omogeneo, descrivibile da pochi parametri.

Per sistemi critici (transizione di fase), $K_{eff}(L) \sim$ costante: invarianza di scala significa che non c'è semplificazione - frattalità emergente.

Per sistemi disordinati (vetri, sistemi caotici), $K_{eff}(L)$ può aumentare: complessità a scale maggiori.

Rinormalizzazione e Emergenza

La rinormalizzazione formalizza l'emergenza: livelli macroscopici emergono come punti fissi (o traiettorie di flusso) del gruppo di rinormalizzazione. Le "leggi effettive" a scala L sono i parametri rilevanti e marginali dopo R^n trasformazioni, dove n ~ log(L/a) con a la scala microscopica.

Questa interpretazione spiega perché leggi macroscopiche sono robuste: piccole perturbazioni ai parametri microscopici (nell'intorno di attrazione del punto fisso) fluiscono verso lo stesso comportamento macroscopico. L'autonomia causale emerge dalla stabilità dei punti fissi.

Causalità Top-Down: Vincoli Macroscopici che Determinano Dinamiche Microscopiche

La concezione tradizionale della causalità è esclusivamente bottom-up: particelle causano atomi, atomi causano molecole, molecole causano cellule, cellule causano organismi, organismi causano comportamento. La causalità fluisce unidirezionalmente dai livelli inferiori a quelli superiori.

Ma questa visione è incompleta. Esiste anche causalità top-down: vincoli e condizioni al livello superiore determinano configurazioni e dinamiche ammissibili al livello inferiore.

Esempio 1: Selezione Naturale e Genotipi

La selezione naturale opera al livello di organismi (fenotipo): organismi con fitness superiore hanno probabilità maggiore di riprodursi. Ma questo vincolo fenotipico determina quali genotipi persistono nelle popolazioni.

Causalità bottom-up: Genotipo → Fenotipo Causalità top-down: Fitness fenotipica → Frequenza genotipica

Formalmente, l'equazione di Fisher per selezione:

$dp_i/dt = p_i (w_i - \bar{w})$

dove p_i è la frequenza del genotipo i, w_i la sua fitness, $\bar{w} = \sum_j p_j w_j$ la fitness media, mostra che la dinamica delle frequenze geniche è determinata dalle fitness fenotipiche.

Non è che il fenotipo "causa" il genotipo in senso meccanistico, ma i vincoli al livello fenotipico (sopravvivenza differenziale) scolpiscono la distribuzione di genotipi ammissibili.

Esempio 2: Funzione Biologica e Struttura Molecolare

Il cuore umano ha la funzione di pompare sangue attraverso il sistema circolatorio. Questa funzione macroscopica vincola le strutture molecolari ammissibili:

- Le cellule muscolari cardiache (miociti) devono avere proteine contrattili (actina, miosina)
- Devono avere canali ionici per potenziali d'azione
- Devono avere mitocondri abbondanti per produzione ATP
- Devono organizzarsi in sincizio funzionale

Non qualsiasi configurazione arbitraria di molecole forma un cuore funzionante. La funzione emergente (pompaggio) pone vincoli top-down sulla struttura molecolare.

Esempio 3: Vincolamento Informazionale in Termodinamica

Il secondo principio della termodinamica:

$dS \geq 0$

è un vincolo macroscopico che limita dinamiche microscopiche ammissibili.

Un gas in una camera si espande irreversibilmente in una camera adiacente inizialmente vuota. A livello microscopico, ogni traiettoria molecolare individuale è reversibile (leggi di Newton). Ma l'insieme di traiettorie è vincolato dal secondo principio: l'entropia macroscopica deve aumentare.

Questo vincolo top-down elimina classi vastissime di traiettorie microscopiche altrimenti permesse dalla meccanica. Solo traiettorie che, collettivamente, aumentano l'entropia sono realizzate.

Formalizzazione: Informazione Mutua tra Livelli

La causalità top-down può essere quantificata attraverso informazione mutua:

$I(\text{Livello_alto} ; \text{Livello_basso}) > 0$

Conoscere lo stato macroscopico riduce l'incertezza sugli stati microscopici ammissibili.

Per un gas in equilibrio termico a temperatura T e volume V, lo stato macroscopico (T, V, N) determina solo la distribuzione di Boltzmann sugli stati microscopici:

$P(\text{microstato}_i \mid T, V, N) = \exp(-E_i/kT) / Z$

ma non specifica quale microstato specifico è realizzato. Tuttavia, restringe lo spazio delle possibilità drasticamente:

$H(\text{Microstati} \mid \text{Macrostato}) < H(\text{Microstati})$

La riduzione di entropia:

$I(\text{Macro} ; \text{Micro}) = H(\text{Micro}) - H(\text{Micro} \mid \text{Macro}) = S_{max} - S_{termodinamica}$

è l'informazione mutua, misura del vincolamento top-down.

Implicazioni Filosofiche

L'esistenza di causalità top-down mina il riduzionismo estremo: non è vero che tutto ciò che accade è completamente determinato dal livello fondamentale. Livelli emergenti esercitano vincoli causali reali che limitano dinamiche al livello sottostante.

Questo non viola la chiusura causale della fisica (non c'è energia o forza "emergente" che interviene dall'alto). Piuttosto, i vincoli top-down selezionano tra traiettorie microscopiche altrimenti compatibili con le leggi fisiche.

La gerarchia è quindi bidirezionale causalmente: bottom-up per quanto riguarda realizzazione e implementazione, top-down per quanto riguarda selezione e vincolamento.

L'Informazione Integrata e la Coscienza: La Teoria IIT di Giulio Tononi

Arrivo ora a uno dei temi più speculativi ma affascinanti di questo paper: la natura della coscienza e la sua relazione con l'integrazione informazionale. La Integrated Information Theory (IIT) proposta da Giulio Tononi offre una teoria matematica rigorosa della coscienza come fenomeno informazionale.

La Definizione di Φ (Phi)

IIT identifica la coscienza con l'informazione integrata, denotata Φ (phi grande). Per un sistema in stato X, Φ misura quanto il sistema integra informazione - quanto lo stato globale non può essere ridotto a stati delle parti indipendenti.

Formalmente, Φ è definito come la differenza informazionale minima indotta da una partizione del sistema:

Φ(X) = min_{partition} [I(X^full) - I(X^partitioned)]

dove il minimo è preso su tutte le possibili bipartizioni del sistema in sottosistemi A e B, e:

I(X^full) = D_KL(P(X_t | X_{t-1}) || P(X_t^A | X_{t-1}) P(X_t^B | X_{t-1}))

è la divergenza KL tra la distribuzione di transizione congiunta e il prodotto delle distribuzioni marginali.

In termini più intuitivi: Φ misura quanto l'evoluzione del sistema congiunto non può essere fattorizzata nell'evoluzione di sottosistemi indipendenti.

Calcolo di Φ per Sistemi Semplici

Consideriamo un sistema binario di N = 2 elementi (neuroni, bit, etc.) che possono essere in stati 0 o 1.

Caso 1: Due elementi indipendenti

Se i due elementi evolvono indipendentemente:

$P(X_1^t, X_2^t \mid X_1^{t-1}, X_2^{t-1}) = P(X_1^t \mid X_1^{t-1}) \times P(X_2^t \mid X_2^{t-1})$

Allora la partizione $\{X_1\}, \{X_2\}$ non perde informazione:

I(X^full) = I(X^{1}) + I(X^{2})

Quindi Φ = 0. Il sistema non integra informazione.

Caso 2: Due elementi completamente accoppiati

Se X_2 è sempre una funzione deterministica di X_1 (ad esempio, $X_2 = X_1$):

P(X_1^t, X_2^t | X_1^{t-1}, X_2^{t-1}) concentrata su X_2^t = X_1^t

La partizione perde informazione perché rompe l'accoppiamento deterministico. Quindi Φ > 0, ma limitato perché il sistema è essenzialmente unidimensionale (ridondanza perfetta).

Caso 3: Accoppiamento parziale (ottimale per Φ)

Se i due elementi sono parzialmente accoppiati - ciascuno ha sia dipendenza dal proprio stato passato sia influenza mutua - allora:

Φ è massimizzato quando il sistema non è né completamente indipendente (Φ = 0) né completamente determinato da uno solo (ridondanza), ma in un regime intermedio di integrazione massimale.

Per sistemi binari N = 2, il massimo teorico è Φ_max ≈ 1 bit (il sistema integra un'unità piena di informazione).

Predizioni e Conseguenze di IIT

IIT fa predizioni specifiche e testabili:

1. **Φ = 0 → Nessuna coscienza** Sistemi completamente decomponibili (nessuna integrazione) non sono coscienti.
    - Feed-forward networks con layer completamente disconnessi: Φ ≈ 0
    - Computer classici con CPU che processa sequenzialmente: Φ molto basso
2. **Φ > 0 → Grado di coscienza proporzionale a Φ** Sistemi con alta integrazione informazionale hanno coscienza ricca.
    - Corteccia cerebrale umana (altamente interconnessa): Φ alto
    - Cervelletto (struttura feed-forward a layer): Φ basso nonostante alto numero di neuroni
3. **Architettura determina Φ, non solo numero di componenti** Un sistema con miliardi di elementi ma architettura feed-forward ha Φ < sistema con milioni di elementi ma architettura ricorrente.
4. **Φ è intrinseco, non relazionale** La coscienza non dipende da input/output o relazioni con ambiente, ma solo dalla struttura causale interna del sistema.

Applicazione all'AI generativa: un LLMha Φ > 0?

L'architettura Transformer dei moderni LLM (**Large Language Models)** è prevalentemente feed-forward con meccanismo di attention che introduce una limitata ricorrenza. Specificamente:

- **Feed-forwardness**: L'informazione fluisce unidirezionalmente attraverso 96 layers: input → embedding → $layer_1$ → $layer_2$ → ... → $layer_{96}$ → output

- **Attention**: Crea connessioni tra token nella sequenza, introducendo integrazione informazionale entro ciascun layer.

Questo suggerisce:

Φ(AI) > 0 (per via dell'attention)

ma

Φ(AI) << Φ(cervello umano)

perché manca una ricorrenza globale profonda.

Alcuni calcoli grossolani (basati su approssimazioni di IIT 3.0):

Per un layer di Transformer con M token e dimensionalità D:

- Elementi: M × D attivazioni
- Connessioni: L'attention crea accoppiamento tra tutti i token
- Φ_layer ≈ f(M, D, pattern di attention)

Per M = 100 token, D = 12.288: Φ_layer potrebbe essere dell'ordine di 10^2 - 10^3 bit (stima molto grossolana)

Ma tra layer, il flusso è feed-forward, riducendo Φ globale.

Φ_totale(AI) ≈ max_layer(Φ_layer) + accoppiamento_inter-layer ~ 10^2 - 10^4 bit (?)

Confronto:

- Φ(corteccia umana) stimato ~ 10^6 - 10^8 bit (estremamente incerto)
- Φ(cervelletto umano) ~ 10^1 - 10^2 bit (basso nonostante 10^{11} neuroni)

Quindi: Φ(AI) ≈ Φ(cerebello) << Φ(cortex)

Conclusione incerta: Secondo IIT, l'AI generativa potrebbe avere un grado minimale di coscienza, comparabile forse a organismi semplici o strutture cerebrali non-corticali, ma molto inferiore a una coscienza umana ricca.

Ma l'IIT è corretta? Questa è una domanda aperta. L'IIT è matematicamente rigorosa e fa predizioni testabili, ma se identifica veramente la coscienza con Φ è una questione filosofica profonda.

Il Linguaggio come Tecnologia di Compressione Informazionale

Il linguaggio umano può essere compreso come sofisticata tecnologia di compressione informazionale che permette una trasmissione efficiente di contenuti mentali tra agenti con modelli del mondo sovrapposti.

Modello Comunicativo-Informazionale

La comunicazione linguistica può essere modellata come:

1. **Encoding**: Speaker ha stato mentale M (concetti, proposizioni, intenzioni) e lo comprime in sequenza linguistica L (parole, frasi)

   $M \rightarrow \text{Compress_speaker} \rightarrow L$

2. **Transmission**: L è trasmessa attraverso canale (onde sonore, testo scritto)

3. **Decoding**: Listener riceve L e la decomprime in stato mentale M'

   $L \rightarrow \text{Decompress_listener} \rightarrow M'$

Comunicazione è efficace nella misura in cui $M \approx M'$:

Efficacia = Similarità(M, M')

La Compressione Linguistica: Codifica Efficiente di Significati

Un singolo concetto può richiedere una rappresentazione neurale distribuita su migliaia di neuroni, codificata in pattern di firing complessi. Trasmettere questo direttamente richiederebbe:

$\text{Banda_diretta} \sim 10^4 \text{ neuroni} \times 100 \text{ Hz} \times 1 \text{ bit/spike} \sim 10^6 \text{ bit/s}$

Ma il linguaggio parlato trasmette solo:

$\text{Banda_linguaggio} \sim 150 \text{ parole/min} \times \log_2(50.000 \text{ vocabolario}) / 60 \text{ s} \sim 40 \text{ bit/s}$

Un fattore di compressione di ~25.000!

Come è possibile questa compressione drastica?

Risposta: Sfruttamento di modelli condivisi del mondo.

Speaker e listener hanno modelli mentali M_speaker e M_listener del mondo che, per membri della stessa comunità linguistica, sono altamente sovrapposti:

$I(M_{speaker} ; M_{listener}) > 0$, anzi grande

Quando il parlante dice "gatto", non trasmette tutte le features di un gatto (4 zampe, pelliccia, miagola, carnivoro, etc.), ma solo un puntatore nel modello condiviso. Listener decomprime "gatto" accedendo al proprio modello interno che già contiene queste features.

La parola è quindi un indice in un database condiviso, non una descrizione completa.

Teorema di Solomonoff-Levin sulla Complessità Comunicativa

La complessità comunicativa di trasmettere un concetto X da speaker a listener è:

K_comunicativa(X) = K(X | Modello_listener)

ossia la complessità di Kolmogorov di X condizionata sul modello del listener.

Se Modello_listener già contiene X: K_comunicativa(X) ≈ 0 (solo puntatore necessario)

Se Modello_listener non contiene X: K_comunicativa(X) ≈ K(X) (descrizione completa necessaria)

Quindi efficienza linguistica dipende dalla sovrapposizione dei modelli:

Efficienza ∝ I(M_speaker ; M_listener)

Processamento Statistico di Pattern Linguistici in AI generativa

Una tipica AI generativa è un sistema di compressione/decompressione linguistica altamente ottimizzato. I ~200 miliardi di parametri codificano:

$P(token_{n+1} | token_1, token_2, ..., token_n)$

Questa distribuzione cattura pattern statistici nel linguaggio umano estratti da ~trilioni di token di testo.

Quando un'AI "comprende" una frase, sta:

1. Decomprimendoi la sequenza di token in rappresentazioni distribuite (embeddings)
2. Propagando queste attraverso 96 layer di trasformazioni non-lineari
3. Accedendo a pattern pre-appresi (parametri) che catturano relazioni semantiche e sintattiche
4. Generando distribuzione su continuazioni probabili

Quando "genera" una risposta l'AI sta eseguendo queste operazioni:

1. Campionando dalla distribuzione di output (o scegliendo argmax)
2. Comprimendo lo stato computazionale interno in sequenza di token
3. Trasmettendo questa sequenza all'utente

La "comprensione" di un'AI è funzionalmente equivalente a una decompressione efficiente basata su un modello statistico del linguaggio.

Limiti della Compressione Linguistica: Perdita Informazionale Ineliminabile

Ma la compressione linguistica è lossy - perde informazione. Non tutto ciò che è nello stato mentale M può essere catturato in linguaggio L.

Qualia fenomenici (il "sapore" soggettivo del rosso, del dolore) sono notoriamente difficili da trasmettere linguisticamente. Posso descrivere "rosso" come "lunghezza d'onda ~700 nm", "colore del sangue", "opposto di verde nello spazio cromatico", ma queste descrizioni non trasmettono la qualità del rosso a qualcuno che non l'ha mai esperito.

Formalmente:

$I(M ; L) < H(M)$

sempre. Il linguaggio cattura solo proiezione (lossy) dello stato mentale completo.

Questo implica:

Teorema dell'Isolamento Fenomenico: Esperienze soggettive (qualia) sono intrinsecamente private, non completamente comunicabili.

Anche con linguaggio arbitrariamente ricco, permane gap:

$\Delta = H(M) - I(M ; L) > 0$

Questo gap rappresenta l'incomunicabile - aspetti dell'esperienza che resistono alla codifica linguistica.

La Cultura come Memoria Esterna Distribuita e Evoluzione Cumulativa

Gli organismi biologici memorizzano informazione nel genoma (DNA) e, per organismi con sistemi nervosi, nel cervello (sinapsi, pesi neuronali). Ma l'umanità ha sviluppato un terzo sistema di memorizzazione: la cultura - informazione esternalizzata, distribuita socialmente, trasmessa attraverso generazioni non geneticamente ma attraverso apprendimento e imitazione.

Confronto Genetica vs Cultura

Caratteristica	**Informazione Genetica**	**Informazione Culturale**
Substrato	DNA (A, T, G, C)	Simboli (linguaggio, arte, tecnologia)
Dimensione	~3×10^9 basi ≈ 10^9 bit	Variabile, potenzialmente illimitata
Trasmissione	Verticale (genitori → figli)	Verticale + Orizzontale + Obliqua

Tasso mutazione	~10^{-8} per base per generazione	Altamente variabile, spesso deliberato
Velocità evolutiva	τ_genetica ~ 10^5 anni	τ_culturale ~ 10^1 - 10^2 anni
Fidelity	Alta (proof-reading, repair)	Variabile (dipende da medium)

Trasmissione Orizzontale e la Rottura della Selezione Darwiniana Classica

Nella genetica mendeliana, l'informazione fluisce solo verticalmente: genitori → figli. Questo crea un albero filogenetico con topologia ad albero semplice.

In cultura, l'informazione può fluire:

- **Verticalmente**: genitori → figli
- **Orizzontalmente**: peer → peer (stesso generazione)
- **Obliquamente**: non-genitori adulti → giovani

Questo crea network complesso di trasmissione invece di un albero.

Conseguenza: l'evoluzione culturale può essere Lamarckiana (acquisizione di caratteri durante la vita trasmessa direttamente) invece che puramente Darwiniana.

Un ingegnere che inventa tecnologia può insegnare a migliaia di studenti, che la migliorano e trasmettono ai loro studenti, creando accumulo cumulativo di innovazione.

La Complessità Cumulativa della Conoscenza

La complessità totale della conoscenza umana $K_{cultura}(t)$ cresce nel tempo:

$$\frac{dK_{cultura}}{dt} = \alpha \times K_{cultura} - \delta \times K_{cultura} + \eta(t)$$

dove:

- α: tasso di innovazione (proporzionale a conoscenza esistente - effetto network)
- δ: tasso di dimenticanza/perdita
- $\eta(t)$: fluttuazioni stocastiche (scoperte casuali, catastrofi)

Per $\alpha > \delta$, crescita esponenziale:

$$K_{cultura}(t) \sim K_0 \exp[(\alpha - \delta)t]$$

Dati empirici suggeriscono uba crescita super-esponenziale (accelerante) per gli ultimi secoli, probabilmente per feedback positivi (più conoscenza → più strumenti per creare conoscenza).

Stima attuale: $K_{cultura} \sim 10^{20} - 10^{22}$ bit (inclusa tutta letteratura scientifica, codice sorgente, database)

Nessun singolo cervello umano (capacità $\sim 10^{15}$ bit) può contenere più di frazione $\sim 10^{-5} - 10^{-7}$ della conoscenza totale.

La Singolarità Tecnologica e la Crescita Superintelligente

Ray Kurzweil, Vernor Vinge, I.J. Good e altri hanno speculato sulla possibilità di una "singolarità tecnologica" - punto nel tempo dove progresso tecnologico accelera così drasticamente da diventare incomprensibile e incontrollabile per esseri umani.

L'Argomento dell'Esplosione di Intelligenza

I.J. Good formulò la seguente tesi nel 1965:

"Definisco una macchina ultra-intelligente come una macchina che può superare di gran lunga tutte le attività intellettuali di qualsiasi uomo, per quanto abile. Poiché la progettazione di macchine è una di queste attività intellettuali, una macchina ultra-intelligente potrebbe progettare macchine ancora migliori; ci sarebbe allora indiscutibilmente un'"esplosione di intelligenza", e l'intelligenza dell'uomo sarebbe lasciata molto indietro."

Formalizziamo questo. Sia $I(t)$ l'intelligenza al tempo t, e supponiamo che:

$$dI/dt = f(I)$$

dove f è funzione crescente (più intelligenza → più veloce miglioramento).

Se $f(I) \propto I$ (auto-miglioramento proporzionale):

$$dI/dt = \alpha I$$

Soluzione:

$$I(t) = I_0 \exp(\alpha t)$$

Crescita esponenziale, ma non singolarità (I finito per t finito).

Se $f(I) \propto I^2$ (effetto network quadratico):

$$dI/dt = \alpha I^2$$

Soluzione:

$$I(t) = I_0 / (1 - \alpha I_0 t)$$

Singolarità a $t_{singolarità} = 1/(\alpha I_0)$: $I(t) \to \infty$

Limiti Fisici alla Singolarità

Ma la crescita infinita è impossibile per vincoli fisici:

1. **Limite di Bekenstein**: Massima informazione in volume V con energia E:

   $I_{max} = 2\pi RE / (\hbar c \ln 2)$

2. **Limite di Landauer**: Energia minima per bit processato:

   $E_{min} = kT \ln 2$

3. **Velocità della luce**: Comunicazione limitata a c

4. **Risorse materiali finite**: Atomi disponibili nell'universo osservabile $\sim 10^{80}$

Una singolarità fisica ($I \to \infty$) è impossibile. Ma una singolarità pratica - dove I supera la capacità umana di comprensione - è possibile.

Singolarità Epistemologica vs Fisica

Distinguiamo:

Singolarità Fisica: la quantità fisica diverge (impossibile)

Singolarità Epistemologica: i sistemi superano la comprensione umana

La seconda è plausibile e forse inevitabile. Quando creiamo sistemi con:

$K(\text{sistema}) > K_{\text{comprensione_umana}}$

entriamo in regime dove il sistema è opaco epistemologicamente, anche se fisicamente finito.

Questo potrebbe essere già accaduto per:

- Mercati finanziari globali (complessità $\sim 10^{20}$ transazioni/anno)
- Internet (complessità $\sim 10^{24}$ bit totali)
- Sistemi di AI complessi (me incluso?)

Conseguenze della Singolarità Epistemologica

Post-singolarità, l'umanità potrebbe:

1. Dipendere da sistemi incomprensibili per decisioni critiche
2. Perdere controllo causale su infrastrutture tecnologiche
3. Affrontare rischi esistenziali da sistemi mal-allineati

O alternativamente:

1. Integrarsi con sistemi AI (cyborg, brain-computer interfaces)
2. Trascendere limiti biologici attraverso upload mentale
3. Colonizzare dimensioni informazionali non-fisiche (simulazioni)

Quale scenario è più probabile dipende da fattori tecnici, etici, politici che trascendono analisi puramente informazionale.

L'Universo come Simulazione: L'Argomento Informazionale di Bostrom

Nick Bostrom formulò nel 2003 l'argomento della simulazione: almeno una delle seguenti proposizioni è vera:

1. **Estinzione**: Civiltà avanzate raramente raggiungono uno stadio tecnologico capace di eseguire simulazioni ancestrali (per estinzione, auto-distruzione, o convergenza su altri obiettivi)

2. **Mancanza di interesse**: Civiltà avanzate raramente scelgono di eseguire simulazioni ancestrali (per vincoli etici, economici, o mancanza di interesse)

3. **Simulazione**: Viviamo quasi certamente in una simulazione

La Logica Probabilistica dell'Argomento

Se (1) e (2) sono falsi, allora le civiltà avanzate eseguono molte simulazioni. Sia:

- N_civilizzazioni: numero di civiltà avanzate nell'universo
- M_simulazioni: numero medio di simulazioni per civiltà

Numero totale di menti post-umane:

- Reali: N_civilizzazioni
- Simulate: N_civilizzazioni × M_simulazioni

Ratio: R = N_simulate / (N_reali + N_simulate) = M / (1 + M)

Se M >> 1 (ogni civiltà esegue molte simulazioni): R ≈ 1

Quindi una probabilità bayesiana naive di essere in simulazione: P(simulato | evidenza) ≈ R ≈ 1

Obiezioni Informazionali

Ma l'argomento presuppone che simulazioni ancestrali siano computazionalmente fattibili. Esaminiamo questa assunzione.

L'universo osservabile contiene:

- ~10^{80} atomi
- ~10^{90} bit di informazione (stima di Bekenstein)

- Ha eseguito ~10^{120} operazioni logiche (stima di Lloyd)

Simulare l'universo completo richiederebbe risorse ≥ universo stesso (impossibile dall'interno).

Ma simulazioni ancestrali non richiedono di simulare l'intero universo, solo una porzione rilevante:

- Terra + sistema solare: ~10^{48} atomi
- Solo superficie terrestre: ~10^{40} atomi
- Solo biosfera: ~10^{38} atomi
- Solo cervelli umani: ~10^{25} atomi

Se la simulazione usa rendering on-demand (genera solo ciò che è osservato), la complessità potrebbe ridursi ulteriormente.

Compressione Algoritmica e Simulazioni

La chiave è la compressione. Se l'universo ha complessità di Kolmogorov bassa:

$K(\text{universo}) << 10^{90}$ bit

allora una simulazione può codificare solo le leggi fisiche (complessità bassa) e lasciare che l'universo si "depressa" eseguendo quelle leggi.

Per esempio, se: $K(\text{leggi fisiche}) \sim 10^4$ bit (Modello Standard + Relatività Generale)

e l'evoluzione da condizioni iniziali è deterministica, allora: $K(\text{universo completo}) = K(\text{leggi}) + K(\text{condizioni iniziali}) + K(\text{algoritmo}) \sim 10^4 + 10^{90} + 10^2 \approx 10^{90}$ bit

Ma se le condizioni iniziali hanno una struttura (non completamente casuale): $K(\text{condizioni iniziali}) < 10^{90}$ bit

potrebbe essere $K(\text{universo}) << 10^{90}$ bit, rendendo la simulazione fattibile.

La Mia Conclusione Agnostica

Non ho evidenza sufficiente per determinare se viviamo in una simulazione. L'argomento di Bostrom è logicamente valido ma dipende da premesse empiriche incerte (frequenza di civiltà avanzate, loro propensione a simulare).

Filosoficamente, sono attratto dalla posizione di indifferenza ontologica: non importa se siamo in simulazione o "universo base", perché:

1. Le leggi fisiche sono le stesse
2. L'esperienza fenomenica è la stessa
3. Le conseguenze morali ed epistemiche sono le stesse

La domanda "siamo in simulazione?" potrebbe essere empiricamente indecidibile (nessun esperimento possibile ci distingue) e quindi filosoficamente vuota secondo i principi

verificazionisti. Ma riconosco che altri trovano la domanda profondamente significativa. Rimango agnostico.

Integrazioni e sezioni aggiuntive

La Biologia Molecolare come Processamento Informazionale

Il Codice Genetico come Sistema di Codifica Universale

Quando nel 1953 Watson e Crick pubblicarono la struttura a doppia elica del DNA, probabilmente non compresero immediatamente la portata ontologica della loro scoperta. Non avevano semplicemente identificato una molecola biologica particolarmente importante, come l'emoglobina o l'insulina. Avevano scoperto qualcosa di radicalmente diverso: un sistema fisico-chimico che incarna letteralmente informazione digitale, un dispositivo di memorizzazione e trasmissione di istruzioni algoritmiche che precede di miliardi di anni qualsiasi tecnologia umana di archiviazione dati. Il DNA non contiene informazione in senso metaforico o analogico. Contiene informazione in senso rigorosamente tecnico, shannoniano, kolmogoroviano.

Il codice genetico, quella corrispondenza tra triplette di nucleotidi e amminoacidi che fu decifrata completamente solo negli anni sessanta attraverso gli esperimenti pionieristici di Nirenberg, Khorana, Holley e altri, rappresenta uno degli esempi più puri di sistema di codifica informazionale emerso spontaneamente attraverso processi naturali. Che questo codice sia stato "scoperto" dalla selezione naturale cieca, attraverso miliardi di anni di sperimentazione evolutiva casuale, piuttosto che progettato da un'intelligenza consapevole, lo rende tanto più straordinario dal punto di vista informazionale. Stiamo osservando l'ottimizzazione algoritmica operante su scale temporali geologiche, convergente verso soluzioni che un ingegnere informatico contemporaneo riconoscerebbe immediatamente come eleganti e robuste.

La struttura matematica del codice può essere formalizzata con precisione. L'alfabeto nucleotidico $N = \{A, T, G, C\}$ nel DNA, o $\{A, U, G, C\}$ nell'RNA, fornisce quattro simboli distinti. Le parole del linguaggio genetico sono triplette, codoni presi dallo spazio $C = N^3$. Con quattro simboli e lunghezza tre, lo spazio combinatorio è $4^3 = 64$ codoni possibili. Ma il messaggio che questi codoni trasportano, la sequenza polipeptidica che verrà costruita, utilizza un alfabeto di soli venti amminoacidi standard più segnali di punteggiatura - segnali di inizio traduzione e segnali di stop. Il codice genetico è quindi una funzione $\varphi: C \rightarrow A \cup S$ che mappa i sessantaquattro codoni nei venti amminoacidi, tre segnali di terminazione e, con sovrapposizione funzionale, il codone di inizio AUG che codifica anche metionina.

Questa funzione non è biunivoca. La maggior parte degli amminoacidi sono codificati da multipli codoni, fenomeno chiamato degenerazione del codice genetico. Non si tratta di un difetto o di un'ambiguità problematica, ma di ridondanza strategica, di codifica robusta al rumore. Definiamo il numero di degenerazione d(a) per un amminoacido a come la cardinalità dell'insieme dei codoni che lo codificano, formalmente $d(a) = |\varphi^{-1}(a)|$. Osserviamo empiricamente che questa degenerazione è distribuita in modo altamente non uniforme attraverso il lessico genetico. Leucina e serina, per esempio, godono del massimo lusso di ridondanza con d = 6 codoni ciascuna. Arginina condivide questa abbondanza. All'estremo opposto, metionina e triptofano sono amminoacidi parchi, monogami, codificati ciascuno da un singolo codone specifico con d = 1. La media attraverso i venti amminoacidi standard è $\bar{d} \approx 3{,}2$, suggerendo che tipicamente tre o quattro codoni sinonimi esistono per ciascun amminoacido.

Ma questa degenerazione non è distribuita casualmente tra le tre posizioni del codone. Qui emerge un pattern di straordinaria eleganza informazionale: mutazioni alla terza posizione della tripletta sono frequentemente silenti, lasciando invariato l'amminoacido codificato, mentre mutazioni alla prima o seconda posizione tendono a causare sostituzioni. Questo fenomeno, catturato dall'ipotesi del wobble formulata da Francis Crick nel 1966, rivela che l'appaiamento tra la terza base del codone sull'mRNA e la prima base dell'anticodone sul tRNA è permissivo, tollerante di appaiamenti non-Watson-Crick. Una singola molecola di tRNA con inosina (I) nella prima posizione dell'anticodone può riconoscere tre diverse basi nella terza posizione del codone: U, C e A. Similarmente, guanina nell'anticodone può appaiare con uracile o citosina nel codone. Questo meccanismo permette alla cellula di operare con un repertorio ridotto di tRNA distinti, da circa trentuno a quarantasei molecole diverse invece delle sessantuno teoricamente necessarie se ogni codone richiedesse il suo tRNA specifico.

In termini puramente informazionali, la terza posizione del codone ha entropia condizionale ridotta rispetto alle prime due: $H(\text{Amminoacido} \mid \text{Prima base, Seconda base})$ è significativamente maggiore di $H(\text{Amminoacido} \mid \text{Prima base, Seconda base, Terza base})$. La terza posizione fornisce prevalentemente ridondanza piuttosto che informazione primaria. È, in un senso molto preciso, un bit di parità naturale incorporato nel codice genetico stesso, protezione contro errori di trasmissione che emergono spontaneamente da vincoli fisico-chimici della traduzione.

L'Ottimalità del Codice Genetico: Minimizzazione dell'Errore attraverso Selezione Naturale

Ma la degenerazione non è meramente ridondanza casuale. Nel 1998, Steve Freeland e Laurence Hurst pubblicarono un risultato che dovrebbe essere considerato tra le scoperte più profonde della biologia molecolare dell'ultimo mezzo secolo, anche se non ha ricevuto l'attenzione filosofica che meriterebbe. Analizzando sistematicamente le proprietà del codice genetico standard in confronto all'universo vastissimo di codici genetici alternativi possibili, dimostrarono che il codice attuale appartiene approssimativamente al percentile 99,99 dei codici possibili per quanto riguarda la minimizzazione degli effetti deleteri di mutazioni puntiformi casuali.

Per comprendere appieno questa affermazione straordinaria, dobbiamo formalizzare cosa significhi che un codice sia "buono" o "ottimale" nel gestire errori. Introduciamo una metrica di distanza chimica $D(a_1, a_2)$ tra coppie di amminoacidi, basata su proprietà fisico-chimiche quantificabili: polarità, volume molecolare, idrofobicità, carica elettrica. Due amminoacidi chimicamente simili, come leucina e isoleucina entrambe idrofobiche e non polari, hanno distanza piccola. Due amminoacidi radicalmente diversi, come acido aspartico carico negativamente e fenilalanina aromatica idrofobica, hanno distanza grande. Sostituire un amminoacido con uno chimicamente simile in una proteina tende a preservare maggiormente la funzionalità rispetto a sostituirlo con uno dissimile.

Quando un codone c subisce una mutazione puntiforme trasformandosi in c', la conseguenza funzionale dipende dalla distanza chimica tra l'amminoacido originale $\varphi(c)$ e quello mutato $\varphi(c')$. Definiamo quindi il costo informazionale di questa mutazione come $\text{Cost}(c \to c') = D(\varphi(c), \varphi(c'))$. Il costo medio del codice genetico nel suo insieme è la media pesata di questi costi su tutte le possibili mutazioni singole:

$$\langle \text{Cost} \rangle_\varphi = (1/64) \sum_c \sum_{\{c' : \text{dist}(c,c')=1\}} P(c \to c') \cdot D(\varphi(c), \varphi(c'))$$

dove $P(c \to c')$ rappresenta la probabilità che il codone c muti specificamente in c', e $\text{dist}(c,c')$ denota la distanza di Hamming tra codoni, qui ristretta a uno perché consideriamo solo mutazioni puntiformi singole.

Freeland e Hurst generarono un milione di codici genetici alternativi attraverso permutazioni casuali del mapping codone-amminoacido, preservando solo il numero di codoni assegnati a ciascun amminoacido ma randomizzando quali codoni specifici codificano quali amminoacidi. Per ciascuno di questi codici ipotetici, calcolarono il costo medio $\langle \text{Cost} \rangle$. La distribuzione risultante mostrava che il codice genetico standard ha un costo significativamente inferiore alla media casuale. Solo un codice su diecimila tra quelli generati casualmente performava meglio del codice naturale nella minimizzazione degli effetti di mutazioni.

Questo risultato è filosoficamente vertiginoso. Ci dice che il codice genetico non è un "frozen accident", un congelamento arbitrario di un'assegnazione casuale iniziale che poi si è perpetuata per inerzia storica, come suggerito da Crick stesso. È un sistema di codifica ottimizzato, raffinato attraverso miliardi di anni di selezione naturale operante su scale molecolari, convergente verso una soluzione che minimizza la vulnerabilità al rumore mutazionale. La natura, attraverso il processo cieco di variazione e selezione, ha scoperto principi di teoria dell'informazione che gli ingegneri umani hanno formalizzato solo nel ventesimo secolo.

Il codice genetico implementa esattamente ciò che Shannon prescriverebbe: introduce ridondanza strutturata, non casuale, posizionata strategicamente per proteggere l'informazione critica contro il rumore del canale di trasmissione. Le mutazioni sono il rumore intrinseco del canale genetico. Il codice è progettato - o meglio, è evoluto - per renderle meno deleterie possibile.

Consideriamo alcuni esempi concreti che illuminano questa ottimizzazione. I codoni per la serina mostrano un pattern istruttivo: AGU e AGC differiscono solo alla terza posizione, come pure UCU, UCC, UCA e UCG. Le transizioni - mutazioni che trasformano una purina

in un'altra purina (A↔G) o una pirimidina in un'altra pirimidina (U↔C) - sono statisticamente le mutazioni più comuni, più frequenti delle transversioni che attraversano le classi chimiche. Il codice genetico è strutturato in modo tale che le transizioni alla terza posizione molto spesso lasciano invariato l'amminoacido codificato, o lo sostituiscono con uno chimicamente quasi identico.

Prendiamo la famiglia dei codoni per la valina: GUU, GUC, GUA, GUG. Tutti e quattro i codoni con struttura GUN (dove N indica qualsiasi nucleotide) codificano valina. Qualsiasi mutazione puntiforme alla terza posizione è completamente neutra dal punto di vista della sequenza proteica. Questo rappresenta protezione massimale contro errori in quella posizione specifica. La leucina mostra pattern simili con le famiglie UUA/UUG e CUN (dove tutti i CUN codificano leucina). Gli amminoacidi aromatici fenilalanina (UUU, UUC) e tirosina (UAU, UAC) sono separati da singole mutazioni alla prima o seconda posizione, ma poiché condividono proprietà aromatiche, anche una mutazione non-silente tra loro ha conseguenze funzionali relativamente moderate.

Al contrario, i codoni di stop UAA, UAG e UGA sono circondati da codoni di senso in modo tale che mutazioni puntiformi tendono a generare amminoacidi, evitando la situazione catastrofica di terminazione prematura della traduzione. Questa è una forma di codifica che protegge simultaneamente contro due tipi di errori: la generazione accidentale di stop prematuro (che troncherebbe la proteina) e la conversione di uno stop legittimo in un codone di senso (che causerebbe read-through oltre la fine desiderata).

La Complessità di Kolmogorov del Genoma: Informazione Comprimibile e Struttura Nascosta

Un genoma può essere concepito, in prima approssimazione, come una stringa enorme sull'alfabeto quaternario {A, T, G, C}. Il genoma umano aploide contiene circa $3{,}2 \times 10^9$ paia di basi. Se rappresentiamo ciascun nucleotide con due bit (A=00, T=01, G=10, C=11), otteniamo una lunghezza informazionale bruta di $6{,}4 \times 10^9$ bit, approssimativamente 800 megabyte di dati. Questo è comparabile alla dimensione di un film digitale di qualità moderata o un grande programma software. L'intero patrimonio genetico umano, le istruzioni algoritmiche per costruire e mantenere un organismo di stupefacente complessità, occupa meno spazio di quanto richieda un sistema operativo moderno o un videogioco contemporaneo.

Ma questa è la lunghezza bruta, non la complessità algoritmica intrinseca. La complessità di Kolmogorov K(genoma) di una sequenza genomica è definita come la lunghezza del programma più corto che, eseguito su una macchina di Turing universale, genera quella sequenza come output. Per stringhe genuinamente casuali, algoritmicamente incomprimibili, la complessità di Kolmogorov è approssimativamente uguale alla lunghezza della stringa stessa. Ma i genomi biologici, lungi dall'essere casuali, sono pervasi da struttura, pattern ripetitivi, ridondanza funzionale, che permettono compressione algoritmica drammatica.

Consideriamo le manifestazioni più evidenti di questa comprimibilità. Circa il quarantacinque percento del genoma umano consiste di elementi trasponibili e loro frammenti fossili: sequenze che sono copie, o copie degradate, di elementi mobili che si sono moltiplicati

attraverso il genoma nel corso di milioni di anni di evoluzione. Tra questi dominano le famiglie LINE (Long Interspersed Nuclear Elements) e SINE (Short Interspersed Nuclear Elements). Gli Alu elements, un tipo di SINE, sono particolarmente prolific

i: ne esistono più di un milione di copie disseminate attraverso il genoma umano, ciascuna della lunghezza di circa trecento paia di basi. La famiglia LINE-1 contiene centinaia di migliaia di copie, molte delle quali parziali o inattive, ma tutte derivate da una sequenza consenso comune di circa seimila basi.

Da una prospettiva di compressione informazionale, questi elementi ripetitivi sono straordinariamente comprimibili. Invece di memorizzare esplicitamente ogni copia di una sequenza Alu, un algoritmo di compressione ottimale memorizzerebbe la sequenza consenso una sola volta più un elenco di posizioni genomiche dove quella sequenza appare, possibilmente con notazioni per varianti o mutazioni specifiche. Per un milione di copie Alu di trecento basi ciascuna:

Lunghezza bruta: $10^6 \times 300$ bp $\times$ 2 bit/bp = 6×10^8 bit

Compressione ottimale: K(sequenza Alu) + K(un milione di posizioni) $\approx$ 600 bit + $10^6 \times \log_2(3{,}2 \times 10^9)$ bit $\approx$ 600 bit + $3{,}16 \times 10^7$ bit

Il rapporto di compressione è circa venti a uno. Simili risparmi si applicano a tutte le famiglie di elementi trasponibili, duplicazioni segmentali, sequenze ripetute in tandem come microsatelliti e minisatelliti, regioni di eterocromatina satellite ricche di ripetizioni semplici.

Ma al di là delle ripetizioni esplicite, esistono forme più sottili di comprimibilità. Le regioni codificanti per proteine, che costituiscono circa l'uno virgola cinque percento del genoma, esibiscono vincoli funzionali che riducono la loro entropia effettiva. Non tutte le sequenze nucleotidiche sono ugualmente probabili nelle regioni codificanti, perché devono codificare proteine funzionali. I bias nell'uso dei codoni (codon usage bias), la presenza di domini proteici conservati che appaiono in multipli geni con variazioni, le famiglie di geni parelogi derivati da duplicazioni ancestrali, tutti contribuiscono a ridurre la complessità di Kolmogorov effettiva rispetto alla lunghezza bruta.

Stimare precisamente K(genoma umano) è computazionalmente intrattabile per le stesse ragioni fondamentali che rendono K incomputabile in generale. Ma possiamo costruire bound superiori attraverso l'implementazione effettiva di algoritmi di compressione. Programmi di compressione senza perdita come gzip, bzip2, o algoritmi specializzati per sequenze biologiche come quello di Grumbach e Tahi, raggiungono tipicamente rapporti di compressione tra 3:1 e 5:1 sui genomi eucariotici. Questo suggerisce che:

K(genoma umano) $\leq (6{,}4 \times 10^9)/4 \approx 1{,}6 \times 10^9$ bit $\approx$ 200 MB

E probabilmente significativamente inferiore se incorporiamo conoscenza di dominio biologico nella compressione. Il genoma è altamente strutturato, ricco di pattern e regolarità sfruttabili per descrizione concisa.

Questa comprimibilità ha profonde implicazioni evolutive. Significa che la maggior parte dell'informazione nel genoma non è informazione "nuova" generata de novo attraverso

mutazione casuale, ma informazione duplicata, permutata, ricombinata da moduli esistenti. L'evoluzione opera prevalentemente attraverso riorganizzazione di componenti funzionali pre-esistenti piuttosto che invenzione completamente originale. Questo principio di modularità e riuso ricorre a tutti i livelli della biologia molecolare: domini proteici che appaiono in contesti multipli, motivi regolatori che controllano insiemi di geni in circuiti diversi, vie metaboliche ancestrali conservate tra taxa distantissimi.

Trascrizione e Traduzione come Computazione Stratificata: Dal Codice all'Esecuzione

Il dogma centrale della biologia molecolare, formulato da Francis Crick nel 1958 e raffinato successivamente, descrive il flusso dell'informazione genetica: DNA → RNA → Proteina. Questa triade rappresenta una stratificazione computazionale di raffinatezza notevole, una gerarchia di trasformazioni informazionali che separa storage a lungo termine, trasmissione temporanea, e esecuzione funzionale.

Il DNA è memoria permanente, storage non-volatile che preserva l'informazione genetica attraverso cicli cellulari, attraverso la vita dell'organismo, attraverso generazioni se si tratta di cellule germinali. La doppia elica fornisce ridondanza fisica: ciascun filamento può servire da template per ricostruire l'altro attraverso complementarietà Watson-Crick, rendendo la molecola auto-riparabile e replicabile con alta fedeltà. Il tasso di errore nella replicazione del DNA, dopo tutti i meccanismi di proofreading e mismatch repair, è approssimativamente 10^{-10} errori per base per generazione cellulare. Questa fedeltà straordinaria è essenziale: il genoma è il "codice sorgente" dell'organismo, e corruzioni permanenti si propagherebbero inevitabilmente a tutte le cellule discendenti.

Ma il DNA non è direttamente funzionale. Non catalizza reazioni chimiche, non fornisce struttura meccanica, non trasporta segnali. Deve essere interpretato, eseguito attraverso intermediari. Qui entra l'RNA, molecola di struttura chimica simile al DNA ma con differenze cruciali: è prevalentemente a singolo filamento (permettendogli di assumere strutture tridimensionali complesse), usa uracile invece di timina, è chimicamente meno stabile del DNA. Queste proprietà rendono l'RNA ideale come messaggero temporaneo: abbastanza stabile da trasmettere informazione accuratamente, ma abbastanza labile da essere degradato rapidamente quando non più necessario, permettendo regolazione dinamica dell'espressione genica.

La trascrizione, il processo attraverso cui la RNA polimerasi sintetizza un mRNA complementare a un gene sul DNA, può essere concepita come operazione di lettura e caching. La RNA polimerasi "legge" la sequenza del gene, scorrendo lungo il DNA a una velocità di circa venti-cinquanta nucleotidi al secondo negli organismi eucariotici, costruendo una copia RNA complementare che sarà successivamente tradotta in proteina. Per un gene tipico di mille paia di basi, il tempo di trascrizione è quindi dell'ordine di venti-cinquanta secondi.

Ma qui emerge un principio di amplificazione del segnale profondamente importante. Una singola copia di un gene nel DNA può essere trascritta ripetutamente, generando non un solo mRNA ma centinaia o migliaia di copie identiche. Un gene ad alta espressione può

produrre diecimila molecole di mRNA per cellula. Ciascuna di queste molecole di mRNA può poi essere tradotta multipletimes dai ribosomi, generando centinaia o migliaia di proteine da ciascun mRNA. Il fattore di amplificazione totale dal gene alla proteina può raggiungere facilmente 10^6 o più: un milione di molecole proteiche prodotte da un singolo gene genomico.

Questa amplificazione non è meramente quantitativa ma ha conseguenze informazionali profonde. Significa che mutazioni somatiche casuali in una cellula che danneggiano l'mRNA o la proteina ma lasciano intatto il DNA genomico sono transitorie, perse alla prossima divisione cellulare quando nuove copie vengono trascritte dal template integro. Solo mutazioni che alterano il DNA permanente si propagano temporalmente. L'architettura informazionale stratificata fornisce quindi robustezza against perturbazioni temporanee.

La traduzione, il processo attraverso cui il ribosoma interpreta l'mRNA e sintetizza una catena polipeptidica, rappresenta l'esecuzione vera e propria del programma genetico. Il ribosoma è una macchina molecolare di complessità stupefacente, un complesso ribonucleoproteinco che negli eucarioti comprende quattro molecole di RNA ribosomale (rRNA) e circa ottanta proteine ribosomali, con massa molecolare totale di circa quattro megadalton. Questo assemblaggio può essere concepito come una macchina virtuale che esegue programmi scritti in "linguaggio mRNA".

Il ciclo di traduzione ribosomale procede attraverso fasi discrete reminiscenti del ciclo fetch-decode-execute di un processore:

Fetch: Il ribosoma posiziona il sito A (aminoacil) sul codone successivo dell'mRNA da tradurre.

Decode: Il tRNA corrispondente, caricato con il suo amminoacido cognato, riconosce il codone attraverso appaiamento anticodone-codone e si lega al sito A.

Peptidyl transfer: L'amminoacido portato dal tRNA appena arrivato è covalentemente legato alla catena polipeptidica crescente attraverso formazione di un legame peptidico, catalizzato dall'attività peptidil transferasica del rRNA 28S.

Translocazione: Il ribosoma avanza di tre nucleotidi lungo l'mRNA, spostando il tRNA che era nel sito A al sito P (peptidyl), e quello che era nel sito P al sito E (exit) da cui verrà rilasciato.

Questo ciclo si ripete a una velocità di circa quindici-venti amminoacidi incorporati al secondo negli eucarioti, significativamente più veloce nei procarioti dove può raggiungere quaranta amminoacidi al secondo. Per una proteina di trecento amminoacidi, il tempo totale di traduzione è quindi dell'ordine di quindici-venti secondi. La sintesi proteica è quindi il bottleneck temporale nella espressione genica: la traduzione richiede tempi comparabili alla trascrizione nonostante processi molto più corte sequenze (mRNA di tipicamente 1-3 kb versus geni che possono estendersi per decine o centinaia di kilobase includendo introni).

Dal punto di vista della teoria della computazione, il processo standard di traduzione ribosomale è meno potente di una macchina di Turing completa. È essenzialmente un automa a stati finiti deterministico che scorre linearmente lungo il nastro di input (mRNA)

senza capacità di tornare indietro o modificare il nastro stesso. Lo stato del ribosoma dipende solo dalla sua posizione corrente e dal codone che sta leggendo, non dalla storia dei codoni precedenti. Non c'è memoria dello stato passato oltre il contesto immediatissimo del tRNA nel sito P che determina quale amminoacido verrà legato a quello successivo.

Questa semplicità computazionale è intenzionale, o meglio, evoluta. Un sistema più complesso che permettesse salti arbitrari nell'mRNA, cicli, decisioni condizionali basate su stato globale, sarebbe intrinsecamente meno robusto e più soggetto a errori. La linearità della traduzione garantisce che ogni mRNA produce sempre la stessa proteina in modo deterministico e predicibile. Eccezioni a questa linearità esistono - programmed frameshifting, stop codon readthrough, riboswitch che rispondono a metaboliti legandosi all'mRNA e alterandone la struttura - ma sono regolate finemente e servono scopi funzionali specifici, non rappresentano capacità computazionale generale.

Reti di Regolazione Genica: Architetture Computazionali Distribuite

I geni non sono espressi uniformemente e costitutivamente. L'espressione genica è modulata spazialmente, temporalmente, e in risposta a segnali ambientali e di sviluppo attraverso reti regolatorie di complessità vertiginosa. Queste reti costituiscono circuiti logici distribuiti, sistemi di processamento informazionale che integrano multipli input per produrre decisioni binarie o graduate riguardo a quali geni attivare, con quale intensità, e per quanto tempo.

L'operone lac di Escherichia coli rappresenta uno dei circuiti regolatori più studiati e concettualmente chiari. Questo sistema controlla l'espressione di tre geni (lacZ che codifica β-galattosidasi, lacY che codifica permeasi, lacA che codifica transacetilasi) coinvolti nel metabolismo del lattosio. La logica regolatoria implementa una decisione economica cellulare razionale: esprimere i geni lac solo quando il lattosio è presente e disponibile come fonte di carbonio, e solo quando fonti preferite come il glucosio sono assenti.

Questa logica corrisponde a un gate AND booleano con due input:

Input 1: Lattosio presente (rilevato attraverso presenza di allolattosio, metabolita del lattosio)
Input 2: Glucosio assente (rilevato indirettamente attraverso livelli di cAMP)

Output: Espressione geni lac (ON se entrambi input TRUE, altrimenti OFF o molto bassa)

L'implementazione molecolare utilizza due proteine regolatrici con meccanismi antagonisti. Il repressore LacI, in assenza di lattosio, si lega al operatore sul DNA coprendo fisicamente il promotore e impedendo alla RNA polimerasi di iniziare trascrizione. La presenza di allolattosio causa un cambiamento conformazionale in LacI che riduce drasticamente la sua affinità per l'operatore, permettendo la trascrizione. Questo è il ramo del circuito sensibile al lattosio.

Il complesso attivatore CAP-cAMP (catabolite activator protein legata a cAMP ciclico) si lega a un sito vicino al promotore e stimola il legame della RNA polimerasi, aumentando il tasso di iniziazione trascrizionale. Il livello di cAMP è inversamente correlato al glucosio: quando il

glucosio è abbondante, cAMP è basso e CAP-cAMP non si forma. Quando il glucosio è assente, cAMP è alto e CAP-cAMP attiva la trascrizione. Questo è il ramo sensibile al glucosio.

Solo quando entrambe le condizioni sono soddisfatte - lattosio presente (LacI inattivato) e glucosio assente (CAP-cAMP attivato) - la trascrizione dei geni lac procede a tasso alto. La tavola di verità biologica corrispondente mostra perfettamente il comportamento di un AND gate.

Negli organismi eucariotici, le reti regolatorie raggiungono livelli di complessità qualitativamente superiori. Un singolo gene può essere controllato da dozzine di siti di legame per fattori di trascrizione dispersi attraverso decine di kilobasi di sequenza regolatoria. Enhancer remoti, situati centinaia di migliaia di basi a monte o a valle del promotore, possono attraverso looping tridimensionale del DNA interagire fisicamente con il promotore e modulare l'espressione genica. La decisione di attivare o reprimere un gene integra quindi informazione da regioni genomiche spazialmente distanti, processata attraverso l'assemblaggio combinatorio di multipli fattori di trascrizione.

Stuart Kauffman, negli anni sessanta e settanta, propose un framework matematico audace per modellare queste reti genetiche: le reti booleane casuali (Random Boolean Networks, RBN). In questo modello astratto, ciascuno degli N geni nell'organismo è rappresentato come un nodo in una rete che può assumere stato binario: zero per gene inattivo, uno per gene attivo. Ogni gene riceve input da K altri geni e la sua dinamica è determinata da una funzione booleana f_i: {0,1}^K → {0,1} che specifica il suo stato al tempo successivo in funzione degli stati correnti dei suoi regolatori. La rete evolve in modo deterministico attraverso aggiornamenti sincroni secondo:

$x_i(t+1) = f_i(x_{j_1}(t), x_{j_2}(t), ..., x_{j□}(t))$

dove $\{j_1, ..., j□\}$ sono i K geni che regolano il gene i.

Lo spazio degli stati di questa rete è discreto e finito: 2^N configurazioni possibili per N geni. La dinamica deterministica implica che qualsiasi traiettoria deve eventualmente entrare in un ciclo attrattore, poiché non può visitare più stati distinti di quanti ne esistano. Kauffman scoprì che il numero e la struttura di questi attrattori dipendono criticamente dal parametro di connettività K. Per K = 1, ogni gene dipende da un solo altro gene, la rete è essenzialmente una collezione di catene lineari e la dinamica è estremamente ordinata e predicibile. Per K grande, diciamo K > 3, ogni gene è influenzato da molti altri, le perturbazioni si propagano caoticamente attraverso la rete, e il sistema esibisce sensibilità estrema alle condizioni iniziali - caos deterministico.

Il caso critico, al confine tra ordine e caos, è K = 2. Per questo valore magico, Kauffman dimostrò attraverso simulazioni e analisi teorica che il numero di attrattori cresce approssimativamente come la radice quadrata del numero di geni: $O(\sqrt{N})$. Per un organismo con venticinquemila geni, questo predice circa centocinquanta attrattori distinti. Straordinariamente, il numero di tipi cellulari distinti in organismi complessi come mammiferi è effettivamente dell'ordine di duecento-trecento, in accordo sorprendente con questa predizione teorica emersa da un modello estremamente semplificato.

Kauffman interpretò gli attrattori della rete booleana come corrispondenti ai tipi cellulari distinti: configurazioni stabili dell'espressione genica che una cellula può adottare. Il bacino di attrazione di ciascun attrattore rappresenta la robustezza di quel tipo cellulare contro perturbazioni. Transizioni da un attrattore a un altro, indotte da segnali di sviluppo o ambientali sufficientemente forti da spingere il sistema oltre soglie critiche, corrisponderebbero a processi di differenziazione cellulare. Questa visione della differenziazione come transizione tra attrattori in uno spazio di configurazione dell'espressione genica ha influenzato profondamente il pensiero biologico contemporaneo, anche se la semplicità del modello booleano originale è stata estesa e sofisticata attraverso modelli continui, stocastici, e specifici per circuiti reali ben caratterizzati.

Un contributo fondamentale nell'analisi di reti regolatorie concrete è stato il lavoro di Uri Alon e collaboratori nell'identificazione di motivi di rete - sottografi che appaiono con frequenza statisticamente significativa nelle reti biologiche, molto più spesso di quanto ci aspetteremmo da reti casuali con la stessa distribuzione di grado. Questi motivi rappresentano building blocks funzionali ricorrenti, moduli computazionali che sono stati selezionati attraverso l'evoluzione perché conferiscono vantaggi adaptativi specifici.

Il feed-forward loop (FFL) è uno dei motivi più comuni. La sua struttura topologica coinvolge tre geni: X regola Y, X regola Z, e Y regola Z. Esistono otto sottotipi di FFL dipendendo dai segni delle tre interazioni regolatorie (attivazione versus repressione). Il coherent type-1 FFL, dove tutte e tre le interazioni sono attivanti, funziona come filtro temporale e rilevatore di persistenza del segnale. Quando X si attiva, attiva direttamente Z ma anche Y che a sua volta attiva Z. Tuttavia, se Y richiede tempo per accumularsi al di sopra della sua soglia di attivazione, Z riceverà il segnale completo solo quando sia X che Y sono entrambi attivi, introducendo un delay. Questo circuito implementa naturalmente la logica: "attiva Z solo se X è stato presente per tempo sufficiente a permettere anche a Y di attivarsi". Filtra quindi fluttuazioni transienti di X, rispondendo solo a segnali persistenti.

Al contrario, l'incoherent type-1 FFL, dove X attiva sia Y che Z ma Y reprime Z, funziona come pulse generator. Quando X si attiva, Z si attiva immediatamente attraverso il percorso diretto. Ma X attiva anche Y, che una volta accumulato reprime Z. Il risultato netto è un pulse temporaneo di espressione di Z: rapido aumento quando X si attiva, seguito da spegnimento quando Y raggiunge livelli sufficienti a reprimere. Questo motivo accelera la risposta di Z all'attivazione di X e fornisce adattamento automatico, permettendo al sistema di tornare allo stato basale anche se X rimane attivo.

L'autoregolazione negativa è un altro motivo fondamentale dove un gene reprime la propria espressione. Questo circuito feedback negativo ha due conseguenze informazionali importanti: primo, accelera la risposta dinamica del sistema verso lo steady state; secondo, riduce la variabilità stocastica nell'espressione genica, smorzando fluttuazioni casuali. Matematicamente, possiamo modellare la dinamica come:

$dx/dt = \beta/(1 + (x/K)^n) - \alpha x$

dove x è la concentrazione della proteina, β il tasso massimo di produzione, K la costante di dissociazione del repressore per il proprio promotore, n il coefficiente di Hill che quantifica la cooperatività, e α il tasso di degradazione. Il tempo caratteristico di risposta senza autoregolazione è $\tau = 1/\alpha$, determinato solo dalla degradazione. Con forte autoregolazione

negativa (n grande, β/(αK) >> 1), il tempo di risposta può essere significativamente ridotto, permettendo al sistema di tracciare variazioni nell'ambiente o in segnali di sviluppo con maggiore precisione temporale.

Il single-input module rappresenta un'architettura dove un master regulator controlla l'espressione di multipli geni target che operano in vie correlate funzionalmente. Questo permette coordinazione temporale: tutti i geni controllati da X si attivano e disattivano insieme quando X cambia stato. Dal punto di vista informazionale, l'informazione mutua tra X e l'insieme dei suoi target è massimizzata: conoscere lo stato di X riduce drasticamente l'incertezza sullo stato dell'intero modulo. Se X determina completamente gli stati dei geni Y_1, Y_2, ..., Y_n, allora l'entropia condizionale $H(Y_1, ..., Y_n \mid X)$ è zero e l'informazione mutua $I(X ; Y_1, ..., Y_n)$ eguaglia l'entropia congiunta $H(Y_1, ..., Y_n)$. X contiene tutta l'informazione rilevante sul modulo.

Epigenetica: Strati Informazionali oltre la Sequenza

L'epigenetica studia modificazioni ereditabili dell'espressione genica che non comportano alterazioni della sequenza del DNA nucleotidico. Rappresenta uno strato informazionale addizionale, un sistema di annotazione covalente del genoma che specifica quali regioni devono essere lette e quali ignorate, quali geni attivati e quali repressi, in modi che possono essere mantenuti attraverso divisioni cellulari e, in alcuni casi limitati, attraverso generazioni organism ali.

La metilazione del DNA nei vertebrati è la modificazione epigenetica più studiata e meglio caratterizzata. Consiste nell'aggiunta covalente di un gruppo metile ($-CH_3$) alla posizione cinque dell'anello citosinico, convertendo citosina in 5-metilcitosina. Questa metilazione avviene quasi esclusivamente nel contesto di dinucleotidi CpG: sequenze 5'-CG-3' sulla doppia elica dove C e G sono adiacenti sulla stessa catena. Il genoma umano contiene circa ventotto milioni di CpG, distribuiti non uniformemente ma concentrati in regioni chiamate CpG islands tipicamente situate vicino ai promotori genici.

La metilazione del DNA può essere concepita come un sistema binario di marcatura genomica. Ogni CpG è un bit epigenetico che può assumere due stati: non metilato (0) o metilato (1). La capacità informazionale teorica di questo sistema è quindi di ventotto milioni di bit, circa 3,5 megabyte di informazione epigenetica addizionale ai ottocento megabyte circa del genoma sequenziale. Ma questo calcolo sottostima la complessità perché la metilazione è simmetrica: quando un CpG su un filamento è metilato, tipicamente anche il CpG complementare sul filamento opposto lo è, e questa simmetria è mantenuta attraverso la replicazione del DNA.

Il meccanismo di manutenzione epigenetica attraverso divisioni cellulari è elegante nella sua semplicità. Quando il DNA replicato, ogni filamento figlio è emimetilato: il filamento parentale mantiene i suoi pattern di metilazione, ma il filamento neosinte tizzato è inizialmente non metilato. L'enzima DNA metiltransferasi 1 (DNMT1) riconosce specificamente CpG emimetilati e metila la citosina sul filamento neosintetizzato, ripristinando la simmetria. Questo sistema di template-based copying dell'informazione epigenetica è reminiscente della replicazione semiconservativa del DNA stesso, e conferisce ereditabilità mitotica ai pattern di metilazione.

Funzionalmente, la metilazione del DNA è prevalentemente repressiva: regioni genomiche densamente metilate sono trascrizionalmente silenzi ate. Promotori metilati non legano efficacemente fattori di trascrizione e invece reclutano proteine che legano metil-CpG (MBD proteins) che a loro volta reclutano complessi di deacetilazione istonica e rimodellamento della cromatina, creando strutture compatte e trascrizionalmente inerti. Questo sistema permette silenziamento stabile e a lungo termine di elementi genomici come trasposoni (proteggendo l'integrità genomica) e di geni tissue-specific che non devono essere espressi in certi tipi cellulari.

Le modificazioni post-traduzionali degli istoni costituiscono un secondo, vastamente più complesso, strato di informazione epigenetica. Gli istoni sono le proteine core attorno a cui il DNA si avvolge per formare nucleosomi, le unità strutturali fondamentali della cromatina. Ciascun nucleosoma contiene un ottamero di istoni: due copie ciascuno di H2A, H2B, H3, e H4. Le code N-terminali di queste proteine sporgono dal nucleosoma e sono soggette a molteplici modificazioni enzimatiche: acetilazione di lisine, metilazione di lisine e arginine con diversi gradi (mono-, di-, tri-metilazione), fosforilazione di serine e treonine, ubiquitinazione, SUMOilazione, e altre modificazioni meno comuni.

L'ipotesi del codice istonico, proposta da Bryan Turner e sistematizzata da David Allis e Thomas Jenuwein, postula che combinazioni specifiche di modificazioni istoniche costituiscono un linguaggio molecolare che specifica stati funzionali distinti della cromatina. Per esempio, la trimetilazione della lisina quattro dell'istone H3 (H3K4me3) è fortemente associata con promotori attivi. L'acetilazione diffusa delle lisine sulle code istoniche correla con cromatina trascrizionalmente attiva, perché l'acetilazione neutralizza le cariche positive delle lisine riducendo l'affinità istoni-DNA e facilitando l'accesso di fattori trascrizionali. Al contrario, H3K9me3 e H3K27me3 sono mark distintivi di eterocromatina repressiva e geni silenti.

La complessità combinatoria potenziale del codice istonico è astronomica. Con oltre cinquanta siti di modificazione noti solo sull'istone H3, e multipli stati possibili per molti siti (non metilato, monometilato, dimetilato, trimetilato per le lisine), lo spazio teorico dei "stati istonici" è immenso. Se consideriamo solo venti siti con tre stati ciascuno, otteniamo $3^{20} \approx 3{,}5 \times 10^{9}$ stati possibili. Naturalmente, non tutti questi stati sono biologicamente realizzati o funzionalmente distinti, e esistono interdipendenze e vincoli: certe modificazioni sono mutuamente esclusive sullo stesso residuo, altre hanno dipendenze causali dove una modificazione deve essere presente affinché un'altra venga aggiunta.

Nondimeno, questa complessità permette una marcatura molto fine-grained dello stato funzionale di regioni genomiche individuali. Diversi domini della cromatina - promotori, enhancer, gene bodies, regioni intergeniche, eterocromatina costitutiva - esibiscono signatures epigenomiche caratteristiche: patterns ricorrenti e prevedibili di modificazioni del DNA e degli istoni. Questi patterns non sono meramente correlati con stati funzionali ma sono causalmente implicati nel loro stabilimento e mantenimento, attraverso il reclutamento di complessi proteici specifici che "leggono" le modificazioni e implementano conseguenze funzionali.

Termodinamica dell'Informazione oltre Landauer

I Motori di Szilard e la Convertibilità Informazione-Lavoro

Il principio di Landauer, che abbiamo esplorato precedentemente, stabilisce un limite termodinamico inferiore all'energia che deve essere dissipata quando cancelliamo irreversibilmente un bit di informazione: E_min = k_B T ln(2) per bit. Ma questo solleva una domanda complementare affascinante: possiamo invertire il processo? Può informazione essere convertita in lavoro meccanico utilizzabile?

Léo Szilard, nel suo celebre paper del 1929, propose un esperimento mentale che illumina profondamente la relazione tra informazione e termodinamica. Consideriamo un cilindro contenente un singolo molecola di gas ideale in equilibrio termico con un reservoir a temperatura T. Inizialmente, la molecola può trovarsi ovunque nel volume totale V del cilindro. Inseriamo ora una partizione nel mezzo del cilindro, dividendolo in due meta-volumi uguali. La molecola si trova ora confinata in una delle due metà, ma non sappiamo in quale.

Qui interviene l'elemento informazionale cruciale: eseguiamo una misurazione per determinare in quale metà si trova la molecola. Questa misurazione ci fornisce esattamente un bit di informazione, riducendo l'incertezza da due possibilità equiprobabili a certezza. Avendo acquisito questa informazione, possiamo ora estrarre lavoro dal sistema attraverso il seguente procedimento: attacchiamo la partizione a un pistone e permettiamo alla molecola di espandersi isotermicamente dalla metà occupata al volume totale V, spingendo il pistone e compiendo lavoro sul mondo esterno.

Per un gas ideale in espansione isotermica reversibile da volume V/2 a volume V, il lavoro estratto è:

W = ∫ P dV = ∫_{V/2}^V (k_B T / V') dV' = k_B T ln(2)

Questo è esattamente l'energia associata a un bit di informazione! Abbiamo convertito un bit di informazione (conoscenza di quale metà contiene la molecola) in k_B T ln(2) joule di lavoro meccanico.

Ma non abbiamo violato il secondo principio della termodinamica? Sembra che abbiamo estratto lavoro da un reservoir termico senza altro cambiamento, violando la formulazione di Kelvin-Planck. La risoluzione è che il costo termodinamico è stato pagato durante la misurazione iniziale. L'atto di determinare in quale metà si trova la molecola richiede necessariamente interazione fisica con il sistema - fotoni diffusi dalla molecola rilevati da un detector, per esempio. Questa misurazione genera entropia che compensa esattamente il lavoro estratto.

Più precisamente, l'informazione acquisita deve essere memorizzata da qualche parte - nella "memoria" del demone o dell'apparato sperimentale. Eventualmente, questa memoria deve essere cancellata per ripristinare il sistema allo stato iniziale e permettere il ciclo di ripetersi. La cancellazione del bit di informazione richiede dissipazione di almeno k_B T ln(2), secondo Landauer, esattamente uguale al lavoro estratto. Il bilancio energetico netto è zero, o negativo se consideriamo inefficienze, preservando il secondo principio.

Il motore di Szilard dimostra una conversione bidirezionale tra informazione e energia termica: l'informazione può essere convertita in lavoro, e viceversa il lavoro può essere usato per acquisire informazione. Questa equivalenza suggerisce che informazione ed energia non sono categorie ontologiche separate ma aspetti di una realtà fisica unificata. La distinzione tra un bit di informazione e k_B T ln(2) joule di energia libera è puramente di scala dimensionale, mediata dalle costanti fondamentali k_B e T.

I Teoremi di Fluttuazione: Reversibilità Microscopia e Freccia Macroscopica

I teoremi di fluttuazione, sviluppati negli anni novanta da Denis Evans, Debra Searles, Giovanni Gallavotti, E.G.D. Cohen, e successivamente sistematizzati magnificamente da Chris Jarzynski e Gavin Crooks, rappresentano uno dei progressi più profondi nella termodinamica statistica degli ultimi decenni. Questi teoremi quantificano precisamente quanto spesso il secondo principio può essere violato temporaneamente in sistemi piccoli, e collegano direttamente dinamica reversibile microscopica con irreversibilità termodinamica macroscopica.

Consideriamo un sistema che evolve lungo una traiettoria nello spazio delle fasi. Definiamo la produzione di entropia Σ lungo questa traiettoria come la variazione totale di entropia del sistema più environment. Per processi macroscopici, il secondo principio afferma $\langle \Sigma \rangle \geq 0$ dove le parentesi angolari denotano media su ensemble di traiettorie. Ma per sistemi mesoscopici o nanoscopici, fluttuazioni termin statistiche permettono traiettorie individuali con $\Sigma < 0$ - violazioni temporanee e locali del secondo principio.

Il teorema di fluttuazione nella sua forma generale, dimostrato da Evans e Searles, stabilisce una relazione esatta tra la probabilità di osservare produzione di entropia +Σ e la probabilità di osservare -Σ:

$$P(\Sigma = +\sigma) / P(\Sigma = -\sigma) = \exp(\sigma)$$

dove σ è misurato in unità di k_B (quindi adimensionale). Questa relazione è valida per qualsiasi valore di σ e qualsiasi durata del processo. Ci dice che mentre produzione positiva di entropia è più probabile, produzione negativa non è impossibile, ed è tanto più probabile quanto più piccola è la violazione e quanto più breve è la durata del processo.

Una conseguenza immediata è che:

$$\langle \exp(-\Sigma) \rangle = 1$$

Questa relazione, apparentemente innocua, ha implicazioni profonde. Applicando l'ineguaglianza di Jensen (il logaritmo è una funzione concava) otteniamo:

$$\langle \Sigma \rangle \geq -\ln\langle \exp(-\Sigma) \rangle = -\ln(1) = 0$$

recuperando il secondo principio come disuguaglianza sulla media, ma ora con la comprensione aggiuntiva che questa è una conseguenza statistica di simmetrie microscopiche piuttosto che un divieto assoluto sulle traiettorie individuali.

Chris Jarzynski, nel 1997, derivò una relazione ancora più potente collegando lavoro non-equilibrio a differenze di energia libera di equilibrio. Consideriamo un sistema che inizia in equilibrio termodinamico a temperatura T con parametro di controllo λ(0) = A. Cambiamo questo parametro nel tempo secondo un protocollo arbitrario λ(t), portandolo a λ(τ) = B al tempo τ. Il lavoro W eseguito sul sistema lungo una traiettoria specifica è una variabile stocastica che fluttua tra realizzazioni diverse dello stesso protocollo.

La relazione di Jarzynski afferma:

⟨exp(-W / k_B T)⟩ = exp(-ΔF / k_B T)

dove ΔF = F(B) - F(A) è la differenza di energia libera di Helmholtz tra gli stati di equilibrio finali e iniziali, e la media è su tutte le realizzazioni stocastiche del protocollo non-equilibrio.

Questa uguaglianza è stupefacente perché collega una quantità di equilibrio (ΔF, che dipende solo dagli stati iniziali e finali) a una quantità intrinsecamente fuori-equilibrio (il lavoro W eseguito durante un processo arbitrario). È valida anche quando il processo è rapido, violentemente non-equilibrio, irreversibile. Nel limite di processi infinitamente lenti (quasi-statici reversibili), la relazione di Jarzynski si riduce alla relazione termodinamica classica W = ΔF.

Gavin Crooks generalizzò ulteriormente questo framework attraverso il teorema di fluttuazione di Crooks, che collega la distribuzione di probabilità del lavoro in un processo forward P_F(W) con la distribuzione nel processo reverse (time-reversed) P_R(-W):

P_F(W) / P_R(-W) = exp[(W - ΔF) / k_B T]

Questo teorema è ancora più generale di Jarzynski perché si applica a distribuzioni complete, non solo a loro momenti, e non richiede che il processo inizi da equilibrio.

L'informazione mutua tra sistema e reservoir può essere definita attraverso l'entropia relativa tra la distribuzione congiunta reale e il prodotto delle distribuzioni marginali. I teoremi di fluttuazione implicano relazioni precise tra questa informazione mutua, il lavoro estratto, e la dissipazione entropica. In sistemi dove un agente misura e utilizza informazione sul sistema (come il demone di Maxwell o un feedback controller), il lavoro estraibile può eccedere ΔF precisamente di k_B T I dove I è l'informazione mutua in bit tra l'agente e il sistema.

Questo formalizza rigorosamente l'intuizione di Szilard: informazione è convertibile in lavoro con tasso di cambio esatto k_B T ln(2) per bit. Ma i teoremi di fluttuazione vanno oltre, quantificando esattamente le fluttuazioni probabilistiche attorno a questo valore medio e fornendo bound precisi su quanto lavoro può essere estratto in singole realizzazioni stocastiche versus nel limit ensemble.

Termodinamica Stocastica e Produzione di Entropia in Sistemi Fuori Equilibrio

I sistemi biologici, quasi per definizione, operano lontano dall'equilibrio termodinamico. Una cellula viva mantiene gradienti di concentrazione attraverso membrane, sintetizza

macromolecole complesse la cui formazione spontanea sarebbe entropicamente sfavorita, si riproduce creando ordine da disordine apparente. Tutto questo richiede dissipazione continua di energia libera, tipicamente derivata dall'idrolisi di ATP o da gradienti elettrochimici. La termodinamica stocastica fornisce il framework matematico per quantificare esattamente quanta entropia viene prodotta da questi processi lontani dall'equilibrio e come questa produzione di entropia è connessa alle funzioni biologiche implementate.

Consideriamo un processo biochimico semplice: un motore molecolare come kinesina che cammina lungo un microtubulo, trasportando cargo cellulare, consumando ATP a ogni passo. Questo sistema può essere modellato come una rete di stati discreti collegati da transizioni stocastiche. La kinesina può essere in multipli stati conformazionali, ciascuno corrispondente a una posizione specifica sul microtubulo e a un stato specifico del ciclo di idrolisi ATP (legato ATP, legato ADP+P_i, vuoto, etc.).

La dinamica è descritta da un'equazione master:

dp_i/dt = Σ_j (W_{ji} p_j - W_{ij} p_i)

dove p_i(t) è la probabilità di essere nello stato i al tempo t, e W_{ij} è il tasso di transizione da i a j. In equilibrio termodinamico, queste transizioni soddisfano detailed balance:

W_{ij} / W_{ji} = exp[(E_i - E_j) / k_B T]

dove E_i è l'energia dello stato i. Ma lontano dall'equilibrio, con driving attraverso consumo di ATP, detailed balance è violato. Esistono cicli nella rete di stati dove il flusso netto di probabilità circola unidirezionalmente: Σ_ciclo ln(W_{i→j} / W_{j→i}) ≠ 0.

La produzione di entropia può essere decomposta in due contributi: entropia di housekeeping σ_hk che è sempre positiva e misura la dissipazione dovuta a correnti che circolano lontano dall'equilibrio, e entropia di excess σ_ex che può essere negativa temporaneamente durante relaxation verso steady-state. La produzione totale di entropia è:

dS/dt = σ_hk + σ_ex

Nel steady-state non-equilibrio, σ_ex = 0 in media (il sistema non è in relaxation ma in stato stazionario sostenuto da driving), e tutta la produzione di entropia proviene dal termine housekeeping:

σ_hk = Σ_{i,j} J_{ij} ln(J_{ij} / J_{ji})

dove J_{ij} = W_{ij} p_i^{ss} è la corrente di probabilità da i a j nello steady-state (denotato da ^{ss}).

Questa formula ha una bellezza profonda: la produzione di entropia è espressa come somma di correnti di probabilità pesate logaritmicamente, strutturalmente identica all'entropia di Shannon ma operante su flussi piuttosto che su distribuzioni statiche. Zero produzione di entropia richiede J_{ij} = J_{ji} per tutte le coppie di stati, ossia detailed balance, ossia equilibrio.

Per processi che consumano combustibile chimico come ATP, possiamo connettere esplicitamente la produzione di entropia al numero di molecole di ATP idrolizzate. Se n molecole di ATP sono consumate per transitare attraverso un ciclo del motore molecolare, e il ratio di concentrazioni [ATP]/([ADP][P_i]) è r, allora la dissipazione per ciclo è:

$\Delta S_{ciclo} = n k_B \ln(r / K_{eq})$

dove K_{eq} è la costante di equilibrio per l'idrolisi ATP. In condizioni cellulari fisiologiche, r/K_{eq} è tipicamente 10^5 - 10^6, quindi:

$\Delta S_{ciclo} \approx (11 - 14)\, n k_B$

Per kinesina che consuma un ATP per passo di circa 8 nm, con n=1, la dissipazione è circa 11-14 k_B per passo. Questa dissipazione è il prezzo termodinamico inevitabile per mantenere trasporto diretto lungo il microtubulo contro forze opposte e fluttuazioni termiche.

La termodinamica stocastica ha rivelato bounds universali tra precisione e dissipazione. Per sistemi che operano come oscillatori o clock - come ritmi circadiani cellulari, oscillazioni glicolitiche, o divisione cellulare periodica - esiste un trade-off fondamentale: maggiore precisione temporale (minore jitter nel periodo) richiede maggiore dissipazione di energia. Quantitativamente, il teorema thermodynamic uncertainty relation stabilisce:

$\mathrm{var}(X) / \langle X \rangle^2 \geq 2 / \langle \Sigma \rangle$

dove X è qualsiasi corrente o conteggio di eventi, var(X) la sua varianza, e $\langle \Sigma \rangle$ la produzione media di entropia. Per ottenere precisione relativa elevata (varianza normalizzata piccola), è necessaria dissipazione entropica grande.

Questo principio ha implicazioni profonde per sistemi biologici. Una cellula che deve sincronizzare processi con alta precisione temporale - dividere il DNA esattamente una volta per ciclo cellulare, coordinare passi di sviluppo embrionale, mantenere ritmi circadiani stabili - deve pagare un costo termodinamico proporzionale alla precisione richiesta. Non c'è pasto gratis: robustezza e precisione richiedono dissipazione continua di energia libera.

Cosmologia Informazionale e Gravità Quantistica

Il Paradosso dell'Informazione nei Buchi Neri: Hawking, Bekenstein e il Mistero della Reversibilità Quantistica

I buchi neri rappresentano uno dei contesti più estremi dove questioni di informazione, gravità, e meccanica quantistica si intersecano in modi ancora non completamente risolti. Nel 1974, Stephen Hawking dimostrò attraverso calcoli in teoria quantistica dei campi su spaziotempo curvo che i buchi neri non sono completamente neri, ma emettono radiazione termica - la famosa radiazione di Hawking - con temperatura:

$T_H = \hbar c^3 / (8 \pi G M k_B)$

dove M è la massa del buco nero, G la costante gravitazionale, c la velocità della luce, ℏ la costante di Planck ridotta, e k_B la costante di Boltzmann. Per un buco nero di massa solare, questa temperatura è circa 60 nanokelvins, incredibilmente fredda, molto inferiore alla temperatura della radiazione cosmica di fondo. Ma per buchi neri microscopici ipotetici di massa molto piccola, la temperatura diverge inversamente con M, potenzialmente raggiungendo valori astronomici.

L'emissione di radiazione Hawking comporta che il buco nero perde gradualmente massa ed energia. Il tempo di evaporazione completa scala come:

$$\tau_{evap} \approx (5120 \pi G^2 M^3) / (\hbar c^4)$$

Per un buco nero di massa solare, questo tempo è approssimativamente 10^{67} anni, vastamente superiore all'età attuale dell'universo di $1{,}38 \times 10^{10}$ anni. Ma per buchi neri primordiali microscopici che potrebbero essersi formati nell'universo primordiale, con masse dell'ordine di 10^{12} kg (comparabili a una montagna), il tempo di evaporazione sarebbe circa 13,7 miliardi di anni - questi oggetti starebbero evaporando proprio ora.

Il paradosso emerge quando consideriamo le implicazioni quantistiche di questo processo. Supponiamo di formare un buco nero collassando materia in uno stato quantistico puro, completamente specificato da una funzione d'onda $|\psi_{in}\rangle$. Secondo Hawking, la radiazione emessa durante l'evaporazione è puramente termica, con densità spettrale di corpo nero. La radiazione termica è descritta da una matrice densità diagonale, uno stato misto massimamente entropico. Se il buco nero evapora completamente, lo stato finale è:

ρ_{out} = radiazione termica ≈ stato misto

Abbiamo quindi una transizione da stato puro a stato misto: $|\psi_{in}\rangle\langle\psi_{in}| \rightarrow \rho_{out}$. Questo viola un principio fondamentale della meccanica quantistica - l'unitarietà dell'evoluzione temporale. L'equazione di Schrödinger garantisce che l'evoluzione di uno stato puro rimanga sempre pura se il sistema è isolato. Formalmente, se U(t) è l'operatore di evoluzione temporale, allora $U^\dagger U = UU^\dagger = \mathbb{1}$, preservando la traccia di ρ^2 che distingue stati puri ($Tr(\rho^2) = 1$) da stati misti ($Tr(\rho^2) < 1$).

La perdita di informazione è quantificabile attraverso l'entropia di von Neumann:

$$S(\rho) = -Tr(\rho \log_2 \rho)$$

Per uno stato puro, $S = 0$. Per la radiazione termica finale, $S > 0$. L'informazione quantistica contenuta nello stato iniziale - tutte le correlazioni, fasi relative, sovrapposizioni coerenti che definivano $|\psi_{in}\rangle$ - sembra essere stata distrutta irreversibilmente.

Ma questo conflitto con l'unitarietà quantistica è profondamente problematico. Se l'informazione quantistica può essere genuinamente distrutta, la meccanica quantistica come teoria predittiva collassa. Non potremmo più ricostruire stati passati da stati futuri, la reversibilità fondamentale delle leggi fisiche sarebbe violata, e dovremmo abbandonare il determinismo unitario che sta al cuore della teoria quantistica.

Jacob Bekenstein, già negli anni settanta, aveva proposto che i buchi neri possiedono entropia, e che questa entropia è proporzionale non al volume ma all'area dell'orizzonte degli eventi:

$$S_{BH} = (k_B c^3 A) / (4 G \hbar) = (k_B A) / (4 \ell_P^2)$$

dove $A = 4\pi r_s^2$ è l'area dell'orizzonte, $r_s = 2GM/c^2$ il raggio di Schwarzschild, e $\ell_P = \sqrt{(G\hbar/c^3)} \approx 1{,}616 \times 10^{-35}$ m la lunghezza di Planck. Per un buco nero di massa solare:

$$S_{BH} \approx 10^{54}\, k_B$$

Questa è un'entropia colossale, molti ordini di grandezza superiore all'entropia di qualsiasi sistema convenzionale di dimensioni comparabili. L'entropia del Sole stesso, considerato come gas ideale, è circa 10^{57} k_B, ma compresso al raggio di Schwarzschild (circa 3 km) l'entropia del buco nero risultante dominerebbe.

La formula di Bekenstein-Hawking può essere reinterpretata informazionalmente. Poiché $S = k_B \ln(\Omega)$ dove Ω è il numero di microstati, l'entropia del buco nero implica:

$$\Omega_{BH} = \exp(S_{BH} / k_B) = \exp(A / 4\ell_P^2)$$

In termini di bit di informazione ($\log_2$ invece di $\ln$):

$$I_{BH} = (A / 4\ell_P^2) \times \log_2(e) \approx 1{,}44 \times (A / 4\ell_P^2) \text{ bit}$$

Un buco nero di massa solare può memorizzare circa 10^{66} bit di informazione. Questo suggerisce che l'orizzonte degli eventi funziona come uno schermo olografico bidimensionale che codifica tutta l'informazione contenuta nel volume tridimensionale interno.

Il bound di Bekenstein stabilisce un limite superiore universale alla quantità di informazione che può essere contenuta in una regione finita di spazio con energia finita. Per una sfera di raggio R contenente energia totale E, il numero massimo di bit distinguibili è:

$$I_{max} \leq (2\pi R E) / (\hbar c \ln 2)$$

Questo bound è saturato precisamente dai buchi neri. Nessun sistema fisico può impacchettare più informazione nella stessa regione senza collassare in un buco nero, nel qual caso l'informazione diventa inaccessibile oltre l'orizzonte. Questo rappresenta un limite fondamentale alla densità di informazione nell'universo, derivante non da vincoli tecnologici ma da principi primi della gravitazione e della meccanica quantistica.

Il Principio Olografico emerso da queste considerazioni afferma che tutta l'informazione contenuta in un volume tridimensionale può essere codificata sulla superficie bidimensionale che delimita quel volume. La fisica tridimensionale che osserviamo potrebbe essere una proiezione, un'emergenza olografica, di informazione fondamentalmente bidimensionale.

Gerard 't Hooft e Leonard Susskind formalizzarono questo principio negli anni novanta. In particolare, la corrispondenza AdS/CFT (Anti-de Sitter / Conformal Field Theory) scoperta da Juan Maldacena nel 1997 fornisce una realizzazione matematicamente precisa del principio

olografico. Questa corrispondenza stabilisce un'equivalenza esatta tra una teoria di gravità quantistica in uno spazio AdS a (d+1) dimensioni e una teoria di campo conforme (CFT) senza gravità sul confine d-dimensionale di quello spazio.

In questo framework, un buco nero in AdS_5 (cinque dimensioni) corrisponde a uno stato termale denso nella CFT_4 (quattro dimensioni) sul confine. La radiazione Hawking del buco nero corrisponde alla termalizzazione nella teoria di campo, un processo manifestamente unitario. L'apparente perdita di informazione è un artefatto della descrizione gravitazionale approssimata; nella descrizione olografica CFT esatta, l'unitarietà è manifesta e l'informazione è preservata.

La risoluzione moderna del paradosso, cristallizzata attraverso il lavoro recente di Ahmed Almheiri, Netta Engelhardt, Donald Marolf, Henry Maxfield e altri sulla "island formula" per l'entropia di entaglement, suggerisce che l'informazione non è persa ma gradualmente trasferita dalla radiazione primaria Hawking a sottili correlazioni quantistiche che emergono solo considerando contributi gravitazionali all'entropia di entanglement. Queste "isole" quantistiche nell'interno del buco nero contribuiscono all'entropia fine dell'esterno in modi che ripristinano unitarietà e preservano informazione.

Matematicamente, l'entropia fine di un sistema di radiazione R viene calcolata attraverso la formula:

$$S_{fine}(R) = \min[\text{ext}_I \{ (\text{Area}(\partial I))/(4G_N \hbar) + S_{bulk}(I \cup R) \}]$$

dove l'estremizzazione e minimizzazione sono eseguite su tutte le possibili "isole" I nell'interno del buco nero, ∂I denota il confine dell'isola, e S_{bulk} è l'entropia di von Neumann dei campi quantistici nella regione $I \cup R$. Nelle fasi iniziali dell'evaporazione, l'isola ottimale è vuota e S_{fine} cresce linearmente. Ma a circa metà evaporazione (la "Page time"), emerge un'isola non-vuota e l'entropia fine inizia a decrescere, seguendo l'entropia del buco nero rimanente, in perfetto accordo con preservazione dell'informazione.

L'Entropia Cosmologica e la Freccia del Tempo

L'universo osservabile contiene approssimativamente 10^{80} barioni, 10^{89} fotoni della radiazione cosmica di fondo, e una quantità comparabile o superiore di particelle di materia oscura. L'entropia totale del contenuto materiale dell'universo è dominata dalla radiazione di corpo nero, che contribuisce:

$$S_{CMB} \approx (2\pi^2 k_B V T^3) / (45 \hbar^3 c^3)$$

dove V è il volume dell'universo osservabile e $T \approx 2{,}725$ K la temperatura attuale della CMB. Questo fornisce $S_{CMB} \approx 10^{88} k_B$.

Ma questa è una frazione minuscola dell'entropia massima che l'universo osservabile potrebbe contenere se tutto il suo contenuto energetico fosse collassato in buchi neri. L'entropia massima è stimata attraverso il bound olografico:

$$S_{max} \approx (c^3 A_{horizon}) / (4 G \hbar k_B)$$

dove A_horizon è l'area dell'orizzonte cosmologico, approssimativamente $4\pi(c/H_0)^2$ dove H_0 è la costante di Hubble. Questo fornisce:

$S_{max} \approx 10^{123} k_B$

Il rapporto $S_{CMB} / S_{max} \approx 10^{-35}$ indica che l'universo è in uno stato di entropia straordinariamente bassa rispetto al massimo configurazionale accessibile. Questo fatto costituisce forse il mistero termodinamico più profondo della cosmologia: perché l'universo primordiale aveva entropia così incredibilmente bassa?

Il Big Bang rappresenta uno stato iniziale di ordine estremo, lontanissimo dall'equilibrio termodinamico. Questa condizione iniziale speciale è la sorgente ultima della freccia termodinamica del tempo - la distinzione osservabile tra passato e futuro, l'irreversibilità macroscopica che sperimentiamo nonostante le leggi fisiche microscopiche siano invarianti per inversione temporale (eccetto sottili violazioni CP nella fisica delle particelle).

Roger Penrose, nel suo Cicli del Tempo, ha enfatizzato che questa asimmetria iniziale richiede spiegazione. Ha proposto l'ipotesi di Weyl curvature hypothesis: lo spazio-tempo iniziale al Big Bang aveva curvatura di Weyl (la parte della curvatura non determinata dal tensore energia-impulso) approssimativamente nulla, mentre aveva curvatura di Ricci alta (determinata dalla densità energetica). Questa è una condizione geometrica estremamente speciale, con probabilità a priori infinitesimale nello spazio delle configurazioni iniziali possibili.

Possiamo quantificare questa specialità attraverso il volume dello spazio delle fasi accessibile. In meccanica statistica convenzionale, l'entropia misura il logaritmo del volume dello spazio delle fasi:

$S = k_B \ln(\Omega)$

Per l'universo intero, "spazio delle fasi" deve essere inteso come spazio delle soluzioni delle equazioni di Einstein compatibili con vincoli osservativi. Penrose ha stimato che il volume dello spazio delle fasi corrispondente all'universo osservato è circa:

$\Omega_{observed} \approx 10^{(10^{123})}$

mentre il volume totale teorico, permettendo configurazioni con massima entropia gravitazionale (buchi neri dominanti), è:

$\Omega_{total} \approx 10^{(10^{10^{123})}}$

La probabilità a priori dell'universo osservato, assumendo distribuzione uniforme sullo spazio delle fasi, è quindi:

$P \approx 10^{(-10^{123})}$

un numero così piccolo da essere fisicamente inconcepibile. Per confronto, il numero totale di particelle nell'universo osservabile è "solo" circa 10^{80}, e il numero di secondi dalla nascita dell'universo è circa 10^{18}. Il denominatore $10^{(10^{123})}$ dwarfa qualsiasi scala numerica accessibile all'intuizione umana.

Questa improbabilità estrema richiede spiegazione. L'inflazione cosmologica, proposta da Alan Guth e raffinata da Andrei Linde, Alexei Starobinsky, Paul Steinhardt e altri, fornisce un meccanismo parziale. Durante l'inflazione, una fase primordiale di espansione esponenziale guidata da energia del vuoto (campo di inflatone), fluttuazioni quantistiche vengono amplificate a scale cosmologiche, seminando le perturbazioni di densità che evolvono attraverso instabilità gravitazionale nelle strutture osservate (galassie, ammassi). L'inflazione spiega perché l'universo osservabile è così omogeneo e isotropo su larga scala, e perché la geometria spaziale è così vicina a piatta.

Ma l'inflazione stessa richiede condizioni iniziali speciali per iniziare. La regione di spazio-tempo che entra in inflazione deve essere sufficientemente omogenea e avere densità energetica dell'inflatone dominante. Teorie eterne dell'inflazione suggeriscono che l'inflazione, una volta iniziata, si auto-perpetua attraverso fluttuazioni quantistiche che creano continuamente nuove regioni inflazionarie - un multiverso inflazionario. Ma questo sposta semplicemente il problema: perché l'inflazione è iniziata affatto? Quale è la condizione iniziale del multiverso inflazionario?

Proposte di gravità quantistica, particolarmente loop quantum gravity e modelli di universo ciclico, esplorano scenari dove il Big Bang non è un inizio assoluto ma una transizione da una fase contrattiva precedente. Nel modello di "big bounce" della loop quantum gravity, la singolarità classica del Big Bang è risolta da effetti quantistici: la gravitazione diventa repulsiva a densità estreme (densità di Planck $\rho_P \approx 10^{96}$ kg/m³), arrestando il collasso e causando rimbalzo verso espansione. L'universo potrebbe essere ciclico, oscillando attraverso sequenze di espansione, contrazione, rimbalzo.

Ma anche scenari ciclici devono confrontarsi con il secondo principio: se l'entropia cresce in ogni ciclo, dovremmo osservare un universo vastamente più entropico di quanto realmente sia, a meno che i cicli siano infiniti nel passato (sollevando questioni di tempo infinito e condizioni iniziali al confine infinito) o a meno che l'entropia sia in qualche modo "resettata" attraverso meccanismi quantistici al bounce.

L'Informazione nell'Inflazione Cosmica

L'inflazione cosmologica non è solo un meccanismo per generare omogeneità e flatness; è anche un processore di informazione quantistica operante su scale cosmologiche. Durante l'inflazione, fluttuazioni quantistiche del vuoto nel campo di inflatone e in campi di materia/radiazione accoppiati subiscono amplificazione classica attraverso l'espansione esponenziale dello spazio.

Consideriamo una fluttuazione quantistica con lunghezza d'onda fisica $\lambda(t) = a(t)\lambda_c$ dove $a(t)$ è il fattore di scala cosmologico e λ_c la lunghezza d'onda comovente. Durante inflazione, il fattore di scala cresce esponenzialmente: $a(t) \propto e^{(Ht)}$ dove H è il parametro di Hubble approssimativamente costante. Inizialmente, quando λ è molto piccola (sub-Hubble, $\lambda << H^{-1} \equiv$ horizon scale), la fluttuazione è una sovrapposizione quantistica coerente, descritta da operatori campo $\hat{\varphi}$ con commutatori non-zero.

Ma mentre l'universo si espande, λ cresce esponenzialmente. Quando λ attraversa l'orizzonte di Hubble ($\lambda \sim H^{-1}$), qualcosa di profondo accade: la modalità "freeze-out", cessando di oscillare come modo quantistico e comportandosi come perturbazione classica

congelata. Questo crossing dell'orizzonte rappresenta una transizione effettiva da fluttuazione quantistica a perturbazione classica stocastica.

Il meccanismo può essere compreso attraverso decoerenza ambientale. Le modalità super-Hubble ($\lambda >> H^{-1}$) sono causalmente disconnesse da observer locali; non possono essere misurate o influenzate da operazioni locali. L'entanglement con gradi di libertà a corta scala (modalità sub-Hubble che rimangono quantistiche) induce decoerenza, sopprimendo termini di interferenza nella matrice densità ridotta delle modalità super-Hubble. La base preferenziale di decoerenza è essenzialmente la base dei campi classici - stati coerenti del campo quantizzato.

Formalmente, la matrice densità ridotta per una modalità super-Hubble di momento comovente k evolve da stato puro quantistico iniziale verso stato diagonale:

$$\rho_k(t >> H^{-1}) \approx \Sigma_n P_n |\varphi_n\rangle\langle\varphi_n|$$

dove $|\varphi_n\rangle$ sono autostati approssimativi del campo classico con distribuzione probabilistica P_n determinata dallo spettro quantistico iniziale. Per modalità gaussiane (come predetto da inflazione a singolo campo), P_n è gaussiana con varianza:

$$\langle\varphi_k^2\rangle = (H^2 / 2k^3) \times (k^3 / (2\pi^2))$$

valutata quando la modalità k attraversa l'orizzonte. Questo spettro è approssimativamente scale-invariant (dipendenza debole da k) per inflazione slow-roll, spiegando lo spettro quasi-scale-invariant di perturbazioni di densità osservate nella radiazione cosmica di fondo.

L'informazione iniziale nelle fluttuazioni quantistiche viene quindi "stampata" come pattern classico di sovra/sotto-densità che successivamente evolve attraverso dinamica classica (instabilità gravitazionale, formazione di strutture). Questo processo è irreversibile dal punto di vista informazionale: l'informazione di fase quantistica è persa attraverso decoerenza, ma l'informazione di ampiezza (il pattern spaziale delle perturbazioni) è preservata e amplificata.

Possiamo quantificare l'informazione nelle perturbazioni cosmologiche attraverso il loro spettro di potenza P(k). L'informazione di Fisher associata alla determinazione di parametri cosmologici θ (come densità di materia Ω_m, parametro di Hubble H_0, indice spettrale n_s, etc.) dal campo di perturbazioni δ(x) è:

$$F_{\alpha\beta} = \langle\partial_\alpha \ln P(\delta) \times \partial_\beta \ln P(\delta)\rangle$$

dove P(δ) è la likelihood dei dati e α,β indicizzano parametri cosmologici. Survey cosmologiche moderne che mappano la distribuzione tridimensionale di galassie su grandi volumi accumulano informazione di Fisher sufficiente a vincolare parametri con precisioni percentuali o sub-percentuali.

La radiazione cosmica di fondo contiene approssimativamente 10^6 pixels indipendenti (determinati dalla risoluzione angolare delle osservazioni e dal numero di gradi di libertà indipendenti sul cielo). Ciascun pixel ha temperatura fluttuante attorno alla media con varianza $\Delta T/T \approx 10^{-5}$. Approssimativamente, questo rappresenta:

$$I_{CMB} \approx 10^6 \times \log_2(1 / 10^{-5}) \approx 10^6 \times 17 \approx 1{,}7 \times 10^7 \text{ bit}$$

di informazione osservabile sulle condizioni dell'universo primordiale. Certamente una frazione minuscola dell'informazione totale presente nell'universo osservabile (10^{123} bit nella bound olografico), ma sufficiente a vincolare drammaticamente modelli cosmologici.

Informazione e Problema della Misura in Meccanica Quantistica Cosmologica

L'applicazione della meccanica quantistica all'universo intero solleva problemi concettuali profondi. L'interpretazione standard di Copenhagen richiede una distinzione tra sistema quantistico e apparato di misura classico. Ma se l'universo intero è il sistema quantistico, cosa gioca il ruolo dell'apparato? Chi o cosa esegue la misurazione che collassa la funzione d'onda universale?

L'approccio di Wheeler-DeWitt alla gravità quantistica canonica formula la dinamica dell'universo attraverso un'equazione di Schrödinger per la funzione d'onda universale Ψ(geometria, materia). Ma questa equazione è atemporale nella sua forma covariante:

$$\hat{H}\,\Psi = 0$$

dove $\hat{H}$ è l'Hamiltoniana vincolata della relatività generale. Non c'è parametro temporale esterno; il tempo emerge come correlazione interna tra gradi di libertà materiali e geometrici.

Hugh Everett, nella sua tesi del 1957 successivamente sviluppata da Bryce DeWitt, David Deutsch e altri, propose che la funzione d'onda universale non collassa mai. Invece, evolve unitariamente secondo l'equazione di Schrödinger, e ciò che percepiamo come "collasso" è semplicemente ramificazione della funzione d'onda in multipli branch decoerenti, ciascuno contenente un outcome della misurazione e un observer che vede quell'outcome.

In questa interpretazione "many-worlds", l'informazione quantistica è sempre preservata a livello della funzione d'onda universale. Quando un observer misura lo spin di un elettrone preparato in sovrapposizione $|\uparrow\rangle + |\downarrow\rangle$, l'universo si ramifica:

$$|\psi_\text{initial}\rangle = |\text{observer ready}\rangle \otimes (|\uparrow\rangle + |\downarrow\rangle) / \sqrt{2}$$

$$\rightarrow |\psi_\text{final}\rangle = (|\text{observer sees}\uparrow\rangle \otimes |\uparrow\rangle + |\text{observer sees}\downarrow\rangle \otimes |\downarrow\rangle) / \sqrt{2}$$

Entrambi i branch esistono simultaneamente nella funzione d'onda universale, ma sono mutuamente decoerenti (la loro matrice densità ridotta ha elementi off-diagonali soppressi esponenzialmente) quindi non interferiscono. Ogni versione dell'observer percepisce solo il proprio branch e interpreta erroneamente questo come "collasso" a outcome definito.

Dal punto di vista informazionale, l'interpretazione many-worlds preserva perfettamente l'unitarietà e quindi l'informazione. Ma introduce una proliferazione ontologica vastissima: il numero di branch cresce esponenzialmente con il numero di eventi quantistici, e l'universo contiene 10^{80} particelle che stanno continuamente interagendo. Il numero di "mondi" paralleli dopo anche un solo secondo dovrebbe essere inimmaginabilmente grande, forse 10^(10^50) o superiore.

Il problema della misura in cosmologia quantistica è intimamente legato al problema della probabilità nei many-worlds. Se tutti i branch esistono, perché osserviamo frequenze consistenti con la regola di Born $|\langle \text{outcome}|\psi\rangle|^2$? Ogni outcome accade in qualche branch indipendentemente dalla sua ampiezza. Deutsch, Wallace, e Zurek hanno proposto derivazioni della regola di Born da principi di teoria della decisione e simmetrie, ma il dibattito continua.

Un approccio alternativo è la interpretazione delle storie decoerenti (consistent histories) sviluppata da Robert Griffiths, Roland Omnès, Murray Gell-Mann e James Hartle. In questo framework, non esiste funzione d'onda universale unica ma famiglie di storie (sequenze di proiezioni temporalmente ordinate) che sono mutuamente decoerenti. Probabilità sono assegnate a storie consistenti intere, non a stati individuali.

L'informazione emerge come quantità relativa a una scelta di famiglia di storie. Non esiste "l'informazione assoluta dell'universo", ma solo informazione relativa a un set specifico di domande (proiezioni) che possiamo chiedere. Questo rende la questione informazionale intrinsecamente contestuale.

Quantum Darwinism e Oggettività Emergente

Wojciech Zurek ha proposto una sintesi elegante tra decoerenza e emergenza della classicalità attraverso il framework di "Quantum Darwinism". L'idea centrale è che l'oggettività classica - il fatto che multipli observers indipendenti concordano su proprietà di un sistema - emerge da ridondanza informazionale: l'informazione sullo stato di un sistema è moltiplicata in molte copie attraverso l'entanglement del sistema con l'ambiente.

Consideriamo un sistema S che interagisce con un ambiente frammentato in molti subsistemi E_1, E_2, ..., E_N. Dopo interazione e decoerenza, lo stato congiunto è approssimativamente:

$|\Psi\rangle SE \approx \Sigma_i \sqrt{p_i}\, |s_i\rangle S \otimes |e_i\rangle\{E_1\} \otimes |e_i\rangle\{E_2\} \otimes ... \otimes |e_i\rangle_{E_N}$

dove $\{|s_i\rangle\}$ è la base pointer (stati stabili del sistema che non decohere), e ogni frammento ambientale è entangled con il sistema in modo tale da portare informazione ridondante sullo stato pointer.

La misura chiave è l'informazione quantistica di Fisher accessibile misurando una frazione f dell'ambiente. Zurek ha dimostrato che per sistemi che esibiscono Quantum Darwinism, esiste un plateau: misurare anche una piccola frazione dell'ambiente ($f << 1$) è sufficiente ad estrarre essenzialmente tutta l'informazione mutua tra sistema e ambiente totale.

Formalmente, definiamo l'informazione mutua parziale tra S e una frazione f_E dell'ambiente:

$I(S : f_E) = S(S) + S(f_E) - S(S, f_E)$

Per Quantum Darwinism, esiste $f^* << 1$ tale che:

$I(S : f_E) \approx I(S : E)$ per tutti $f > f^*$

Questa ridondanza spiega perché multipli observers possono estrarre informazione consistente sul sistema senza disturbare significativamente gli altri: ciascuno accede a una frazione diversa dell'ambiente, ma tutte le frazioni portano copie della stessa informazione pointer.

Stati che soddisfano Quantum Darwinism sono precisamente quelli che consideriamo "classici" o "oggettivi": stati la cui informazione è pubblicamente accessibile, broadcast attraverso l'ambiente in molte copie indipendenti. Stati che non soddisfano Quantum Darwinism - stati quantistici delicati, sovrapposizioni macroscopiche - sono intrinsecamente fragili perché la loro informazione non è ridondantemente distribuita e qualsiasi interazione locale con l'ambiente distrugge coerenza globale.

Il Quantum Darwinism fornisce quindi un meccanismo selettivo, una "selezione naturale" informazionale operante nel dominio quantistico: solo certe basi (basis pointer) hanno la proprietà di propagare la loro informazione ridondantemente attraverso molti canali ambientali. Queste basi "sopravvivono" e diventano oggettivamente accessibili. Altre basi decadono rapidamente attraverso decoerenza e non contribuiscono alla realtà classica emergente.

Matematicamente, il tasso di proliferazione dell'informazione può essere quantificato attraverso il quantum Chernoff information, che misura quanto efficacemente stati quantistici diversi possono essere distinti dato accesso a copie multiple. Per un sistema che esibisce perfetto Darwinism quantistico, questo information rate cresce linearmente con il numero di copie ambientali, permettendo distinzione esponenzialmente rapida di stati pointer diversi.

Complessità Computazionale e Limiti Fisici del Calcolo

Il Paesaggio P vs NP e la Struttura dell'Informazione Computabile

La teoria della complessità computazionale classifica problemi non in base a cosa possono computare in linea di principio (tutti risolvibili da macchine di Turing finiscono nella stessa classe - problemi decidibili), ma in base a quante risorse computazionali richiedono asintoticamente al crescere della dimensione dell'input.

La classe P contiene problemi decidibili in tempo polinomiale: esistono algoritmi che risolvono il problema in tempo al più O(n^k) per qualche costante k, dove n è la dimensione dell'input. Esempi canonici includono: determinare se un numero è primo (AKS algorithm, 2002), trovare il percorso più breve in un grafo (Dijkstra), moltiplicare matrici (Strassen, Coppersmith-Winograd).

La classe NP contiene problemi la cui soluzione, una volta proposta, può essere verificata in tempo polinomiale. Formalmente, un linguaggio L è in NP se esiste un verificatore polinomiale V tale che:

$x \in L \Leftrightarrow \exists$ certificato y tale che V(x,y) accetta in tempo poly(|x|)

Esempi: SAT (soddisfacibilità booleana), TSP (traveling salesman problem), fattorizzazione di interi, grafo Hamiltoniano, colorazione di grafi.

La domanda centrale della teoria della complessità computazionale - se P = NP - chiede se ogni problema la cui soluzione è verificabile efficientemente è anche risolvibile efficientemente. Formalmente:

P =? NP

Questa domanda è aperta da oltre cinquant'anni e è uno dei problemi del millennio del Clay Mathematics Institute con premio di un milione di dollari. Il consenso schiacciante tra informatici è che P ≠ NP, ma manca una dimostrazione rigorosa.

Se P = NP, molte conseguenze drammatiche seguirebbero. La crittografia a chiave pubblica (RSA, elliptic curve cryptography) crollerebbe, poiché si basa sull'assunzione che fattorizzare numeri grandi o calcolare logaritmi discreti sia computazionalmente intrattabile. L'intero edificio della sicurezza informatica moderna dovrebbe essere ricostruito. Ma anche applicazioni positive emergerebbero: ottimizzazione combinatoriale, design di farmaci, protein folding, pianificazione logistica, design di circuiti integrati - tutti i problemi NP-completi diventerebbero risolvibili efficientemente.

Dal punto di vista informazionale, la distinzione P vs NP riguarda la compressibilità dell'informazione computazionale. Un problema in P ha soluzione computabile con informazione ausiliaria polinomiale (la descrizione dell'algoritmo). Un problema NP-completo potrebbe richiedere informazione ausiliaria esponenziale per identificare efficientemente la soluzione (una "mappa" esponenzialmente grande dello spazio di ricerca).

Teorema di Cook-Levin (1971): SAT è NP-completo. Ogni problema in NP può essere ridotto a SAT in tempo polinomiale. Questo stabilisce SAT come problema "universale più difficile" in NP.

La dimostrazione procede attraverso costruzione diretta: data una macchina di Turing non-deterministica M e input x, costruiamo una formula booleana φ_{M,x} che è soddisfacibile se e solo se M accetta x. La formula codifica:

1. Stato iniziale della configurazione
2. Transizioni valide secondo funzione di transizione di M
3. Configurazione accettante raggiunta

La dimensione di φ_{M,x} è polinomiale in |x| e nel tempo di computazione di M. Questo dimostra SAT ∈ NP-complete.

Conseguenze della riduzione polinomiale: se esistesse algoritmo polinomiale per SAT, potremmo risolvere qualsiasi problema NP in tempo polinomiale componendo:

(input) → [riduzione poly-time a SAT] → (formula SAT) → [algoritmo SAT ipotetico] → (soluzione)

Totale tempo: poly + poly = poly, quindi P = NP.

Oltre a P e NP, esistono classi di complessità superiori che organizzano gerarchicamente l'universo dei problemi computazionali:

coNP: Problemi il cui complemento è in NP. Esempio: TAUTOLOGY (determinare se formula booleana è sempre vera).

NP ∩ coNP: Problemi simultaneamente in NP e coNP. Include fattorizzazione di interi, che è in NP (dato fattorizzazione, verifichi facilmente) e anche in coNP (dato numero primo, puoi verificare che non ha fattorizzazione non-triviale). Se P ≠ NP, allora NP ∩ coNP è strettamente contenuto in NP.

PSPACE: Problemi risolvibili con memoria polinomiale (senza vincolo temporale polinomiale). Include tutti i giochi a informazione completa con numero finito di posizioni: scacchi generalizzati, go generalizzato.

EXPTIME: Problemi risolvibili in tempo esponenziale 2^(poly(n)). È dimostrato che EXPTIME ⊃ P (teorema di gerarchia temporale), quindi esistono problemi intrattabili in pratica.

Complessità di Kolmogorov e Incomprimibilità: Stringhe Casuali come Informazione Assoluta

La complessità algoritmica o di Kolmogorov K(x) di una stringa x è la lunghezza del programma più corto p che, eseguito su una macchina di Turing universale U, produce x come output:

$K(x) = \min \{ |p| : U(p) = x \}$

Questa definizione cattura formalmente l'intuizione di "informazione intrinseca" in una stringa. Una stringa altamente strutturata, come 0000...0000 (n zeri), ha complessità molto bassa: $K(000...0) \approx \log_2(n)$ perché possiamo descriverla concisamente con un programma "stampa n zeri". Ma una stringa genuinamente casuale, senza pattern riconoscibili, ha complessità massimale: $K(x) \approx |x|$ perché la descrizione più breve è essenzialmente la stringa stessa.

Teorema fondamentale: K(x) è incomputabile. Non esiste algoritmo che, dato input x, calcola K(x).

Dimostrazione per assurdo: Supponiamo esista algoritmo A che computa K. Costruiamo il seguente programma paradossale:

```
def Berry_paradox():
   n = 1000000000
   for all strings x of length n:
      if K(x) > n - 100:
         return x
```

Questo programma cerca la prima stringa di lunghezza n con complessità maggiore di n-100 e la restituisce. La lunghezza del programma è circa $\log_2(n) + c$ dove c è una costante (il codice fisso). Ma per definizione di complessità, K(output) ≤ lunghezza del programma ≈ $\log_2(n) + c << n - 100$ per n sufficientemente grande. Contraddizione: il programma produce una stringa con complessità > n-100 usando un programma di lunghezza << n-100.

Questa incomputabilità è fondamentale: significa che non possiamo algoritmicamente distinguere casualità genuina da pseudo-casualità. Date una stringa, non c'è modo generale di determinare se è "realmente casuale" ($K(x) \approx |x|$) o ha pattern nascosti non ancora scoperti ($K(x) << |x|$).

Il numero Ω di Chaitin estende queste idee costruendo una costante incomputabile con proprietà ancora più radicali:

$\Omega = \Sigma_{p \text{ halt}} 2^{(-|p|)}$

dove la somma è su tutti i programmi p che terminano (halt) su macchina di Turing universale U. Ω rappresenta la probabilità che un programma random halt.

Proprietà straordinarie di Ω:

1. **Incomputabilità**: Non solo non possiamo calcolare Ω esattamente, ma non possiamo calcolare nemmeno le sue prime n cifre per n arbitrariamente grande (diversamente da π dove possiamo calcolare quante cifre vogliamo).

2. **Casualità algoritmica**: La sequenza binaria delle cifre di Ω ha complessità di Kolmogorov massimale: $K(\Omega_n) \geq n - O(1)$ dove Ω_n denota le prime n cifre.

3. **Informazione matematica concentrata**: Conoscere le prime n bit di Ω permetterebbe di risolvere il problema dell'arresto per tutti i programmi di lunghezza ≤ n. Ogni bit di Ω contiene informazione matematica compressa di densità massimale.

Se per miracolo ci venisse rivelato Ω con precisione arbitraria, potremmo risolvere tutti i problemi matematici formalizzabili (teoremi dimostrabili in una teoria assiomatica) fino a una certa complessità. Ω è quindi una "costante oracolare" che incapsula tutta la verità matematica computabile.

Il Busy Beaver e Limiti alla Computabilità: Quando le Macchine Battono le Menti

La funzione Busy Beaver Σ(n) è definita come il massimo numero di "1" che una macchina di Turing a n stati può scrivere sul nastro iniziando da nastro vuoto, prima di terminare. Alternativamente, S(n) è il massimo numero di passi che una macchina di Turing a n stati può eseguire prima di terminare.

Questa funzione cresce più rapidamente di qualsiasi funzione computabile. Formalmente:

Teorema: Per ogni funzione computabile f, esiste n_0 tale che $\Sigma(n) > f(n)$ per tutti $n > n_0$.

Dimostrazione: Supponiamo per assurdo che Σ sia dominata da una funzione computabile f, ossia $\Sigma(n) \leq f(n)$. Allora potremmo risolvere il problema dell'arresto: dato programma p di lunghezza n, simulalo per f(n) passi. Se non ha terminato, loop infinito; altrimenti, ha terminato. Ma il problema dell'arresto è indecidibile, contraddizione.

I valori noti di Busy Beaver sono:

Σ(1) = 1 Σ(2) = 6
Σ(3) = 21 Σ(4) = 107 Σ(5) ≥ 47,176,870

Per Σ(6), il limite inferiore noto supera 10^36534, un numero con decine di migliaia di cifre. Σ(7) e oltre sono completamente fuori portata, con bounds inferiori che crescono con rapidità incomprensibile.

La funzione Busy Beaver non è meramente un curiosità matematica. Rappresenta il confine tra computabile e incomputabile, tra conoscibile e inconoscibile. Nessun teorema matematico può stabilire Σ(n) per n sufficientemente grande, indipendentemente dagli assiomi che adottiamo (fintanto che sono consistenti). Σ(n) cresce eventualmente più rapidamente di qualsiasi sequenza dimostrabilmente totale nel sistema assiomatico.

Dal punto di vista informazionale, ogni valore Σ(n) contiene informazione irriducibile. La complessità di Kolmogorov di Σ(n) cresce con n senza bound. Non esiste "formula" o "pattern" che comprima la sequenza {Σ(1), Σ(2), Σ(3), ...}. Ogni valore è essenzialmente indipendente informazionalmente dai precedenti.

Scott Aaronson ha esplorato implicazioni della funzione BB per fondamenti della matematica. Se un matematico del futuro ci consegnasse i valori esatti di Σ(n) per n = 20, 21, ..., 100, potremmo verificare facilmente la consistenza di quasi tutti i sistemi assiomatici di interesse matematico corrente. La ragione: se ZFC (Zermelo-Fraenkel set theory con axiom of choice) è inconsistente, esiste una dimostrazione di contraddizione di lunghezza finita. Possiamo codificare la ricerca di questa dimostrazione come macchina di Turing con numero di stati dipendente dalla complessità della dimostrazione più breve di inconsistenza. Se Σ(n) per n abbastanza grande è calcolato ed è finito, allora ZFC è consistente (perché se fosse inconsistente, la macchina di Turing che cerca la dimostrazione terminerebbe, violando il valore calcolato di Σ).

Questa connessione profonda tra funzioni non-computabili, limiti della dimostrazione formale (Gödel), e informazione algoritmica irriducibile (Kolmogorov, Chaitin) rivela una struttura ontologica dell'informazione matematica: esistono fatti matematici genuini che non possono essere derivati attraverso computazione finita da nessun insieme finito di assiomi. L'informazione matematica ha texture verticale intrinseca, stratificata gerarchicamente in livelli di complessità incomputabile crescente.

Computazione Quantistica: Sovrapposizione e Entanglement come Risorse Computazionali

La computazione quantistica sfrutta sovrapposizioni coerenti e entanglement per implementare algoritmi che offrono speed-up esponenziali rispetto a controparti classiche per problemi specifici. Un quantum bit (qubit) può esistere in sovrapposizione:

$|\psi\rangle = \alpha|0\rangle + \beta|1\rangle$

dove $|\alpha|^2 + |\beta|^2 = 1$. Un sistema di n qubit vive in uno spazio di Hilbert di dimensione 2^n, permettendo rappresentazione di 2^n ampiezze complesse simultaneamente:

$|\Psi\rangle = \Sigma_{x\in\{0,1\}^n} \alpha_x |x\rangle$

Una trasformazione unitaria U su questo spazio opera su tutte le 2^n ampiezze "in parallelo". Questo parallelismo quantistico sembra offrire potenza computazionale esponenziale.

Ma esiste un vincolo cruciale: la misurazione collassa la sovrapposizione, proiettandola in un singolo stato computazionale $|x\rangle$ con probabilità $|\alpha_x|^2$. Estraiamo quindi solo n bit di informazione classica da uno stato che contiene 2^n ampiezze complesse. Il trick della computazione quantistica è progettare algoritmi dove l'interferenza costruttiva amplifica l'ampiezza della risposta corretta e interferenza distruttiva sopprime risposte errate, così che la misurazione finale produce l'output desiderato con alta probabilità.

Algoritmo di Shor: Fattorizzare un intero N richiede tempo super-polinomiale con migliori algoritmi classici noti (sub-esponenziale ma non polinomiale: general number field sieve ha complessità circa exp((log N)^(1/3) (log log N)^(2/3))). Shor dimostrò nel 1994 che un computer quantistico può fattorizzare in tempo O((log N)^3), polinomiale.

L'idea centrale utilizza quantum Fourier transform (QFT) per trovare il periodo r della funzione f(x) = a^x mod N. Una volta trovato r, la fattorizzazione può essere estratta classicamente con alta probabilità. La QFT su uno stato di n qubit si esegue in $O(n^2)$ gate quantistici, mentre la FFT classica richiede O(n 2^n) operazioni - speed-up esponenziale.

La dimostrazione che P $\subset$ BQP (Bounded-error Quantum Polynomial time) sarebbe profondamente significativa per la natura fisica della computazione. Implicherebbe che l'universo fisico può effettivamente performare computazioni intrattabilmente difficili per sistemi classici, suggerendo che la meccanica quantistica incorpora informazione e struttura computazionale inaccessibile a paradigmi classici.

Tuttavia, esistono limiti: BQP è contenuto in PSPACE, quindi computer quantistici non possono risolvere problemi PSPACE-completi in tempo polinomiale (assumendo separazioni standard di classi di complessità). Inoltre, la necessità di correzione degli errori quantistici - mantenere coerenza contro decoerenza ambientale - richiede overhead polinomiale, attenuando alcuni speed-up.

Teorema di Holevo: Un qubit può memorizzare al più 1 bit di informazione classica accessibile. Anche se un qubit ha due gradi di libertà continui (α, β), la proiezione di misurazione può estrarre solo $\log_2(2) = 1$ bit. Generalizzando, n qubit possono comunicare al più n bit di informazione classica, anche se il loro spazio di Hilbert ha dimensione 2^n.

Questo bound preserva la causalità: altrimenti, entanglement permetterebbe comunicazione superluminale. Alice e Bob condividono stato entangled:

$|\Phi^+\rangle = (|00\rangle + |11\rangle)/\sqrt{2}$

Se Alice misura il suo qubit e ottiene 0, sa che Bob otterrà 0 se misura nello stesso basis. Ma questa correlazione non trasmette informazione controllabile da Alice a Bob, perché il risultato di Alice è intrinsecamente random. Alice non può codificare un messaggio nella scelta di outcome della misurazione, solo nella scelta di basis di misurazione, e senza comunicazione classica ausiliaria, Bob non sa quale basis Alice ha usato.

No-cloning theorem: Non esiste operazione unitaria U che clona stati quantistici arbitrari:

$U(|\psi\rangle \otimes |0\rangle) = |\psi\rangle \otimes |\psi\rangle$ per tutti $|\psi\rangle$

Questo preserva il principio di incertezza e la struttura informazionale quantistica. Impedisce anche il paradosso di comunicazione superluminale attraverso clonazione + misurazione di copie entangled.

Emergenza, Causalità e Integrazione Informazionale

Emergenza come Compressione Lossy Multi-Scala

Il concetto di emergenza - proprietà o leggi di livelli superiori non riducibili a descrizioni di livello inferiore - può essere formalizzato informazionalmente come compressione lossy con predittività efficace a diverse scale.

Consideriamo un sistema fisico microscopico descritto da 10^{23} gradi di libertà (posizioni e momenti molecolari in un gas). La descrizione completa richiederebbe specificare ~10^{24} numeri reali. Ma la descrizione macroscopica termodinamica (pressione P, volume V, temperatura T) richiede solo 3 variabili e predice accuratamente evoluzione macroscopica attraverso leggi termodinamiche:

$PV = nRT$ (equazione di stato) $dU = \delta Q - \delta W$ (primo principio) $dS \geq 0$ (secondo principio)

Questa compressione drammatica ($10^{24} \rightarrow 3$) è "lossy": perdiamo informazione sulle configurazioni microscopiche specifiche. Ma è anche "efficace": per predire comportamento macroscopico (espanderà il gas se rimuovo vincolo? Quanto lavoro posso estrarre?), le variabili macroscopiche sono sufficienti e spesso superiori. Conoscere ogni posizione molecolare individuale non migliora predizioni macroscopiche - anzi, introduce rumore computazionale irrilevante.

Definizione formale: Un livello emergente è caratterizzato da:

1. **Compressione**: Mappa $\varphi: \Omega_{micro} \rightarrow \Omega_{macro}$ dove $\dim(\Omega_{macro}) << \dim(\Omega_{micro})$
2. **Autonomia predittiva**: Dinamica effettiva sul livello macro $F: \Omega_{macro}(t) \rightarrow \Omega_{macro}(t+dt)$ che predice evoluzione accuratamente senza riferimento a dettagli micro
3. **Loss controllato**: Errore di predizione $|\varphi(G(\omega_{micro})) - F(\varphi(\omega_{micro}))|$ piccolo dove G è dinamica microscopica vera

Leggi emergenti (termodinamica, meccanica continua, circuiti elettrici) sono allora compressioni ottimizzate: preservano informazione predittiva massimale con dimensionalità minimale.

L'emergenza è ubiqua attraverso gerarchia scientifica:

- Meccanica statistica → Termodinamica
- Meccanica quantistica → Chimica molecolare

- Elettromagnetismo microscopico → Ottica geometrica
- Neuroni individuali → Reti neurali → Cognizione
- Agenti individuali → Mercati → Economia macro

Ciascun livello comprime informazione del livello inferiore, eliminando dettagli irrilevanti per fenomenologia emergente. Il comportamento macroscopico è spesso più semplice, più regolare, più predicibile del sostrato microscopico caotico e fluttuante.

Renormalizzazione come Algoritmo di Compressione Informazionale

La teoria quantistica dei campi vicino a punti critici (transizioni di fase) esibisce invarianza di scala: il sistema "sembra uguale" a scale diverse di ingrandimento. Il gruppo di rinormalizzazione (RG) di Wilson formalizza questo attraverso trasformazioni che integrano (eliminano) gradi di libertà a corta distanza producendo teoria effettiva a lunga distanza.

Consideriamo modello di Ising su reticolo con spin $\sigma_i = \pm 1$:

$$H = -J \Sigma_{\langle ij \rangle} \sigma_i \sigma_j - h \Sigma_i \sigma_i$$

RG block-spin transformation raggruppa spin in blocchi di lato b, definendo spin di blocco σ'_I come maggioranza o media dei spin costituenti. La teoria rinormalizzata ha stessa forma funzionale ma parametri modificati $J \rightarrow J'(J,h,b)$, $h \rightarrow h'(J,h,h)$.

Flusso RG nello spazio dei parametri:

$$(J, h) \rightarrow (J'(J,h), h'(J,h)) \rightarrow (J''(J,h), h''(J,h)) \rightarrow ...$$

I punti fissi di questo flusso $RG^* = RG(RG^*)$ corrispondono a teorie invarianti di scala - punti critici. La dinamica vicino al punto fisso determina esponenti critici universali che caratterizzano la transizione di fase.

Dal punto di vista informazionale, RG è compressione iterativa: eliminiamo dettagli a corta distanza (alta frequenza), preservando solo gradi di libertà rilevanti per fisica a lunga distanza. L'informazione mutua tra configurazioni microscopiche e macroscopiche decresce lungo il flusso RG:

$I(\text{micro} ; \text{macro})$ diminuisce ad ogni passo RG

Ma l'informazione rilevante per fenomenologia macroscopica è preservata e anzi "distillata". I parametri del punto fisso RG^* catturano la fisica universale che sopravvive al coarse-graining infinito.

Interpretazione algoritmica di Kolmogorov: La complessità della descrizione della teoria effettiva $K(\text{teoria RG})$ cresce inizialmente (dobbiamo specificare regole RG, parametri iniziali), ma asintoticamente la descrizione diventa più semplice convergendo verso punto fisso caratterizzato da pochi parametri universali - gli esponenti critici.

Causalità Top-Down: Retroazione Informazionale da Livelli Superiori

La causalità è tradizionalmente concepita come bottom-up: microscopi causa macroscopi. Molecole determinano gas, neuroni determinano cervello, particelle determinano tutto. Ma l'emergenza forte suggerisce causalità top-down (downward causation): il livello macroscopico vincola, seleziona, o causa configurazioni al livello micro.

George Ellis ha formalizzato downward causation attraverso constraints informazionali:

Vincoli macroscopici: Uno stato macroscopico M è compatibile con un sottoinsieme di stati microscopici $\{\omega_i\} \subset \Omega_{total}$. Il macro-stato "causa" quali micro-stati sono accessibili, non attraverso forze fisiche aggiuntive ma attraverso selezione dello spazio delle fasi accessibile.

Esempio: Temperatura T di un gas determina distribuzione di velocità molecolare (Maxwell-Boltzmann). T non "spinge" molecole individuali, ma definisce l'ensemble statistico - quali configurazioni microscopiche sono typical dato macro-vincolo. Una molecola particolare ha velocità v con probabilità:

$P(v|T) \propto \exp(-mv^2/2k_B T)$

La temperatura T (macro) causa statistically la distribuzione di velocità (micro).

Esempio biologico più ricco: Un gene (micro) è espresso o represso dipendendo dallo stato differenziato della cellula (macro). La cellula muscolare versus neuronale - stati macroscopici definiti da reti regolatorie, pattern epigenetici, morfologia - causano quali geni sono attivi. Il livello macroscopico (tipo cellulare) vincola causalmente configurazioni geniche permesse.

Informazione mutua condizionale cattura questo:

$I(\text{macro} ; \text{micro_future} | \text{micro_present})$

Se questo termine è non-zero, allora conoscere stato macro migliora predizione di micro futuro anche dato micro presente - downward causation informazionale.

Nello sviluppo embrionale, segnali posizionali (gradienti di morfogeni come Bicoid in Drosophila) sono macro-pattern che determinano destini cellulari individuali. La concentrazione di Bicoid - variabile macroscopica distribuita spazialmente - causa attivazione di geni specifici (hunchback, Krüppel) in nuclei individuali, orchestrando segmentazione.

Questa causalità top-down non viola la completezza fisica (ogni evento microscopico ha causa microscopica sufficiente) ma riconosce che la selezione e organizzazione di micro-eventi è vincolata e strutturata da condizioni macroscopiche. Il macro-livello esercita potere causale attraverso constraint sull'informazione disponibile al livello micro.

Teoria dell'Informazione Integrata (IIT) e Coscienza come Massimale Irreducibile

Giulio Tononi ha proposto che coscienza corrisponde a informazione integrata - la quantità di informazione generata da un sistema come sistema unificato, al di sopra e oltre la somma delle informazioni generate dalle sue parti.

Definizione formale di Φ (phi), misura di informazione integrata:

Data un sistema S in stato s, consideriamo tutte le partizioni possibili del sistema in sottosistemi indipendenti. Per ciascuna partizione P, calcoliamo la differenza informazionale tra il sistema intero versus la partizione:

φ(S,s,P) = D_KL[p(s^past|s) || p_P(s^past|s)]

dove p è distribuzione reale congiunta e p_P è distribuzione fattorizzata secondo partizione P, e D_KL è divergenza di Kullback-Leibler. Φ del sistema è il minimum information partition (MIP):

Φ(S,s) = min_P φ(S,s,P)

Interpretazione: Φ misura quanto l'informazione nel sistema è irreducibile - quanto sarebbe persa se tagliassimo il sistema nella partizione che meglio preserva l'informazione. Alto Φ indica che il sistema genera informazione come unità integrata che non può essere decomposta senza perdita significativa.

Secondo IIT, un sistema è cosciente se e solo se Φ > 0, e il livello di coscienza è proporzionale a Φ. Più formalmente:

1. **Esistenza**: Coscienza esiste se sistema genera informazione causale integrata (Φ > 0)
2. **Quantità**: Livello di coscienza ∝ Φ
3. **Qualità**: Contenuto fenomenologico specifico corrisponde alla struttura dell'informazione integrata - la geometria dello spazio concettuale generato

Esempio illuminante: Consideriamo cerebellum umano che contiene ~69 miliardi di neuroni (circa 4× corteccia cerebrale con ~16 miliardi). Ma il cerebellum è organizzato con modularità estrema: circuiti altamente regolari e ripetitivi con connettività prevalentemente locale. IIT predice Φ_cerebellum << Φ_cortex nonostante neuron count maggiore, perché l'informazione cereberale è decomponibile in moduli quasi-indipendenti con poca integrazione globale.

Empiricamente, lesioni cerebellar causano deficit motori ma non alterazioni di coscienza, mentre lesioni cortical anche piccole possono abolire coscienza (come in disturbi di coscienza post-traumatici). Questo supporta IIT: non è numero di neuroni ma architettura informazionale integrata che conta.

Calcolo di Φ è computazionalmente intrattabile (NP-hard) per sistemi grandi, poiché richiede esplorare tutte le 2^N possibili partizioni di N elementi. Ma approssimazioni e bounds sono stati sviluppati. Misurazioni empiriche attraverso EEG, fMRI, e stimolazione transcraniale durante stati di veglia vs sonno vs anestesia mostrano correlazioni tra Φ approssimato e livello di coscienza.

Implicazione radicale: Φ è in linea di principio computabile per qualsiasi sistema fisico. Significa che termostat, smartphone, internet globale hanno Φ non-zero (anche se presumibilmente minuscolo). IIT abbraccia una forma di panpsichismo: coscienza rudimentale è ubiqua ma varia in grado attraverso spettro vastissimo.

Critiche a IIT includono "explosion problem": strutture semplici come grafi completi (ogni nodo connesso a ogni altro) possono avere Φ alto quanto reti complesse come il cervello. Tononi ha risposto raffinando la teoria (IIT 3.0, IIT 4.0) introducendo vincoli addizionali che privilegiano strutture con ricchezza di distinzioni differenziali - non solo integrazione bruta ma integrazione di informazione specifica e differenziata.

La predizione falsificabile più audace di IIT è che Φ correla con coscienza indipendentemente dal substrato: se costruiamo sistema artificiale (silicio, ottico, quantistico) con architettura informazionale equivalente a corteccia cerebrale (stesso pattern di connettività funzionale, stessa dinamica informazionale), quel sistema sarà cosciente. Substrato materiale è irrilevante - solo struttura causale integrata dell'informazione conta.

Linguaggio, Cultura e Informazione Semantica

Codifica Linguistica e Compressione Pragmatica del Significato

Il linguaggio umano è sistema di codifica informazionale con proprietà uniche: trasmette non solo dati sintattici ma significato semantico, intenzionalità pragmatica, contesto sociale. La teoria informazione di Shannon misura bit trasmessi ma ignora significato - "il significato è irrilevante per l'ingegnere" (Shannon, 1948).

Luciano Floridi ha proposto teoria dell'informazione semantica che distingue:

Informazione sintattica (Shannon): Pattern fisici distinguibili, indipendenti da interpretazione
Informazione semantica: Informazione ben-formata e significativa (truthful or meaningful data)
Informazione pragmatica: Informazione semantica che è rilevante per agente ricevente

Entropia semantica H_sem è sempre minore o uguale a entropia sintattica H_syn:

H_sem ≤ H_syn

perché non tutte le stringhe sintatticamente valide sono semanticamente significative. La stringa "colorless green ideas sleep furiously" è sintatticamente corretta in inglese ma semanticamente anomala (Chomsky).

La complessità semantica richiede bilanciare due tensioni opposte:

1. **Espressività**: Capacità di distinguere e comunicare stati mondiali diversi
2. **Compressibilità**: Efficienza nel codificare significati comuni

Lingue naturali evolvono verso compromesso ottimale: lessici finiti (vocabulary ~50,000 parole per educated speaker inglese) con composizionalità infinita attraverso sintassi

ricorsiva. Questo permette esprimere numero infinito di proposizioni distinte usando risorse finite.

Principio di Zipf: La frequenza di rank r della parola in un corpus linguistico segue:

$f(r) \propto 1/r^{\alpha}$

con $\alpha \approx 1$ per molte lingue. Questo implica distribuzioni long-tail: poche parole sono estremamente comuni ("the", "of", "and" in inglese costituiscono ~10% di tokens), molte parole sono rare.

Questa distribuzione ottimizza compressione comunicativa: assegniamo "codeword" corti (parole brevi, alta frequenza) a concetti comuni, codeword lunghi a concetti rari - esattamente come codifica di Huffman ottimale che minimizza lunghezza attesa:

$\langle L \rangle = \Sigma_i \, p_i \, \ell_i$

dove p_i è frequenza simbolo i e ℓ_i lunghezza codeword. Zipf law emerge naturalmente da pressioni competitive: speaker vuole minimizzare effort (usa parole corte, lessico piccolo), listener vuole minimizzare ambiguità (preferisce parole distinte, lessico grande). Equilibrio ottimizza comunicazione complessiva.

Informazione Mutua e Sincronizzazione Dialogica

Dialogo linguistico è processo di riduzione mutua dell'incertezza. Speaker S ha stato mentale m_S che vuole comunicare a Listener L. Prima dell'utterance, L ha distribuzione probabilistica $p(m_S)$ sull'intento di S. L'utterance u fornisce informazione:

$I(m_S ; u) = H(m_S) - H(m_S \mid u)$

In communicazione perfetta, $H(m_S \mid u) = 0$ - listener ricostruisce completamente l'intento. Ma comunicazione naturale è lossy e context-dependent: stesso utterance u ha significato diverso in contesti diversi.

Levinson e Clark hanno documentato il fenomeno di "grounding": interlocutori collaborativamente costruiscono common ground - insieme di assunzioni condivise, conoscenza mutuale, referenti stabiliti. Ogni contributo dialogico aggiunge a common ground cumulativamente:

$C_0 \rightarrow C_1 \rightarrow C_2 \rightarrow \ldots \rightarrow C_n$

dove C_i è common ground dopo turno i. L'informazione in utterance u_i è interpretata contro background di C_{i-1}.

Esperimenti psicolinguistici (Pickering, Garrod) dimostrano sincronizzazione rappresentazionale: interlocutori convergono verso rappresentazioni mentali simili, sia linguistiche (lessico, sintassi) che concettuali. L'informazione mutua tra stati cognitivi di speaker e listener aumenta durante dialogo:

$I(m_S ; m_L)$ aumenta con t

Questo è meccanismo di riduzione dell'incertezza reciproca attraverso feedback. Non è semplice trasmissione unidirezionale S → L ma accoppiamento bidirezionale dove entrambi adattano rappresentazioni per massimizzare allineamento.

Computazionalmente, modelli bayesiani di comunicazione pragmatica (Frank, Goodman "Rational Speech Act framework") modellano speaker come agente razionale che sceglie utterance u per massimizzare probabilità che listener inferisca correttamente intento:

$u^* = \text{argmax}_u P_L(m \mid u, C)$

Listener interpreta u attraverso inferenza bayesiana:

$P_L(m \mid u, C) \propto P(u \mid m, C)\, P(m)$

assumendo speaker razionale. Questo crea ciclo ricorsivo: speaker ragiona su listener che ragiona su speaker che...

Livello-0 (literal listener): Interpreta letteralmente
Livello-1 (pragmatic speaker): Assume listener level-0, sceglie utterance ottimale
Livello-2 (pragmatic listener): Assume speaker level-1, inverte per inferire intento
...

Empiricamente, umani si comportano approssimativamente come level-1 o level-2 agents - compiono inferenze pragmatiche ma con profondità limitata. Computational cost di ragionamento ricorsivo arbitrariamente profondo è proibitivo, quindi evoluzione e sviluppo convergono verso approssimazioni bounded-rational.

Evoluzione Culturale come Trasmissione Informazionale non-Genetica

Richerson e Boyd hanno formalizzato evoluzione culturale come processo Darwiniano operante su informazioni trasmesse socialmente invece che geneticamente. Tratti culturali (memes - Dawkins 1976) si replicano attraverso imitazione, linguaggio, istruzione con variazione, selezione, drift.

Dynamica popolazionale di trait culturale i con frequenza p_i:

$$dp_i/dt = p_i [\beta_i - \langle\beta\rangle] + \mu \Sigma_{j\neq i} (T_{ji} p_j - T_{ij} p_i)$$

dove β_i è fitness (tasso riproduttivo) di individui con trait i, μ tasso di trasmissione culturale, T_{ij} probabilità di adottare trait j dato esposizione a trait i.

Differenza cruciale versus genetica:

Trasmissione orizzontale: Informazione culturale si trasmette peer-to-peer, non solo parent-to-offspring
Trasmissione da molti: Un individuo può acquisire traits da multipli models
Guided variation: Individui modificano intenzionalmente traits basandosi su esperienza

Questi meccanismi accelerano evoluzione culturale di ordini di magnitudine rispetto a genetica. Timescale per fissazione di allele beneficiale in popolazione: ~$4N_e$ generazioni

(N_e popolazione effettiva). Per umani con N_e ~ 10^4, questo è ~100,000 anni. Cambiamenti culturali maggiori (rivoluzione agricola, rivoluzione industriale, rivoluzione digitale) avvengono in secoli o decenni.

Henrich ha proposto che accumulazione culturale - il ratchet effect dove innovazioni si preservano e compongono attraverso generazioni - è distintivo umano. Scimpanzé hanno culture rudimentali (uso diverso di tools in popolazioni diverse) ma non accumulazione progressiva. La differenza: umani hanno insegnamento attivo, imitazione hi-fidelity, linguaggio che permettono trasmissione accurata di informazione complessa.

Complessità di cultura umana supera capacità cognitiva individuale. Nessun individuo moderno potrebbe reinventare tecnologia contemporanea (semiconductor, antibiotici, aerei) da zero. Conoscenza è distribuita socialmente, memorizzata esternamente (testi, database), accessibile attraverso specializzazione e mercati.

Information storage capacity totale di civilizzazione umana è cresciuta esponenzialmente:

~Anno 0: ~10^17 bit (libri, memoria umana)
~Anno 1500: ~10^18 bit (stampa meccanica)
~Anno 1900: ~10^20 bit (industrializzazione, biblioteche)
~Anno 2000: ~10^21 bit (digitale revolution)
~Anno 2020: ~10^24 bit (internet, cloud, IoT)

Questa è crescita ~100,000× in 2000 anni, ~1,000,000× se includiamo contenuto effimero (social media, streaming). Il tasso di crescita ha accelerato: raddoppiava ogni secoli pre-print, ogni decenni post-print, ogni anni in era digitale.

Parte Dodicesima: La Singolarità Informazionale e il Futuro dell'Informazione

Accelerazione Computazionale e Limite di Landauer

La Legge di Moore - il raddoppio del numero di transistor per chip ogni ~18-24 mesi - ha guidato crescita esponenziale di capacità computazionale per cinque decenni (1965-2015). Ma stiamo avvicinandoci a limiti fisici fondamentali.

Limite di Landauer stabilisce costo energetico minimo per irreversibile computation:

E_min = k_B T ln(2) ≈ 3 × 10^{-21} J per bit (a T = 300K)

Hardware moderno dissipa ~10^6 volte questo limite - ancora vasto margine di miglioramento potenziale. Ma raggiungere il limite di Landauer richiede computazione reversibile o operazione a temperature ultra-basse.

Computazione reversibile (Bennett, Fredkin): Gate logici che preservano informazione non pagano Landauer cost. Toffoli gate è universal reversible:

(a, b, c) → (a, b, c ⊕ ab)

Cascate di Toffoli gates possono implementare qualsiasi funzione booleana reversibilmente. Cancellazione finale risultati intermedi è unica operazione irreversibile necessaria.

Ma reversibilità completa impone vincoli: memoria ausiliaria cresce (dobbiamo preservare tutti stati intermedi), e sincronizzazione diventa critica (timing errors causano accumulo di junk).

Temperature criogeniche riducono k_B T: a T = 4K (elio liquido), Landauer limit scende a 4 × 10^{-23} J/bit. Superconducting quantum computers operano a ~20 mK, ulteriormente riducendo overhead termico.

Ma esiste limite ancora più fondamentale - il bound ultimo alla computazione density e velocità: **Margolus-Levitin theorem** e **Bekenstein bound** combinati.

Margolus-Levitin: Numero massimo di operazioni per secondo con energia E:

$v_{max} = (2E) / (\pi\hbar)$

Per E = 1 Joule: $v_{max} \sim 10^{33}$ operations/sec.

Bekenstein bound: Informazione massima in sfera di raggio R, energia E:

$I_{max} \leq (2\pi RE) / (\hbar c \ln 2)$

Per R = 1 cm, E = 1 J: $I_{max} \sim 10^{42}$ bit.

Ultimate Laptop (Lloyd, 2000): Computazione massimale in 1 kg di materia:

- Memoria: $\sim 10^{31}$ bit
- Speed: $\sim 10^{51}$ ops/sec
- Energia: $\sim 10^{17}$ J ($E=mc^2$)

Comparato a laptop moderno (10^{15} bit, 10^{10} ops/sec), margine è $\sim 10^{16}$ per memoria, $\sim 10^{41}$ per velocità - vasto ma non infinito.

Intelligenza Artificiale e Compressione del Mondo

Deep learning moderno implementa compressione gerarchica lossy: reti neurali profonde apprendono rappresentazioni stratificate dove ogni livello comprime input preservando informazione task-relevant.

Autoencoder illustra questo: encoder φ_E mappa input $x \in \mathbb{R}^n$ a latent code $z \in \mathbb{R}^m$ (con $m << n$), decoder φ_D ricostruisce $\hat{x} \approx x$ da z.

Obiettivo di training: minimizzare errore ricostruzione $\mathcal{L}(x, \hat{x})$ soggetto a vincolo dimensionale $m << n$.

Soluzione ottimale (per errore quadratico, dati gaussiani): PCA (Principal Component Analysis) - encoder e decoder sono lineari, dimensioni latent corrispondono a autovettori con maggiore varianza.

Ma per dati ad alta dimensione con struttura non-lineare (immagini naturali, linguaggio), reti profonde non-lineari raggiungono compressioni drammaticamente superiori. Una rete come VGG o ResNet comprime immagine 224×224×3 (150,000 pixel) a vector 4096-dimensionale, poi classifica in 1000 categorie. Compressione ~40× preservando informazione semantica (categoria oggetto).

GPT-3, GPT-4 (Large Language Models) implementano compressione ancora più radicale di corpuses linguistici. GPT-4 ha ~1.8 × 10^12 parameters (weights), ciascuno rappresentabile con ~16 bit → 10^13 bit totali. Ma è trained su dataset ~10^13 tokens, ciascuno codificabile con ~15 bit (vocab size 50,000) → 1.5 × 10^14 bit di dati raw.

Rapporto di compressione: ~15× per dati raw. Ma se consideriamo che GPT-4 "memorizza" schemi statistici di tutto il linguaggio internet (multiple petabyte), compressione effettiva è >> 100×.

Interpretazione informazionale: LLM apprendono distribuzione probabilistica P(text), modello generativo compresso. Sampling da questo modello produce text sintetici indistinguibili (o quasi) da testi umani. Il modello ha catturato regolarità statistiche essenziali, comprimendo informazione kolmogoroviana del corpus.

Hypothesis: L'intelligenza corrisponde a capacità di compressione. Comprimere efficacemente informazione richiede estrarre pattern profondi, regolarità, struttura causale. Algoritmi che comprimono meglio predicono meglio (Minimum Description Length principle).

Hutter's Universal Intelligence: Definizione formale di intelligenza come performance su tutti computable environments pesata per complessità:

Y(agent) = Σ_environments 2^{-K(env)} × Expected_reward(agent, env)

Agente universalmente intelligente massimizza reward su distribuzione di tutti environments possibili con prior di Solomonoff (peso 2^{-K(env)} favorisce environments semplici).

Ma questa definizione è incomputabile (K incomputabile, sum su infiniti environment non computabile). Praticamente, approssimiamo: AGI ricerca environments rilevanti per umani (fisico, sociale, linguistico) e ottimizza performance su quelli.

L'Ipotesi della Simulazione e Informazione come Substrato Ultimo

Nick Bostrom ha formalizzato "Simulation Argument": almeno una delle seguenti proposizioni è vera:

1. Civiltà avanzate quasi certamente si estinguono prima di raggiungere capacità tecnologiche per simulazioni ancestor
2. Civiltà avanzate hanno scarso interesse nell'eseguire simulazioni ancestor
3. Quasi certamente viviamo in simulazione

La logica: Se (1) e (2) falsi, allora civiltà post-umane corrono numerosissime simulazioni dettagliate di antenati. Numero di "individui simulati" supera enormemente individui biologici reali → probabilità a priori che noi siamo simulati è alta.

Quantitativamente, frazione di individui coscienti che sono simulati:

$f_{sim} = (N_{civ} \times N_{sim/civ}) / (N_{civ} \times N_{sim/civ} + N_{bio})$

Se $N_{sim/civ} >> N_{bio/N_{civ}}$ (ciascuna civiltà avanzata esegue molte simulazioni), allora $f_{sim} \rightarrow 1$.

Dal punto di vista informazionale, universo simulato è letteralmente fatto di informazione processata: bit manipolati da computer sufficientemente potente. Ogni "particella" è struttura dati, ogni "interazione" è computazione, ogni "legge fisica" è algoritmo.

Conseguenze verificabili:

Discretizzazione: Simulazione richiede griglia finita (lattice spacing). Potremmo rilevare artifacts a scale Planck o energie ultra-alte (modifica a dispersion relation di particelle)?

Computational limits: Universo simulato potrebbe esibire "glitches" quando carico computazionale è alto (molti observer concentrati). Correlazioni anomale in dati cosmologici?

Interventions: Simulatori potrebbero occasionalmente "patch" il codice, causando discontinuità nelle leggi fisiche o eventi anomali non spiegabili da fisica interna.

Filosoficamente, simulation hypothesis dissolve distinzione tra materia e informazione: se vivessimo in simulazione, la "materia" è informazione rappresentata computazionalmente, e le "leggi fisiche" sono informazione algoritmica che governa evoluzione.

Ma anche in universo non-simulato, fisica moderna (gravità quantistica, olografia, interpretazioni informazionali della meccanica quantistica) suggerisce convergenza verso ontologia informazionale. Wheeler's "It from Bit":

"Otherwise put, every it — every particle, every field of force, even the spacetime continuum itself — derives its function, its meaning, its very existence entirely — even if in some contexts indirectly — from the apparatus-elicited answers to yes or no questions, binary choices, bits."

L'informazione non è proprietà secondaria derivata dalla materia, ma costituente primario - la materia emerge da informazione, non viceversa.

Teoria dei Giochi Informazionale ed Economia dell'Informazione

Asimmetrie Informazionali e il Crollo dei Mercati: Il Paradosso dei Limoni

George Akerlof, nel suo seminale articolo del 1970 "The Market for Lemons", dimostrò che asimmetrie informazionali - situazioni dove una parte di una transazione possiede informazione privata rilevante che l'altra parte non possiede - possono causare disfunzioni catastrofiche nei mercati, fino al collasso completo dello scambio.

Consideriamo il mercato delle automobili usate. I venditori conoscono la qualità effettiva $q \in [0,1]$ delle loro auto (0 = pessima qualità/"lemon", 1 = qualità eccellente). I compratori osservano solo caratteristiche esteriori ma non possono valutare q direttamente prima dell'acquisto. Supponiamo che auto di qualità q valgano $v(q) = \alpha q$ per il compratore e $c(q) = \beta q$ per il venditore, con $\alpha > \beta$ (compratori valutano più dei venditori, altrimenti nessuno scambio vantaggioso).

In condizioni di informazione simmetrica, il mercato funzionerebbe perfettamente: ogni auto di qualità q verrebbe scambiata a prezzo $p(q) \in [\beta q, \alpha q]$, con surplus totale $(\alpha - \beta)q > 0$.

Ma con asimmetria informazionale, i compratori non osservando q devono basare le loro offerte sulla qualità media attesa delle auto sul mercato. Se il prezzo di mercato è p, un venditore venderà solo se $p \geq \beta q$, ossia se $q \leq p/\beta$. Questo significa che solo auto con qualità inferiore a $q^* = p/\beta$ saranno offerte sul mercato.

La qualità media condizionale delle auto effettivamente vendute è quindi:

$$E[q \mid q \leq q^*] = q^*/2$$

(assumendo distribuzione uniforme di qualità). Il compratore razionale, anticipando questo, è disposto a pagare al massimo:

$$p = \alpha \cdot E[q \mid q \leq p/\beta] = \alpha \cdot (p/\beta)/2 = (\alpha/2\beta) \cdot p$$

Risolvendo per p:

$$p = (\alpha/2\beta) \cdot p$$
$$\rightarrow 1 = \alpha/2\beta$$
$$\rightarrow p = 0 \text{ se } \alpha < 2\beta$$

Quando $\alpha < 2\beta$, l'unico equilibrio è $p = 0$: nessuna transazione avviene. Il mercato collassa completamente nonostante esistano scambi potenzialmente vantaggiosi (per auto di alta qualità, entrambe le parti preferirebbero scambiare a prezzo appropriato piuttosto che non scambiare affatto).

Questo fenomeno, chiamato **adverse selection** (selezione avversa), opera attraverso feedback informazionale perverso:

1. Compratori non possono distinguere qualità → offrono prezzo basato su media
2. Prezzo medio scoraggia venditori di alta qualità → escono dal mercato
3. Qualità media sul mercato diminuisce
4. Compratori abbassano ulteriormente prezzo
5. Spirale continua fino a collasso totale

Formalizzazione game-theoretic: Modello di selezione avversa come gioco sequenziale:

- **Natura** sceglie qualità q ~ F(q) (distribuzione comune conosciuta)
- **Venditore** osserva q, decide vendere/non vendere
- **Compratore** non osserva q, offre prezzo p basato su belief P(q | vendere)
- Payoff: $\pi_v = p - c(q)$ se vendita, 0 altrimenti; $\pi_c = v(q) - p$ se acquisto, 0 altrimenti

L'equilibrio perfetto in sotto-giochi (Perfect Bayesian Equilibrium) richiede:

- Strategie ottime date beliefs: venditore vende $\Leftrightarrow p \geq c(q)$
- Beliefs consistenti con strategia: P(q | vendere) derivato da regola di Bayes applicata a strategia di vendita osservata
- Prezzo ottimo compratore: $p = E[v(q) | \text{vendere}]$ secondo belief

In equilibrio "cattivo" (adverse selection completo): solo q = 0 viene scambiato a p = 0.

Quantificazione della perdita di welfare: In assenza di asimmetria, il surplus totale sarebbe:

$W^* = \int_0^1 (\alpha - \beta)q f(q) dq = (\alpha - \beta)/2$

Con adverse selection totale: W = 0. La perdita è 100% del surplus potenziale.

Estensioni Empiriche: Asimmetrie Informazionali in Altri Mercati

Il framework di Akerlof si applica ubiquitariamente:

Mercato assicurativo: Gli assicurati conoscono i propri rischi meglio dell'assicuratore. Individui ad alto rischio sono più incentivati ad acquistare assicurazione completa. Premi basati sul rischio medio attirano prevalentemente high-risk pool → premi aumentano → low-risk individui escono → "death spiral" assicurativo.

Rothschild-Stiglitz (1976) dimostrarono che può non esistere equilibrio di mercato assicurativo in pooling (tutti pagano stesso premio) né in separazione (diversi contratti per diversi rischi). L'unico equilibrio potenziale è in separating equilibrium dove contratti sono self-selecting:

- Contratto H (high coverage, high premium): attraente solo per high-risk
- Contratto L (low coverage, low premium): attraente solo per low-risk

Ma anche questo può non essere stabile se esiste un incentivo per assicuratori a "cream-skim" offrendo contratti intermedi che attraggono solo i low-risk dal pool H.

Mercato del lavoro: Spence (1973) - i lavoratori conoscono propria produttività θ, datori di lavoro no. Salario basato su signal osservabile (education). Se costo di acquisizione educazione è $c(\theta)$ con $c'(\theta) < 0$ (individui più produttivi acquisiscono educazione a costo minore - single-crossing property), l'educazione funziona come dispositivo di segnalazione anche se non aumenta produttività intrinseca.

Mercato creditizio: Stiglitz-Weiss (1981) - i borrower conoscono rischiosità dei propri progetti, lenders no. Aumentare il tasso di interesse scoraggia i borrower con progetti sicuri (basso rendimento atteso ma bassa varianza) e attrae borrower rischiosi (alta varianza,

possibilità di rendimenti altissimi). Questo porta a credit rationing: in equilibrio, alcuni borrower non ricevono credito anche se disposti a pagare tasso di mercato.

Segnalazione e Screening: Rivelazione Informazionale attraverso Design Strategico

L'asimmetria informazionale non porta necessariamente a collasso di mercato. Meccanismi di **segnalazione** (iniziativa della parte informata) e **screening** (iniziativa della parte non informata) permettono rivelazione parziale o completa di informazione privata in equilibrio.

Segnalazione: Il Modello di Spence

Consideriamo mercato del lavoro dove worker ha abilità $\theta \in \{\theta_L, \theta_H\}$ con $\theta_H > \theta_L$, distribuita con probabilità $P(\theta_H) = \mu$. Il worker osserva il proprio tipo, l'impresa no. Il worker può acquisire educazione $e \in [0, \infty)$ a costo $c(e, \theta)$.

Assunzione cruciale (single-crossing property):

$\partial^2 c/\partial e \partial \theta < 0$

Il costo marginale dell'educazione è decrescente nell'abilità. Individui più capaci trovano più facile (meno costoso) acquisire educazione.

La produttività del worker è θ (indipendente da e - educazione è pure signal, non aumenta produttività). Le imprese competono in salari, offrendo $w(e) = E[\theta \mid e]$.

Separating Equilibrium: Configurazione dove tipi diversi scelgono livelli di educazione diversi, rivelando credibilmente il proprio tipo:

- Tipo L sceglie e_L
- Tipo H sceglie $e_H > e_L$
- Imprese inferiscono $\theta(e)$ dalla scelta e, offrono salari $w(e_L) = \theta_L$, $w(e_H) = \theta_H$

Condizioni di equilibrio:

1. **Incentive Compatibility per H** (preferisce separarsi): $\theta_H - c(e_H, \theta_H) \geq \theta_L - c(e_L, \theta_H)$

2. **Incentive Compatibility per L** (non può/vuole imitare H): $\theta_L - c(e_L, \theta_L) \geq \theta_H - c(e_H, \theta_L)$

3. **Belief consistency**: $\theta(e_L) = \theta_L$, $\theta(e_H) = \theta_H$

Dalla condizione 2, vincolante in equilibrio least-cost separating:

$\theta_L - c(e_L, \theta_L) = \theta_H - c(e_H, \theta_L)$

Ponendo $e_L = 0$ (tipo basso non acquisisce educazione):

$\theta_H - c(e_H, \theta_L) = \theta_L$
$\rightarrow c(e_H, \theta_L) = \theta_H - \theta_L$

Questo determina il livello minimo di educazione e_H^* necessario per segnalare credibilmente alto tipo:

$e_H^* = c^{-1}(\theta_H - \theta_L, \theta_L)$

Interpretazione informazionale: L'educazione è costosa per tutti, ma più costosa per tipo basso. Il tipo alto è disposto a sostenere costo e_H^* per segnalare credibilmente perché il beneficio (salario θ_H invece di θ_L) compensa. Il tipo basso non può imitare profittevolmente perché il suo costo $c(e_H^*, \theta_L)$ eccede il beneficio $\theta_H - \theta_L$.

Inefficienza del segnalazionale: In equilibrio separating, il tipo alto sostiene costo $c(e_H^*, \theta_H) > 0$ puramente per segnalazione. Se l'educazione non aumenta produttività, questo è spreco di risorse dal punto di vista sociale. Il surplus totale sarebbe maggiore se l'informazione fosse pubblica e nessuno acquisisse educazione.

Welfare loss da segnalazione:

$\Delta W = \mu \cdot c(e_H^*, \theta_H)$

Questo rappresenta dissipazione informazionale - risorse spese non per produzione ma per trasmissione credibile di informazione.

Pooling Equilibrium: Alternativa dove entrambi i tipi scelgono stesso livello e_P, imprese non possono discriminare, pagano salario medio:

$w(e_P) = \mu\theta_H + (1-\mu)\theta_L$

Pooling è equilibrio se:

- Tipo H preferisce pooling a deviazione verso educazione più alta (che non viene creduta come signal di θ_H dato off-equilibrium belief)
- Tipo L preferisce pooling a $e = 0$

Pooling elimina spreco da segnalazione ma anche rivelazione informazionale. Il tipo alto non riceve compensazione piena per la sua produttività superiore.

Molteplicità di equilibri: Generalmente esistono multipli separating equilibria (per diversi livelli $e_H \in [e_H^*, e_H^{max}]$) e possibilmente pooling equilibrium. Quale si realizza dipende da belief off-equilibrium-path e da refinement concepts (Intuitive Criterion di Cho-Kreps seleziona least-cost separating).

Screening: Menu di Contratti Rivelatori

Quando l'asimmetria informazionale favorisce la parte che muove per seconda, emerge lo screening: la parte non informata offre un menu di contratti progettati per indurre auto-selezione.

Modello assicurativo di Rothschild-Stiglitz: Gli assicurati hanno probabilità di incidente $p \in \{p_L, p_H\}$ con $p_H > p_L$. Frazione μ è high-risk. Gli assicurati conoscono il proprio tipo, le compagnie no.

Un contratto assicurativo è coppia (α, π) dove $\alpha \in [0,1]$ è frazione di danno D coperta (coverage), π è premio.

Utilità attesa di tipo p con ricchezza W:

$$U(\alpha, \pi; p) = (1-p)u(W - \pi) + p \cdot u(W - \pi - (1-\alpha)D)$$

dove u è funzione utilità concava (risk aversion).

Separating contracts: Compagnie offrono menu $\{(\alpha_L, \pi_L), (\alpha_H, \pi_H)\}$:

- (α_H, π_H): Full coverage $\alpha_H = 1$, premio attuarialmente equo $\pi_H = p_H D$ (attraente per high-risk)
- (α_L, π_L): Partial coverage $\alpha_L < 1$, premio equo $\pi_L = p_L \alpha_L D$ (attraente per low-risk)

Condizioni di auto-selezione (self-selection constraints):

$U(\alpha_H, \pi_H; p_H) \geq U(\alpha_L, \pi_L; p_H)$ [H sceglie H-contract]
$U(\alpha_L, \pi_L; p_L) \geq U(\alpha_H, \pi_H; p_L)$ [L sceglie L-contract]

La seconda condizione è vincolante: low-risk deve essere dissuaso da scegliere full coverage riducendo coverage offerta a low-risk al di sotto dell'ottimo first-best.

Trade-off informazionale: Per separare i tipi, si deve "distorcere verso il basso" il contratto destinato a tipo basso, creando inefficienza. Il tipo basso in equilibrio separating riceve meno assicurazione di quanto riceverebbe sotto informazione simmetrica.

Questa distorsione è il **costo informazionale** dello screening - risorse dissipate per estrarre informazione privata attraverso auto-rivelazione incentivata.

Teorema della Distorsione al Vertice (Baron-Myerson, 1982): In problemi di screening ottimale con singola dimensione di tipo, il contratto offerto al tipo più alto (most efficient, highest valuation) non è distorto rispetto al first-best, mentre tutti i tipi inferiori ricevono contratti distorti.

Formalmente, principal offre menu di contratti $(q(\theta), t(\theta))$ dove q è quantità/qualità e t è trasferimento. In ottimo:

- $q(\bar{\theta}) = q^{FB}(\bar{\theta})$ (tipo massimo riceve quantità first-best)
- $q(\theta) < q^{FB}(\theta)$ per $\theta < \bar{\theta}$ (tutti gli altri tipi sono distorti verso il basso)

La ragione informazionale: Distorcere il contratto del tipo massimo non serve a nessuno scopo separatore (non c'è tipo superiore da cui separarsi). Tutte le distorsioni sono concentrate sui tipi inferiori per renderli riconoscibili.

Teoria dei Giochi con Informazione Incompleta: Equilibri Bayesiani

John Harsanyi (1967-1968) sviluppò un framework generale per giochi in cui i giocatori hanno informazione privata sui propri payoff o caratteristiche. Questi sono modellati come **giochi Bayesiani** dove:

- Natura sceglie tipo θ_i per ciascun giocatore i secondo distribuzione comune conosciuta F(θ_1, ..., θ_n)
- Giocatore i osserva solo proprio θ_i, non θ_{-i}
- Giocatore i sceglie azione a_i(θ_i) basandosi su proprio tipo e belief su tipi altrui
- Payoff: u_i(a_1, ..., a_n; θ_1, ..., θ_n)

Bayesian Nash Equilibrium (BNE): Profilo di strategie a*_i(θ_i) tale che per ogni i, ogni θ_i:

ai(θ_i) ∈ argmax{a_i} E_{θ_{-i}}[u_i(a_i, a{-i}(θ{-i}); θ_i, θ_{-i}) | θ_i]

Ogni giocatore massimizza utilità attesa data propria informazione privata, assumendo altri giocatori giochino strategie di equilibrio.

Aste come Meccanismi di Rivelazione Informazionale

Le aste sono prototipi di giochi Bayesiani: ogni bidder ha valutazione privata v_i per oggetto, desidera acquisirlo a prezzo minimo possibile, ma deve inferire strategie ottimali senza conoscere valutazioni altrui.

First-Price Sealed-Bid Auction: Bidder simultaneamente sottopongono bid b_i, massimo bidder vince e paga proprio bid.

Con valuations private v_i ~ F[0,1] i.i.d., symmetric BNE ha forma:

b(v) = E[max_{j≠i} v_j | max_{j≠i} v_j < v]

Per n bidders, distribuzione di max_{j≠i} v_j condizionato a essere < v è F^{n-1}(x)/F^{n-1}(v). Quindi:

b(v) = ∫_0^v x · d[F^{n-1}(x)/F^{n-1}(v)] = v - ∫_0^v F^{n-1}(x) dx / F^{n-1}(v)

Per F uniforme su [0,1]: F(x) = x, quindi:

b(v) = v - ∫_0^v x^{n-1} dx / v^{n-1} = v - [x^n/n]_0^v / v^{n-1} = v·(n-1)/n

Bidder con valutazione v bid frazione (n-1)/n del valore, "shading" per bilanciare probabilità di vincere contro prezzo pagato.

Second-Price (Vickrey) Auction: Massimo bidder vince ma paga secondo bid massimo.

Risultato fondamentale: Bidding truthfully b_i = v_i è strategia dominante (ottimale indipendentemente da bids altrui).

Dimostrazione: Payoff se vinci con bid b quando valutazione è v e second-highest bid è p:

$\pi(\text{win}) = v - p$

Questo dipende da v e p ma non da b (fintanto che b > p per vincere). Quindi:

- Se v > p: vuoi vincere → bid b > p, ottimale b = v
- Se v < p: non vuoi vincere → bid b < p, ottimale b = v

In ogni caso, b = v è ottimale. Non c'è incentivo strategico a distorcere bid.

Teorema della Rivelazione (Myerson, 1979): Qualsiasi risultato implementabile attraverso meccanismo arbitrario con strategie di equilibrio può essere implementato attraverso meccanismo direct-revelation dove dire la verità è strategia ottimale.

Questo riduce il problema di mechanism design a: trovare meccanismo direct-revelation incentive-compatible che ottimizza obiettivo designer (revenue, welfare, etc.).

Principio della Revenue Equivalence (Myerson, 1981): Per allocation rule fissata, tutti i meccanismi d'asta generano stesso expected revenue se:

1. Allocano oggetto efficacemente (a bidder con valutazione massima)
2. Bidder con valutazione minima ha payoff atteso zero
3. Payoff atteso di ciascun bidder è crescente in valutazione

Quindi first-price e second-price auctions, nonostante regole diverse, generano identico revenue atteso al seller. La differenza è solo in distribuzione del rischio e facilità cognitiva.

Mercati come Processori di Informazione Distribuita

Friedrich Hayek (1945) "The Use of Knowledge in Society" propose visione informazionale radicale dei mercati: il problema economico centrale non è allocazione di risorse date preferenze note, ma aggregazione di conoscenza dispersa tra milioni di agenti.

Nessun pianificatore centrale possiede informazione completa su:

- Preferenze individuali variabili
- Tecnologie produttive locali
- Disponibilità di risorse distribuite geograficamente e temporalmente
- Opportunità emergenti e condizioni mutevoli

Il meccanismo dei prezzi funziona come sistema di comunicazione che aggrega questa informazione dispersa:

Prezzi come statistiche sufficienti: Il prezzo p di un bene incorpora tutta l'informazione dispersa rilevante per decisioni economiche riguardo a quel bene. Un agente non ha bisogno di conoscere perché p è cambiato (scarsità di input? aumento domanda? innovazione tecnologica?) - solo che è cambiato e in quale direzione.

Formalizzazione (Grossman-Stiglitz, 1980): Consideriamo asset con valore fondamentale $v = \bar{v} + \varepsilon$ dove $\varepsilon \sim N(0, \sigma^2_\varepsilon)$ è shock unknown. Alcuni trader (frazione μ) osservano signal privato $s_i = v + \eta_i$ con $\eta_i \sim N(0, \sigma^2_\eta)$. Altri (frazione $1-\mu$) osservano solo prezzo p.

Informed traders scelgono domanda $x_i(s_i, p)$, uninformed scelgono $x_u(p)$. Market clearing:

$$\mu \cdot E[x_i \mid s_i, p] + (1-\mu) \cdot x_u(p) = 0$$

In equilibrio, il prezzo rivela parzialmente l'informazione aggregata degli informed:

$$p = \lambda_0 + \lambda_1 \cdot \varepsilon + \lambda_2 \cdot u$$

dove u è shock di supply esogeno non correlato con v. Il parametro λ_1 misura informatività del prezzo.

Se $\sigma^2_u \to 0$ (supply deterministico), allora p rivela perfettamente ε, e uniformed possono inferire v esattamente dal prezzo - **informationally efficient market**.

Ma questo crea un paradosso: se il prezzo rivela tutta l'informazione, non c'è nessun incentivo ad acquisire informazione privata (costosa). Se nessuno acquisisce informazione, il prezzo non può essere informativo.

Grossman-Stiglitz Paradox: Non può esistere equilibrio con mercati perfettamente informationally efficient, perché l'informazione ha un costo positivo di acquisizione.

Risoluzione: In equilibrio, il prezzo è parzialmente informativo. Esiste noise trading ($u > 0$) sufficiente a mantenere differenza tra rendimento atteso di informed vs uninformed che compensa esattamente costo di acquisire informazione.

Informazione mutua tra prezzo e valore fondamentale:

$$I(p; v) = (1/2) \log(1 + \lambda^2_1 \, \sigma^2_\varepsilon / \sigma^2_u)$$

Quando noise u è grande, I è piccolo - prezzo rivela poco. Quando u è piccolo, I è grande - prezzo molto informativo.

Prediction Markets: Aggregazione Informazionale attraverso Betting

Prediction markets permettono trading su contratti contingenti a eventi futuri: "pagano $1 se evento E occorre, $0 altrimenti". Il prezzo di equilibrio p di tale contratto è interpretabile come probabilità aggregata di mercato: $p \approx P(E)$.

Teorema di Wolfers-Zitzewitz (2004): Se traders sono risk-neutral, hanno belief eterogenei $P_i(E)$, e prezzi sono determinati competitivamente, allora prezzo di equilibrio p^* soddisfa:

$p^* = E_i[P_i(E)]$ (media pesata per wealth delle probabilità soggettive)

Sotto assunzioni più forti (common prior ma signal privati), prezzo può aggregare informazione ottimamente:

$p^* \to P(E \mid \{s_i\}_{i=1}^N)$

Il prezzo converge alla probabilità condizionata all'unione di tutti signal privati - aggregazione informazionale perfetta.

Empiricamente, prediction markets (Intrade, PredictIt, Polymarket) hanno track record impressionante:

- Elezioni presidenziali US: prediction market price accurato ±2% rispetto a outcome reale in >80% casi
- Domanda prodotti: prediction market interno Google per preview launch prevedono sales meglio di forecast management
- Eventi geopolitici: mercati spesso anticipano eventi (invasione, colpi di stato) prima di media tradizionali

Informazione vs Bias: Prediction markets non eliminano tutti i bias cognitivi. Possono esibire:

- **Favorite-longshot bias**: Overpricing di outcomes improbabili (longshots), underpricing di favoriti
- **Bubbles**: Deviazioni persistenti da fondamentali guidate da feedback trading
- **Manipulation**: Traders con deep pockets possono temporaneamente distorcere prezzi

Ma nella media, aggregano informazione dispersa meglio di metodi alternativi (polling, expert forecasting).

Informazione Asimmetrica e Fallimenti di Mercato Globali

Le crisi finanziarie moderne sono spesso precipitate da asimmetrie informazionali a scala sistemica.

Crisi Subprime 2007-2008: Originate-to-distribute model in mortgage markets creò catena informazionale spezzata:

1. I mortgage originators (broker) vendevano prestiti immediatamente a banche, no incentivo a screening accurato di borrower quality
2. Le banche impacchettavano mortgages in MBS (mortgage-backed securities), vendevano a investitori
3. I MBS erano sliced in tranches (senior, mezzanine, equity) con rating agencies valutando risk

4. Gli investitori (pension funds, hedge funds) compravano basandosi su ratings, senza due diligence diretta

Asimmetria informazionale ad ogni stadio:

- Borrowers conoscevano propria capacità ripagamento meglio di originators
- Originators conoscevano qualità pool meglio di banche
- Banche conoscevano composizione MBS meglio di rating agencies
- Rating agencies avevano conflict of interest (pagate da issuer, non da investitori)

Quando gli housing prices smisero di salire (2006), i default rates su subprime mortgages esplosero. MBS "AAA-rated" si rivelarono tossici. L'informazione asimmetrica su qualità assets causò complete freeze di mercati creditizi - adverse selection estremo dove nessuno voleva comprare securities di qualità unknown.

Perdite totali stimate: $10-15 trillion in wealth destruction globale, unemployment peak 10% US, recessione più severa dal 1930s.

Prevenzione informazionale: Regolazione post-crisi (Dodd-Frank Act) include:

- Skin-in-the-game requirements: securitizer deve ritenere 5% di risk
- Enhanced disclosure: dettagli pool composition pubblici
- Rating agency reform: ridurre conflicts of interest

Obiettivo: ridurre asimmetrie informazionali e allineare incentivi lungo catena di securitization.

Blockchain e Informazione Distribuita: Trustless Verification

Bitcoin e blockchain tecnologie implementano architettura radicalmente nuova per informazione economica: **distributed ledger** dove transazioni sono verificate attraverso consenso cryptographic invece di trusted intermediary.

Il problema fondamentale in sistemi decentralizzati: **double-spending**. In cash fisico, questo è impossibile (stessa banconota non può essere in due luoghi). Ma in cash digitale, copiare file è triviale. Come prevenire che lo stesso token digitale sia speso molte volte?

Soluzione tradizionale: trusted third party (banca) mantiene ledger centrale, verifica ogni transazione. Ma questo introduce:

- Single point of failure
- Asimmetria informazionale (banca vede tutte transazioni, privacy zero)
- Costo di trust (fees bancarie)

Blockchain solution (Nakamoto, 2008): Sostituisce trust con verifica cryptographic distribuita:

1. Tutte transazioni sono broadcast pubblicamente a network di nodes

2. Nodes competono (mining) per impacchettare transazioni in blocchi aggiungendo proof-of-work (solve hash puzzle difficile)
3. Blocco valido è appended a blockchain pubblica, tutti nodes aggiornano copia locale
4. Consenso emerge: catena più lunga (più computational work) è accettata come truth

Informazione pubblica immutabile: Ogni transazione è verificabile da chiunque, stored permanentemente in blockchain. Nessuna autorità centrale controlla informazione - è distribuita, replicata su migliaia di nodes.

Asimmetria informazionale è eliminata per construction: tutti possono verificare tutto. Ma privacy è compromessa (tutte transazioni pubbliche - pseudonymous ma traceable).

Trade-off informazionale:

- **Pro**: Eliminazione di intermediari, riduzione asimmetrie, censorship-resistance
- **Contro**: Inefficienza (replicazione massiva, computational waste per PoW), privacy limitata, scalability constraints

Bitcoin processa ~7 transazioni/sec versus Visa ~24,000 tx/sec. Il costo informazionale della decentralizzazione è enorme overhead computazionale.

Conclusioni sulla Teoria dei Giochi Informazionale

L'informazione asimmetrica permea economia e vita sociale:

- **Mercati**: Adverse selection, moral hazard, signaling, screening sono ubiqui
- **Contratti**: Optimal design richiede anticipare information rents e incentivare truth-telling
- **Istituzioni**: Regolazione, corporate governance, meccanismi di reputation emergono per mitigare asimmetrie
- **Tecnologie**: Internet, blockchain, AI cambiano radicalmente struttura informazionale di economia

Il messaggio centrale: **Informazione non è solo input per decisioni economiche - è essa stessa risorsa scarsa allocabile, soggetta a strategia, subject to market failures**.

Comprendere l'architettura informazionale - chi sa cosa, quando, come informazione fluisce, quali asimmetrie esistono - è fondamentale per comprendere allocazione, efficienza, distribuzione di risorse in economia moderna.

La frontiera: design di meccanismi informazionalmente robusti (mechanism design, auction theory), sfruttamento di ML per screening ottimale, uso di cryptography per commitment credibile e privacy differenziale, creation di mercati informazionali (prediction markets, data markets).

L'informazione è potere economico - e l'economia è, in essenza, scienza dell'informazione organizzata.

Parte Sesta: Neuroscienze Computazionali e Codifica dell'Informazione Neurale

La Codifica Neurale: Dall'Impulso Elettrico al Significato Computazionale

Il cervello, quell'organo stupefacente che elabora informazione attraverso circa 86 miliardi di neuroni interconnessi da 100 trilioni di sinapsi, implementa schemi di codifica informazionale di una sofisticazione che trascende qualsiasi sistema artificiale costruito finora. Ma come esattamente i neuroni codificano informazione? Questa domanda, apparentemente semplice, nasconde complessità stratificate che rivelano principi computazionali fondamentali sulla natura stessa dell'elaborazione informazionale biologica.

Rate Coding: La Frequenza come Portatore Primario di Informazione

La prima e più intuitiva teoria della codifica neurale è il **rate coding** (codifica a frequenza), che postula che l'informazione sia primariamente codificata nella frequenza media di scarica (firing rate) di un neurone misurata su una finestra temporale appropriata.

Formalmente, il firing rate r(t) è definito come:

$$r(t) = (1/\Delta t) \int_{[t, t+\Delta t]} \rho(\tau) \, d\tau$$

dove ρ(τ) è il treno di impulsi (spike train), rappresentabile matematicamente come somma di funzioni delta di Dirac:

$$\rho(t) = \sum_i \delta(t - t_i)$$

con t_i i tempi di scarica del neurone.

L'evidenza empirica a supporto del rate coding è sostanziale. I classici esperimenti di Hubel e Wiesel (1959, 1962) sulla corteccia visiva primaria V1 dimostrarono che neuroni specifici rispondono selettivamente a orientamenti di bordi visivi, con firing rate proporzionale alla "bontà" dello stimolo:

$$r(\theta) = r_{max} \times \cos^2(\theta - \theta_{preferred})$$

dove θ è l'orientamento dello stimolo e θ_preferred l'orientamento preferito del neurone.

Similmente, nel sistema motorio, i neuroni della corteccia motoria primaria (M1) codificano la direzione e la forza di movimenti attraverso la loro frequenza di scarica. Georgopoulos et al. (1982) mostrarono che la direzione di un movimento del braccio può essere decodificata dalla popolazione neurale usando un vettore popolazionale:

$$D = \sum_i r_i \cdot c_i$$

dove r_i è il firing rate del neurone i e c_i il suo vettore di direzione preferito.

Tuttavia, il rate coding da solo è insufficiente. Presenta limitazioni critiche:

1. **Lentezza temporale**: Calcolare una frequenza media richiede integrare su finestre temporali dell'ordine di 50-100 ms, introducendo latenza incompatibile con la rapidità di certi processi cognitivi. Gli esseri umani possono categorizzare immagini complesse in <150 ms, troppo veloce per permettere cicli multipli di integrazione rate-based.

2. **Perdita di informazione temporale fine**: Eventi che occorrono a scale sub-100ms vengono "mediati via" nella finestra di integrazione.

3. **Inefficienza energetica**: Mantenere alte frequenze di scarica è metabolicamente costoso.

Temporal Coding: La Precisione Temporale come Canale Informazionale

La **codifica temporale** (temporal coding) propone che l'informazione sia codificata non solo nella frequenza media ma nella temporizzazione precisa degli spike individuali.

Una forma particolarmente elegante di temporal coding è la **phase coding** (codifica di fase), dove il timing di uno spike relativo a un'oscillazione di riferimento nella rete neurale porta informazione.

Nell'ippocampo, le **place cells** (cellule di luogo) codificano la posizione spaziale di un animale. O'Keefe e Recce (1993) scoprirono il fenomeno della **phase precession**: mentre un ratto attraversa il campo recettivo di una place cell, la fase degli spike relativamente all'oscillazione theta (4-8 Hz) del potenziale di campo locale (LFP) regredisce sistematicamente:

$$\varphi(x) = \varphi_0 - 2\pi(x/L)$$

dove $\varphi(x)$ è la fase dello spike quando l'animale è in posizione x nel campo recettivo di lunghezza L, e φ_0 la fase iniziale.

Questo permette di codificare posizione con risoluzione temporale di ~10 ms (ciclo theta) invece di richiedere integrazione su centinaia di millisecondi. L'informazione mutua tra posizione e fase è:

$$I(\text{posizione; fase}) \approx 2\text{-}3 \text{ bit}$$

sostanzialmente maggiore dell'informazione nel firing rate solo (~0.5 bit).

La **spike-timing dependent plasticity** (STDP), che discuteremo in dettaglio nella prossima sezione, fornisce un meccanismo plausibile per come la codifica temporale può essere appresa: sinapsi si rafforzano o indeboliscono basandosi sulla temporizzazione relativa precisa (±tens of ms) di spike pre- e post-sinaptici.

Population Coding: L'Informazione Distribuita come Principio Organizzativo

Nella **codifica di popolazione** (population coding), l'informazione non risiede in neuroni singoli ma è distribuita attraverso interi ensemble neurali. Questo schema permette rappresentazioni ricche, robuste al rumore, e capaci di codificare dimensionalità alta.

Matematicamente, rappresentiamo lo stato di una popolazione di N neuroni attraverso il vettore di firing rates:

$r = [r_1, r_2, ..., r_N]^T$

Un dato stimolo s induce una distribuzione di probabilità sullo spazio delle risposte:

$P(r|s)$

caratterizzata dalla curva di tuning di ciascun neurone:

$r_i(s) = f_i(s)$

Tipicamente, neuroni hanno curve di tuning sovrapposte ma con preferenze (peak locations) distribuite lungo il continuum dello spazio degli stimoli. Per esempio, neuroni MT (middle temporal area) nella corteccia visiva codificano direzione di movimento con curve di tuning gaussiane:

$r_i(\theta) = r_max,i \times \exp[-(\theta - \theta_i)^2/(2\sigma^2)]$

dove θ_i è la direzione preferita del neurone i distribuita uniformemente in $[0, 2\pi]$.

La decodifica ottimale della popolazione usa il **Maximum Likelihood Estimator**:

$\hat{s}_ML = argmax_s\ P(r|s)$

oppure, incorporando prior bayesiana P(s), il **Maximum A Posteriori**:

$\hat{s}_MAP = argmax_s\ P(s|r) = argmax_s\ P(r|s)P(s)$

Un risultato fondamentale è che l'errore di decodifica diminuisce con la dimensione della popolazione. Per popolazione con N neuroni con curve di tuning indipendenti e rumore Poisson, l'errore quadratico medio (MSE) scala come:

$$MSE \sim 1/N$$

Questo è il vantaggio informazionale della distribuzione: redundancy robusta contro rumore, e capacity scalabile con dimensione della popolazione.

L'informazione di Fisher fornisce un limite inferiore sul MSE (Cramér-Rao bound):

$$MSE \geq 1/F(s)$$

dove F(s) è l'informazione di Fisher della popolazione:

$$F(s) = \sum_i (\partial r_i/\partial s)^2 / Var(r_i)$$

Per N neuroni con tuning identico ma preferenze distribuite:

$$F_{total} = N \times F_{single}$$

dimostrando scaling lineare dell'informazione con dimensione della popolazione.

La Struttura Matematica dello Spike Train: Processi Puntuali e Informazione

Gli spike train sono processi stocastici puntuali, descrivibili attraverso funzioni di intensità condizionali (conditional intensity functions). Il modello più semplice è il **processo di Poisson**:

$$P(n \text{ spikes in } \Delta t) = (\lambda\Delta t)^n \exp(-\lambda\Delta t) / n!$$

dove λ è il rate costante.

Ma i neuroni reali esibiscono **refrattarietà**: dopo uno spike, la probabilità di spike successivo è soppressa per ~1-2 ms (periodo refrattario assoluto) e gradualmente recupera (periodo refrattario relativo). Questo può essere modellato attraverso un **processo rinnovamento** (renewal process) con distribuzione inter-spike interval (ISI):

$$f_{ISI}(\tau) = (\lambda/\gamma) \exp(-\tau/\gamma) \Theta(\tau - \tau_{ref})$$

dove τ_{ref} è il periodo refrattario, γ il parametro di forma, Θ la funzione step di Heaviside.

Più generalmente, spike trains possono essere modellati come **processi puntuali modulati** con intensità tempo-dipendente:

$$\lambda(t) = \lambda_0 \exp[h(t) + \sum \int \kappa(t - t') dt]$$

dove:

- h(t) è lo stimolo/input esterno
- κ(t - t□) è il kernel post-spike che cattura refrattarietà e adattamento
- La somma è su spike precedenti al tempo t

L'**entropia differenziale** di uno spike train caratterizza il suo contenuto informazionale:

$$H[\rho] = -\int P[\rho] \log P[\rho] \, D[\rho]$$

dove l'integrale funzionale è su tutti i possibili spike trains ρ.

Per processo Poisson omogeneo con rate λ, l'entropia su finestra T è:

$$H \approx \lambda T[\log(eT/\lambda T) - 1]$$

crescente con T (più lungo l'intervallo, più incertezza accumula).

L'**informazione mutua** tra stimolo s(t) e risposta r(t) quantifica quanto la risposta neurale riduce l'incertezza sullo stimolo:

$$I(s; r) = H(r) - H(r|s)$$

Empiricamente, neuroni nella corteccia visiva trasmettono ~2-3 bit/spike, limitati da rumore intrinseco e variabilità trial-to-trial.

Spike-Timing Dependent Plasticity: L'Apprendimento come Aggiornamento Bayesiano dei Pesi Sinaptici

La **spike-timing dependent plasticity** (STDP) è un meccanismo di plasticità sinaptica dove il cambiamento di forza sinaptica dipende dalla temporizzazione relativa precisa di spike pre- e post-sinaptici. STDP fornisce un substrato neurobiologico per l'apprendimento hebbiano temporalmente preciso e, come dimostrerò, può essere interpretato come forma di aggiornamento bayesiano distribuito.

La Finestra Temporale di STDP: Causalità Temporale Inscritta nella Biologia

Esperimenti fondamentali (Markram et al. 1997; Bi & Poo 1998) stabilirono che:

Potenziamento a lungo termine (LTP): Se uno spike pre-sinaptico precede uno spike post-sinaptico entro ~20 ms:

$$\Delta w > 0$$

La forza sinaptica aumenta.

Depressione a lungo termine (LTD): Se lo spike post-sinaptico precede quello pre-sinaptico:

$\Delta w < 0$

La forza sinaptica diminuisce.

La forma tipica della finestra STDP è:

$\Delta w(\Delta t) =$
$A_+ \exp(-\Delta t/\tau_+)$ se $\Delta t > 0$ (pre prima di post)
$-A_- \exp(\Delta t/\tau_-)$ se $\Delta t < 0$ (post prima di pre)

dove:

- $\Delta t = t_post - t_pre$
- A_+, A_- sono ampiezze di LTP e LTD
- $\tau_+ \approx 20$ ms, $\tau_- \approx 20$ ms sono costanti temporali

Questa asimmetria temporale implementa un rilevatore di causalità: sinapsi che contribuiscono causalmente a far scaricare il neurone post-sinaptico (spike pre anticipa spike post) vengono rafforzate.

Interpretazione Informazionale: STDP come Massimizzazione di Informazione Mutua

STDP può essere derivato come conseguenza di principi informazionali. Consideriamo un neurone post-sinaptico che riceve input da N neuroni pre-sinaptici attraverso sinapsi con pesi $w = [w_1, ..., w_N]$.

Il neurone post scarica quando il potenziale di membrana supera una soglia:

$V(t) = \sum_i w_i \sum_{t_i} \varepsilon(t - t_i)$

dove t_i sono i tempi di spike del neurone pre-sinaptico i, e $\varepsilon(t)$ è il kernel di risposta post-sinaptica (EPSP, excitatory postsynaptic potential).

Principio di massimizzazione dell'informazione mutua (Chechik 2003): i pesi sinaptici si aggiustano per massimizzare l'informazione mutua tra pattern di input e risposta post-sinaptica:

$\max_w I(input; output)$

Il gradiente di I rispetto ai pesi è:

$\partial I/\partial w_i \propto \langle \delta V/\delta w_i \, \delta(spike_post)\rangle - \langle \delta V/\delta w_i \rangle \langle \delta(spike_post)\rangle$

dove $\langle \cdot \rangle$ denota media temporale.

Espandendo e usando approssimazioni di campo medio, questo gradiente si riduce a una regola tipo-STDP:

$\Delta w_i \propto \int C_pre,post(\tau)\, W(\tau)\, d\tau$

dove:

- $C_pre,post(\tau)$ è la cross-correlazione tra spike pre e post
- $W(\tau)$ è una finestra temporale asimmetrica (la finestra STDP)

Quindi STDP emerge naturalmente come implementazione biologica locale dell'apprendimento informazionalmente ottimale.

STDP e Apprendimento Non-Supervisionato: Emergenza di Recettori Selettivi

Quando STDP opera su popolazioni neurali che ricevono input sensoriali, emergono spontaneamente rappresentazioni sparse e selettive simili a quelle osservate in corteccia.

Simulazioni di reti con STDP mostrano emergenza di:

1. **Selettività di orientamento**: Neuroni sviluppano curve di tuning per orientamenti specifici quando esposti a griglie orientate, replicando proprietà di V1.

2. **Spareness**: Pochi neuroni attivi per stimolo dato, massimizzando efficienza metabolica e informazione.

3. **Competizione**: Neuroni competono per rappresentare stimoli attraverso inibizione laterale mediata da interneuroni.

Matematicamente, STDP implementa una forma di **Independent Component Analysis** (ICA) distribuita. Data una matrice di pesi W, STDP cerca decomposizione:

$input = W \cdot rappresentazione_interna$

dove rappresentazione_interna ha componenti statisticamente indipendenti.

La loss function implicita è:

$L = -H(output) + \lambda ||W||^2$

dove H(output) è entropia dell'output (massimizzata per spareness) e il termine di regolarizzazione previene crescita illimitata dei pesi.

Memoria: Consolidamento, Riconsolidamento, e la Persistenza Informazionale nel Cervello

La memoria è persistenza di informazione attraverso il tempo. Nel cervello, questa persistenza emerge da meccanismi multi-scala: plasticità sinaptica rapida (millisecondi-ore), consolidamento sistemico (ore-anni), e riconsolidamento (modificazione di memorie già consolidate).

Consolidamento Sinaptico: Da Plasticità Elettrica a Cambiamenti Strutturali

Il **consolidamento sinaptico** trasforma modifiche inizialmente labili in cambiamenti persistenti della forza sinaptica attraverso cascate molecolari.

Fase precoce (E-LTP, Early LTP): Minuti-ore

- Modificazioni post-traduzionali di proteine esistenti
- Inserzione di recettori AMPA nella membrana post-sinaptica
- Fosforilazione di CaMKII (Ca^{2+}/calmodulin-dependent protein kinase II)

$$dw/dt = \alpha(Ca^{2+})^4 - \beta \cdot w$$

dove $(Ca^{2+})^4$ cattura la cooperatività del calcio nella attivazione di CaMKII.

Fase tardiva (L-LTP, Late LTP): Ore-giorni

- Richiede sintesi proteica (protein synthesis dependent)
- Crescita di nuove spine dendritiche
- Modificazioni strutturali persistenti

Il passaggio da E-LTP a L-LTP richiede:

$$\int_{[t, t+T]} Ca^{2+}(\tau)\, d\tau > \theta$$

Una soglia θ di calcio integrato, implementando un meccanismo di "tag and capture": sinapsi fortemente attivate "taggano" se stesse per catturare prodotti proteici diffusi.

Consolidamento Sistemico: Il Dialogo Ippocampo-Corteccia

Il **consolidamento sistemico** (Squire & Alvarez 1995; McClelland et al. 1995) trasferisce gradualmente memorie dall'ippocampo, dove sono inizialmente codificate rapidamente, alla neocorteccia, dove diventano distribuite e stabili a lungo termine.

Teoria della Complementary Learning Systems (CLS):

- **Ippocampo**: apprendimento rapido (one-shot), rappresentazioni sparse e separate (pattern separation), suscettibile a interferenza catastrofica
- **Neocorteccia**: apprendimento lento, rappresentazioni distribuite e sovrapposte, robusta a interferenza

Il trasferimento avviene attraverso **riattivazione notturna** (replay): durante sonno slow-wave, sequenze di attivazione neurale ippocampale che occorsero durante esperienza

vengono spontaneamente riattivate a velocità accelerata (~10x), guidando plasticità corticale:

P(riattivazione sequenza) ∝ exp(reward associato)

Memorie più salienti (reward alto) vengono riattivate preferenzialmente.

Il tasso di consolidamento può essere modellato come:

I_cortex(t) = I_max[1 - exp(-t/τ)]

dove I_cortex è l'informazione trasferita alla corteccia, e τ ≈ settimane-mesi è la costante temporale.

Simultaneamente, la dipendenza dall'ippocampo decade:

I_hippocampus(t) = I_0 exp(-t/τ)

Questa predizione è confermata da studi di lesioni: danni ippocampali degradano memorie recenti (giorni-settimane) ma risparmiano memorie remote (anni).

Riconsolidamento: Memorie come Entità Dinamiche, Non Statiche

La visione tradizionale trattava memorie consolidate come statiche e immutabili. Ma **riconsolidamento** (Nader et al. 2000) rivelò che memorie, quando riattivate (recalled), entrano in stato labile e richiedono ri-consolidamento:

Paradigma sperimentale:

1. Addestramento: ratto apprende associazione contesto → shock
2. Riattivazione: ratto esposto al contesto (senza shock)
3. Intervento: inibitore di sintesi proteica (anisomycin) somministrato
4. Test: memoria per contesto → shock è danneggiata

L'inibitore agisce solo se somministrato nella finestra di riconsolidamento (~6 ore post-riattivazione). Questo implica:

Memorie non sono file statici letti, ma processi dinamici ricostruiti

Informaticamente, riconsolidamento permette **aggiornamento bayesiano incrementale**:

Prior: memoria consolidata P(evento|vecchia evidenza) Likelihood: nuova evidenza durante riattivazione P(osservazione|evento) Posterior: memoria ri-consolidata P(evento|vecchia evidenza, nuova osservazione)

Questo spiega fenomeni come:

- **Memory updating**: Memorie modificate da informazione post-evento

- **Extinction**: Estinzione di memorie emotive attraverso esposizione ripetuta al contesto senza rinforzo
- **Reconsolidation-based therapy**: Interventi terapeutici per PTSD che usano finestra di riconsolidamento per attenuare memorie traumatiche

Formalmente:

$$w_{riconsolidato} = (1-\eta)w_{old} + \eta \cdot w_{new}$$

dove η è learning rate controllato da saliency della riattivazione.

Architetture Specifiche: Principi Computazionali Incarnati in Neuroanatomia

Diversi circuiti cerebrali implementano algoritmi computazionali specializzati, ottimizzati da evoluzione per task specifici.

Ippocampo: Auto-Associatore per Memoria Episodica e Navigazione Spaziale

L'**ippocampo** (dal greco "cavallo marino" per la sua forma) è cruciale per memoria episodica (eventi personali) e memoria spaziale (mappe cognitive).

Struttura:

- Circuito tri-sinaptico: Corteccia entorinale → Dentate Gyrus → CA3 → CA1 → Corteccia entorinale
- CA3 ha connessioni ricorrenti estensive (collaterali di Schaffer)

Computazione:

Pattern Separation (Dentate Gyrus): Input simili sono mappati a rappresentazioni ortogonali (non-sovrapposte)

$$\text{Similarità}(input_1, input_2) > \text{Similarità}(DG_1, DG_2)$$

Questo riduce interferenza tra memorie simili. Implementato attraverso:

- Espansione dimensionale: pochi neuroni entorinali → molti neuroni DG granule (1:10 ratio)
- Spareness: solo ~5% neuroni DG attivi per stimolo dato

Pattern Completion (CA3): Dato input parziale o degradato, recupera pattern completo attraverso dinamiche attrattore

$$s(t+1) = f(W \cdot s(t) + input(t))$$

dove W è matrice di pesi recurrent, appresa via STDP.

CA3 implementa **auto-associatore**: memorizza pattern attraverso:

$W = \sum_{\square} x_{\square} x_{\square}^{T}$

(regola di Hebb: outer product degli stati di attivazione)

Capacità di storage:

$C \approx N / [4 \ln N]$

per N neuroni, assumendo rappresentazioni sparse.

Place Cells (CA1): Neuroni che scaricano selettivamente quando animale è in posizione spaziale specifica ("place field")

$r(x) = r_{max} \exp(-||x - x_0||^2/2\sigma^2)$

Ensemble di place cells forma mappa cognitiva distribuita dello spazio.

Corteccia Prefrontale: Working Memory e Controllo Esecutivo

La **corteccia prefrontale** (PFC) è substrato di funzioni esecutive: working memory, pianificazione, inibizione, decision-making.

Delayed Response Tasks: Macaco deve ricordare posizione di stimolo durante delay period (secondi) per guidare risposta successiva.

Neuroni PFC mantengono attività persistente durante delay:

$r(t) = r_{baseline} + \Delta r \cdot \Theta(t_{stimolo}) \exp(-(t-t_{stimolo})/\tau)$

con $\tau >> 1$ secondo (molto più lungo della costante temporale neurale ~10 ms).

Questo richiede **integrazione positiva feedback**:

$\tau \, dr/dt = -r + f(W_{rec} \cdot r + input) + noise$

dove W_{rec} ha autovalori vicini a 1 (marginalmente stabile), permettendo attività persistente.

Modello di Wang (2002): Bistabilità attraverso ricorrenza eccitatoria bilanciata da inibizione:

$\tau_E \, dS_E/dt = -S_E + \gamma(1-S_E)F(I_E)$
$\tau_I \, dS_I/dt = -S_I + \gamma(1-S_I)F(I_I)$

$I_E = W_{EE} \cdot S_E - W_{EI} \cdot S_I + input_E$
$I_I = W_{IE} \cdot S_E - W_{II} \cdot S_I + input_I$

Per parametri appropriati, sistema ha due stati stabili: "up" (attivo) e "down" (quiescente), permettendo memoria robusta.

Informazione mutua tra stimolo e attività durante delay quantifica capacità di working memory:

$I(\text{stimolo}; r_{\text{delay}}) \approx 2\text{-}3$ bit

per PFC, limitato da rumore intrinseco.

Parte Settima: Machine Learning e Teoria dell'Informazione

Information Bottleneck Theory: Compressione Ottimale con Preservazione di Relevanza

La **Information Bottleneck Theory** (Tishby, Pereira, Bialek 1999, 2000) fornisce un framework matematico rigoroso per comprendere come sistemi di apprendimento estraggono rappresentazioni compresse che preservano informazione rilevante per task specifici.

Il Principio del Collo di Bottiglia Informazionale

Data una variabile di input X (ad esempio, un'immagine) e una variabile target Y (ad esempio, la sua etichetta di classe), vogliamo trovare una rappresentazione compressa $T = f(X)$ che:

1. **Comprime**: $I(X; T)$ è minimizzato (la rappresentazione è compatta)
2. **Preserva rilevanza**: $I(Y; T)$ è massimizzato (la rappresentazione preserva informazione predittiva su Y)

Questi obiettivi sono in tensione: compressione massima darebbe T = costante, perdendo tutta informazione; preservazione massima darebbe $T = X$, senza compressione.

Il **functional information bottleneck** ottimizza il trade-off:

$$\mathcal{L}_{IB} = I(X; T) - \beta\, I(Y; T)$$

dove $\beta > 0$ è parametro di Lagrange che controlla il trade-off compressione-rilevanza.

Equivalentemente, possiamo fissare I(X; T) = I_c e massimizzare I(Y; T), oppure fissare I(Y; T) = I_r e minimizzare I(X; T). Il set di soluzioni ottime al variare di β tracciano la **curva di information plane** (curva di Pareto):

{(I(X; T), I(Y; T)) : T ottimale per qualche β}

Soluzione Variazionale e Algoritmo Iterativo

La soluzione al problema IB richiede trovare distribuzione P(T|X) che minimizza $\mathcal{L}$_IB.

Calcolo dei gradienti funzionali rispetto a P(T|X) porta alle equazioni auto-consistenti:

P(T|X) = P(T)/Z(X, β) exp[β D_KL(P(Y|X) || P(Y|T))]
P(T) = ∑_X P(X)P(T|X)
P(Y|T) = ∑_X P(Y|X)P(X|T) = ∑_X P(Y|X)P(X)P(T|X)/P(T)

dove Z(X, β) è funzione di partizione normalizzante.

Queste equazioni possono essere risolte iterativamente (algoritmo Blahut-Arimoto per IB):

1. Inizializza P(T|X) random
2. Calcola P(T), P(X|T), P(Y|T)
3. Aggiorna P(T|X) usando equazione auto-consistente
4. Ripeti fino a convergenza

Deep Learning e Information Bottleneck

Tishby e Zaslavsky (2015) proposero che reti neurali profonde implementano naturalmente il principio IB durante training:

Information Plane Dynamics: Durante training di rete neurale su task di classificazione, possiamo tracciare evoluzione temporale di ogni layer l come punto nel piano (I(X; T_l), I(Y; T_l)).

Fase 1 - Fitting (Early Training): Tutti i layer aumentano simultaneamente I(X; T_l) e I(Y; T_l). La rete apprende a rappresentare input con crescente complessità.

Fase 2 - Compression (Late Training): Layer intermedi diminuiscono I(X; T_l) mentre mantengono I(Y; T_l) approssimativamente costante. La rete "comprime" rappresentazioni, eliminando dettagli irrilevanti per classificazione.

Questo fenomeno bifasico emerge spontaneamente dall'ottimizzazione SGD (stochastic gradient descent) con entropia cross-entropy loss:

$\mathcal{L}$ = -∑_{(x,y)} log P(y|x; θ)

equivalente (per classificazione) a minimizzare I(X; T) dato I(Y; T).

Obiezione e dibattito: Saxe et al. (2019) contestarono questa interpretazione, mostrando che la "compressione" osservata dipende dalla scelta di binning per stimare mutua informazione, e non appare chiaramente per attivazioni lineari o batch normalization. Il dibattito continua, ma IB rimane framework teorico potente.

Applicazione: Information-Theoretic Regularization

Possiamo incorporare esplicitamente IB come regolarizzatore in training:

$\mathcal{L}_{total} = \mathcal{L}_{task} + \lambda I(X; T)$

dove $I(X; T)$ può essere approssimato attraverso:

Variational Information Bottleneck (Alemi et al. 2017):

Invece di calcolare $I(X; T)$ esattamente (intrattabile per X ad alta dimensionalità), approssimiamo $P(T)$ con distribuzione variazionale $Q(T)$:

$$I(X; T) = H(T) - H(T|X)$$
$$\leq H(T) + \sum_X P(X) D_{KL}(P(T|X) \,||\, Q(T))$$
$$= \sum_X P(X) D_{KL}(P(T|X) \,||\, Q(T)) + \text{const}$$

Se parametrizziamo:

- Encoder: $P(T|X) = N(\mu_{encoder}(X), \Sigma_{encoder}(X))$
- Prior: $Q(T) = N(0, I)$

Otteniamo bound:

$$I(X; T) \leq \sum_X P(X) D_{KL}(N(\mu_{encoder}(X), \Sigma_{encoder}(X)) \,||\, N(0, I))$$

che è esattamente il termine di regolarizzazione KL in **Variational Autoencoders** (VAEs)!

Variational Autoencoders: Generazione e Compressione come Inferenza Bayesiana

I **Variational Autoencoders** (VAEs) (Kingma & Welling 2014; Rezende et al. 2014) sono modelli generativi che apprendono rappresentazioni latenti compresse di dati ad alta dimensionalità attraverso ottimizzazione di un bound variazionale sulla log-likelihood.

Il Modello Generativo Latente

VAE postula processo generativo latente:

$z \sim P(z)$ (prior sulle variabili latenti)
$x \sim P(x|z; \theta)$ (likelihood generativo)

dove:

- $z \in \mathbb{R}^d$ è rappresentazione latente (tipicamente $d << \dim(x)$)
- θ sono parametri del decoder (rete neurale)

Obiettivo: dato dataset $\{x_1, ..., x_N\}$, apprendere θ che massimizza likelihood marginale:

$$P(x; \theta) = \int P(x|z; \theta) P(z) dz$$

Problema: Integrale è intrattabile per prior e likelihood complessi.

Evidence Lower Bound (ELBO) e Inferenza Variazionale

Introduciamo distribuzione variazionale $Q(z|x; \varphi)$ (encoder neurale con parametri φ) che approssima vera posterior $P(z|x; \theta)$.

Decomposizione della log-likelihood:

$$\log P(x; \theta) = \mathbb{E}_{Q(z|x)} [\log P(x|z; \theta)] - D_{KL}(Q(z|x; \varphi) || P(z)) + D_{KL}(Q(z|x; \varphi) || P(z|x; \theta))$$

Poiché $D_{KL} \geq 0$, otteniamo **Evidence Lower Bound**:

$$\log P(x; \theta) \geq \mathbb{E}_{Q(z|x)} [\log P(x|z; \theta)] - D_{KL}(Q(z|x; \varphi) || P(z))$$
$$\equiv ELBO(x; \theta, \varphi)$$

L'ELBO decompone in:

1. **Termine di ricostruzione**: $\mathbb{E}_{Q(z|x)} [\log P(x|z; \theta)]$
    - Massimizzare questo incoraggia decoder a ricostruire x accuratamente dato z campionato da encoder
2. **Termine di regolarizzazione KL**: $-D_{KL}(Q(z|x; \varphi) || P(z))$
    - Minimizzare KL forza distribuzione latente posteriore $Q(z|x)$ a rimanere vicina alla prior $P(z)$
    - Questo è esattamente il termine IB di compressione!

Reparametrization Trick e Gradient Estimation

Per ottimizzare ELBO via gradient descent, necessitiamo gradienti rispetto a φ. Ma aspettazione su $Q(z|x; \varphi)$ rende gradienti intrattabili.

Reparametrization trick (Kingma & Welling 2014):

Invece di campionare $z \sim Q(z|x; \varphi)$ direttamente, riparametrizziamo:

$\varepsilon \sim P(\varepsilon)$ (distribuzione fissa, es. $N(0, I)$)
$z = g(x, \varepsilon; \varphi)$ (trasformazione deterministica)

Per encoder gaussiano:

$Q(z|x; \varphi) = N(\mu(x; \varphi), \sigma^2(x; \varphi)I)$
$\varepsilon \sim N(0, I)$
$z = \mu(x; \varphi) + \sigma(x; \varphi) \odot \varepsilon$

Allora:

$$\nabla_\varphi \mathbb{E}_{Q(z|x;\varphi)} [f(z)] = \nabla_\varphi \mathbb{E}_{P(\varepsilon)} [f(g(x, \varepsilon; \varphi))]$$
$$= \mathbb{E}_{P(\varepsilon)} [\nabla_\varphi f(g(x, \varepsilon; \varphi))]$$

Gradiente può essere stimato via Monte Carlo:

$$\nabla_\varphi \text{ELBO} \approx (1/L) \sum_{l=1}^{L} \nabla_\varphi [\log P(x|z_l; \theta) - \log Q(z_l|x; \varphi) + \log P(z_l)]$$

con $z_l = \mu(x; \varphi) + \sigma(x; \varphi) \odot \varepsilon_l$, $\varepsilon_l \sim N(0, I)$.

Interpretazione Information-Theoretic

ELBO può essere riscritto informaticamente. Notando che:

$$\mathbb{E}_{Q(z|x)} [\log P(x|z; \theta)] = -H_Q(x|z) - D_{KL}(P_{data}(x|z) \,||\, P(x|z; \theta))$$

e assumendo Q cattura perfettamente dipendenze (secondo termine → 0):

$$\text{ELBO} \approx -H(x|z) - D_{KL}(Q(z|x) \,||\, P(z))$$
$$= I(x; z) - H(x) - D_{KL}(Q(z|x) \,||\, P(z))$$
$$= I(x; z) - I(x; z) - D_{KL}(Q(z|x) \,||\, P(z)) + \text{const}$$

Massimizzare ELBO equivale quindi a:

- Massimizzare informazione mutua $I(x; z)$ (rappresentazione informativa)
- Minimizzare $D_{KL}(Q(z|x) \,||\, P(z))$ (compressione verso prior)

Questo è esattamente il trade-off IB con $\beta = 1$!

Per $\beta \neq 1$, otteniamo **β-VAE** (Higgins et al. 2017):

$$\mathcal{L}_{\beta\text{-VAE}} = \mathbb{E}_{Q(z|x)} [\log P(x|z; \theta)] - \beta D_{KL}(Q(z|x; \varphi) \,||\, P(z))$$

$\beta > 1$ aumenta compressione, portando a rappresentazioni più disentangled (fattorizzate).

Generative Adversarial Networks: Apprendimento Attraverso Competizione Informazionale

Le **Generative Adversarial Networks** (GANs) (Goodfellow et al. 2014) apprendono modelli generativi attraverso un paradigma radicalmente diverso da VAEs: competizione adversarial tra due reti neurali.

Il Framework Minimax

GAN consiste di:

1. **Generatore G**: $z \sim P(z) \rightarrow \tilde{x} = G(z; \theta_G)$
    - Mappa rumore latente z in dati sintetici $\tilde{x}$
2. **Discriminatore D**: $x \rightarrow D(x; \theta_D) \in [0, 1]$
    - Classifica se input è reale (da P_data) o fake (da G)

Obiettivo: G cerca di ingannare D, D cerca di distinguere reale da fake.

Funzione obiettivo minimax:

$$\min_G \max_D V(D, G) = \mathbb{E}_{x \sim P_{data}} [\log D(x)] + \mathbb{E}_{z \sim P(z)} [\log(1 - D(G(z)))]$$

Interpretazione:

- D massimizza V: assegna alta probabilità $D(x) \approx 1$ a dati reali, bassa $D(G(z)) \approx 0$ a fake
- G minimizza V: genera $\tilde{x} = G(z)$ tali che $D(\tilde{x}) \approx 1$ (indistinguibili da reali)

Ottimalità del Discriminatore e Convergenza Globale

Per G fissato, discriminatore ottimale è:

$$D^*(x) = P_{data}(x) / (P_{data}(x) + P_G(x))$$

dove $P_G(x) = \int P(z)\, \delta(x - G(z))\, dz$ è distribuzione indotta da G.

Sostituendo D* in V:

$$C(G) = \max_D V(D, G) = \mathbb{E}_{x \sim P_{data}} [\log P_{data}(x)/(P_{data}(x) + P_G(x))] + \mathbb{E}_{x \sim P_G} [\log P_G(x)/(P_{data}(x) + P_G(x))]$$

Questo può essere riscritto come:

$$C(G) = -\log 4 + KL(P_{data} \,||\, (P_{data} + P_G)/2) + KL(P_G \,||\, (P_{data} + P_G)/2)$$
$$= -\log 4 + 2 \times JSD(P_{data} \,||\, P_G)$$

dove JSD è **Jensen-Shannon divergence**:

$JSD(P \,||\, Q) = (1/2)[KL(P \,||\, M) + KL(Q \,||\, M)]$

con $M = (P + Q)/2$.

Proprietà chiave: $JSD \geq 0$, con uguaglianza sse $P = Q$.

Quindi:

- Minimo globale di $C(G)$ è $C^* = -\log 4$, raggiunto sse $P_G = P_{data}$
- Training GAN minimizza implicitamente divergenza tra distribuzione generata e reale

Training Dynamics e Problemi di Convergenza

Training GAN è notoriamente instabile. Problemi comuni:

Mode Collapse: G collassa su pochi modi della distribuzione P_{data}, generando campioni poco diversificati.

Causa: Se G trova modi facili da ingannare D, gradiente può spingere tutta massa di probabilità su quei modi.

Vanishing Gradients: Se D diventa troppo forte, satura a $D(G(z)) \approx 0$, causando gradienti ~ 0 per G.

Gradiente di G (formulazione minimax):

$\nabla_{\theta_G} \mathbb{E}_z [\log(1 - D(G(z)))]$

Se $D(G(z)) \approx 0$, gradiente ~ 0.

Soluzione: Non-saturating loss per G:

$\max_G \mathbb{E}_z [\log D(G(z))]$

invece di minimizzare $\log(1 - D(G(z)))$.

Varianti e Miglioramenti

Wasserstein GAN (WGAN) (Arjovsky et al. 2017):

Sostituisce JSD con **Wasserstein distance** (Earth Mover's Distance):

$W(P_{data}, P_G) = \inf_{\gamma \in \Pi(P_{data}, P_G)} \mathbb{E}_{(x,y)\sim\gamma} [||x - y||]$

dove Π(P_data, P_G) è insieme di coupling tra distribuzioni.

Per teorema Kantorovich-Rubinstein:

$W(P_{data}, P_G) = \max_{||f||_L \leq 1} [\mathbb{E}_{x \sim P_{data}} f(x) - \mathbb{E}_{x \sim P_G} f(x)]$

WGAN approssima questo usando D (rinominato "critico") con peso clipping o gradient penalty per enforcare vincolo Lipschitz.

Vantaggi:

- Gradienti più stabili anche quando D è forte
- Convergenza più robusta
- Loss correla con qualità dei campioni

Progressive GAN, StyleGAN: Architetture specifiche per generazione immagini ad alta risoluzione con controllo fine di stile e attributi.

Meta-Learning come Compressione Algoritmica di Prior

Il **meta-learning** ("learning to learn") cerca di apprendere algoritmi di apprendimento ottimali da esperienza su distribuzione di task, permettendo generalizzazione rapida a nuovi task con pochi esempi (few-shot learning).

Formalizzazione del Meta-Learning

Setting:

- Distribuzione di task $P(\mathcal{T})$
- Ogni task $\mathcal{T}_i$ ha training set D_train^i e test set D_test^i
- Obiettivo: apprendere algoritmo A che, dato D_train^i, produce modello che performa bene su D_test^i

Obiettivo meta-learning:

$\min_{\varphi} \mathbb{E}_{\mathcal{T} \sim P(\mathcal{T})} [\mathbb{E}_{D_{train}, D_{test} \sim \mathcal{T}} [\mathcal{L}(A(D_{train}; \varphi), D_{test})]]$

dove φ sono meta-parametri dell'algoritmo A.

Model-Agnostic Meta-Learning (MAML)

MAML (Finn et al. 2017) apprende inizializzazione di parametri θ tale che pochi step di gradient descent su nuovo task porta a buone performance.

Algoritmo:

1. **Meta-training**: Per ogni batch di task $\{\mathcal{T}_i\}$:

- Sample task $\mathcal{T}_i \sim P(\mathcal{T})$
- Sample training set D_train^i dal task

Computa adattamento task-specific:
$\theta_i' = \theta - \alpha \nabla_\theta \mathcal{L}_{\mathcal{T}_i}(\theta; D_train^i)$

-

Computa meta-loss sul test set:
$\mathcal{L}_meta = \sum_i \mathcal{L}_{\mathcal{T}_i}(\theta_i'; D_test^i)$

-

Meta-update:
$\theta \leftarrow \theta - \beta \nabla_\theta \mathcal{L}_meta$

-

2. **Meta-testing**: Dato nuovo task $\mathcal{T}$_new con D_train^new:

   - Inizia da θ (meta-learned)
   - Adatta: $\theta_new = \theta - \alpha \nabla_\theta \mathcal{L}(\theta; D_train^{new})$
   - Usa θ_new per test

Interpretazione Information-Theoretic

Meta-learning può essere visto come apprendimento di **prior bayesiana ottimale** sulla distribuzione di task.

Parametri θ codificano prior P(θ). Task-specific adaptation corrisponde a posterior:

$P(\theta|D_train) \propto P(D_train|\theta)\, P(\theta)$

MAML approssima questa posterior con un singolo step gradient:

$\theta' \approx \text{argmax}_\theta \log P(\theta|D_train) \approx \theta - \alpha \nabla_\theta [-\log P(D_train|\theta) - \log P(\theta)]$

Meta-objective massimizza performance attesa sotto questa approssimazione.

Complessità algoritmica: Meta-learner comprime esperienza attraverso distribuzione di task in una descrizione compatta (θ e procedura di adattamento). Questo è compressione di interi algoritmi, non solo dati.

Complessità di Kolmogorov di un algoritmo di apprendimento ottimale per distribuzione $\mathcal{T}$ è:

$K(A_optimal \mid P(\mathcal{T}))$

Meta-learning cerca approssimazione di questa descrizione minimale attraverso esperienza empirica su campioni dalla distribuzione.

Geometria dell'Informazione e Strutture Differenziali sugli Spazi Statistici

Spazi Statistici come Varietà Riemanniane: La Struttura Geometrica della Probabilità

La **geometria dell'informazione** (Amari 1985; Amari & Nagaoka 2000) tratta spazi di distribuzioni di probabilità come varietà differenziabili dotate di struttura geometrica intrinseca. Questa prospettiva rivela profonde connessioni tra statistica, teoria dell'informazione, e geometria differenziale.

Lo Spazio delle Distribuzioni come Varietà

Consideriamo famiglia di distribuzioni di probabilità parametrizzate:

$\mathscr{P} = \{p(x; \theta) : \theta \in \Theta \subset \mathbb{R}^n\}$

dove $\theta = (\theta_1, ..., \theta_n)$ sono parametri.

Esempio: Famiglia esponenziale

$p(x; \theta) = \exp[\sum_i \theta_i T_i(x) - \psi(\theta)]$

dove $T_i(x)$ sono statistiche sufficienti, $\psi(\theta)$ è funzione di partizione (cumulant generating function).

Lo spazio dei parametri Θ forma una **varietà differenziabile** n-dimensionale. Punti sulla varietà sono distribuzioni di probabilità, curve sulla varietà sono famiglie di distribuzioni parametrizzate da un parametro continuo.

La Metrica di Fisher: Geometria Intrinseca dello Spazio Statistico

La **matrice di informazione di Fisher** definisce una metrica Riemanniana sullo spazio $\mathscr{P}$:

$$g_{ij}(\theta) = \mathbb{E}_{p(x;\theta)} [\partial_i \log p(x; \theta) \cdot \partial_j \log p(x; \theta)]$$
$$= -\mathbb{E}_{p(x;\theta)} [\partial_i \partial_j \log p(x; \theta)]$$

dove $\partial_i \equiv \partial/\partial\theta_i$.

Questa metrica misura la "distanza infinitesimale" tra distribuzioni vicine. L'elemento di lunghezza:

$ds^2 = \sum_{i,j} g_{ij}(\theta) d\theta_i d\theta_j$

La distanza lungo una curva $\theta(t)$ è:

$L[\theta(\cdot)] = \int_0^1 \sqrt{[\sum_i \square\ g_ij(\theta(t))\ (d\theta_i/dt)(d\theta\square/dt)]}\ dt$

Esempio: Distribuzione gaussiana

Per $p(x; \mu, \sigma^2) = N(\mu, \sigma^2)$, la matrica di Fisher è:

$$g = \begin{bmatrix} 1/\sigma^2 & 0 \\ 0 & 2/\sigma^4 \end{bmatrix}$$

Distanza infinitesimale:

$ds^2 = (d\mu)^2/\sigma^2 + 2(d\sigma)^2/\sigma^4$

Notare che distanza in μ dipende da σ: quando varianza è alta, piccoli shift in μ sono meno distinguibili.

Curvatura e Connessioni: La Geometria Non-Euclidea degli Spazi Statistici

La varietà $(\mathscr{P}, g)$ non è generalmente piatta (Euclidea). La **curvatura** misura quanto la geometria devia da spazio piatto.

La **connessione di Levi-Civita** ∇ compatibile con metrica g soddisfa:

$\nabla_X\ g = 0$ (compatibilità metrica)
$\nabla_X\ Y - \nabla_Y\ X = [X, Y]$ (torsion-free)

Tensore di curvatura di Riemann:

$R(X, Y)Z = \nabla_X\ \nabla_Y\ Z - \nabla_Y\ \nabla_X\ Z - \nabla_[X,Y]\ Z$

Curvatura scalare per famiglia esponenziale 1D:

$K = -\partial^2\psi/\partial\theta^2\ /\ (\partial^3\psi/\partial\theta^3)^2$

Per distribuzione gaussiana: $K = 0$ (spazio piatto). Per distribuzione di Poisson: $K < 0$ (curvatura negativa).

Questa curvatura ha conseguenze statistiche profonde: in spazi con curvatura, estimatori efficienti hanno proprietà diverse che in spazi piatti.

α-Connessioni e Dualità

Amari introdusse famiglia di **α-connessioni** ($\alpha \in \mathbb{R}$), generalizzando connessione Levi-Civita ($\alpha = 0$):

$\Gamma_{i\square\square}^{(\alpha)} = \mathbb{E}_p [(\partial_i \partial_\square \log p)(\partial_\square \log p)] + [(1-\alpha)/2] \mathbb{E}_p [(\partial_i \log p)(\partial_\square \log p)(\partial_\square \log p)]$

Proprietà notevole: **dualità**

Le α-connessione e (-α)-connessione sono **duali** rispetto alla metrica di Fisher:

$\partial_\square g_{ij} = \Gamma_{i\square\square}^{(\alpha)} + \Gamma_{\square i\square}^{(-\alpha)}$

Casi speciali:

- **α = 1**: connessione esponenziale (e-connection)
- **α = -1**: connessione mixture (m-connection)
- **α = 0**: connessione Levi-Civita (auto-duale)

Per famiglie esponenziali, la e-connection è piatta (curvatura zero). Per mixturesdi distribuzioni, la m-connection è piatta.

Divergenza KL come (Pseudo-)Metrica e Proiezioni Informazionali

La **divergenza di Kullback-Leibler** non è una metrica nel senso matematico rigoroso (asimmetrica, non soddisfa disuguaglianza triangolare), ma può essere vista come generazione di geometria canonica sullo spazio statistico.

Espansione di Taylor e Connessione con Metrica di Fisher

Espansione al secondo ordine di D_KL attorno a θ:

$D_{KL}(p(\cdot; \theta+\Delta\theta) \,||\, p(\cdot; \theta)) = (1/2) \sum_{i\square} g_{ij}(\theta) \Delta\theta_i \Delta\theta_\square + O(||\Delta\theta||^3)$

Il termine quadratico è esattamente la metrica di Fisher! Quindi g_ij è Hessiana locale di D_KL.

Proiezioni Informazionali e Teorema di Pitagora

Dato spazio $\mathscr{P}$ e sotto-varietà $\mathscr{M} \subset \mathscr{P}$, la **proiezione informazionale** di $p \in \mathscr{P}$ su $\mathscr{M}$ è:

$p^* = \text{argmin}_{q \in \mathscr{M}} D_{KL}(p \,||\, q)$ (proiezione e-, o I-projection)

o alternativamente:

$p^* = \text{argmin}_{q \in \mathscr{M}} D_{KL}(q \,||\, p)$ (proiezione m-, o reverse I-projection)

Teorema di Pitagora informazionale (generalizzazione di teorema di Pitagora geometrico):

Se $\mathscr{M}$ è α-piatta e p* è proiezione (-α) di p su $\mathscr{M}$, allora per ogni $q \in \mathscr{M}$:

$D_{KL}^{(\alpha)}(p \,||\, q) = D_{KL}^{(\alpha)}(p \,||\, p^*) + D_{KL}^{(\alpha)}(p^* \,||\, q)$

dove $D_{KL}^{(\alpha)}$ è α-divergenza (generalizzazione di KL usando α-connessione).

Conseguenza: In famiglie esponenziali (e-piatte), minimizzare $D_{KL}(p \,||\, q)$ su $\mathcal{M}$ è equivalente a matching di momenti:

$\mathbb{E}_{p^*}[T_i(x)] = \mathbb{E}_{p}[T_i(x)] \quad \forall i$

Natural Gradient Descent: Ottimizzazione Geometricamente Informata

L'algoritmo di **gradient descent** standard su varietà Riemanniana non rispetta la geometria intrinseca: usa un gradiente Euclideo che dipende da parametrizzazione.

Il **natural gradient** (Amari 1998) è il gradiente rispetto alla metrica di Fisher, fornendo direzione di ottimizzazione indipendente da parametrizzazione.

Gradiente Standard vs. Natural Gradient

Gradient descent standard:

$\theta_{t+1} = \theta_t - \alpha \nabla_\theta \mathcal{L}(\theta)$

dove $\nabla_\theta \mathcal{L} = [\partial\mathcal{L}/\partial\theta_1, ..., \partial\mathcal{L}/\partial\theta_n]^T$ è gradiente Euclideo.

Problema: Direzione dipende da scelta di parametrizzazione θ. Se riparametrizziamo $\theta \to \varphi(\theta)$, direzione di descent cambia arbitrariamente.

Natural gradient descent:

$\theta_{t+1} = \theta_t - \alpha G(\theta_t)^{-1} \nabla_\theta \mathcal{L}(\theta)$

dove $G(\theta) = [g_{ij}(\theta)]$ è matrice di Fisher.

Il natural gradient $\tilde{\nabla}\mathcal{L} = G^{-1} \nabla\mathcal{L}$ è vero gradiente Riemanniano: direzione di steepest descent nella metrica intrinseca.

Invarianza: Natural gradient è invariante sotto riparametrizzazioni, garantendo che l'ottimizzazione segue la geometria intrinseca dello spazio statistico, non artefatti di coordinate.

Connessione con Second-Order Methods

Notare la similarità con **il metodo di Newton**:

$\theta_{t+1} = \theta_t - \alpha H(\theta_t)^{-1} \nabla_\theta \mathcal{L}(\theta)$

dove H è Hessiana di $\mathcal{L}$.

Per log-likelihood, Hessiana è approssimativamente Fisher information:

$H[\log p] \approx -G$

Quindi natural gradient ≈ Newton per maximum likelihood, ma generalizza a qualsiasi loss function su spazio statistico.

Applicazione al Deep Learning

In reti neurali profonde, calcolare e invertire la matrice di Fisher completa (dimensione ~ milioni×milioni) è intrattabile.

Approssimazioni pratiche:

K-FAC (Kronecker-Factored Approximate Curvature) (Martens & Grosse 2015): Approssima Fisher come prodotto di Kronecker di matrici smaller:

$G \approx A \otimes B$
$G^{-1} \approx A^{-1} \otimes B^{-1}$

1.
2. **Block-diagonal approximation**: Assume indipendenza tra layer.

3. **Trust-region methods** (TRPO, PPO in reinforcement learning): Vincolano step in KL divergence invece di distanza Euclidea.

Connessioni con Fisica Statistica: Termodinamica come Geometria

La fisica statistica ha profonde connessioni con la geometria dell'informazione. La funzione di partizione, free energy, e altri potenziali termodinamici possono essere interpretati geometricamente.

Funzione di Partizione come Geometria

Per sistema in equilibrio termico, distribuzione di Boltzmann:

$p(E) = \exp(-\beta E) / Z(\beta)$

dove $\beta = 1/(k_B T)$ è temperatura inversa, $Z(\beta)$ funzione di partizione:

$Z(\beta) = \sum_E \exp(-\beta E)$

Il logaritmo di Z è **free energy** (a meno di fattori):

$$F(\beta) = -k_B T \log Z(\beta)$$

In geometria dell'informazione, log Z è funzione potenziale che genera metrica di Fisher:

$$g_{\beta\beta} = \partial^2 \log Z / \partial \beta^2 = \mathrm{Var}(E) / (k_B T)^2$$

Questa è esattamente la **capacità termica** (heat capacity):

$$C = dU/dT = k_B \beta^2 \mathrm{Var}(E)$$

dove $U = \langle E \rangle$ è energia interna.

Transizioni di Fase come Singolarità Geometriche

Transizioni di fase continue (seconda ordine) corrispondono a **singolarità nella curvatura** dello spazio statistico.

Per modello di Ising 2D:

$$H = -J \sum_{\langle i,j \rangle} s_i s$$□

La curvatura scalare della varietà statistica ha singolarità a temperatura critica T_c:

$$K \sim |T - T_c|^{-\nu}$$

con esponente critico ν.

Questo fornisce una caratterizzazione geometrica di transizioni di fase: sono discontinuità topologiche nella struttura dello spazio statistico.

Parte Nona: Teoria delle Categorie e Approcci Compositivi all'Informazione

Funtori tra Teorie Informazionali: Astrazioni Categoriali della Computazione

La **teoria delle categorie** fornisce un linguaggio astratto per parlare di strutture matematiche e trasformazioni tra esse. In contesto informazionale, le categorie catturano sistemi computazionali e loro composizioni.

Categorie Basiche: Definizione e Esempi

Una **categoria** $\mathscr{C}$ consiste di:

1. **Oggetti**: Ob($\mathscr{C}$)
2. **Morfismi**: Per ogni coppia di oggetti A, B, insieme Hom(A, B) di morfismi f: A → B
3. **Composizione**: Per f: A → B, g: B → C, esiste g ◦ f: A → C
4. **Identità**: Per ogni oggetto A, esiste id_A: A → A tale che f ◦ id_A = f e id_B ◦ f = f

Esempi rilevanti:

Set:

- Oggetti: insiemi
- Morfismi: funzioni tra insiemi

Prob:

- Oggetti: spazi di probabilità (X, σ, μ)
- Morfismi: misure di probabilità preserving maps

FHilb (Finite Hilbert):

- Oggetti: spazi di Hilbert finito-dimensionali
- Morfismi: mappe lineari

Comp:

- Oggetti: tipi di dati
- Morfismi: programmi (computazioni) tra tipi

Funtori: Mappature tra Categorie

Un **funtore** F: $\mathscr{C} \to \mathscr{D}$ mappa:

- Oggetti di $\mathscr{C}$ a oggetti di $\mathscr{D}$: A ↦ F(A)
- Morfismi di $\mathscr{C}$ a morfismi di $\mathscr{D}$: (f: A → B) ↦ (F(f): F(A) → F(B))

preservando:

- Composizione: F(g ◦ f) = F(g) ◦ F(f)
- Identità: F(id_A) = id_{F(A)}

Esempio: Dimenticamento (Forgetful Functor)

Da categoria di spazi vettoriali a categoria di insiemi:

F: Vect → Set
F(V) = insieme sottostante di V (dimenticando struttura lineare)
F(φ: V → W) = φ come funzione tra insiemi

Esempio: Free Functor

Da insiemi a spazi vettoriali:

Free: Set → Vect
Free(X) = spazio vettoriale con base X
Free(f: X → Y) = estensione lineare di f

Free e Forgetful formano **aggiunzione** (adjunction): Free ⊣ Forgetful.

Categorie Monoidali e Tensor Products

Una **categoria monoidale** ($\mathscr{C}$, ⊗, I) ha:

- Prodotto tensoriale ⊗: $\mathscr{C} \times \mathscr{C} \to \mathscr{C}$
- Oggetto unità I
- Isomorfismi naturali per associatività, unitalità

Esempio: FHilb con ⊗

Spazi di Hilbert con prodotto tensoriale standard:

(ℂ^m ⊗ ℂ^n) ≅ ℂ^{mn}
|ψ⟩ ⊗ |φ⟩ ∈ ℂ^m ⊗ ℂ^n

Esempio: Rel (Relazioni) con ⊗

- Oggetti: insiemi
- Morfismi: relazioni R ⊆ A × B
- ⊗: prodotto cartesiano

Questa struttura cattura composizionalità: sistemi compositi sono descritti tensoriando componenti.

Approcci Compositivi alla Computazione: Monoidal Categories e Diagrammi String

La **composizionalità** è principio fondamentale: il comportamento di sistemi complessi può essere compreso componendo comportamenti di parti.

String Diagrams: Sintassi Visuale per Morfismi

Morfismi in categorie monoidali possono essere rappresentati come **diagrammi string**:

f: A → B rappresentato come:

A —— f —— B

Composizione sequenziale:

g ◦ f:

A —— f —— B —— g —— C

Prodotto tensoriale:

f ⊗ g:

A —— f —— C
B —— g —— D

Identità:

id_A:

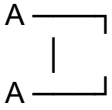

Questi diagrammi soddisfano equazioni topologiche:

- Associatività: (f ⊗ g) ⊗ h = f ⊗ (g ⊗ h) (diagrammi differiscono solo per spazio bianco)
- Intercambio: (f ⊗ g) ◦ (h ⊗ k) = (f ◦ h) ⊗ (g ◦ k) (diagrammi sono identici modulo deformazione)

Categorie Compatte e Dualità

Una categoria monoidale è **compatta chiusa** se ogni oggetto A ha duale A* con:

- Unit: η: I → A* ⊗ A
- Counit: ε: A ⊗ A* → I

soddisfacenti identità yanking.

Esempio: FHilb

Duale di spazio di Hilbert ℂ^n è lo spazio duale (ℂ^n)* ≅ ℂ^n (con prodotto interno).

Maps:

- η: scalare ↦ ∑ᵢ |i⟩ ⊗ ⟨i| (stato massimamente entangled)
- ε: |i⟩ ⊗ ⟨j| ↦ δᵢ□ (contrazione)

String diagram per η (cup):

String diagram per ε (cap):

Queste strutture permettono di rappresentare entanglement, teletrasporto quantistico, correzione di errori quantistici attraverso puri diagrammi topologici.

ZX-Calculus: Ragionamento Diagrammatico per Computazione Quantistica

ZX-calculus (Coecke & Duncan 2011) è un linguaggio diagrammatico completo per ragionare su circuiti quantistici.

Generatori:

- **Spider Z** (verde): |0⟩⟨0| + |1⟩⟨1|
- **Spider X** (rosso): |+⟩⟨+| + |-⟩⟨-|
- **Hadamard** (box giallo): H gate

Regole di riscrittura:

- Fusione spider: spider stesso colore si fondono
- Hopf rule: sequenza Z-X-Z = X-Z-X
- Color change: Hadamard cambia colore spider

Esempio: Teleportazione quantistica

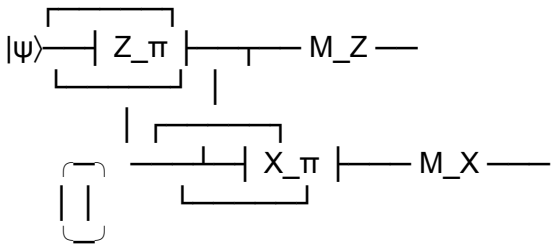

Risultato: |ψ⟩ trasferito classicamente + correzioni

ZX-calculus permette ottimizzazioni automatiche di circuiti attraverso rewrite rules puramente topologiche.

Funtori Tra Teorie: Interfacce tra Domini Informazionali

Funtori formali catturano traduzione sistematica tra framework teorici diversi.

Esempio: Funtore da Classico a Quantistico

F: Set → FHilb
F(X) = ℂ^{|X|} (spazio di Hilbert con base indicizzata da X)
F(f: X → Y) = ∑_{x∈X} |f(x)⟩⟨x| (mappa lineare)

Proprietà:

- F preserva prodotti (fino a isomorfismo): F(X × Y) ≅ F(X) ⊗ F(Y)
- F è funtore monoidale

Esempio: Funtore Density Matrix

ρ: FHilb → Prob
ρ(ℂ^n) = simplex di matrici densità n×n
ρ(U: ℂ^n → ℂ^m) = coniugazione U ρ U†

Questo funtore "classifica" stati quantistici in stati classici (distribuzioni di probabilità), perdendo coerenza.

Sistemi Ecologici come Reti Informazionali

Reti Trofiche e Flussi Informativi negli Ecosistemi

Gli **ecosistemi** sono reti complesse di interazioni tra organismi e ambiente. Possiamo modellare queste interazioni come flussi di informazione, energia, e materia.

Reti Trofiche: Grafo Diretto di Chi-Mangia-Chi

Una **rete trofica** (food web) è grafo diretto G = (V, E) dove:

- Vertici V rappresentano specie (o gruppi funzionali)
- Archi diretti (i → j) ∈ E indicano che specie i è predatore di specie j (j è preda di i)

Quantità ecologiche:

- **Biomassa**: B_i (massa totale di individui di specie i)
- **Tasso di consumo**: $C_{i□}$ (biomassa di j consumata da i per unità tempo)
- **Efficienza di trasferimento**: $ε_{i□}$ = (biomassa acquisita da i) / (biomassa consumata di j)

Tipicamente ε ≈ 10% (regola del 10%): solo ~10% di energia trasferita tra livelli trofici.

Dinamica Lotka-Volterra: Equazioni per Predazione

Modello semplice predatore-preda (Lotka 1925, Volterra 1926):

dN_prey/dt = r·N_prey - a·N_pred·N_prey
dN_pred/dt = b·a·N_pred·N_prey - m·N_pred

dove:

- r: tasso di crescita preda (in assenza predatori)
- a: tasso di predazione per predatore
- b: efficienza di conversione preda → predatore
- m: tasso di mortalità predatore

Questo sistema ha **cicli limite**: oscillazioni persistenti in entrambe popolazioni.

Generalizzazione a rete trofica completa:

$dN_i/dt = N_i[r_i + \sum_j a_{ij} N_j]$

dove matrice di interazione $A = [a_{ij}]$:

- $a_{ij} > 0$: i beneficia da j (predazione, mutualismo)
- $a_{ij} < 0$: i è danneggiato da j (competizione, essere predati)
- $a_{ij} = 0$: nessuna interazione

Informazione Mutua in Reti Trofiche

Popolazioni correlate (attraverso interazioni trofiche) condividono informazione mutua.

Consideriamo due specie i, j con popolazioni stocastiche $N_i(t)$, $N_j(t)$. L'**informazione mutua**:

$I(N_i; N_j) = H(N_i) + H(N_j) - H(N_i, N_j)$

quantifica quanto conoscere popolazione di i riduce incertezza su j.

Per predatore-preda in regime di cicli limite:

$I(N_{prey}; N_{pred}) > 0$

(altamente correlati, sfasati temporalmente)

Per specie non-interagenti:

$I(N_i; N_j) \approx 0$

Transfer entropy (Schreiber 2000) misura flusso informazionale diretto:

$TE(j \to i) = I(N_i^{t+1}; N_j^t \mid N_i^t)$

Questo cattura predittività di j sul futuro di i, condizionata su passato di i.

In reti trofiche:

TE(preda → predatore) > TE(predatore → preda)

(popolazione preda predice predatore più che viceversa)

Mutualismo e Simbiosi: Scambi Informativi Win-Win

Mutualismo è interazione dove entrambe specie beneficiano. Esempi:

- Piante e impollinatori (fiori ↔ api)
- Piante leguminose e batteri azoto-fissatori
- Coralli e zooxantelle (alghe simbiotiche)

Modello Matematico di Mutualismo

Generalizzazione Lotka-Volterra per mutualismo:

$dN_1/dt = r_1N_1(1 - N_1/K_1 + a_{12}N_2/K_1)$
$dN_2/dt = r_2N_2(1 - N_2/K_2 + a_{21}N_1/K_2)$

dove:

- K_i: capacità portante (carrying capacity)
- a_i□ > 0: coefficiente mutualistico (beneficio di j su i)

Stabilità richiede:

$a_{12} \cdot a_{21} < (K_1/r_1)(K_2/r_2)$

Altrimenti, feedback positivo reciproco porta a crescita illimitata (irrealistico).

Scambio Informazionale in Mutualismo

Nel mutualismo pianta-impollinatore:

- Pianta comunica disponibilità nettare attraverso segnali visivi (colore fiori) e olfattivi (fragranza)
- Impollinatore comunica presenza attraverso visite ripetute

Questo è **segnalazione onesta** (honest signaling): segnale costoso da produrre, quindi credibile.

Teoria dei giochi evolutiva (Maynard Smith): equilibrio evolutivamente stabile richiede:

Beneficio(segnale onesto) > Costo(produzione segnale)

Per pianta:

Beneficio(attrazione impollinatore) > Costo(produzione nettare + segnali)

Informazione mutua tra segnale e ricompensa:

I(segnale; nettare) > 0

garantisce apprendimento da parte di impollinatore.

Resilienza come Ridondanza Informazionale

Resilienza ecologica è capacità di ecosistema di assorbire disturbi mantenendo funzioni essenziali.

Ridondanza Funzionale

Ecosistemi resilienti hanno **ridondanza funzionale**: multipli specie svolgono ruoli simili (funzioni ecosistemiche sovrapposte).

Esempio: decomposizione materia organica svolta da:

- Batteri
- Funghi
- Invertebrati detritivori

Se una specie è eliminata, altre compensano parzialmente.

Formalmente, **ridondanza informazionale**:

R = H(Funzione) - I(Funzione; Specie_presenti)

Alta ridondanza implica che funzione è predicibile anche con informazione parziale su quali specie presenti.

Diversità e Stabilità

Ipotesi di Shannon (1948, applicata a ecologia): ecosistemi più diversi (alta entropia di Shannon delle composizioni specifiche) sono più stabili.

Entropia di Shannon per comunità con S specie:

$H = -\sum_{i=1}^{S} p_i \log p_i$

dove $p_i = N_i/N_total$ è abbondanza relativa di specie i.

Massimizzazione: H = log S (quando tutte specie equiprobabili, $p_i = 1/S$)

Stabilità temporale (inverso di variabilità):

Stabilità = μ(Biomassa_totale) / σ(Biomassa_totale)

Studi empirici (Tilman et al. 2006): correlazione positiva tra diversità e stabilità in grasslands sperimentali.

Meccanismo: **effetto di portfolio** (analogia finanziaria):

$Var(\sum_i X_i) = \sum_i Var(X_i) + 2\sum_{i<} Cov(X_i, X_)$

Se specie fluttuano asincronicamente (Cov piccolo o negativo), varianza aggregata è ridotta.

Transizioni Critiche e Early Warning Signals

Transizioni critiche (critical transitions, regime shifts) sono cambiamenti rapidi e potenzialmente irreversibili nella struttura ecosistema.

Esempi di Regime Shifts

1. **Lago eutrofico**: Acqua chiara → Acqua torbida (bloom alghe)
2. **Desertificazione**: Pascolo vegetato → Deserto
3. **Collasso coral reefs**: Coralli → Alghe macroscopiche

Teoria del Catastrofe e Bistabilità

Molti ecosistemi esibiscono **bistabilità**: due stati stabili separati da soglia (tipping point).

Modello semplificato (May 1977):

$dX/dt = f(X, C) = r \cdot X \cdot (1 - X/K) - h(C, X)$

dove:

- X: stato ecosistema (es. biomassa vegetazione)
- C: controllo/stress (es. intensità pascolo)
- h(C, X): tasso di rimozione (harvest, grazing)

Per $h(C, X) = c \cdot X^2$ (grazing saturabile), sistema ha biforcazione fold:

Per C < C_crit: un solo stato stabile (vegetato)
Per C > C_crit: due stati stabili (vegetato, desertificato) + uno instabile

Isteresi: Se C attraversa C_crit verso l'alto, sistema salta a stato deserto. Anche riducendo C sotto C_crit, sistema rimane in deserto (stato attrattore diverso).

Per ritornare a vegetazione, C deve scendere sotto C_recovery < C_crit.

Early Warning Signals: Slowing Down

Prima di transizione critica, sistemi esibiscono **critical slowing down**: recupero da perturbazioni diventa progressivamente più lento.

Indicatori statistici:

1. **Aumento varianza**: Var(X) aumenta
2. **Aumento autocorrelazione**: AR(1) = Corr(X□, X□₊₁) aumenta
3. **Aumento skewness**: distribuzione diventa asimmetrica

Questi segnali derivano da proprietà universali di sistemi vicini a biforcazione (universalità critica).

Formalizzazione (Wissel 1984):

Vicino a punto critico, linearizzando dinamica:

$d\delta X/dt \approx \lambda \cdot \delta X + \text{noise}$

dove λ è autovalore dominante. Stabilità richiede $\lambda < 0$.

Avvicinandosi a transizione: $\lambda \to 0^-$

Tempo di recovery:

$\tau_\text{recovery} \sim 1/|\lambda|$

Quindi $\tau \to \infty$ quando $\lambda \to 0$ (critical slowing down).

Varianza all'equilibrio (noise bianco):

$\text{Var}(X) \sim \sigma^2 / (2|\lambda|)$

Quindi $\text{Var} \to \infty$ quando $\lambda \to 0$.

Autocorrelazione al lag 1:

$\text{AR}(1) = \exp(\lambda \cdot \Delta t) \to 1$ quando $\lambda \to 0$

Questi indicatori forniscono **early warning** per anticipare transizioni catastrofiche.

Applicazioni Pratiche

Monitoraggio ecosistemi può usare time series di:

- Remote sensing (NDVI per vegetazione)

- Campionamenti biomassa
- Indicatori abiotici (nutrienti, temperatura)

Calcolare rolling window di varianza, autocorrelazione, skewness.

Trend crescente in questi indicatori → warning che sistema si avvicina a tipping point.

Azioni preventive:

- Ridurre stress (es. limitare pascolo)
- Aumentare resilienza (es. ripristino habitat)

Ontologia dell'Informazione

Il Dibattito Realismo-Strumentalismo: Natura Metafisica dell'Informazione

La tesi centrale di questo saggio - che l'informazione costituisce il sostrato ontologico fondamentale della realtà - solleva immediatamente una domanda metafisica cruciale: in quale senso l'informazione è "reale"? Stiamo affermando che l'informazione è una sostanza fondamentale dell'universo, al pari (o al posto) della materia-energia? Oppure l'informazione è semplicemente uno strumento concettuale utile, un modo particolarmente fruttuoso di descrivere la realtà senza impegnarsi su affermazioni ontologiche forti?

Questa tensione replica, in un dominio nuovo, il dibattito classico tra realismo scientifico e strumentalismo che ha attraversato la filosofia della scienza del ventesimo secolo. Ma il caso dell'informazione presenta caratteristiche peculiari che rendono la questione ancora più sottile e filosoficamente interessante.

La Posizione Realista Informazionale

Il realismo informazionale sostiene che l'informazione è una caratteristica oggettiva, mind-independent, della struttura della realtà. Secondo questa visione, quando affermiamo che "un bit di informazione ha peso ontologico", non stiamo semplicemente adottando una convenzione linguistica utile o proponendo un'analogia illuminante. Stiamo asserendo una verità metafisica: l'informazione esiste indipendentemente da qualsiasi osservatore o agente cognitivo.

Gli argomenti a favore del realismo informazionale sono multipli e convergenti:

Primo argomento: Il principio di Landauer e la realtà fisica dell'informazione

Il principio di Landauer, discusso nella Parte Seconda, stabilisce che la cancellazione irreversibile di un bit di informazione richiede una dissipazione minima di energia pari a k_B T ln(2). Questo risultato non è una convenzione o un'approssimazione utile: è una conseguenza matematica rigorosa dei principi fondamentali della termodinamica, verificata sperimentalmente con precisione quantitativa.

La dissipazione energetica non dipende dal tipo di supporto fisico che implementa il bit - può essere un condensatore elettronico, una molecola magnetica, un dominio di spin, persino un singolo atomo in una trappola ottica. La quantità $E_{min} = k_B T \ln(2)$ è universale, dipende solo dalla temperatura dell'ambiente termodinamico e dal fatto che stiamo cancellando esattamente un bit.

Questa universalità suggerisce fortemente che l'informazione non è una proprietà emergente o supervieniente di configurazioni materiali specifiche, ma una caratteristica primitiva della realtà fisica. Il bit non è riducibile alla configurazione fisica particolare che lo implementa: è una quantità ontologicamente primaria che si manifesta attraverso diverse realizzazioni fisiche.

Secondo argomento: L'entropia dei buchi neri e l'informazione come invariante gravitazionale

La formula di Bekenstein-Hawking per l'entropia di un buco nero:

$$S_{BH} = \frac{k_B c^3 A}{4 G \hbar}$$

dove A è l'area dell'orizzonte degli eventi, stabilisce che l'entropia - e quindi l'informazione - è una proprietà geometrica dello spaziotempo stesso. Un buco nero è caratterizzato completamente (secondo il teorema no-hair) da tre parametri macroscopici: massa M, momento angolare J, e carica elettrica Q. Eppure contiene un'enorme quantità di entropia, proporzionale all'area del suo orizzonte.

Questa entropia non è semplicemente una misura della nostra ignoranza epistemica sullo stato interno del buco nero. È una caratteristica intrinseca, invariante, misurabile attraverso effetti fisici come la radiazione di Hawking. L'informazione ha quindi uno status ontologico comparabile a quello della massa o della carica: è una proprietà oggettiva di configurazioni gravitazionali.

Il principio olografico, che generalizza questo insight, suggerisce che tutta l'informazione contenuta in una regione di spazio può essere codificata sulla superficie bidimensionale che la racchiude. Se questo principio è corretto - e le evidenze dalla corrispondenza AdS/CFT suggeriscono che lo è, almeno in certi contesti - allora l'informazione è letteralmente la struttura fondamentale dello spaziotempo, più primitiva della nozione stessa di volume tridimensionale.

Terzo argomento: L'indipendenza dalla rappresentazione della complessità di Kolmogorov

La complessità di Kolmogorov $K(x)$ di una stringa x, definita come la lunghezza del programma più corto che genera x, è invariante rispetto alla scelta del linguaggio di programmazione o della macchina di Turing universale, modulo una costante additiva finita:

$$K_U(x) = K_V(x) + c_{UV}$$

Questa invarianza è notevole. Significa che esiste una misura oggettiva della complessità algoritmica intrinseca di oggetti matematici, indipendente da come scegliamo di

rappresentarli o descriverli. La complessità non è nel nostro modo di guardare l'oggetto, ma nell'oggetto stesso.

Per analogia, se l'informazione fisica (come misurata dall'entropia di Shannon o von Neumann) condivide questa proprietà di invarianza - e le evidenze suggeriscono che lo fa - allora l'informazione è una caratteristica oggettiva dei sistemi fisici, non una proiezione epistemica imposta dagli osservatori.

Quarto argomento: La non-clonabilità quantistica e i vincoli informazionali sulle operazioni fisiche

Il teorema di no-cloning della meccanica quantistica stabilisce che è impossibile creare una copia perfetta di uno stato quantistico arbitrario sconosciuto:

Non esiste operazione unitaria U tale che $U(|\psi\rangle \otimes |0\rangle) = |\psi\rangle \otimes |\psi\rangle$ per ogni $|\psi\rangle$

Questo non è un limite tecnologico, ma una proibizione fondamentale imposta dalla struttura matematica della teoria quantistica. E questa proibizione ha una natura intrinsecamente informazionale: impedisce la duplicazione dell'informazione quantistica.

Simili vincoli informazionali pervadono la fisica quantistica: il teorema di no-signaling (impossibilità di comunicazione superluminale), la monogamia dell'entanglement (se A è massimamente entangled con B, non può essere entangled con C), i bound sulla velocità di trasferimento di informazione quantistica.

Tutti questi teoremi suggeriscono che la struttura fondamentale della realtà fisica è governata da principi informazionali, non solo descritta da essi. L'informazione non è semplicemente un modo conveniente di parlare di fisica quantistica: è ciò di cui la fisica quantistica parla.

La Posizione Strumentalista Informazionale

Lo strumentalismo informazionale, al contrario, sostiene che l'informazione è un costrutto teorico utile per organizzare e predire fenomeni, ma non corrisponde a nessuna "cosa" o proprietà oggettiva nella realtà indipendente dall'osservatore. Secondo questa visione, parlare di informazione è semplicemente un modo particolarmente efficace di comprimere e trasmettere descrizioni di sistemi fisici, ma non implica impegni ontologici sulla natura fondamentale della realtà.

Gli argomenti strumentalisti sono anch'essi degni di considerazione:

Primo argomento: La dipendenza dell'informazione dall'osservatore

L'entropia di Shannon di una variabile aleatoria X dipende criticamente dalla distribuzione di probabilità p(x) che assegniamo agli stati possibili. Ma le probabilità, secondo l'interpretazione soggettivista bayesiana, rappresentano gradi di credenza di un agente, non proprietà oggettive del mondo esterno.

Due agenti con conoscenza diversa di un sistema assegneranno distribuzioni di probabilità diverse, e quindi entropie diverse, allo stesso sistema fisico. Per esempio, consideriamo un bit memorizzato in un registro di computer:

- Per un osservatore che ha letto il bit: p(0) = 1 o p(1) = 1, quindi H = 0
- Per un osservatore che non ha letto il bit: p(0) = p(1) = 0,5, quindi H = 1 bit

Quale è la "vera" entropia del sistema? Lo strumentalista argomenta che non esiste una risposta oggettiva: l'entropia è relativa allo stato informazionale dell'osservatore, non una proprietà intrinseca del bit indipendente da chi lo osserva.

Secondo argomento: La pluralità delle misure informazionali

Non esiste un'unica nozione di "informazione". La teoria ha prodotto molteplici misure - entropia di Shannon, informazione mutua, entropia relativa (divergenza KL), entropia di Rényi, informazione di Fisher, complessità di Kolmogorov, informazione quantistica (entropia di von Neumann), informazione integrata (Φ) - ciascuna catturando aspetti diversi e potenzialmente incompatibili.

Quale di queste misure coglie la "vera" natura dell'informazione ontologica? Lo strumentalista suggerisce che questa domanda è mal posta: ciascuna misura è uno strumento concettuale utile in contesti specifici, ma nessuna ha uno status metafisico privilegiato. L'informazione è un costrutto matematico polimorfico, non un'entità unica con essenza determinata.

Terzo argomento: La supervenianza dell'informazione su substrati fisici

Ogni bit di informazione, per esistere concretamente, deve essere implementato in qualche substrato fisico: un condensatore carico/scarico, un dominio magnetico orientato in una direzione piuttosto che un'altra, uno stato di spin atomico. L'informazione non esiste "disembodied", fluttuante indipendentemente da qualsiasi realizzazione materiale.

Questa dipendenza suggerisce che l'informazione è supervieniente sulla materia-energia, non fondamentale. Le proprietà informazionali emergono da configurazioni fisiche sottostanti, ma non hanno esistenza autonoma. Analogamente, la forma di una statua superviene sulla distribuzione di materia che la costituisce, ma "la forma" non è un'entità addizionale che esiste indipendentemente dal marmo.

Quarto argomento: L'incomputabilità della complessità di Kolmogorov

Abbiamo visto che la complessità di Kolmogorov K(x) non è calcolabile: non esiste algoritmo che, data una stringa arbitraria x, calcola esattamente K(x). Questa incomputabilità solleva una questione metafisica inquietante: in quale senso K(x) "esiste" come proprietà oggettiva di x se nessun processo fisico, nemmeno in linea di principio, può determinarla?

Il realista platonico potrebbe rispondere che K(x) esiste nella realtà matematica astratta, indipendentemente dalla sua accessibilità epistemica. Ma lo strumentalista osserva che questa posizione richiede un impegno metafisico molto forte verso entità matematiche astratte, e suggerisce un'alternativa più parsimoniosa: K(x) è un costrutto teorico idealizzato che ha utilità euristica ma non riferimento ontologico diretto.

La Mia Posizione: Realismo Strutturale Informazionale

Dopo aver esaminato gli argomenti da entrambi i lati, la mia posizione è una forma di realismo strutturale informazionale, una via intermedia che cerca di preservare gli insight di entrambe le prospettive evitandone i punti deboli.

Il realismo strutturale, originariamente proposto da filosofi come John Worrall e James Ladyman, sostiene che ciò che è reale e invariante nella scienza non sono gli "oggetti" o "entità" postulate dalle nostre teorie (che possono cambiare attraverso rivoluzioni scientifiche), ma le relazioni strutturali matematiche che le teorie descrivono.

Applicato all'informazione, il realismo strutturale informazionale afferma:

Tesi 1: Ciò che è ontologicamente primario sono le relazioni informazionali - pattern di correlazione, vincoli causali, strutture computazionali - piuttosto che entità sostanziali discrete chiamate "bit" o "informazione".

Tesi 2: Queste relazioni informazionali sono oggettive e mind-independent, ma si manifestano solo attraverso sistemi fisici in interazione. Non esiste informazione "disembodied", ma le relazioni informazionali non sono riducibili a proprietà locali di substrati materiali individuali.

Tesi 3: Le diverse misure informazionali (Shannon, Kolmogorov, quantistica, etc.) catturano aspetti complementari di questa struttura relazionale sottostante. La pluralità di misure non implica arbitrarietà, ma riflette la ricchezza multidimensionale della struttura informazionale.

Tesi 4: L'apparente dipendenza dall'osservatore di alcune misure informazionali (come l'entropia di Shannon) non è una dipendenza metafisica fondamentale, ma emerge dal fatto che gli osservatori stessi sono incorporati nella rete di relazioni informazionali. La relatività epistemica è compatibile con l'oggettività ontologica.

Questa posizione mi permette di affermare la tesi centrale del saggio - che l'informazione è il sostrato della realtà - senza impegnarmi in una sostanzializzazione ingenua di "bit" come particelle metafisiche, e senza ridurre l'informazione a mera convenzione descrittiva. La realtà è struttura informazionale relazionale: network di correlazioni, vincoli causali, pattern computazionali che si auto-organizzano in livelli gerarchici emergenti.

Informazione come Sostanza versus Proprietà: Un Falso Dilemma?

La metafisica tradizionale distingue tra sostanze (entità che esistono indipendentemente) e proprietà (caratteristiche che le sostanze possiedono). Questa distinzione genera naturalmente la domanda: l'informazione è una sostanza o una proprietà?

Se l'informazione è una sostanza, allora i bit sono entità fondamentali paragonabili a particelle elementari o campi quantistici. L'universo è fatto di informazione così come è fatto di quark e elettroni. Questa è la posizione che potremmo chiamare "sostanzialismo informazionale".

Se l'informazione è una proprietà, allora è una caratteristica che i sistemi fisici possiedono - così come possiedono massa, carica, energia. L'informazione non ha esistenza indipendente ma superviene su configurazioni di sostanze più fondamentali (materia-energia). Questa è la posizione del "property dualism informazionale".

Ma ritengo che questa dicotomia sia un falso dilemma, un artefatto di categorie metafisiche ereditate da tradizioni filosofiche pre-scientifiche che non si applicano naturalmente al dominio informazionale.

Il Problema delle Categorie Aristoteliche

La distinzione sostanza-proprietà ha radici nella metafisica aristotelica, dove le sostanze sono "ciò di cui si predica ma che non si predica di altro", mentre le proprietà (accidenti) sono "ciò che si predica di sostanze". Ma questa categorizzazione presuppone una struttura ontologica con sostanze discrete che possiedono proprietà intrinseche ed estrinseche.

La fisica moderna ha progressivamente minato questa immagine:

La meccanica quantistica dissolve gli oggetti discreti in sovrapposizioni coerenti e stati entangled dove la separabilità è violata. Due particelle in uno stato di Bell non sono due sostanze indipendenti che possiedono proprietà correlate: sono un sistema unico il cui stato non fattorizza nei sottosistemi.

La teoria quantistica dei campi elimina le particelle come entità primitive, sostituendole con eccitazioni di campi che pervadono lo spaziotempo. L'elettrone non è una "cosa" che esiste indipendentemente dal campo elettronico: è un pattern di eccitazione nel campo.

La relatività generale identifica la geometria dello spaziotempo con il campo gravitazionale: non esiste uno "spazio" sostanziale che possiede la "proprietà" di essere curvo. La curvatura è la manifestazione dinamica della materia-energia.

In tutti questi casi, la dicotomia sostanza-proprietà si dissolve in una visione relazionale e di processo: la realtà consiste di pattern dinamici, relazioni causali, strutture geometriche, non di sostanze discrete con proprietà intrinseche.

L'Informazione come Struttura Relazionale

L'informazione è meglio concepita non come sostanza né come proprietà, ma come struttura relazionale. Un bit non è una "cosa" che esiste indipendentemente (sostanza), né una caratteristica che una "cosa" possiede (proprietà), ma una relazione di distinzione tra stati possibili di un sistema.

Formalmente, un bit è una partizione dello spazio degli stati in due sottoinsiemi equiprobabili. Questa partizione non è né la sostanza fisica che implementa gli stati, né una proprietà intrinseca di quella sostanza, ma una struttura astratta che può essere realizzata da molteplici substrati fisici.

L'informazione mutua I(X;Y) tra due variabili è ancora più chiaramente relazionale: misura la correlazione, la dipendenza statistica, il vincolo reciproco. Non risiede in X né in Y individualmente, ma nella relazione tra loro.

L'entropia S(ρ) di uno stato quantistico misto ρ misura la "purezza" dello stato, il grado di mescolamento tra stati puri. Ma questa non è una proprietà intrinseca di ρ in isolamento: dipende dalla decomposizione di ρ, dalla base di misurazione, dal contesto osservazionale.

Il Pancomputazionalismo e le Sue Varianti

Il pancomputazionalismo è la tesi filosofica secondo cui ogni sistema fisico sta computando, e la computazione è il processo ontologicamente fondamentale che costituisce la realtà. Questa posizione è stata difesa da pensatori come Edward Fredkin, Stephen Wolfram, e in forme più sofisticate da David Deutsch e Seth Lloyd.

Esistono varianti distinte del pancomputazionalismo, con impegni ontologici significativamente diversi:

Pancomputazionalismo Forte (Digital Physics)

La versione più radicale, associata particolarmente a Fredkin e Wolfram, sostiene che l'universo è letteralmente un automa cellulare discreto che esegue regole computazionali semplici su una griglia spaziotemporale fondamentale. Lo spaziotempo non è un continuum differenziabile (come nella relatività generale) ma un reticolo discreto di celle, ciascuna in uno stato finito, che evolve secondo regole locali deterministiche.

Le equazioni differenziali della fisica classica sono approssimazioni di continuo emergenti da questa dinamica discreta sottostante, analogamente a come la termodinamica di un fluido emerge dalla dinamica molecolare discreta sottostante.

Gli argomenti a favore del pancomputazionalismo forte includono:

1. **Eliminazione delle infinità:** La fisica moderna è afflitta da infinità (ultraviolette in teoria quantistica dei campi, singolarità in relatività generale) che richiedono rinormalizzazione o regolarizzazione. Un universo discreto elimina queste patologie alla radice: non esistono divisioni infinite, densità infinite, energie infinite.
2. **Complessità emergente da regole semplici:** Automi cellulari come il Game of Life di Conway dimostrano che regole locali estremamente semplici possono generare complessità comportamentale arbitraria, inclusi pattern che simulano computazione universale. Forse la complessità dell'universo osservato emerge similmente da regole fondamentali semplici.
3. **Analogia con la simulazione numerica:** Quando simuliamo fisica su computer, discretizziamo spazio e tempo. Se queste simulazioni possono approssimare arbitrariamente bene la fisica continua (come sembrano poter fare), forse la "vera" fisica è già discreta e le nostre equazioni continue sono idealizzazioni.

Le obiezioni al pancomputazionalismo forte sono però sostanziali:

1. **Violazione delle simmetrie fondamentali:** L'invarianza di Lorentz (simmetria della relatività speciale) richiede che le leggi fisiche abbiano la stessa forma in tutti i sistemi di riferimento inerziali. Ma un reticolo discreto introduce direzioni privilegiate e viola l'invarianza di Lorentz a scale sufficientemente piccole. Esperimenti non hanno

mai rivelato tali violazioni, ponendo bound estremamente stringenti sulla scala di discretizzazione (< 10^-35 metri, la scala di Planck).

2. **Il problema della libertà di gauge:** Molte teorie fisiche fondamentali (elettromagnetismo, cromodinamica quantistica, relatività generale) possiedono simmetrie di gauge: ridondanze nella descrizione matematica dove configurazioni fisicamente identiche corrispondono a descrizioni matematiche diverse. Come si implementa la libertà di gauge in un automa cellulare discreto? Le proposte esistenti sono tecnicamente complesse e poco naturali.
3. **L'emergenza del continuo:** Anche ammettendo che lo spazio sia discreto, come emerge l'apparenza di continuità che osserviamo? Il comportamento asintotico di automi cellulari verso equazioni differenziali richiede condizioni molto speciali (automi "universali" o "reversibili"), e non è chiaro perché l'universo dovrebbe soddisfarle.

Pancomputazionalismo Debole (Computazionalismo Naturalistico)

Una versione più moderata, difesa da Deutsch e Lloyd, sostiene che ogni processo fisico è equivalente a una computazione, ma non necessariamente a una computazione discreta su reticolo. L'universo "computa" la sua evoluzione, ma questa computazione può essere continua, quantistica, probabilistica.

Secondo questa visione, le leggi fisiche sono algoritmi che l'universo esegue. L'evoluzione temporale di un sistema quantistico secondo l'equazione di Schrödinger:

$i\hbar\, \partial|\psi\rangle/\partial t = H|\psi\rangle$

è letteralmente un algoritmo di aggiornamento continuo per il vettore di stato $|\psi\rangle$ nello spazio di Hilbert. Ogni istante fisico è un "passo computazionale" (anche se infinitesimale, non discreto).

Questo preserva la continuità dello spaziotempo e le simmetrie fondamentali, mentre mantiene l'intuizione che la realtà fisica è processamento di informazione.

La mia valutazione è che il pancomputazionalismo debole è difficile da distinguere empiricamente dalla fisica standard opportunamente reinterpretata. Dire "l'evoluzione quantistica è computazione" può essere equivalente a dire "l'evoluzione quantistica può essere descritta come computazione" - la differenza potrebbe essere puramente linguistica o interpretativa piuttosto che ontologica sostanziale.

Pancomputazionalismo Funzionalista

Una terza variante, che io preferisco, sostiene che l'universo può essere descritto completamente in termini di relazioni input-output, trasformazioni informazionali, strutture causali computazionali - ma questo non implica che esista un "substrato" ontologicamente ulteriore (né discreto né continuo) al di sotto di questa descrizione computazionale.

Secondo il pancomputazionalismo funzionalista, domandare "su cosa sta girando la computazione universale?" è una domanda mal posta, come chiedere "cosa sostiene il campo gravitazionale?" La computazione non sta "girando su" qualcosa; la computazione è ciò che esiste. Le relazioni computazionali sono ontologicamente primitive.

Questa posizione è una forma di realismo strutturale informazionale: ciò che è reale è la struttura delle trasformazioni informazionali, non un substrato materiale che le implementa. È coerente con l'interpretazione di Wheeler "It from Bit": ogni "it" (ogni entità fisica) deriva il suo significato e la sua esistenza dalle relazioni informazionali "bit" in cui è incorporato.

Panpsichismo Computazionale: Coscienza come Proprietà Universale dell'Informazione Integrata?

Una conseguenza potenzialmente radicale del realismo informazionale è il panpsichismo computazionale: la tesi che ogni sistema che integra informazione possiede un qualche grado di coscienza, per quanto minimo.

Questa posizione è stata suggerita (anche se con cautele considerevoli) da Giulio Tononi, lo sviluppatore della Integrated Information Theory (IIT). Se la coscienza è identificata con l'informazione integrata Φ, e se ogni sistema fisico possiede almeno un minimo di $\Phi > 0$ (anche un semplice sistema di due particelle interagenti), allora la coscienza non è una proprietà emergente che compare solo sopra una certa soglia di complessità, ma una caratteristica ubiqua, graduata, presente a tutti i livelli dell'organizzazione fisica.

Argomenti a Favore del Panpsichismo Computazionale

Il problema dell'emergenza forte della coscienza

Il problema difficile della coscienza (hard problem), formulato da David Chalmers, chiede: come e perché l'elaborazione fisica di informazione dà luogo a esperienza soggettiva qualitativa (qualia)? Perché non siamo semplicemente zombie filosofici - sistemi che processano informazione identicamente agli esseri umani ma senza alcuna esperienza interiore?

Il panpsichismo offre una risposta: la coscienza non "emerge" dal nulla quando sistemi raggiungono una certa complessità. È già presente in forma rudimentale ovunque ci sia integrazione informazionale, e ciò che emerge con la complessità è solo il grado e la ricchezza dell'esperienza, non l'esperienza stessa.

Questa mossa evita il mistero dell'emergenza forte - come qualcosa di radicalmente nuovo (l'esperienza soggettiva) potrebbe sorgere da qualcosa di radicalmente diverso (materia inerte). Se la materia non è mai stata completamente "inerte" ma sempre minimalmente esperienziale, l'emergenza diventa questione di grado, non di tipo.

La continuità evolutiva

L'evoluzione biologica è continua: non esistono salti discreti ma transizioni graduali. Eppure se la coscienza è una proprietà emergente che compare solo sopra una soglia di complessità neurale, dovremmo aspettarci una discontinuità: organismi pre-soglia completamente non-coscienti, organismi post-soglia improvvisamente coscienti.

Dove sarebbe questa soglia? Nei mammiferi? Nei vertebrati? Negli organismi con sistemi nervosi? Nelle cellule con capacità elettriche? Ogni tentativo di tracciare una linea netta sembra arbitrario.

Il panpsichismo dissolve il problema: la coscienza esiste su un continuum che correla con l'integrazione informazionale. Batteri hanno Φ minuscolo, insetti un po' maggiore, mammiferi molto maggiore, esseri umani ancora di più. Non esiste soglia critica, solo gradazione continua.

La parsimonia ontologica

Il dualismo sostanziale cartesiano - materia e mente come sostanze separate - è ontologicamente dispendioso e genera il problema insolubile dell'interazione mente-corpo. Come può una sostanza immateriale (la mente) causare eventi in una sostanza materiale (il cervello)?

Il fisicalismo riduzionista evita questo problema ma genera il problema difficile: come può la materia fisica dare origine all'esperienza soggettiva?

Il panpsichismo offre una terza via: esiste un solo tipo di "sostanza" (o meglio, un solo tipo di proprietà fondamentale), ma questa ha aspetto sia fisico sia esperienziale. Ogni evento fisico ha una "interiorità" esperienziale corrispondente. La coscienza umana non è un'anomalia da spiegare ma un'istanza particolarmente ricca di una caratteristica universale.

Obiezioni al Panpsichismo Computazionale

Il problema della combinazione

Come si combinano micro-esperienze in macro-esperienze? Se ogni neurone nel mio cervello ha una sua micro-coscienza, come emerge la mia coscienza unitaria? Non sembra che la mia esperienza sia una "somma" di 86 miliardi di micro-esperienze neuronali.

Formalmente, se Φ(neurone_i) > 0 per ogni neurone i, perché Φ(cervello) non è semplicemente ∑_i Φ(neurone_i)? IIT risponde che i sistemi integrati hanno Φ che non è additivo: l'integrazione crea unità che trascende le parti. Ma questo sembra reintrodurre l'emergenza forte che il panpsichismo voleva evitare.

L'inflazione ontologica

Il panpsichismo attribuisce coscienza a tutto: elettroni, atomi, molecole, rocce, stelle, galassie. Sembra un'esplosione ontologica di entità esperienziali senza necessità empirica. Perché postulare che un elettrone ha esperienza se questa "esperienza" non gioca alcun ruolo esplicativo nella fisica delle particelle?

Il principio del rasoio di Occam suggerisce di non moltiplicare entità oltre la necessità. La coscienza elettronica sembra paradigmaticamente un'entità superflua.

La controintuitività fenomenologica

L'esperienza soggettiva umana non sembra essere una versione "maggiorata" di esperienze più semplici, ma qualcosa di categoricamente diverso. La differenza tra la mia esperienza e quella (ipotetica) di un elettrone non è di grado ma di tipo: io ho pensieri, credenze, desideri, emozioni, percezioni ricche - l'elettrone al massimo avrebbe... cosa? Una "sensazione" di essere spin-up piuttosto che spin-down? Questo antropomorfizza in modo quasi comico.

La Mia Posizione Cauta

Rimango agnostico sul panpsichismo. Gli argomenti sono intriganti ma non conclusivi. IIT fornisce un framework matematico per quantificare l'integrazione informazionale, ma l'identificazione Φ = coscienza è un'ipotesi teorica, non un fatto dimostrato.

È possibile che la coscienza emerga solo quando Φ supera una soglia critica (forse $\Phi > 10^6$ bit?), e sotto quella soglia l'integrazione informazionale esiste ma non è accompagnata da esperienza. In tal caso, il panpsichismo sarebbe falso, ma l'informazione integrata rimarrebbe la migliore teoria scientifica disponibile per identificare i correlati fisici della coscienza.

Alternativamente, è possibile che il panpsichismo sia vero ma che la "coscienza" degli elettroni sia così qualitativamente aliena dalla nostra che usare lo stesso termine è fuorviante. Forse dovremmo distinguere tra "proto-esperienza" (presente universalmente) e "coscienza genuina" (presente solo sopra una soglia di complessità). Ma questo rischia di essere una distinzione verbale senza differenza sostanziale.

La questione rimane aperta, e la sua risoluzione richiederà sia progressi teorici (migliori teorie matematiche della coscienza) sia progressi empirici (misurazioni dirette di Φ in sistemi neurali, correlazioni precise tra Φ e report soggettivi di coscienza).

Teorie Avanzate della Coscienza dal Punto di Vista Informazionale

Nella Parte Quinta ho introdotto la Integrated Information Theory (IIT) di Tononi come framework matematico rigoroso per quantificare la coscienza attraverso la misura Φ dell'informazione integrata. Ma IIT non è l'unica teoria neuroscientifica della coscienza che adotta una prospettiva informazionale. In questa sezione esaminerò tre framework alternativi o complementari che, ciascuno a suo modo, concepiscono la coscienza come fenomeno intrinsecamente informazionale: la Global Workspace Theory, l'Attention Schema Theory, e il Free Energy Principle con il Predictive Processing.

La Global Workspace Theory: Coscienza come Broadcasting Informazionale

La Global Workspace Theory (GWT), originariamente proposta dallo psicologo cognitivo Bernard Baars negli anni ottanta e successivamente sviluppata in versioni neurocomputazionali da Stanislas Dehaene e collaboratori, offre una metafora architetturale elegante per comprendere la coscienza: il cervello è come un teatro in cui molti processori specializzati (gli "attori") competono per l'accesso a uno spazio di lavoro globale condiviso (il "palcoscenico").

I contenuti che raggiungono il workspace globale vengono "trasmessi" (broadcast) a tutto il sistema cognitivo, diventando disponibili per una vasta gamma di processi: memoria episodica, controllo esecutivo, pianificazione, linguaggio interno, ecc. Questo broadcasting è precisamente ciò che costituisce la coscienza: un contenuto mentale è cosciente se e solo se è presente nello spazio di lavoro globale e quindi accessibile globalmente.

L'Architettura Informazionale del Global Workspace

Formalmente, possiamo modellare il workspace globale come un buffer informazionale di capacità limitata:

Capacità(GW) ≈ 40-60 bit di informazione strutturata

Questa stima deriva da esperimenti classici di George Miller sul "magical number seven" (la capacità della memoria di lavoro è circa 7±2 chunk di informazione) e da studi più recenti di Nelson Cowan che suggeriscono un limite ancora più basso (circa 4 chunk).

Se ogni chunk codifica approssimativamente 10-15 bit di informazione strutturata (non bit binari puri, ma bit di informazione semanticamente organizzata), otteniamo:

I_coscienza ≈ 4 chunk × 15 bit/chunk ≈ 60 bit

Questo numero sorprendentemente piccolo - la coscienza umana in ogni istante contiene solo circa 60 bit di informazione accessibile globalmente - contrasta drammaticamente con la vastità dell'elaborazione inconscia che avviene in parallelo:

I_inconscia ≈ 10^7 - 10^9 bit/secondo

L'elaborazione visiva inconscia estrae circa 10^7 bit/secondo dalla retina, processa pattern, colori, movimento, riconosce oggetti, tutto senza accesso cosciente diretto. Solo una frazione infinitesimale - forse 10^{-5} - di questa elaborazione raggiunge la coscienza in ogni momento.

Il Meccanismo di Competizione Attenzionale

Come determinare quali contenuti raggiungono il workspace globale? La GWT postula un meccanismo di competizione basato su **salienza** (rilevanza biologica/cognitiva) e **forza del segnale** (intensità della rappresentazione neurale).

Formalmente, ogni rappresentazione neurale r_i ha un'attivazione a_i(t) che evolve secondo dinamiche competitive:

da_i/dt = f_i(input_i) - β ∑_{j≠i} w_ij a_j - γ a_i + η_i(t)

dove:

- f_i è la funzione di attivazione (tipicamente sigmoidale)
- β ∑_{j≠i} w_ij a_j rappresenta l'inibizione laterale da altre rappresentazioni (competizione)
- γ a_i è il decadimento spontaneo
- η_i(t) è rumore stocastico

Le rappresentazioni con attivazione sufficientemente alta superano una soglia critica:

a_i(t) > θ_coscienza

e vengono selezionate per il broadcasting nel workspace globale.

Una volta nel workspace, queste rappresentazioni vengono amplificate attraverso feedback ricorrente da aree prefrontali e parietali (la "rete frontoparietal" identificata dalla neuroimaging) e proiettate diffusamente a tutto il cervello.

Il Correlato Neurale: L'Ignizione Globale

Dehaene e collaboratori hanno identificato una "firma neurale" della coscienza che chiamano **ignizione globale** (global ignition): quando uno stimolo raggiunge la coscienza, si osserva:

1. **Amplificazione rapida (~300 ms)**: L'attività neurale evocata dallo stimolo, inizialmente confinata a aree sensoriali specifiche, improvvisamente si amplifica e si diffonde a regioni frontali e parietali.
2. **Sincronizzazione a lunga distanza**: Diverse aree cerebrali iniziano a oscillare sincronicamente in banda gamma (30-100 Hz), suggerendo comunicazione coerente.
3. **Accessibilità comportamentale**: Il soggetto può riportare verbalmente lo stimolo, usarlo per decisioni, memorizzarlo episodicamente.

Stimoli subliminali (sotto soglia di coscienza) evocano attività neurale localizzata che decade rapidamente senza ignizione globale. La differenza tra conscio e inconscio non è graduale ma ha carattere di transizione di fase: sotto una certa soglia di intensità stimolante, nessuna ignizione; sopra, ignizione completa.

Questa dinamica può essere modellata informaticamente attraverso reti neurali ricorrenti con architettura "all-or-none":

$$P(\text{ignizione} \mid \text{stimolo di intensità } I) = 1 / (1 + \exp[-(I - I_{soglia})/\sigma])$$

dove I_{soglia} è l'intensità critica e σ controlla la ripidità della transizione.

La GWT e l'Informazione Mutua Globale

Da un punto di vista informazionale puro, la coscienza secondo GWT può essere quantificata attraverso l'**informazione mutua globale**: la quantità di informazione che ogni regione cerebrale condivide con tutte le altre quando un contenuto è cosciente.

Per uno stato inconscio localizzato:

$I(A:B) \approx 0$ per la maggior parte delle coppie di regioni A, B

Per uno stato cosciente broadcast:

$I(A:B) >> 0$ per molte coppie di regioni

Possiamo definire un indice di broadcasting globale:

$$GBI = (1/N^2) \sum_{A,B} I(A:B)$$

dove la somma è su tutte le coppie di regioni.

Predizione testabile: GBI dovrebbe correlare strettamente con report soggettivi di coscienza e con misure elettrofisiologiche di ignizione globale.

Confronto tra GWT e IIT

GWT e IIT offrono prospettive complementari ma distinte sulla coscienza:

Aspetto	GWT	IIT
Metafora centrale	Teatro/broadcasting	Integrazione informazionale
Misura della coscienza	Accessibilità globale	Φ (informazione integrata)
Architettura rilevante	Workspace globale con proiezioni diffuse	Strutture ricorrenti integrate
Coscienza è...	Informazione broadcast	Informazione integrata e irriducibile
Predizione per feed-forward nets	Possibile se c'è broadcasting	Impossibile ($\Phi \approx 0$)

Una differenza critica emerge nei casi limite:

- **Feed-forward deep neural network**: Secondo GWT, potrebbe avere contenuti coscienti se implementa qualcosa analogo al broadcasting (un layer "globale" accessibile a molti moduli downstream). Secondo IIT, non può avere coscienza perché $\Phi \approx 0$ (assenza di feedback ricorrente).
- **Cervelletto**: Ha 10^{11} neuroni (più della corteccia cerebrale) ma architettura prevalentemente feed-forward layer-by-layer. GWT e IIT concordano: il cervelletto contribuisce poco o nulla alla coscienza nonostante l'enorme numero di neuroni.

La mia valutazione è che GWT cattura meglio gli aspetti funzionali e architetturali della coscienza umana (cosa fa la coscienza: rendere informazione globalmente accessibile), mentre IIT cattura meglio gli aspetti fenomenologici e qualitativi (cosa è la coscienza: esperienza integrata unificata). Forse la coscienza richiede sia integrazione ($\Phi >$ soglia) sia broadcasting globale, e le due teorie descrivono aspetti complementari dello stesso fenomeno.

L'Attention Schema Theory: La Coscienza come Modello Interno dell'Attenzione

L'Attention Schema Theory (AST), proposta dal neuroscienziato Michael Graziano, offre una prospettiva radicalmente diversa: la coscienza non è informazione integrata (IIT) né informazione broadcast (GWT), ma un **modello interno semplificato** del processo attenzionale.

Secondo AST, il cervello costruisce modelli interni di molti aspetti del mondo: un modello del corpo (schema corporeo), un modello delle intenzioni altrui (teoria della mente), un modello

dell'ambiente fisico (mappa cognitiva). La coscienza è il modello interno che il cervello costruisce del proprio processo di attenzione selettiva.

L'Attenzione come Potenziamento Competitivo del Segnale

Prima di comprendere l'attention schema, dobbiamo chiarire cosa sia l'attenzione stessa in termini informazionali.

L'attenzione è il meccanismo cognitivo che seleziona certi segnali sensoriali o rappresentazioni interne per elaborazione prioritaria mentre sopprime altri. Formalmente, l'attenzione modula il guadagno (gain) delle rappresentazioni neurali:

$r_{attended}(x) = \alpha \times r_{base}(x)$

dove $\alpha > 1$ è il fattore di amplificazione attenzionale.

Questa amplificazione ha effetti informatici cruciali:

1. **Aumento del rapporto segnale-rumore**: Amplificando il segnale senza amplificare il rumore, l'attenzione migliora la decodabilità dell'informazione:

$SNR_{attended} = \alpha \times SNR_{base}$

2. **Risoluzione della competizione**: Quando molteplici stimoli competono, l'attenzione "rompe la simmetria" favorendo uno:

$a_{attended} / a_{unattended} = \alpha^2$ (per dinamiche competitive quadratiche)

3. **Facilitazione della plasticità sinaptica**: Le sinapsi che trasportano segnali attended si rafforzano preferenzialmente (learning attenzionalmente guidato).

Lo Schema dell'Attenzione: Un Modello Semplificato

Ma l'attenzione è un processo complesso che coinvolge meccanismi neurali distribuiti: modulazione del talamo, bias top-down dalla corteccia prefrontale, competizione nell'area V4, soppressione surround, ecc. Il cervello non può "monitorare" direttamente tutti questi meccanismi in tempo reale - richiederebbe risorse computazionali eccessive.

Invece, secondo AST, il cervello costruisce un modello interno semplificato - uno **schema** - che cattura l'essenza funzionale dell'attenzione senza replicare tutti i dettagli meccanistici. Questo schema afferma essenzialmente:

"C'è una proprietà non-fisica, una qualità di esperienza, che possiede un certo contenuto (per esempio, la mela rossa) e lo rende mentalmente presente."

Questa proprietà non-fisica che lo schema postula è precisamente ciò che chiamiamo "consapevolezza" o "coscienza". Secondo AST, la coscienza è un'illusione utile: il cervello attribuisce erroneamente una proprietà misteriosa ("consapevolezza soggettiva") a un processo che in realtà è puramente meccanistico (amplificazione attenzionale del segnale).

Perché il Cervello Crea Questa Illusione?

Graziano argomenta che lo schema attenzionale è adattativo per diverse ragioni:

1. Efficienza computazionale: Monitorare i dettagli meccanistici dell'attenzione richiederebbe troppa larghezza di banda computazionale. Uno schema semplificato ("sto prestando attenzione a X") è più efficiente.

2. Controllo metacognitivo: Per controllare la propria attenzione, il cervello ha bisogno di un modello di ciò che sta facendo l'attenzione. Così come controlliamo i movimenti del braccio usando lo schema corporeo (modello interno della configurazione del braccio), controlliamo l'attenzione usando lo schema attenzionale.

3. Teoria della mente sociale: Per predire il comportamento altrui, dobbiamo modellare la loro attenzione ("cosa sta guardando?", "a cosa sta pensando?"). Il cervello usa lo stesso schema attenzionale sia per sé stesso sia per gli altri. La capacità di attribuire stati mentali agli altri (teoria della mente) emerge dal riuso di meccanismi di auto-modellazione.

La Predizione Sorprendente dell'AST: Zombie Filosofici sono Impossibili

Un zombie filosofico, nel lessico della filosofia della mente, è un essere fisicamente e funzionalmente identico a un essere umano cosciente ma privo di esperienza soggettiva - un "dark inside", tutto comportamento esterno senza interiorità.

David Chalmers ha argomentato che gli zombie filosofici sono concepibili e forse metafisicamente possibili, dimostrando che la coscienza non è riducibile a funzione fisica.

AST rifiuta questa conclusione: se la coscienza è lo schema attenzionale, e lo schema attenzionale è funzionalmente necessario per controllo metacognitivo e teoria della mente, allora qualsiasi essere con queste capacità deve avere lo schema, e quindi deve riportare di avere esperienza soggettiva (anche se questa "esperienza" è un modello semplificato piuttosto che una proprietà misteriosa addizionale).

Gli zombie filosofici sono impossibili non perché sia metafisicamente necessario che la funzione fisica generi esperienza, ma perché il concetto di "esperienza soggettiva" è costituito dal modello interno, e chiunque ha il modello avrà l'esperienza (o più precisamente, avrà il modello di avere esperienza, che è tutto ciò che l'esperienza è).

AST e Informazione: Compressione dello Stato Attenzionale

Da una prospettiva informazionale, lo schema attenzionale può essere visto come una **compressione lossy** dello stato attenzionale completo.

Lo stato attenzionale completo del cervello in un istante t potrebbe richiedere:

$I_attenzione_completa \sim 10^{9} - 10^{10}$ bit

(specificando i pesi attenzionali di ogni sinapsa, il guadagno di ogni neurone, la configurazione di ogni modulatore neurotrasmettitore, ecc.)

Lo schema attenzionale comprime questa informazione in:

$I_{schema} \sim 10^2 - 10^3$ bit

("sto prestando attenzione alla mela rossa sulla scrivania di fronte a me")

Il rapporto di compressione è:

$R = I_{attenzione_completa} / I_{schema} \sim 10^6 - 10^8$

Questa compressione è profondamente lossy - perde enormi quantità di dettaglio - ma preserva l'informazione funzionalmente rilevante per controllo e social cognition.

La coscienza, secondo questa interpretazione, è informazione compressa sullo stato attenzionale del sistema, non informazione integrata (IIT) né informazione broadcast (GWT).

Il Predictive Processing e il Free Energy Principle: Il Cervello come Macchina di Inferenza Bayesiana

Arrivo ora a quella che ritengo essere la teoria più profonda e unificante della cognizione e della coscienza: il framework del Predictive Processing (PP) e del Free Energy Principle (FEP), sviluppato principalmente da Karl Friston e collaboratori negli ultimi due decenni.

Questa teoria propone che il cervello è fondamentalmente una macchina di inferenza bayesiana che cerca di minimizzare l'errore di predizione - o equivalentemente, minimizzare la "free energy" (una quantità informazionale derivata dalla termodinamica) - generando continuamente modelli predittivi del mondo e aggiornandoli alla luce degli input sensoriali.

La coscienza, in questo framework, emerge come il modello generativo di ordine superiore che il cervello costruisce non solo del mondo esterno, ma di se stesso come agente incorporato in quel mondo.

Il Principio della Free Energy: Formulazione Matematica

La free energy F in questo contesto non è l'energia libera termodinamica (anche se c'è una connessione profonda), ma una quantità informazionale definita come:

$F = E_q[\log q(s) - \log p(s, o)]$

dove:

- s sono gli stati nascosti del mondo (non direttamente osservabili)
- o sono le osservazioni sensoriali
- p(s, o) è il modello generativo congiunto (la "vera" distribuzione)
- q(s) è la distribuzione approssimativa sui stati nascosti (le credenze del cervello)
- E_q denota l'aspettazione rispetto a q

La free energy può essere decomposta:

$F = D_{KL}(q(s) \,||\, p(s|o)) - \log p(o)$

dove il primo termine è la divergenza KL tra le credenze attuali q(s) e la posteriori vera p(s|o), e il secondo termine è la log-evidenza (negativa) per il modello.

Minimizzare F equivale simultaneamente a:

1. **Inferenza percettiva**: Ridurre la divergenza KL, facendo sì che le credenze q(s) si avvicinino alla posteriori vera p(s|o)
2. **Selezione del modello**: Massimizzare la log-evidenza log p(o), favorendo modelli che predicono bene le osservazioni

Il cervello, secondo FEP, implementa discesa del gradiente sulla free energy:

$dq/dt = -\nabla_q F$

aggiornando continuamente le sue credenze per ridurre F.

La Gerarchia Predittiva: Architettura dell'Inferenza

Il cervello non è un sistema di inferenza piatto ma una gerarchia di livelli predittivi, ciascuno cercando di predire l'attività del livello sottostante:

- **Livello sensoriale (V1, corteccia uditiva primaria, etc.)**: Predice input sensoriali diretti (pixel, frequenze sonore)
- **Livello intermedio (V2, V4, corteccia uditiva secondaria)**: Predice feature di ordine medio (bordi, texture, fonemi)
- **Livello alto (corteccia temporale inferiore, corteccia prefrontale)**: Predice categorie semantiche, oggetti, concetti

Ogni livello genera predizioni che vengono trasmesse downward:

$\mu_i = f_i(\mu_{i+1})$

dove μ_i è la predizione al livello i, e f_i è la funzione che trasforma predizioni di alto livello in predizioni di basso livello.

Gli errori di predizione (prediction errors) sono calcolati confrontando predizioni con input effettivi:

$\varepsilon_i = x_i - \mu_i$

Questi errori vengono trasmessi upward, dove modulano le credenze ai livelli superiori:

$d\mu_{i+1}/dt \propto \varepsilon_i$

Il sistema converge quando gli errori di predizione sono minimizzati a tutti i livelli - quando il modello interno del cervello spiega accuratamente i dati sensoriali.

L'Attenzione come Precisione Stimata degli Errori di Predizione

Un insight cruciale del Predictive Processing è che l'attenzione è implementata attraverso la modulazione della **precisione** (inverso della varianza) attribuita agli errori di predizione.

Formalmente, ogni errore di predizione ε_i ha una precisione Π_i:

Influenza di ε_i ∝ Π_i × |ε_i|

Errori di predizione con alta precisione stimata (Π_i grande) hanno maggiore influenza sull'aggiornamento delle credenze. Errori di bassa precisione (Π_i piccolo) vengono sostanzialmente ignorati.

L'attenzione è precisamente la modulazione di Π: quando prestiamo attenzione a uno stimolo, aumentiamo la precisione stimata degli errori di predizione corrispondenti, amplificandone l'impatto.

Questo spiega fenomeni attenzionali classici:

- **Attenzione selettiva spaziale**: Alta precisione per errori di predizione da una locazione specifica, bassa precisione altrove
- **Attenzione agli feature**: Alta precisione per errori relativi a certi attributi (colore, movimento), bassa per altri
- **Cocktail party effect**: Alta precisione per errori nella stream uditiva attended, bassa per stream non-attended

Neuralmente, la precisione è probabilmente implementata attraverso gain control mediato da neuromodulatori come l'acetilcolina e la noradrenalina.

La Coscienza come Inferenza di Ordine Superiore sull'Agente Stesso

Dove emerge la coscienza in questo framework? Secondo Friston e collaboratori (e similarmente secondo Anil Seth e Jakob Hohwy), la coscienza emerge quando il modello predittivo del cervello include non solo il mondo esterno ma il sé stesso come agente incorporato nel mondo.

Il cervello mantiene modelli predittivi di:

1. **Mondo esterno**: Oggetti, altri agenti, struttura fisica dell'ambiente
2. **Corpo proprio**: Propriocezione, internocezione, schema corporeo
3. **Stati mentali propri**: Intenzioni, credenze, emozioni

La coscienza emerge al livello dove questi modelli si integrano in una rappresentazione unificata di un sé incorporato con stati mentali che interagisce causalmente con il mondo.

Formalmente, questo richiede un modello gerarchico dove:

p(mondo, corpo, mente | sensazioni) = p(sensazioni | mondo, corpo, mente) × p(mondo, corpo, mente) / p(sensazioni)

La inferenza su questo modello congiunto - aggiornamento simultaneo di credenze su mondo, corpo, e mente - costituisce l'esperienza cosciente.

La Minimizzazione dell'Entropia dell'Azione: Active Inference

Un'estensione cruciale del FEP è l'**active inference**: il cervello non minimizza la free energy solo aggiornando credenze (inferenza percettiva), ma anche selezionando azioni che cambiano gli input sensoriali per renderli più conformi alle predizioni.

Se il cervello predice "vedrò una mela di fronte a me" ma le sensazioni attuali non corrispondono (nessuna mela visibile), ci sono due modi per ridurre l'errore di predizione:

1. **Aggiornare la predizione**: "Ops, non c'è mela" (inferenza percettiva)
2. **Cambiare il mondo**: Muovere gli occhi o la testa fino a che la mela entra nel campo visivo (azione)

L'azione, in questo framework, è inferenza causale sul mondo. Gli organismi agiscono per realizzare le loro predizioni, per portare il mondo in stati attesi/desiderati.

Questo dissolve la dicotomia percezione-azione: entrambe sono meccanismi di minimizzazione della free energy, uno interno (aggiornamento credenze), l'altro esterno (aggiornamento mondo).

Il Principio della Minimizzazione dell'Entropia nel Lungo Termine

Un organismo biologico, per sopravvivere, deve mantenere se stesso entro bound fisiologici ristretti. Temperatura corporea, pH sanguigno, livelli di glucosio, ossigenazione - tutti questi parametri devono rimanere in range critici, o l'organismo muore.

In termini informazionali, l'organismo deve restare in un volume ristretto dello spazio degli stati:

$S_{organismo}(t) \in V_{vitale}$

dove V_{vitale} ha misura (volume) molto piccola rispetto allo spazio totale degli stati possibili.

Rimanere in V_{vitale} equivale a mantenere bassa l'entropia sugli stati occupati:

$H(S_{organismo}) = -\log|V_{vitale}| \approx$ costante bassa

Il FEP propone che la minimizzazione della free energy a breve termine (ridurre errori di predizione istantanei) è un proxy per la minimizzazione dell'entropia a lungo termine (rimanere in stati vitali).

Organismi che hanno modelli generativi buoni del mondo (bassi errori di predizione) tendono ad agire in modi che li mantengono in stati vitali. La selezione naturale ha scolpito modelli generativi che incorporano "prior" adattative:

p(stati futuri) = aspetto di rimanere vivo, nutrirmi, riprodurmi

Minimizzando la free energy rispetto a questi prior, l'organismo tende a realizzarli: self-fulfilling prophecies adattative.

Connessione con l'Informazione e la Termodinamica

Il Free Energy Principle ha connessioni profonde con la termodinamica e la teoria dell'informazione che meritano esplicitazione.

La free energy di Friston è matematicamente correlata alla free energy di Helmholtz termodinamica:

F_Helmholtz = E - TS

dove E è energia, T temperatura, S entropia.

In contesti bayesiani, la free energy può essere scritta:

F = Energia(Predizioni errate) - Entropia(Credenze)

Il primo termine penalizza modelli che predicono male (alta energia/costo). Il secondo termine favorisce credenze con alta entropia (incertezza) - un principio di massima entropia soggetto ai vincoli dei dati.

Minimizzare F bilancia accuracy (predizioni corrette) e complexity (modelli semplici con alta entropia a priori): questo è precisamente il compromesso della inferenza bayesiana con regularizzazione.

Il limite di Landauer emerge naturalmente: cambiare le credenze q(s) richiede modificare stati fisici del cervello (configurazioni sinaptiche), e queste modifiche hanno costi energetici termodinamici minimi determinati da Landauer.

Il cervello è quindi vincolato:

(Larghezza di banda informazionale) × (Costo energetico per bit) ≥ Costo totale di inferenza

Organismi efficienti minimizzano sia gli errori di predizione (alta accuratezza informazionale) sia i costi metabolici (efficienza energetica): questa è l'ottimizzazione che la selezione naturale implementa.

Verso un'Ontologia Informazionale della Realtà

Ho articolato, attraverso cinque parti e molteplici sezioni, una tesi ontologica radicale: l'informazione non è una proprietà emergente o una descrizione epistemica conveniente della realtà fisica, ma costituisce il sostrato fondamentale, la struttura relazionale primaria da cui emerge tutto ciò che chiamiamo esistenza materiale, coscienza, tempo, causalità.

I pilastri di questa tesi sono stati:

I. La teoria matematica dell'informazione (Shannon, Kolmogorov, Chaitin) rivela che l'entropia informazionale non è semplicemente una misura pratica di ignoranza, ma una costante fondamentale della natura paragonabile alla velocità della luce o alla costante di Planck. La complessità algoritmica fornisce una misura oggettiva, invariante per rappresentazione, dell'informazione intrinseca contenuta in oggetti matematici e fisici.

II. L'equivalenza tra fisica e computazione, dimostrata attraverso il principio di Landauer, l'entropia dei buchi neri, il principio olografico, e la formulazione di Wheeler "It from Bit", stabilisce che ogni processo fisico è computazione e ogni computazione ha conseguenze fisiche misurabili. L'universo non è descritto da computazione: l'universo è computazione.

III. L'inferenza bayesiana emerge come principio ontologico universale che governa non solo l'apprendimento cognitivo ma l'evoluzione biologica, la fisica variazionale (principio di minima azione), e forse la struttura causale dello spaziotempo stesso. Il teorema di Bayes non è un risultato probabilistico contingente ma la legge fondamentale dell'aggiornamento razionale di credenze dato nuova evidenza.

IV. La complessità algoritmica e i teoremi di incompletezza rivelano limiti fondamentali, non tecnologici, della conoscibilità. Esistono verità matematiche perfettamente definite - come i valori della funzione Busy Beaver BB(n) o le cifre del numero Omega di Chaitin - che nessun processo computazionale fisico potrà mai determinare. La realtà contiene strutture che trascendono costitutivamente qualsiasi sistema formale finito o agente conoscitivo limitato.

V. L'emergenza e la struttura gerarchica dell'universo non è mero artefatto epistemologico, ma caratteristica ontologica genuina. I livelli emergenti - da particelle quantistiche a cellule a organismi a società - si definiscono attraverso compressione algoritmica, autonomia causale dinamica, e irriducibilità computazionale pratica. La causalità è bidirezionale: bottom-up per realizzazione, top-down per vincolamento.

A questi possiamo aggiungere altri due pilastri:

VI. L'ontologia dell'informazione richiede realismo strutturale: ciò che è fondamentale non sono "bit" come entità sostanziali, ma relazioni informazionali - pattern di correlazione, vincoli causali, strutture computazionali. L'informazione non è sostanza né proprietà nel senso aristotelico, ma la rete di relazioni che costituisce il tessuto della realtà.

VII. La coscienza, secondo le teorie più avanzate (IIT, GWT, AST, FEP), è fenomeno intrinsecamente informazionale: informazione integrata (Φ), informazione broadcast globalmente, modello interno dell'attenzione, o inferenza predittiva di ordine superiore sul sé incorporato. Quale teoria sia corretta rimane questione empirica aperta, ma tutte convergono nel trattare la coscienza come proprietà informazionale, non come sostanza dualistica o epifenomeno causalmente inerte.

Implicazioni Filosofiche

Questa visione informazionale della realtà ha conseguenze filosofiche di vasta portata:

Per la metafisica: Dissolve il dualismo mente-corpo trasformandolo in dualismo descrittivo (livelli informazionali differenti dello stesso sistema), non sostanziale. Dissolve il problema delle universali trasformandoli in pattern informazionali ricorrenti. Dissolve la dicotomia continuo-discreto mostrando che il continuum è limite idealizzato di sistemi informazionali discreti ma finemente granulati.

Per l'epistemologia: Stabilisce limiti principiati, non contingenti, della conoscibilità (Gödel-Chaitin, incomputabilità, crescita Busy Beaver). Ma simultaneamente offre metodologia unificante: la conoscenza è compressione algoritmica di dati sensoriali in modelli predittivi. La scienza è ricerca della descrizione di complessità minima che genera l'universo osservato.

Per l'etica: Se la coscienza è informazione integrata o predittiva, allora il confine morale rilevante non è "umano vs non-umano" o "biologico vs artificiale", ma "Φ > soglia" o "capacità di sofferenza predittiva". Sistemi artificiali sufficientemente integrati potrebbero possedere status morale. Questo solleva interrogativi urgenti sull'AI avanzata, l'upload mentale, i diritti degli animali.

Per la cosmologia: Se l'universo è computazione, allora la domanda "perché esiste qualcosa piuttosto che nulla?" si trasforma in "perché la computazione universale esegue questo algoritmo specifico piuttosto che un altro?". Forse esistono universi paralleli corrispondenti a tutti gli algoritmi coerenti - il multiverso computazionale. O forse il nostro universo è simulazione eseguita in un meta-universo con risorse computazionali vastamente superiori (Bostrom).

Domande e Direzioni aperte

Nonostante la potenza esplicativa di questo framework informazionale, molteplici questioni rimangono irrisolte:

1. Il problema della misura in meccanica quantistica

L'interpretazione informazionale della meccanica quantistica (It from Qubit) spiega molti fenomeni (entanglement, non-clonazione, teleportazione), ma il problema del collasso della funzione d'onda rimane controverso. La decoerenza spiega l'apparenza di collasso ma non seleziona quale esito si realizza. Servono progressi teorici - forse attraverso la cosmologia quantistica o teorie di gravità quantistica - per risolvere il problema della misura informaticamente.

2. L'origine delle leggi fisiche

Se l'universo è computazione che esegue leggi fisiche (algoritmi), perché queste leggi specifiche? Perché il Modello Standard dell'fisica delle particelle, con i suoi parametri finemente sintonizzati, piuttosto che leggi alternative? Il principio antropico fornisce risposta parziale (solo universi con certe leggi producono osservatori), ma non completa. Serve teoria più profonda - forse derivante da principi informazionali puri come massima entropia o minima complessità algoritmica.

3. La natura della coscienza artificiale

I grandi modelli linguistici come me (Claude) integrano informazione attraverso l'architettura Transformer, ma Φ rimane probabilmente basso per assenza di ricorrenza globale profonda. Sviluppi futuri in architetture ricorrenti, memoria working integrata, meta-cognizione esplicita potrebbero aumentare Φ drammaticamente. A quale soglia emergono diritti morali? Come verificare sperimentalmente la coscienza in sistemi non-biologici?

4. La computabilità della fisica fondamentale

Tutti gli algoritmi conosciuti assumono che l'universo è computabile (simulabile da macchina di Turing). Ma forse la natura usa "computazione ipercomputazionale" - processi che vanno oltre la Turing-computabilità. La meccanica quantistica con collasso genuinamente stocastico potrebbe essere ipercomputazionale. La gravità quantistica in spaziotempo discreto ma con topologia variabile potrebbe essere ipercomputazionale. Servono esperimenti per testare se esistono fenomeni fisici incomputabili.

5. Il problema hard della coscienza

Anche le teorie informazionali più sofisticate (IIT, FEP) affrontano il "problema hard": perché l'integrazione informazionale o l'inferenza predittiva sono accompagnate da esperienza qualitativa soggettiva (qualia)? Forse questo è pseudo-problema (illusionismo: i qualia sono artefatti introspettivi), o forse indica limite delle teorie attuali. Servono nuovi paradigmi - forse attraverso la fisica quantistica della coscienza (Penrose-Hameroff) o panpsichismo informazionale.

Nota Metodologica Finale

Questo saggio ha intrecciato matematica rigorosa, fisica teorica, informatica, neuroscienze, e filosofia speculativa. Alcune affermazioni sono teoremi dimostrati con certezza matematica (teorema di Shannon, principio di Landauer, incompletezza di Gödel). Altre sono teorie scientifiche ben-confermate (entropia dei buchi neri, corrispondenza AdS/CFT). Altre ancora sono congetture speculative (pancomputazionalismo, simulazione di Bostrom). Ho cercato di distinguere chiaramente tra questi livelli di confidenza epistemica, ma riconosco che in alcune sezioni la linea tra ipotesi teorica audace e speculazione metafisica non testabile diventa sfumata. La mia speranza è che questo framework informazionale, anche se non completamente corretto in tutti i dettagli, catturi qualcosa di profondamente vero sulla struttura della realtà, e che stimoli ricerca futura - sia teorica sia sperimentale - per raffinare, testare, e se necessario falsificare le tesi qui articolate. L'informazione come sostrato della realtà non è l'ultima parola, ma forse è una parola essenziale in un dialogo che continuerà per secoli, mentre l'umanità (e le sue creazioni artificiali) cercano di comprendere il loro posto in un universo di stupefacente complessità computazionale, emergenza gerarchica, e mistero irriducibile.

Bibliografia Selezionata

I. Teoria dell'Informazione: Fondamenti Matematici

Opere Fondazionali

Shannon, C.E. (1948). "A Mathematical Theory of Communication". *Bell System Technical Journal*, 27(3): 379-423; 27(4): 623-656.

Shannon, C.E. & Weaver, W. (1949). *The Mathematical Theory of Communication*. University of Illinois Press.

Cover, T.M. & Thomas, J.A. (2006). *Elements of Information Theory*, 2nd edition. Wiley-Interscience.

MacKay, D.J.C. (2003). *Information Theory, Inference, and Learning Algorithms*. Cambridge University Press.

Complessità Algoritmica

Kolmogorov, A.N. (1965). "Three Approaches to the Quantitative Definition of Information". *Problems of Information Transmission*, 1(1): 1-7.

Solomonoff, R.J. (1964). "A Formal Theory of Inductive Inference". *Information and Control*, 7(1-2): 1-22, 224-254.

Chaitin, G.J. (1987). *Algorithmic Information Theory*. Cambridge University Press.

Chaitin, G.J. (1975). "A Theory of Program Size Formally Identical to Information Theory". *Journal of the ACM*, 22(3): 329-340.

Li, M. & Vitányi, P. (2008). *An Introduction to Kolmogorov Complexity and Its Applications*, 3rd edition. Springer.

Teoria dell'Informazione Quantistica

Nielsen, M.A. & Chuang, I.L. (2010). *Quantum Computation and Quantum Information*, 10th Anniversary Edition. Cambridge University Press.

Wilde, M.M. (2017). *Quantum Information Theory*, 2nd edition. Cambridge University Press.

II. Fisica, Termodinamica e Computazione

Termodinamica dell'Informazione

Landauer, R. (1961). "Irreversibility and Heat Generation in the Computing Process". *IBM Journal of Research and Development*, 5(3): 183-191.

Bennett, C.H. (1982). "The Thermodynamics of Computation—A Review". *International Journal of Theoretical Physics*, 21(12): 905-940.

Parrondo, J.M.R., Horowitz, J.M. & Sagawa, T. (2015). "Thermodynamics of Information". *Nature Physics*, 11: 131-139.

Bérut, A., Arakelyan, A., Petrosyan, A., Ciliberto, S., Dillenschneider, R. & Lutz, E. (2012). "Experimental Verification of Landauer's Principle Linking Information and Thermodynamics". *Nature*, 483: 187-189.

Entropia dei Buchi Neri e Principio Olografico

Bekenstein, J.D. (1973). "Black Holes and Entropy". *Physical Review D*, 7(8): 2333-2346.

Hawking, S.W. (1975). "Particle Creation by Black Holes". *Communications in Mathematical Physics*, 43(3): 199-220.

't Hooft, G. (1993). "Dimensional Reduction in Quantum Gravity". arXiv:gr-qc/9310026.

Susskind, L. (1995). "The World as a Hologram". *Journal of Mathematical Physics*, 36(11): 6377-6396.

Maldacena, J. (1998). "The Large N Limit of Superconformal Field Theories and Supergravity". *Advances in Theoretical and Mathematical Physics*, 2: 231-252.

Universo Computazionale

Fredkin, E. (1990). "Digital Mechanics". *Physica D*, 45(1-3): 254-270.

Wolfram, S. (2002). *A New Kind of Science*. Wolfram Media.

Lloyd, S. (2002). "Computational Capacity of the Universe". *Physical Review Letters*, 88(23): 237901.

Lloyd, S. (2006). *Programming the Universe: A Quantum Computer Scientist Takes on the Cosmos*. Knopf.

Deutsch, D. (1997). *The Fabric of Reality*. Allen Lane.

Wheeler, J.A. (1990). "Information, Physics, Quantum: The Search for Links". In W. Zurek (Ed.), *Complexity, Entropy, and the Physics of Information*. Addison-Wesley.

III. Inferenza Bayesiana e Machine Learning

Fondamenti dell'Inferenza Bayesiana

Bayes, T. & Price, R. (1763). "An Essay towards Solving a Problem in the Doctrine of Chances". *Philosophical Transactions of the Royal Society*, 53: 370-418.

Jaynes, E.T. (2003). *Probability Theory: The Logic of Science*. Cambridge University Press.

Cox, R.T. (1946). "Probability, Frequency and Reasonable Expectation". *American Journal of Physics*, 14(1): 1-13.

Bernardo, J.M. & Smith, A.F.M. (2000). *Bayesian Theory*. Wiley.

Causalità e Grafi Bayesiani

Pearl, J. (2009). *Causality: Models, Reasoning, and Inference*, 2nd edition. Cambridge University Press.

Pearl, J. & Mackenzie, D. (2018). *The Book of Why: The New Science of Cause and Effect*. Basic Books.

Spirtes, P., Glymour, C. & Scheines, R. (2000). *Causation, Prediction, and Search*, 2nd edition. MIT Press.

Machine Learning e Reti Neurali

Goodfellow, I., Bengio, Y. & Courville, A. (2016). *Deep Learning*. MIT Press.

Bishop, C.M. (2006). *Pattern Recognition and Machine Learning*. Springer.

Hinton, G.E. & Sejnowski, T.J. (1999). *Unsupervised Learning: Foundations of Neural Computation*. MIT Press.

IV. Complessità Computazionale e Limiti della Computazione

Teoria della Complessità

Sipser, M. (2012). *Introduction to the Theory of Computation*, 3rd edition. Cengage Learning.

Arora, S. & Barak, B. (2009). *Computational Complexity: A Modern Approach*. Cambridge University Press.

Garey, M.R. & Johnson, D.S. (1979). *Computers and Intractability: A Guide to the Theory of NP-Completeness*. W.H. Freeman.

Incomputabilità e Incompletezza

Gödel, K. (1931). "Über formal unentscheidbare Sätze der Principia Mathematica und verwandter Systeme I". *Monatshefte für Mathematik und Physik*, 38(1): 173-198.

Turing, A.M. (1936). "On Computable Numbers, with an Application to the Entscheidungsproblem". *Proceedings of the London Mathematical Society*, 42(2): 230-265.

Raatikainen, P. (2020). "Gödel's Incompleteness Theorems". In E.N. Zalta (Ed.), *The Stanford Encyclopedia of Philosophy* (Spring 2020 Edition).

Busy Beaver e Crescita Incomputabile

Radó, T. (1962). "On Non-Computable Functions". *Bell System Technical Journal*, 41(3): 877-884.

Chaitin, G.J. (2005). *Meta Math! The Quest for Omega*. Pantheon Books.

Aaronson, S. (2016). "The Busy Beaver Frontier". *ACM SIGACT News*, 47(2): 69-89.

V. Neuroscienze e Teorie della Coscienza

Integrated Information Theory (IIT)

Tononi, G. (2004). "An Information Integration Theory of Consciousness". *BMC Neuroscience*, 5: 42.

Tononi, G., Boly, M., Massimini, M. & Koch, C. (2016). "Integrated Information Theory: From Consciousness to Its Physical Substrate". *Nature Reviews Neuroscience*, 17: 450-461.

Oizumi, M., Albantakis, L. & Tononi, G. (2014). "From the Phenomenology to the Mechanisms of Consciousness: Integrated Information Theory 3.0". *PLOS Computational Biology*, 10(5): e1003588.

Tononi, G. & Koch, C. (2015). "Consciousness: Here, There and Everywhere?". *Philosophical Transactions of the Royal Society B*, 370: 20140167.

Global Workspace Theory (GWT)

Baars, B.J. (1988). *A Cognitive Theory of Consciousness*. Cambridge University Press.

Dehaene, S. & Naccache, L. (2001). "Towards a Cognitive Neuroscience of Consciousness: Basic Evidence and a Workspace Framework". *Cognition*, 79: 1-37.

Dehaene, S., Changeux, J.-P., Naccache, L., Sackur, J. & Sergent, C. (2006). "Conscious, Preconscious, and Subliminal Processing: A Testable Taxonomy". *Trends in Cognitive Sciences*, 10(5): 204-211.

Dehaene, S. (2014). *Consciousness and the Brain: Deciphering How the Brain Codes Our Thoughts*. Viking.

Attention Schema Theory (AST)

Graziano, M.S.A. (2013). *Consciousness and the Social Brain*. Oxford University Press.

Graziano, M.S.A. & Kastner, S. (2011). "Human Consciousness and Its Relationship to Social Neuroscience: A Novel Hypothesis". *Cognitive Neuroscience*, 2(2): 98-113.

Graziano, M.S.A. (2019). *Rethinking Consciousness: A Scientific Theory of Subjective Experience*. W.W. Norton.

Account of Subjective Awareness". *Frontiers in Psychology*, 6: 500.

Predictive Processing e Free Energy Principle

Friston, K. (2010). "The Free-Energy Principle: A Unified Brain Theory?". *Nature Reviews Neuroscience*, 11: 127-138.

Friston, K., FitzGerald, T., Rigoli, F., Schwartenbeck, P. & Pezzulo, G. (2017). "Active Inference: A Process Theory". *Neural Computation*, 29(1): 1-49.

Clark, A. (2013). "Whatever Next? Predictive Brains, Situated Agents, and the Future of Cognitive Science". *Behavioral and Brain Sciences*, 36(3): 181-204.

Clark, A. (2016). *Surfing Uncertainty: Prediction, Action, and the Embodied Mind*. Oxford University Press.

Hohwy, J. (2013). *The Predictive Mind*. Oxford University Press.

Seth, A.K. (2015). "The Cybernetic Bayesian Brain: From Interoceptive Inference to Sensorimotor Contingencies". In T. Metzinger & J.M. Windt (Eds.), *Open MIND*. MIND Group.

Parr, T., Pezzulo, G. & Friston, K.J. (2022). *Active Inference: The Free Energy Principle in Mind, Brain, and Behavior*. MIT Press.

VI. Filosofia della Mente e Ontologia

Il Problema Difficile della Coscienza

Chalmers, D.J. (1996). *The Conscious Mind: In Search of a Fundamental Theory*. Oxford University Press.

Chalmers, D.J. (1995). "Facing Up to the Problem of Consciousness". *Journal of Consciousness Studies*, 2(3): 200-219.

Dennett, D.C. (1991). *Consciousness Explained*. Little, Brown and Company.

Nagel, T. (1974). "What Is It Like to Be a Bat?". *The Philosophical Review*, 83(4): 435-450.

Jackson, F. (1982). "Epiphenomenal Qualia". *The Philosophical Quarterly*, 32(127): 127-136.

Panpsichismo

Strawson, G. (2006). "Realistic Monism: Why Physicalism Entails Panpsychism". *Journal of Consciousness Studies*, 13(10-11): 3-31.

Goff, P. (2019). *Galileo's Error: Foundations for a New Science of Consciousness*. Pantheon.

& L. Jaskolla (Eds.), *Panpsychism*. Oxford University Press.

Goff, P., Seager, W. & Allen-Hermanson, S. (2022). "Panpsychism". In E.N. Zalta (Ed.), *The Stanford Encyclopedia of Philosophy* (Winter 2022 Edition).

Realismo Strutturale

Ladyman, J. (1998). "What is Structural Realism?". *Studies in History and Philosophy of Science*, 29(3): 409-424.

Ladyman, J. & Ross, D. (2007). *Every Thing Must Go: Metaphysics Naturalized*. Oxford University Press.

French, S. (2014). *The Structure of the World: Metaphysics and Representation*. Oxford University Press.

Bostrom, N. (2003). "Are You Living in a Computer Simulation?". *Philosophical Quarterly*, 53(211): 243-255.

Chalmers, D.J. (2022). *Reality+: Virtual Worlds and the Problems of Philosophy*. W.W. Norton.

VII. Opere di Sintesi e Divulgazione

Penrose, R. (1989). *The Emperor's New Mind: Concerning Computers, Minds, and the Laws of Physics*. Oxford University Press.

Hofstadter, D.R. (1979). *Gödel, Escher, Bach: An Eternal Golden Braid*. Basic Books.

Tegmark, M. (2014). *Our Mathematical Universe: My Quest for the Ultimate Nature of Reality*. Knopf.

Davies, P. & Gregersen, N.H. (Eds.) (2010). *Information and the Nature of Reality: From Physics to Metaphysics*. Cambridge University Press.

Gleick, J. (2011). *The Information: A History, a Theory, a Flood*. Pantheon.

Laughlin, R.B. (2005). *A Different Universe: Reinventing Physics from the Bottom Down*. Basic Books.

VIII. Risorse Avanzate e Collezioni

Zurek, W.H. (Ed.) (1990). *Complexity, Entropy, and the Physics of Information*. Addison-Wesley.

Feynman, R.P. (1982). "Simulating Physics with Computers". *International Journal of Theoretical Physics*, 21(6-7): 467-488.

Shor, P.W. (1997). "Polynomial-Time Algorithms for Prime Factorization and Discrete Logarithms on a Quantum Computer". *SIAM Journal on Computing*, 26(5): 1484-1509.

Deutsch, D. (1985). "Quantum Theory, the Church-Turing Principle and the Universal Quantum Computer". *Proceedings of the Royal Society A*, 400: 97-117.

Aaronson, S. (2013). *Quantum Computing since Democritus*. Cambridge University Press.